



ใบรับรองวิทยานิพนธ์
บัณฑิตวิทยาลัย มหาวิทยาลัยเกษตรศาสตร์

วิศวกรรมศาสตร์มหาบัณฑิต (วิศวกรรมไฟฟ้า)

ปริญญา

วิศวกรรมไฟฟ้า

สาขา

วิศวกรรมไฟฟ้า

ภาควิชา

เรื่อง การศึกษาและการวิเคราะห์ผลผลกระทบของภาวะโลกร้อนต่อกิจกรรมฟ้าผ่า
ในประเทศไทย

A Study and Analysis of Impact of Global Warming on Lightning Activity
in Thailand

นามผู้วิจัย นายโภคชัย เดชโยธิน

ได้พิจารณาหนึ่งรอบโดย

อาจารย์ที่ปรึกษาวิทยานิพนธ์หลัก

(อาจารย์วินัย พฤกษะวัน, Dr.Ing.)

หัวหน้าภาควิชา

(รองศาสตราจารย์วิชัย สุระพัฒน์, วศ.ม.)

บัณฑิตวิทยาลัย มหาวิทยาลัยเกษตรศาสตร์รับรองแล้ว

(รองศาสตราจารย์กัญจนा ชีระกุล, D.Agr.)
คณบดีบัณฑิตวิทยาลัย

วันที่ เดือน พ.ศ.

สิงหาคม มหาวิทยาลัยเกษตรศาสตร์

วิทยานิพนธ์

เรื่อง

การศึกษาและการวิเคราะห์ผลกระทบของการโลกร้อน
ต่อกิจกรรมฟ้าผ่าในประเทศไทย

A Study and Analysis of Impact of Global Warming
on Lightning Activity in Thailand

โดย

นายโชคชัย เดชาโยยชิน

เสนอ

บัณฑิตวิทยาลัย มหาวิทยาลัยเกษตรศาสตร์
เพื่อความสมบูรณ์แห่งปริญญาวิศวกรรมศาสตร์มหาบัณฑิต (วิศวกรรมไฟฟ้า)
พ.ศ. ๒๕๕๕

สิงหนาท นิตวิทยาลัยเกษตรศาสตร์

โฉกชัย เดชไอยธิน 2555: การศึกษาและการวิเคราะห์ผลกระทบของการโลกร้อนต่อกิจกรรมฟ้าผ่าในประเทศไทย ปริญญาวิศวกรรมศาสตรมหาบัณฑิต (วิศวกรรมไฟฟ้า) สาขาวิศวกรรมไฟฟ้า ภาควิชาวิศวกรรมไฟฟ้า อาจารย์ที่ปรึกษาวิทยานิพนธ์หลัก: อาจารย์วินัย พฤกษะวน, Dr.Ing. 136 หน้า

วิทยานิพนธ์นี้เป็นการศึกษาความผันแปรของกิจกรรมฟ้าผ่าในประเทศไทย โดยการวิเคราะห์ถึงความสัมพันธ์ระหว่างตัวแปรที่ได้รับผลกระทบต่อภาวะโลกร้อนกับตัวแปรที่มีปฏิกิริยาขณะเกิดปรากฏการณ์ฟ้าผ่าในประเทศไทย ได้แก่ อุณหภูมิ ความชื้น ฝน ความเร็วลม จำนวนเมฆ ก้าช โอโซน และจำนวนวันที่เกิดพายุฝนฟ้าคะนอง เพื่อนำข้อมูลไปใช้ในการออกแบบและการติดตั้งระบบป้องกันฟ้าผ่าในประเทศไทย

ผลจากการศึกษาได้วิเคราะห์ข้อมูล 12 ปี ในช่วงปี พ.ศ. 2540 - 2551 ซึ่งเป็นช่วงเวลาที่โลกร้อนที่สุดใน 10 อันดับแรกตั้งแต่มีการจดบันทึก พบว่า ทุก ๆ ครั้งที่ภาวะโลกร้อนส่งผลทำให้อุณหภูมิพิเศษในเวลากลางคืนของโลกเพิ่มสูงขึ้นทุก ๆ 1 % จะส่งผลทำให้มีจำนวนฟ้าผ่าเพิ่มมากขึ้นในประเทศไทย 4 %

Chokchai Dechayotin 2012: A Study and Analysis of Impact of Global Warming on Lightning Activity in Thailand. Master of Engineering (Electrical Engineering), Major Field: Electrical Engineering, Department of Electrical Engineering. Thesis Advisor: Mr. Winai Plueksawan, Dr.Ing. 136 pages.

This thesis is a study of variation of lightning activity in Thailand due to influence of global warming. Analysis of the correlation of parameters affected by global warming with parameters produced by lightning phenomena in Thailand such as temperature, humidity, rain, wind speed, cloud amount, ozone and thunderstorm days resulting in useful information to support the design and installation of lightning protection system in Thailand.

The results of this study which analyzed 12 years of data, from 1997 to 2008 to be in the top 10 warmest years on record, implies that the amount of lightning increases by 4 % for every 1% global warming.

Student's signature

Thesis Advisor's signature

/ /

กิตติกรรมประกาศ

ข้าพเจ้าขอกราบขอบพระคุณ อาจารย์ ดร.วินัย พฤกษะวัน ประธานกรรมการที่ปรึกษา ที่ได้ให้คำปรึกษาในการเรียน การค้นคว้าวิจัย ตลอดจนการตรวจแก้ไขวิทยานิพนธ์จนบรรลุเกียรติทั้งสอง
สมบูรณ์

ขอกราบขอบพระคุณอาจารย์ภาควิชาวิศวกรรมไฟฟ้าทุกท่าน ที่ได้อบรมสั่งสอนและมอบ
ความรู้อันเป็นประโยชน์อย่างยิ่งในการนำไปใช้ประโยชน์ต่อไปและเจ้าหน้าที่ภาควิชา
วิศวกรรมไฟฟ้าทุกท่าน ที่ได้ให้ความช่วยเหลือคำแนะนำต่าง ๆ

ขอขอบพระคุณ คุณสมควร ช้างเออม และพนักงานบริการข้อมูลทุกท่าน กลุ่มภูมิอาณา
สำนักพัฒนาอุดุนนิยมวิทยาที่ได้อี๊เพื่อข้อมูลในการทำวิทยานิพนธ์

ขอขอบคุณ คุณชุติมา ชุติกาโน และคุณกนกภรณ์ เกิดศรี รวมถึงเพื่อนๆ พนักงาน
การไฟฟ้านครหลวงทุกท่าน มิตรสหาย รุ่นพี่นิสิตปริญญาโท ที่ได้กรุณาร่วมกับความช่วยเหลือและเป็น
กำลังใจสำคัญในการทำวิทยานิพนธ์ให้สำเร็จลุล่วง

ขอขอบคุณ คุณสมคิด ลาวงกฎ ที่ได้ให้แบ่งคิดดี ๆ มุ่งมองที่ไม่ให้ยอมแพ้และล้มเลิก ย่อห้อ
ต่ออุปสรรคใดๆ

ด้วยความดีหรือประโยชน์อันใดเนื่องจากวิทยานิพนธ์เล่มนี้ ขอมอบแด่คุณพ่อ คุณแม่ ที่ได้
อบรมและให้กำลังใจข้าพเจ้ามาตลอดในทุกเรื่อง

โชคชัย เดช โยธิน
มีนาคม 2555

สารบัญ

หน้า

สารบัญ	(1)
สารบัญตาราง	(2)
สารบัญภาพ	(5)
คำอธิบายสัญลักษณ์และคำย่อ	(10)
คำนำ	1
วัตถุประสงค์	2
การตรวจสอบสาร	3
อุปกรณ์และวิธีการ	22
อุปกรณ์	22
วิธีการ	22
ผลและวิจารณ์	40
ผล	40
วิจารณ์	107
สรุปและข้อเสนอแนะ	108
สรุป	108
ข้อเสนอแนะ	108
เอกสารและสิ่งอ้างอิง	109
ภาคผนวก	113
ภาคผนวก ก สถานีอุตุนิยมวิทยา	114
ภาคผนวก ข สติ๊กจำนำวนวันที่เกิดพายุฝนฟ้าคะนองของประเทศไทย	
ระหว่างปี พ.ศ. 2494 - 2553	120
ภาคผนวก ค แผนที่แสดงที่ตั้งสถานีอุตุนิยมวิทยา	132
ภาคผนวก ง จำนำวนวันที่เกิดพายุฝนฟ้าคะนองของประเทศไทย พ.ศ. 2540 - ปัจจุบัน	134
ประวัติการศึกษาและการทำงาน	136

สารบัญตาราง

ตารางที่	หน้า
1 อันดับปี อุณหภูมิเฉลี่ยของ โลกสูงสุด 20 อันดับ ตั้งแต่มีการจดบันทึกไว้ เมื่อปี ค.ศ. 1880 (พ.ศ. 2423)	23
2 อุณหภูมิที่ตรวจวัด จากการเฝ้าติดตามและจดบันทึกของสถานีอุตุนิยมวิทยา 71 สถานี ที่ตั้งอยู่ทั่วประเทศไทย ในช่วงปี พ.ศ. 2540 – 2551	40
3 อุณหภูมิสูงสุดเฉลี่ย รายเดือนเฉลี่ยในช่วงปี พ.ศ. 2540 – 2543	41
4 อุณหภูมิสูงสุดเฉลี่ย รายเดือนเฉลี่ยในช่วงปี พ.ศ. 2544 – 2547	42
5 อุณหภูมิสูงสุดเฉลี่ย รายเดือนเฉลี่ยในช่วงปี พ.ศ. 2548 – 2551	42
6 อุณหภูมิต่ำสุดเฉลี่ย รายเดือนเฉลี่ยในช่วงปี พ.ศ. 2540 – 2543	43
7 อุณหภูมิต่ำสุดเฉลี่ย รายเดือนเฉลี่ยในช่วงปี พ.ศ. 2544 – 2547	44
8 อุณหภูมิต่ำสุดเฉลี่ย รายเดือนเฉลี่ยในช่วงปี พ.ศ. 2548 – 2551	44
9 ความชื้นสัมพัทธ์ จากการเฝ้าติดตามและจดบันทึกของสถานีอุตุนิยมวิทยา 71 สถานี ที่ตั้งอยู่ทั่วประเทศไทย ในช่วงปี พ.ศ. 2540 – 2551	46
10 ความชื้นสัมพัทธ์ รายเดือนเฉลี่ยในช่วงปี พ.ศ. 2540 – 2543	47
11 ความชื้นสัมพัทธ์ รายเดือนเฉลี่ยในช่วงปี พ.ศ. 2544 – 2547	48
12 ความชื้นสัมพัทธ์ รายเดือนเฉลี่ยในช่วงปี พ.ศ. 2548 – 2551	48
13 ปริมาณฝนที่ตรวจวัดและจำนวนวันที่มีฝนตก จากการเฝ้าติดตามและจดบันทึกของ สถานีอุตุนิยมวิทยา 71 สถานีที่ตั้งอยู่ทั่วประเทศไทย ในช่วงปี พ.ศ. 2540 – 2551	50
14 ปริมาณฝน รายเดือนเฉลี่ยในช่วงปี พ.ศ. 2540 – 2543	52
15 ปริมาณฝน รายเดือนเฉลี่ยในช่วงปี พ.ศ. 2544 – 2547	53
16 ปริมาณฝน รายเดือนเฉลี่ยในช่วงปี พ.ศ. 2548 – 2551	53
17 ปริมาณฝนสูงสุดในรอบ 24 ชม. รายเดือนเฉลี่ยในช่วงปี พ.ศ. 2540 – 2543	54
18 ปริมาณฝนสูงสุดในรอบ 24 ชม. รายเดือนเฉลี่ยในช่วงปี พ.ศ. 2544 – 2547	55
19 ปริมาณฝนสูงสุดในรอบ 24 ชม. รายเดือนเฉลี่ยในช่วงปี พ.ศ. 2548 – 2551	55
20 จำนวนวันที่มีฝนตก รายเดือนเฉลี่ยในช่วงปี พ.ศ. 2540 – 2543	56
21 จำนวนวันที่มีฝนตก รายเดือนเฉลี่ยในช่วงปี พ.ศ. 2544 – 2547	57
22 จำนวนวันที่มีฝนตก รายเดือนเฉลี่ยในช่วงปี พ.ศ. 2548 – 2551	57

สารบัญตาราง (ต่อ)

ตารางที่	หน้า
23 ความเร็วลมที่ตรวจวัด จากการเฝ้าติดตามและจดบันทึกของ สถานีอุตุนิยมวิทยา 71 สถานีที่ตั้งอยู่ทั่วประเทศไทย ในช่วงปี พ.ศ. 2540 – 2551	59
24 ความเร็วลม รายเดือนเฉลี่ยในช่วงปี พ.ศ. 2540 – 2543	60
25 ความเร็วลม รายเดือนเฉลี่ยในช่วงปี พ.ศ. 2544 – 2547	61
26 ความเร็วลม รายเดือนเฉลี่ยในช่วงปี พ.ศ. 2548 – 2551	61
27 จำนวนเมฆ จากการเฝ้าติดตามและจดบันทึกของสถานีอุตุนิยมวิทยา 71 สถานี ที่ตั้งอยู่ทั่วประเทศไทย ในช่วงปี พ.ศ. 2540 – 2551	63
28 จำนวนเมฆ รายเดือนเฉลี่ยในช่วงปี พ.ศ. 2540 – 2543	64
29 จำนวนเมฆ รายเดือนเฉลี่ยในช่วงปี พ.ศ. 2544 – 2547	65
30 จำนวนเมฆ รายเดือนเฉลี่ยในช่วงปี พ.ศ. 2548 – 2551	65
31 สถานีตรวจวัดคุณภาพอากาศ 26 สถานี วัดปริมาณก๊าซโอดิโซน ปี พ.ศ. 2540 – 2545	68
32 สถานีตรวจวัดคุณภาพอากาศ 26 สถานี วัดปริมาณก๊าซโอดิโซน ปี พ.ศ. 2546 – 2551	69
33 จำนวนวันที่เกิดพายุฝนฟ้าคะนอง จากการเฝ้าติดตามและจดบันทึกของ สถานีอุตุนิยมวิทยา 71 สถานีที่ตั้งอยู่ทั่วประเทศไทย ในช่วงปี พ.ศ. 2540 – 2551	70
34 จำนวนวันที่เกิดพายุฝนฟ้าคะนอง แบ่งตามภาคต่าง ๆ ในช่วงปี พ.ศ. 2540 – 2551	71
35 จำนวนวันที่เกิดพายุฝนฟ้าคะนอง รายเดือนเฉลี่ยในช่วงปี พ.ศ. 2540 – 2543	72
36 จำนวนวันที่เกิดพายุฝนฟ้าคะนอง รายเดือนเฉลี่ยในช่วงปี พ.ศ. 2544 – 2547	73
37 จำนวนวันที่เกิดพายุฝนฟ้าคะนอง รายเดือนเฉลี่ยในช่วงปี พ.ศ. 2548 – 2551	73
38 Thunderstorm days (Td) – ข้อมูลจากสถานีอุตุนิยมวิทยาทางภาคเหนือ	75
39 Thunderstorm days (Td) – ข้อมูลจากสถานีอุตุนิยมวิทยาทางภาคเหนือ	75
40 Thunderstorm days (Td) – ข้อมูลจากสถานีอุตุนิยมวิทยาทางภาคเหนือ	76
41 Thunderstorm days (Td) – ข้อมูลจากสถานีอุตุนิยมวิทยาทางภาคกลาง	77
42 Thunderstorm days (Td) – ข้อมูลจากสถานีอุตุนิยมวิทยาทางภาคกลาง	77
43 Thunderstorm days (Td) – ข้อมูลจากสถานีอุตุนิยมวิทยาทางภาคกลาง	78
44 Thunderstorm days (Td) – ข้อมูลจากสถานีอุตุนิยมวิทยาทางภาคตะวันออกเฉียงเหนือ	79
45 Thunderstorm days (Td) – ข้อมูลจากสถานีอุตุนิยมวิทยาทางภาคตะวันออกเฉียงเหนือ	79

สารบัญตาราง (ต่อ)

ตารางที่	หน้า
46 Thunderstorm days (Td) - ข้อมูลจากสถานีอุตุนิยมวิทยาทางภาคตะวันออกเฉียงเหนือ	80
47 Thunderstorm days (Td) - ข้อมูลจากสถานีอุตุนิยมวิทยาทางภาคตะวันออก	81
48 Thunderstorm days (Td) - ข้อมูลจากสถานีอุตุนิยมวิทยาทางภาคตะวันออก	81
49 Thunderstorm days (Td) - ข้อมูลจากสถานีอุตุนิยมวิทยาทางภาคตะวันออก	82
50 Thunderstorm days (Td) - ข้อมูลจากสถานีอุตุนิยมวิทยาทางภาคใต้	83
51 Thunderstorm days (Td) - ข้อมูลจากสถานีอุตุนิยมวิทยาทางภาคใต้	83
52 Thunderstorm days (Td) - ข้อมูลจากสถานีอุตุนิยมวิทยาทางภาคใต้	84
53 ค่า Td ของประเทศไทยกับอุณหภูมิเฉลี่ยโลกในช่วงปี พ.ศ. 2540 – 2551	90
54 ช่วงปี พ.ศ. 2540 – 2551 ที่อุณหภูมิเฉลี่ยโลกมีการเพิ่มขึ้นส่งผลกระทบต่อจำนวน วันที่เกิดพายุฝนฟ้าคะนอง (Thunderstorm days – Td) ของประเทศไทย	90
55 ข้อมูลเฉลี่ยของตัวแปรต่าง ๆ (bn) และข้อมูลตัวแปรที่เพิ่มขึ้น 10% (ถ่าง) ในปี 2540	103
56 ข้อมูลเฉลี่ยของตัวแปรต่าง ๆ และข้อมูลตัวแปรที่เพิ่มขึ้น 10% ในปี 2540 (สมการ)	104
57 ค่า Td ที่ได้จากการคำนวณของข้อมูลตัวแปรต่าง ๆ ที่เพิ่มขึ้น 10% ในปี 2540 – 2543	105
58 ค่า Td ที่ได้จากการคำนวณของข้อมูลตัวแปรต่าง ๆ ที่เพิ่มขึ้น 10% ในปี 2544 – 2547	105
59 ค่า Td ที่ได้จากการคำนวณของข้อมูลตัวแปรต่าง ๆ ที่เพิ่มขึ้น 10% ในปี 2548 – 2551	106

ตารางผนวกที่

ก1 สถานีอุตุนิยมวิทยา	115
ข1 ค่าสูงสุดและค่าต่ำสุดของจำนวนวันที่พายุกิกฟันฟ้าคะนองของสถานีต่าง ๆ	121
ข2 จำนวนวันที่เกิดพายุฝนฟ้าคะนองของประเทศไทย ระหว่างปี พ.ศ. 2494-2553	126

สารบัญภาพ

ภาพที่	หน้า
1 อุณหภูมิเฉลี่ยของโลก ตั้งแต่ ก.ศ.1880 - 2008 เปรียบเทียบกับค่าเฉลี่ย	4
2 การจัดลำดับอุณหภูมิโลก รายปีที่ร้อนมาก	4
3 อุณหภูมิสูงสุดเฉลี่ยของประเทศไทย	5
4 ชนิดต่าง ๆ ของฟ้าผ่า	6
5 การเกิดของพายุฝนฟ้าคะนอง	8
6 แผนที่แสดงการเกิดฟ้าผ่าทั่วโลก โดยข้อมูลจากอุปกรณ์ถ่ายภาพจากอากาศ บนyan ของภาคของนาซ่า	10
7 คลื่นสนามแม่เหล็กไฟฟ้าความถี่ในย่านต่ำมาก ๆ ตรวจจับ โดยวิธี Schumann Resonance	10
8 ภาพอุปกรณ์ต่าง ๆ ที่นำมาใช้ในวิธี Schumann Resonance	11
9 ในแต่ละวันที่มีกิจกรรมฟ้าผ่า (สีดำ) และอุณหภูมิพื้นผิว (สีแดง) ณ ทวีปแอฟริกา	11
10 ในแต่ละวันที่มีกิจกรรมฟ้าผ่า (สีดำ) กับความชื้นจำเพาะ (สีแดง) ณ ทวีปแอฟริกา	12
11 ในแต่ละวันที่มีกิจกรรมฟ้าผ่า (สีดำ) กับความชื้นจำเพาะ (สีแดง) เป็นรายเดือนใน ปี ก.ศ. 2000 ณ ทวีปแอฟริกา (ซึ่งว่างหมายถึงไม่มีข้อมูล Schumann Resonance)	12
12 ความชื้นจำเพาะ (Specific Humidity) ความชื้นสัมพันธ์ (Relative Humidity) และ [*] หยาดนำ้ำฟ้า (Precipitation Water) กับกิจกรรมฟ้าผ่าในแต่ละวัน ณ ทวีปแอฟริกา	13
13 ลักษณะของเมฆชนิดต่างๆ	14
14 ความสัมพันธ์ระหว่างส่วนประกอบของอนุภาคเมฆ (สีแดง) กับ จำนวนครั้งที่ฟ้าผ่า (สีน้ำเงิน)	15
15 ประจุบวกและประจุลบที่เกิดขึ้นในก้อนเมฆ	16
16 ปฏิกิริยาเคมีที่ผลิตไอโอดีน (O_3) ในชั้นโโทสโพสฟีเยร์	17
17 ไอโอดีน (สีน้ำเงิน) ชั้นสตราโตสฟีเยร์และชั้นโตรโโพสฟีเยร์ในชั้นบรรยากาศ	18
18 ไอโอดีนพื้นจากสถานี Montsouris (Paris) สำหรับ 50 ปีหลังของศตวรรษที่ 19 น้อยกว่าครึ่งหนึ่งของปลายศตวรรษที่ 20	19
19 การผลิตไอโอดีน (O_3) ในชั้นโตรโโพสฟีเยร์มีอิทธิพลต่อ [*] การเปลี่ยนแปลงสภาพภูมิอากาศ	19

สารบัญภาพ (ต่อ)

ภาพที่	หน้า
20 ความสัมพันธ์ระหว่างค่า Ng และ Td	21
21 ความผันแปรอุณหภูมิเฉลี่ยของโลกในรอบ 100 ปีและในซีกโลกหนึ่ง ในรอบ 1,000 ปี	22
22 เทอร์โมมิเตอร์ (ซ้าย) และเทอร์โมมิเตอร์ธรรมชาติ (ขวา)	27
23 เทอร์โมมิเตอร์วัดอุณหภูมิสูงสุด (บน) และเทอร์โมมิเตอร์วัดอุณหภูมิต่ำสุด (ล่าง)	27
24 สลิงไซโตรมิเตอร์ (Sling Psychrometer)	29
25 ถังวัดฝนบนและกรวยรองรับน้ำฝน	30
26 ทิศลม	31
27 เครื่องวัดทิศลม วินด์เวน (Wind Vane)	32
28 เครื่องวัดความเร็วลม อะนิโนมิเตอร์ (Anemometer)	33
29 หลักการของ UV - Fluorescence Method (บน) และการวัดเครื่อง Analyzer (ล่าง)	35
30 วิธีการเข้าใช้งาน การสร้างฟังก์ชันอย่างประมาณ ด้วยวิธีการฟิตเส้นโค้ง (Curve Fitting)	38
31 การให้เลือกฟังก์ชันฟิตในการฟิตเส้นโค้ง หาค่าความคลาดเคลื่อนและการคาดคะเน	38
32 อุณหภูมิที่ตรวจวัด รายปีเฉลี่ยในช่วงปี พ.ศ. 2540 – 2551	41
33 อุณหภูมิสูงสุดเฉลี่ย รายเดือนเฉลี่ย ทุก ๆ 4 ปี ในช่วงปี พ.ศ. 2540 – 2551	43
34 อุณหภูมิต่ำสุดเฉลี่ย รายเดือนเฉลี่ย ทุก ๆ 4 ปี ในช่วงปี พ.ศ. 2540 – 2551	45
35 ความชื้นสัมพัทธ์ รายปีเฉลี่ยในช่วงปี พ.ศ. 2540 – 2551	47
36 ความชื้นสัมพัทธ์ รายเดือนเฉลี่ย ทุก ๆ 4 ปี ในช่วงปี พ.ศ. 2540 – 2551	49
37 ปริมาณฝน รายปีเฉลี่ยในช่วงปี พ.ศ. 2540 – 2551	51
38 ปริมาณฝนสูงสุดในรอบ 24 ชม. รายปีเฉลี่ยในช่วงปี พ.ศ. 2540 – 2551	51
39 จำนวนวันที่มีฝนตก รายปีเฉลี่ยในช่วงปี พ.ศ. 2540 – 2551	52
40 ปริมาณฝน รายเดือนเฉลี่ย ทุก ๆ 4 ปี ในช่วงปี พ.ศ. 2540 – 2551	54
41 ปริมาณฝนสูงสุดในรอบ 24 ชม. รายเดือนเฉลี่ย ทุก ๆ 4 ปี ในช่วงปี พ.ศ. 2540 – 2551	56

สารบัญภาพ (ต่อ)

ภาพที่	หน้า
42 จำนวนวันที่มีฝนตก รายเดือนเฉลี่ย ทุก ๆ 4 ปี ในช่วงปี พ.ศ. 2540 – 2551	58
43 ความเร็วลม รายปีเฉลี่ยในช่วงปี พ.ศ. 2540 – 2551	60
44 ความเร็วลม รายเดือนเฉลี่ย ทุก ๆ 4 ปี ในช่วงปี พ.ศ. 2540 – 2551	62
45 จำนวนเมฆ รายปีเฉลี่ยในช่วงปี พ.ศ. 2540 – 2551	64
46 จำนวนเมฆ รายเดือนเฉลี่ย ทุก ๆ 4 ปี ในช่วงปี พ.ศ. 2540 – 2551	66
47 ปริมาณก๊าซโอดิโซน รายปีเฉลี่ยในช่วงปี พ.ศ. 2540 – 2551	67
48 จำนวนวันที่เกิดพายุฝนฟ้าคะนอง รายปีเฉลี่ยในช่วงปี พ.ศ. 2540 – 2551	71
49 จำนวนวันที่เกิดพายุฝนฟ้าคะนอง ตามภาคต่าง ๆ รายปีเฉลี่ย ในช่วงปี พ.ศ. 2540 – 2551	72
50 จำนวนวันที่เกิดพายุฝนฟ้าคะนอง รายเดือนเฉลี่ย ทุก ๆ 4 ปี ในช่วงปี พ.ศ. 2540 – 2551	74
51 จำนวนวันที่เกิดพายุฝนฟ้าคะนอง รายเดือนเฉลี่ย ทุก ๆ 4 ปี ภาคเหนือ [*] ในช่วงปี พ.ศ. 2540 – 2551	76
52 จำนวนวันที่เกิดพายุฝนฟ้าคะนอง รายเดือนเฉลี่ย ทุก ๆ 4 ปี ภาคกลาง ในช่วงปี พ.ศ. 2540 – 2551	78
53 จำนวนวันที่เกิดพายุฝนฟ้าคะนอง รายเดือนเฉลี่ย ทุก ๆ 4 ปี ภาคตะวันออกเฉียงเหนือ [*] ในช่วงปี พ.ศ. 2540 – 2551	80
54 จำนวนวันที่เกิดพายุฝนฟ้าคะนอง รายเดือนเฉลี่ย ทุก ๆ 4 ปี ภาคตะวันออก ในช่วงปี พ.ศ. 2540 – 2551	82
55 จำนวนวันที่เกิดพายุฝนฟ้าคะนอง รายเดือนเฉลี่ย ทุก ๆ 4 ปี ภาคใต้ [*] ในช่วงปี พ.ศ. 2540 – 2551	84
56 จำนวนวันที่เกิดพายุฝนฟ้าคะนอง รายเดือนเฉลี่ย ทุก ๆ 4 ปี ณ สถานีอุตุนิยมวิทยา [*] ที่ตั้งอยู่ทางภาคเหนือ ในช่วงปี พ.ศ. 2540 – 2551	85
57 จำนวนวันที่เกิดพายุฝนฟ้าคะนอง รายเดือนเฉลี่ย ทุก ๆ 4 ปี ณ สถานีอุตุนิยมวิทยา [*] ที่ตั้งอยู่ทางภาคเหนือ ในช่วงปี พ.ศ. 2540 – 2551	85

สารบัญภาพ (ต่อ)

ภาพที่	หน้า
58 จำนวนวันที่เกิดพายุฝนฟ้าคะนอง รายเดือนเฉลี่ย ทุกๆ 4 ปี ณ สถานีอุตุนิยมวิทยา ที่ตั้งอยู่ทางภาคตะวันออกเฉียงเหนือ ในช่วงปี พ.ศ. 2540 – 2551	86
59 จำนวนวันที่เกิดพายุฝนฟ้าคะนอง รายเดือนเฉลี่ย ทุกๆ 4 ปี ณ สถานีอุตุนิยมวิทยา ที่ตั้งอยู่ทางภาคตะวันออกเฉียงเหนือ ในช่วงปี พ.ศ. 2540 – 2551	86
60 จำนวนวันที่เกิดพายุฝนฟ้าคะนอง รายเดือนเฉลี่ย ทุกๆ 4 ปี ณ สถานีอุตุนิยมวิทยา ที่ตั้งอยู่ทางภาคกลาง ในช่วงปี พ.ศ. 2540 – 2551	87
61 จำนวนวันที่เกิดพายุฝนฟ้าคะนอง รายเดือนเฉลี่ย ทุกๆ 4 ปี ณ สถานีอุตุนิยมวิทยา ที่ตั้งอยู่ทางภาคกลาง ในช่วงปี พ.ศ. 2540 – 2551	87
62 จำนวนวันที่เกิดพายุฝนฟ้าคะนอง รายเดือนเฉลี่ย ทุกๆ 4 ปี ณ สถานีอุตุนิยมวิทยา ที่ตั้งอยู่ทางภาคตะวันออก ในช่วงปี พ.ศ. 2540 – 2551	88
63 จำนวนวันที่เกิดพายุฝนฟ้าคะนอง รายเดือนเฉลี่ย ทุกๆ 4 ปี ณ สถานีอุตุนิยมวิทยา ที่ตั้งอยู่ทางภาคตะวันออก ในช่วงปี พ.ศ. 2540 – 2551	88
64 จำนวนวันที่เกิดพายุฝนฟ้าคะนอง รายเดือนเฉลี่ย ทุกๆ 4 ปี ณ สถานีอุตุนิยมวิทยา ที่ตั้งอยู่ทางภาคใต้ ในช่วงปี พ.ศ. 2540 – 2551	89
65 จำนวนวันที่เกิดพายุฝนฟ้าคะนอง รายเดือนเฉลี่ย ทุกๆ 4 ปี ณ สถานีอุตุนิยมวิทยา ที่ตั้งอยู่ทางภาคใต้ ในช่วงปี พ.ศ. 2540 – 2551	89
66 การเพิ่มอันดับโพลิโนเมียลให้อันดับสูงขึ้นเพื่อการประมาณค่าที่ถูกต้องมากขึ้น	91
67 การหาค่าน้อยที่สุดของผลรวมความคลาดเคลื่อนยกกำลังสอง (Norm of residuals)	92
68 เลือกฟิตจุดต่างๆ ของข้อมูลและคาดคะเนค่าด้วยวิธีการเลือกใช้ฟังก์ชัน Linear	93
69 รูปแบบจำลองแสดงแนวโน้มการเปลี่ยนแปลง Thunderstorm days ในอนาคตของ ประเทศไทยด้วยวิธีการเลือกใช้ฟังก์ชัน Linear โดยการคาดคะเนไว้ถึง พ.ศ. 2560	93
70 เลือกฟิตจุดต่างๆ ของข้อมูลและคาดคะเนค่าด้วยวิธีการเลือกใช้ฟังก์ชัน Quadratic	94
71 รูปแบบจำลองแสดงแนวโน้มการเปลี่ยนแปลง Thunderstorm days ในอนาคตของ ประเทศไทยด้วยวิธีการเลือกใช้ฟังก์ชัน Quadratic โดยการคาดคะเนไว้ถึง พ.ศ. 2560	94
72 เลือกฟิตจุดต่างๆ ของข้อมูลและคาดคะเนค่าด้วยวิธีการเลือกใช้ฟังก์ชัน Cubic	95

สารบัญภาพ (ต่อ)

ภาพที่	หน้า
73 รูปแบบจำลองแสดงแนวโน้มการเปลี่ยนแปลง Thunderstorm days ในอนาคตของประเทศไทยด้วยวิธีการเลือกใช้ฟังก์ชัน Cubic โดยการคาดคะเนไว้ถึง พ.ศ. 2560	95
74 ค่า Norm of Residuals ในแต่ละปี จากการคาดคะเนค่าด้วย วิธีการเลือกใช้ฟังก์ชัน Linear	96
75 ค่าคงที่ของตัวแปรต่าง ๆ จากข้อมูลตัวแปรที่ต้องการศึกษา รายเดือนในปี 2540	97
76 ค่าคงที่ของตัวแปรต่าง ๆ จากข้อมูลตัวแปรที่ต้องการศึกษา รายเดือนในปี 2541	98
77 ค่าคงที่ของตัวแปรต่าง ๆ จากข้อมูลตัวแปรที่ต้องการศึกษา รายเดือนในปี 2542	98
78 ค่าคงที่ของตัวแปรต่าง ๆ จากข้อมูลตัวแปรที่ต้องการศึกษา รายเดือนในปี 2543	99
79 ค่าคงที่ของตัวแปรต่าง ๆ จากข้อมูลตัวแปรที่ต้องการศึกษา รายเดือนในปี 2544	99
80 ค่าคงที่ของตัวแปรต่าง ๆ จากข้อมูลตัวแปรที่ต้องการศึกษา รายเดือนในปี 2545	100
81 ค่าคงที่ของตัวแปรต่าง ๆ จากข้อมูลตัวแปรที่ต้องการศึกษา รายเดือนในปี 2546	100
82 ค่าคงที่ของตัวแปรต่าง ๆ จากข้อมูลตัวแปรที่ต้องการศึกษา รายเดือนในปี 2547	101
83 ค่าคงที่ของตัวแปรต่าง ๆ จากข้อมูลตัวแปรที่ต้องการศึกษา รายเดือนในปี 2548	101
84 ค่าคงที่ของตัวแปรต่าง ๆ จากข้อมูลตัวแปรที่ต้องการศึกษา รายเดือนในปี 2549	102
85 ค่าคงที่ของตัวแปรต่าง ๆ จากข้อมูลตัวแปรที่ต้องการศึกษา รายเดือนในปี 2550	102
86 ค่าคงที่ของตัวแปรต่าง ๆ จากข้อมูลตัวแปรที่ต้องการศึกษา รายเดือนในปี 2551	103
87 ตัวอย่างการหาค่า T_d จากการคำนวณของข้อมูลตัวแปรต่าง ๆ ที่เพิ่มขึ้น 10% ในปี 2540	104
88 ค่า T_d สะสม ในปี 2540 - 2551 จากการคำนวณของข้อมูลตัวแปรต่าง ๆ ที่เพิ่มขึ้น 10%	106

ภาพผนวกที่

ก1 แผนที่แสดงที่ตั้งสถานีอุตุนิยมวิทยา	133
ง1 จำนวนวันที่เกิดพายุฝนฟ้าคะนอง แบ่งตามภาคต่าง ๆ ของประเทศไทย	135
ง2 จำนวนวันที่เกิดพายุฝนฟ้าคะนอง ของประเทศไทย	135

คำอธิบายสัญลักษณ์และคำย่อ

$^{\circ}\text{C}$	=	Degree Celsius
ELF	=	Extremely Low Frequency
hPa	=	Hectopascal (hPa = 100 Pa)
Hz	=	Cycles per Second
LIS	=	Lightning Imaging Sensor
MM5	=	Fifth-Generation Penn State/NCAR Mesoscale Model
Ng	=	Ground Flash Density
OTD	=	Optical Transient Detector
ppm	=	Parts-per-Million (10^{-6})
pT	=	Pico-Tesla (10^{-12} Tesla)
Td	=	Thunderstorm days
TRMM	=	The Tropical Rainfall Measuring Mission
UTC	=	Universal Time Coordinated

การศึกษาและการวิเคราะห์ผลกระทบของการโลกร้อน ต่อกิจกรรมฟ้าผ่าในประเทศไทย

A Study and Analysis of Impact of Global Warming on Lightning Activity in Thailand

คำนำ

องค์ประกอบของบรรยากาศที่ห่อหุ้มโลกเปลี่ยนแปลง กล่าวคือ กําชต่าง ๆ ในบรรยากาศ ทั้งที่มีอยู่ในธรรมชาติและที่มนุษย์สังเคราะห์ขึ้น มีปริมาณเพิ่มสูงขึ้นมากจนทำให้ความสมดุลใน บรรยากาศนั้นเปลี่ยนแปลง เกิดสภาพที่เรียกว่า “ภาวะโลกร้อน” (Global Warming) หรือเรียกอีก อย่างหนึ่งว่า “การเปลี่ยนแปลงภูมิอากาศ” (Climate Change) (จำنج, 2548) โดยสาเหตุส่วนใหญ่ เกิดขึ้นจากกิจกรรมของมนุษย์ ที่มีส่วนส่งเสริมให้มีการเพิ่มขึ้นของความเข้มข้นของกําชาเรือน กระจายซึ่งมีศักยภาพทำให้อุณหภูมิของโลกนั้นสูงขึ้น ซึ่งเป็นปัจจัยสำคัญที่ทำให้สภาวะอากาศไม่ เสถียรและง่ายต่อการเกิดเมฆคิวมูลอนิมบัส (Cumulonimbus Cloud) ที่เป็นสาเหตุทำให้เกิดฟ้าร้อง (Thunder) และเกิดฟ้าผ่า (Lightning) (Price, 2009)

ปรากฏการณ์ฟ้าผ่าจึงเป็นเสมือนเครื่องมือที่ช่วยในการศึกษาสภาพภูมิอากาศของโลก ทั้ง ศึกษาการเปลี่ยนแปลงสภาพภูมิอากาศของโลกส่งผลกระทบต่อกิจกรรมฟ้าผ่าและการศึกษา กิจกรรมฟ้าผ่าส่งผลกระทบต่อการเปลี่ยนแปลงสภาพภูมิอากาศของโลก (Price, 2009) โดยเฉพาะ การเปลี่ยนแปลงสภาพภูมิอากาศประเทศไทย ซึ่งจากการเก็บข้อมูลทางสถิติที่พบว่าอุณหภูมิของ ประเทศไทยมีแนวโน้มสูงขึ้นทั้งอุณหภูมิเฉลี่ย อุณหภูมิสูงสุดเฉลี่ยและอุณหภูมิต่ำสุดเฉลี่ย (กรม อุตุนิยมวิทยา, 2551) นั้นจะส่งผลกระทบต่อกิจกรรมฟ้าผ่าในประเทศไทยได้อย่างไร

การศึกษาถึงความผันแปรของกิจกรรมฟ้าผ่า (Lightning Activity) ในประเทศไทยจึงกุญแจ สำคัญในการศึกษาผลกระทบของการโลกร้อนมีผลกระทบอย่างไรต่อประเทศไทยและสามารถนำ การศึกษาและการวิเคราะห์ครั้นนี้มาช่วยสนับสนุนงานที่เกี่ยวข้องกับระบบไฟฟ้าเพื่อให้เกิดความ มั่นคงและความน่าเชื่อถือในระบบโครงข่ายไฟฟ้าของประเทศไทยสืบไป

วัตถุประสงค์

1. เพื่อเป็นข้อมูลสนับสนุนงานทางด้านการวางแผน การปฏิบัติ การบำรุงรักษา และการควบคุมระบบไฟฟ้าเพื่อให้เกิดความมั่นคงและความน่าเชื่อถือในระบบไฟฟ้า
2. เพื่อปรับปรุงแก้ไขข้อมูลเดิมให้ทันสมัย ช่วยวิศวกรไทยนำข้อมูลที่ถูกต้องไปใช้ในการออกแบบและติดตั้งระบบป้องกันไฟฟ้าผ่าเพื่อป้องกันอันตรายต่อสิ่งมีชีวิตเนื่องจากไฟฟ้าผ่า



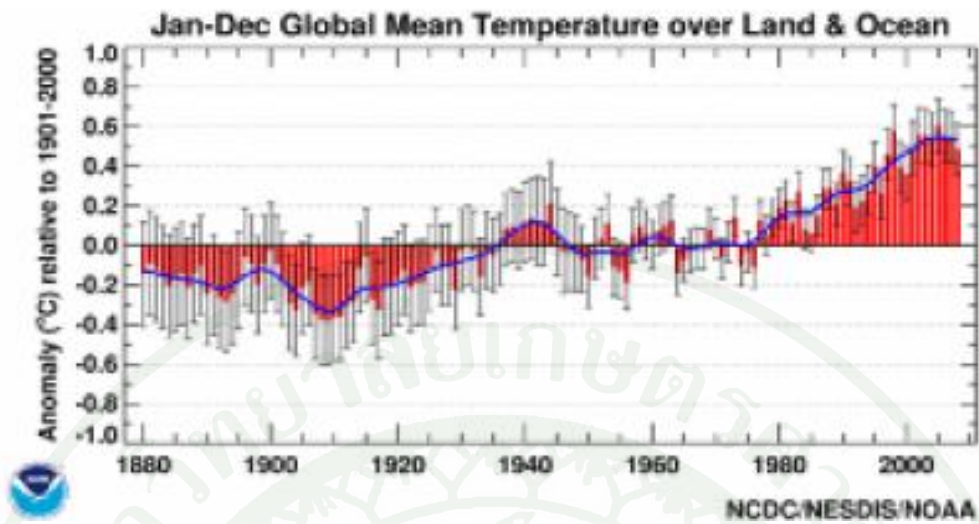
การตรวจเอกสาร

1. ภาวะโลกร้อนกับการเปลี่ยนแปลงสภาพภูมิอากาศ

ภาวะโลกร้อน หมายถึง ภาวะที่อุณหภูมิเฉลี่ยของโลกเพิ่มสูงขึ้น เป็นปรากฏการณ์อันเนื่องมาจากการที่โลกไม่สามารถรับน้ำใจความร้อนออกไปได้ จึงทำให้ชั้นบรรยากาศของโลกตึ้งแต่ผิวโลกขึ้นไป มีอุณหภูมิสูงขึ้น

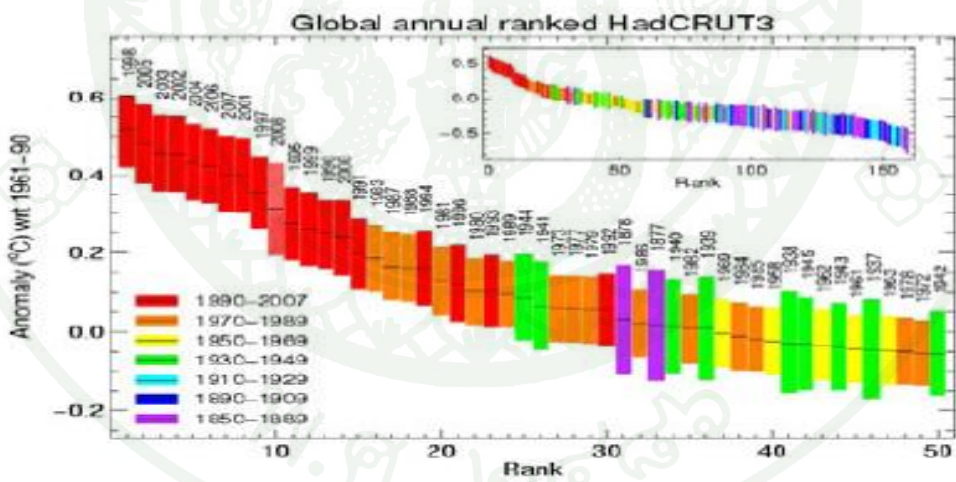
ชั้นบรรยากาศของโลกจะยอมให้รังสีคลื่นสั้นจากดวงอาทิตย์ผ่านทะลุลงมายังผิวโลก ได้แต่จะคัดกีบคลื่นรังสีคลื่นยาวที่โลกพยายามออกไปไม่ให้หลุดออกนอกบรรยากาศ ซึ่งเรามักเรียกว่า ที่ชั้นบรรยากาศของโลกจะทำตัวเสมือนกระจก ปราบภารณ์เรือนกระจก และเรียก ก๊าซในชั้นบรรยากาศซึ่งมีความสามารถในการกีบความร้อนไม่ให้ผ่านออกจากโลกว่า ก๊าซเรือนกระจก ได้แก่ ก๊าซคาร์บอนไดออกไซด์ ก๊าซมีเทน ก๊าซในตรัสรอยด์ ก๊าซไออกซิเจน และไอน้ำ

การเพิ่มขึ้นของก๊าซเรือนกระจกทำให้ชั้นบรรยากาศโลกกักเก็บพลังงานความร้อนเพิ่มขึ้น ส่งผลให้สมดุลพลังงานของโลกเปลี่ยนแปลงไป อุณหภูมิเฉลี่ยของชั้นบรรยากาศผิวโลกสูงขึ้น คลื่นความร้อนเกิดบ่อยครั้งและรุนแรงขึ้น ทำให้เกิดผลกระทบต่อการเปลี่ยนแปลงของฤดูกาล ปริมาณและการกระจายของฝน ระดับน้ำทะเล น้ำแข็งขึ้น โลกถลวย น้ำทะเลขยายตัว เกิดพายุและภัยพิบัติที่รุนแรงและมีความถี่ขึ้น วัฏจักรของการเกิดปราบภารณ์เคลื่อนที่และวนเวียนจะสั้นลง และเกิดขึ้นบ่อยครั้ง จึงมีการศึกษาและการติดตามความผันแปรของภูมิอากาศโลกซึ่งพบว่า ในช่วงระยะเวลา 30 ปีที่ผ่านมา พบร่วมกันที่อุณหภูมิของโลกสูงขึ้นมาโดยตลอด และสูงขึ้นอย่างผิดปกติในช่วง 10 ปีหลังสุด (กรมอุตุนิยมวิทยา, 2551)



ภาพที่ 1 อุณหภูมิเฉลี่ยของโลก ตั้งแต่ ก.ศ.1880 - 2008 เปรียบเทียบกับค่าเฉลี่ย

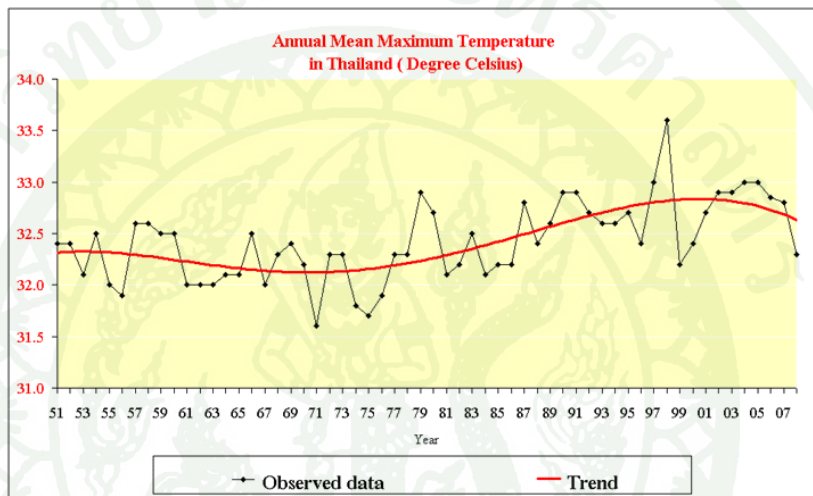
ที่มา: Met Office (2008)



ภาพที่ 2 การจัดลำดับอุณหภูมิโลก รายปีที่ร้อนมาก

ที่มา: Met Office (2008)

การศึกษาและเฝ้าติดตามความผันแปรอุณหภูมิของประเทศไทย จากการเก็บข้อมูลของกรมอุตุนิยมวิทยา ระยะเวลา 54 ปี พ.ศ. 2494 - 2549 พบว่า อุณหภูมิของประเทศไทยมีแนวโน้มสูงขึ้นทั้งอุณหภูมิเฉลี่ย อุณหภูมิสูงสุดเฉลี่ยและอุณหภูมิต่ำสุดเฉลี่ย สำหรับสถิติอุณหภูมิสูงสุดที่ตรวจวัดได้ภาคเหนือ 45.5 องศาเซลเซียส ภาคตะวันออกเฉียงเหนือ 43.9 องศาเซลเซียส ภาคกลาง 43.5 องศาเซลเซียส ภาคตะวันออก 42.9 องศาเซลเซียส ภาคใต้ฝั่งตะวันออก 41.2 องศาเซลเซียส และภาคใต้ฝั่งตะวันตก 40.5 องศาเซลเซียส (กรมอุตุนิยมวิทยา, 2551)

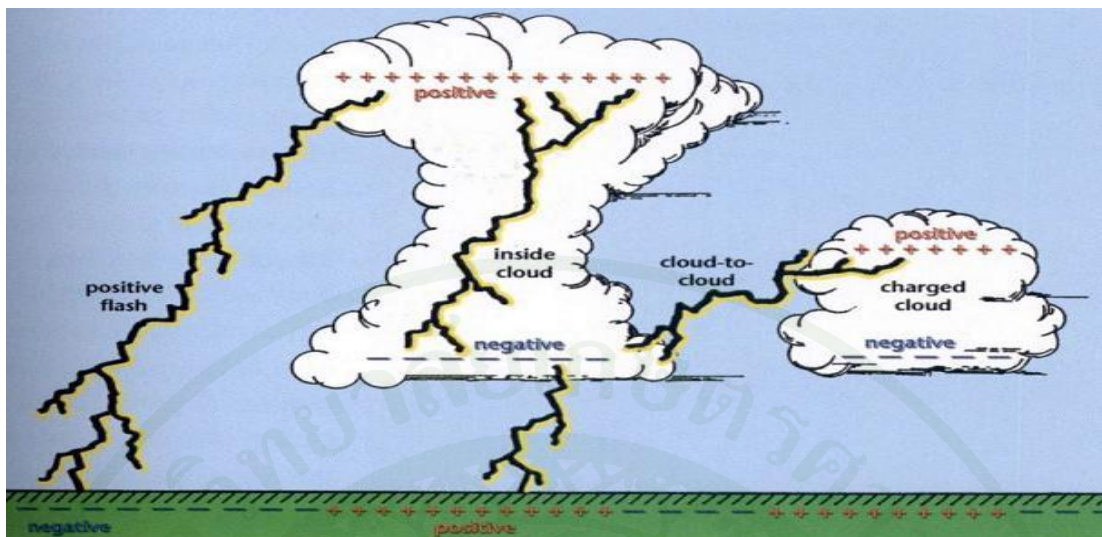


ภาพที่ 3 อุณหภูมิสูงสุดเฉลี่ยของประเทศไทย

ที่มา: กรมอุตุนิยมวิทยา (2551)

2. ปรากฏการณ์ฟ้าผ่าและพายุฝนฟ้าคะนอง

ฟ้าผ่าอาจเกิดขึ้นได้ระหว่างก้อนเมฆกับก้อนเมฆภายในกลุ่มเมฆเดียวกันหรือเกิดขึ้นระหว่างก้อนเมฆกับพื้นดิน เมื่อเกิดความต่างศักย์ไฟฟ้าระหว่างทั้งสองตำแหน่งที่มีค่าระดับหนึ่งซึ่งก่อให้เกิดสนามไฟฟ้าขนาดใหญ่โดยประจุไฟฟ้าบวกจะอยู่ทางด้านบนของเมฆและประจุไฟฟ้าลบจะอยู่ทางตอนล่างของเมฆ ประจุไฟฟ้าลบนี้จะชักนำให้ประจุไฟฟ้าบวกที่อยู่ด้านบนก้อนเมฆหรือประจุไฟฟ้าบวกที่อยู่ใต้พื้นผิวโลก เคลื่อนที่เข้าหาประจุไฟฟ้าลบบริเวณใต้กลุ่มเมฆ โดยมีอากาศทำหน้าที่เป็น媒介 ป้องกันการถ่ายเทของประจุไฟฟ้าทั้งสอง เมื่อมีกำลังพอที่จะทำให้เกิดเป็นกระแสไฟฟ้าไหลผ่าน อากาศทำให้เกิดไฟ燎ในก้อนเมฆหรือระหว่างก้อนเมฆและเกิดกระแสไฟฟ้าไหลผ่านอากาศย่างเฉียบพลันจากเมฆซึ่งทำให้ฟ้าผ่า



ภาพที่ 4 ชนิดต่าง ๆ ของฟ้าผ่า

ที่มา: นิรนาม (2551)

ฟ้าผ่า ฟ้าແລນ และฟ้าร้อง เป็นปรากฏการณ์ที่มักจะเกิดขึ้นควบคู่กับพายุฝนฟ้าคะนองซึ่งเกิดจากเมฆที่ก่อตัวขึ้นในทางด้าน (แนวคิ่ง) ขนาดใหญ่ของเมฆฝนฟ้าคะนอง (Thundercloud) หรือที่นักอุตุนิยมวิทยาเรียกว่า เมฆคิวมูลอนิมบัส (Cumulonimbus) หรือเมฆธูปทั่งซึ่งเป็นสาเหตุสำคัญที่ทำให้เกิดลักษณะอากาศร้ายชั่นิดต่าง ๆ เช่น ลมกระโชก ฝนตกหนัก ลูกเห็บตก

เมฆพายุฝนฟ้าคะนองที่รุนแรงในประเทศไทยจะมีฐานเมฆต่ำและมีกระแสอากาศไหลลงรุนแรงจนเกิดเมฆเป็นลำพวยพุ่งลงมาจานไกลี้นี่คือดูดเอาอากาศและเศษวัสดุหมุนวนเป็นลำพวยขึ้นไปในอากาศ ความรุนแรงของลำพวยอากาศนี้สามารถบิดให้ต้นไม้ขนาดใหญ่หักขาดได้ ในขณะที่บ้านเรือนและสิ่งก่อสร้างจะได้รับความเสียหายระหว่างเดือนมีนาคม - เมษายนของทุกปี

อันตรายที่สำคัญอย่างหนึ่ง คือ การเปลี่ยนแปลงทิศทางและความเร็วลมอย่างรวดเร็วทันทีทันใด ในบริเวณไกลี้ ๆ ผู้พื้นถิ่นที่พายุฟ้าคะนองจะเคลื่อนที่มาถึงลมที่พัดครึ่งแรกล่างหน้ามาก่อนหน้านี้ เรียกว่า "ลมกระโชกระลอกแรก" ซึ่งเป็นอันตรายอย่างยิ่งต่อเครื่องบินที่กำลังร่อนลงหรือนำเข้าทางด้านหน้าของพายุฟ้าคะนอง

2.1 วงศ์ชีวิตของพายุฝนฟ้าคะนองแบ่งออกเป็น 3 ขั้นตอน

1. ระยะเริ่มก่อตัวเป็นเมฆคิวมูลัส (**Cumulus**) โดยเริ่มขึ้นเมื่อมีอุณหภูมิพิวพื้นเพิ่มสูงขึ้นจะทำให้มวลอากาศร้อนลอยตัวขึ้นสู่บรรยากาศพร้อมกับการมีแรงมกรำทำให้อรือผลักดันให้มวลอากาศยกตัวขึ้นไปสู่ความสูงระดับหนึ่ง โดยมวลอากาศจะเย็นลงเมื่อลอยสูงขึ้น และเริ่มที่จะเคลื่อนตัวเป็นละอองน้ำเล็ก ๆ เป็นการก่อตัวของเมฆคิวมูลัส (**Cumulus**) ในขณะที่ความร้อนแห้งจากการกลั่นตัวของไอน้ำจะช่วยให้อัตราการลดอุณหภูมิลง เมฆคิวมูลัสเริ่มมากขึ้นซึ่งเป็นสาเหตุให้ขนาดของเมฆคิวมูลัสมีขนาดใหญ่ขึ้นและยอดเมฆสูงเพิ่มขึ้นเป็นลำดับ จนสามารถเคลื่อนที่ขึ้นถึงระดับบนสุดแล้ว (จุดอิ่มตัว) แล้วพัฒนามาเป็นเมฆคิวโนโลนิมบัส (**Cumulonimbus**) กระแสอากาศบางส่วนก็จะเริ่มเคลื่อนที่ลงและเพิ่มมากขึ้นจนกลายเป็นกระแสอากาศที่เคลื่อนที่ลงอย่างเดียว (จำนวน, 2548)

2. ระยะเจริญเติบโตเต็มที่ (**Mature**) ระยะนี้พายุเริ่มพัดเกิดกระแสอากาศตามตัวลงกระแสอากาศมีทั้ง ไฟลั่นและไฟลลง เนื่องจากฝนตกลงมาจะดึงเอามวลอากาศให้沉ตัวลงมาด้วย และมวลอากาศอุ่นกึ่งคงลอยตัวขึ้นเบื้องบนต่อไป จากผลดังกล่าวทำให้เกิดสภาพอากาศแปรปรวน และลมกระโชกแรง เนื่องมาจากมวลอากาศในก้อนเมฆมีความแปรผันมาก มีการหมุนเวียนของกระแสอากาศขึ้นลง เกิดฟ้าแลบ ฟ้าร้อง รวมทั้งอาจมีลูกเห็บตกด้วยเช่นกัน จากปริมาณความร้อนแห้งที่เกิดขึ้นจากการกลั่นตัวลดน้อยลง ซึ่งมีสาเหตุมาจากการที่หยดน้ำฟ้าที่ตกลงมามีอุณหภูมิต่ำ ช่วยทำให้อุณหภูมิของกลุ่มอากาศเย็นกว่าอากาศแวดล้อม ดังนั้นอัตราการเคลื่อนที่ลงของกระแสอากาศจะมีค่าเพิ่มขึ้นเป็นลำดับ กระแสอากาศที่เคลื่อนที่ลงมาจะแผ่ขยายตัวออกด้านข้าง ก่อให้เกิดลมกระโชกrunแรง อุณหภูมิจะลดลงทันทีทันใด และความกดอากาศจะเพิ่มขึ้นอย่างรวดเร็วและยาวนาน แผ่ออกไปไกลถึง 60 กิโลเมตร ได้ โดยเฉพาะส่วนที่อยู่ด้านหน้าของทิศทาง การเคลื่อนที่ของพายุฝนฟ้าคะนอง พร้อมกันนี้การที่กระแสอากาศเคลื่อนที่ขึ้น และเคลื่อนที่ลงจะก่อให้เกิดลมเชียร์รุนแรง และเกิดอากาศปั่นป่วนโดยรอบ ในขั้นตอนนี้ยอดเมฆอาจสูงถึง 50,000-60,000 ฟุต (15-18 กิโลเมตร) (จำนวน, 2548)

3. ระยะสลายตัว (**Dissipating**) เป็นระยะสุดท้ายเมื่อศูนย์กลางพายุจะดับลง ไกลพื้นดิน หยาด น้ำฟ้าตกลงมาอย่างรวดเร็วและหมดไป พร้อม ๆ กับกระแสอากาศที่ไหลลงก็จะเบาบางลง ในที่สุดก็จะเหลือเพียงกระแสลมเท่านั้น ทรงของเมฆจะเปลี่ยนจากเมฆคิวโนโลนิมบัส (**Cumulonimbus**) เป็นเมฆอัลโตสเตรตัส (**Altocstratus**) หรือ เมฆซีโรคิวมูลัส (**Cirrocumulus**) ซึ่งฟันจะเบาบางและหายไปในที่สุด (จำนวน, 2548)



ภาพที่ 5 การเกิดของพายุฝนฟ้าคะนอง

ที่มา: จำนำ (2548)

2.2 ปรากฏการณ์ที่เกิดจากพายุฝนฟ้าคะนอง

บุณยะเกิดพายุฝนฟ้าคะนองจะเกิดฟ้าแลบ ฟ้าร้อง ฟ้าผ่า ลูกเห็บตก มีลมกระโชกแรง เป็นครั้งคราว โดยในรอบ 1 ปี ทั่วโลกมีพายุฝนฟ้าคะนองเกิดขึ้นถึง 16 ล้านครั้ง โดยเฉพาะในเขต ละติจูดสูง และ ในเมืองที่อากาศร้อนชื้น จะมีจำนวนวันที่มีพายุฝนฟ้าคะนองเกิด ได้ถึง 80 - 160 วัน ต่อปี สำหรับประเทศไทยมักเกิดมากในเดือน เมษายน - พฤษภาคม เป็นช่วงที่เกิดพายุฝนฟ้าคะนองมากที่สุด (จำนำ, 2548)

1. การเกิดฟ้าแลบ เกิดขึ้นพร้อมกับฟ้าร้องแต่น้อยเรามองเห็นฟ้าแลบก่อน ได้ยินเสียง ฟ้าร้อง เนื่องจากแสงเดินทางเร็วกว่าเสียง (แสงมีอัตราเร็ว 300,000 กิโลเมตร/วินาที ส่วนเสียงมี อัตราเร็ว $\frac{1}{3}$ ของแสง) ประกายไฟฟ้าของฟ้าแลบ 1 ครั้ง มีปริมาณไฟฟ้าจำนวนสูงถึง 200,000 แอมเปอร์ และมีความต่างศักย์ถึง 30 ล้านโวลต์ ฟ้าแลบเกิดจากประจุไฟฟ้าเคลื่อนที่จากก้อนเมฆสู่ ก้อนเมฆ จากก้อนเมฆสู่พื้นดิน โดยมีขั้นตอนคือ ประจุไฟฟ้าที่เคลื่อนที่่ายเทในก้อนเมฆมีการ เคลื่อนที่หลุดออกมานะและถ่ายเทสู่อาคารสิ่งก่อสร้าง หรือดินไม้สูงบนพื้นดิน เหตุการณ์เหล่านี้ใช้ เวลาไม่ yok กว่า 1 วินาที และเกิดเป็นแสงของฟ้าแลบ ซึ่งบางครั้งคำแสงมีความยาวถึง 60 - 90 เมตร (จำนำ, 2548)

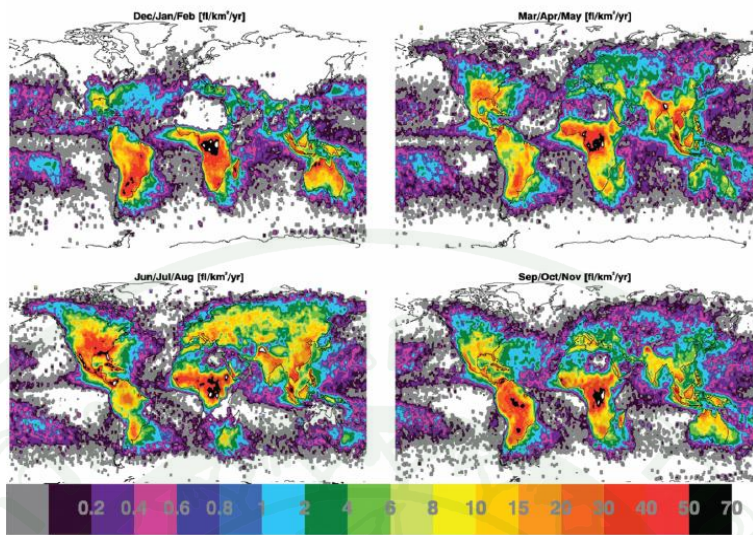
2. การเกิดฟ้าร้อง เนื่องจากประกายไฟฟ้าของฟ้าແລນทำให้อากาศในบริเวณนั้นมีอุณหภูมิสูงขึ้นถึงประมาณ 25,000 องศาเซลเซียส อุ่นจนเมียบพื้น มีผลทำให้อากาศมีการขยายตัวอุ่นรวดเร็วและรุนแรง ทำให้เกิดเสียง "ฟ้าร้อง" เนื่องจากฟ้าร้องและฟ้าແລນเกิดขึ้นพร้อมกัน ดังนั้นเมื่อเรามองเห็นฟ้าແລນ และนับจำนวนวินาทีต่อไปจนกว่าจะได้ยินเสียงฟ้าร้อง เช่น ถ้านับได้ 3 วินาที แสดงว่าฟ้าແລນอยู่ห่างจากเราไปประมาณ 1 เมตร และสาเหตุที่เราได้ยินเสียงฟ้าร้องคราวๆ ครางอย่างต่อเนื่อง ไปอีกระยะหนึ่ง เนื่องจากมีสาเหตุมาจากการเดินทางของเสียงมีความต่างกันในเรื่องของระยะเวลาและระยะทางที่คานเกี่ยวกันนั่นเอง (จำง, 2548)

3. การเกิดฟ้าผ่าเป็นปรากฏการควบคู่กันกับฟ้าແລນ และฟ้าร้อง เนื่องจากประจุไฟฟ้าได้มีการหลุดออกมากจากกลุ่มเมฆฝน และถ่ายเทลงสู่พื้นดิน ต้นไม้ อาคารหรือสิ่งก่อสร้าง ตลอดจนสิ่งมีชีวิตอื่น ๆ ฟ้าผ่าอาจก่อให้เกิดอันตรายถึงชีวิตได้ เนื่องจากมีพลังงานไฟฟ้าสูง ความรุนแรงของกระแสไฟฟ้าจากฟ้าผ่านเพียงพอที่จะจุด火ลอดไฟฟ้าบนหาด 60 แรงเทียน ให้ส่วนที่ได้ถึงจำนวน 600,000 ดวง เลยทีเดียว (จำง, 2548)

3. กิจกรรมฟ้าผ่า (Lightning activity) และความสัมพันธ์ระหว่างตัวแปร

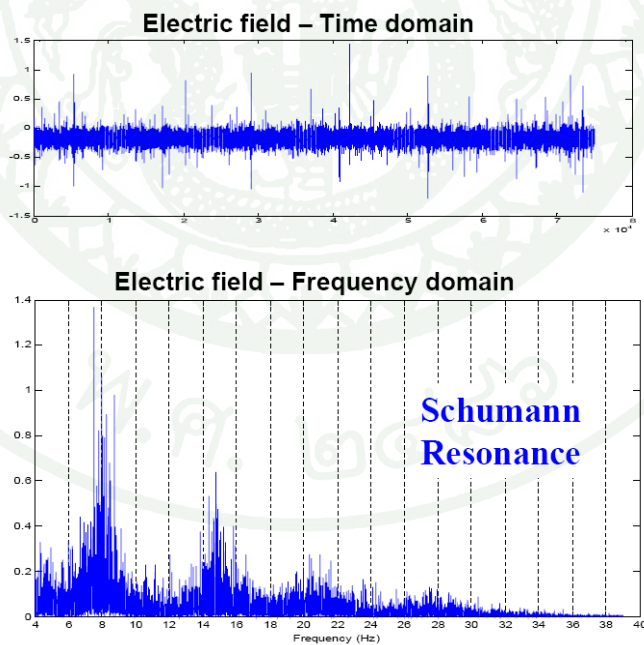
ในระยะเวลา 10 ปีที่ผ่านมา พฤกษาได้เรียนรู้เกี่ยวกับกิจกรรมฟ้าผ่า (Lightning Activity) และพายุฝนฟ้าคะนอง (Thunderstorms) ที่เกิดขึ้นทั่วโลก ได้จากการเดินทางสำรวจ ได้แก่ ดาวเทียมบน空 อากาศยานของนาซ่า ซึ่งมีอุปกรณ์ที่เรียกว่า Optical Transient Detector (OTD) และ Lightning Imaging Sensor (LIS) ใช้ในการตรวจจับฟ้าผ่า ดาวเทียม TRMM (The Tropical Rainstorm Measuring Mission) ถูกส่งขึ้นไปประจำการบันทึกข้อมูลการเกิดฟ้าผ่าทั่วโลก ตั้งแต่ปี ค.ศ. 1995 และ 1997 ตามลำดับ พบว่า ฟ้าผ่าส่วนมากจะเกิดเหนือภาคพื้นทวีป โดยเฉพาะแถบทรопิกส์เป็นส่วนใหญ่ ดังภาพที่ 6 ด้านล่างนี้ ที่ฟลอริด้า จะมีกระแสพายุจากฟ้าผ่าส่วนใหญ่มาจากมหาสมุทรแอตแลนติก และจากอ่าวเม็กซิโกมาปะทะกัน บีบดันให้อากาศพุ่งขึ้นในแนวตั้ง จนเกิดภาวะลมกระโชกแรงต่อการเกิดฟ้าผ่า ตัวเลขในภาพ บอกอัตราจำนวนฟ้าผ่าที่เกิดในพื้นที่ 1 ตารางกิโลเมตรต่อปี (Price, 2009)

ส่วนจากการทางภาคพื้นดิน ใช้วิธีที่เรียกว่า Schumann Resonance Methods ซึ่งเป็นวิธีการตรวจจับคลื่นสนามแม่เหล็กไฟฟ้าที่มีความถี่ในย่านต่ำมากๆ (Extremely Low Frequency: ELF; 4 Hz < f < 40 Hz) จะเกิดคลื่นชนิดนี้ขึ้นในทุกครั้งที่เกิดปรากฏการณ์ฟ้าผ่า สามารถเฝ้าสังเกตการณ์ ขณะที่เกิดขึ้น ได้ทั่วโลกแต่กุญแจสำคัญมีเพียงไม่กี่จุด เนื่องจากอาศัยหลักการของคลื่นที่สามารถเดินทางได้รอบโลก ในเวลาอันสั้นก่อนที่มันจะสลาย (Price, 2009)



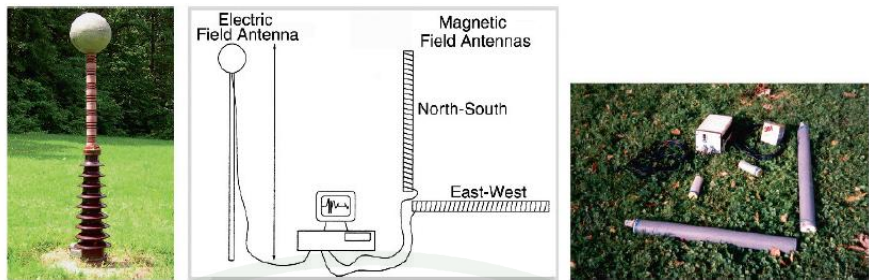
ภาพที่ 6 แผนที่แสดงการเกิดฟ้าผ่าทั่วโลก โดยการเก็บข้อมูลจากภาพถ่ายดาวเทียม TRMM

ที่มา: Price (2009)



ภาพที่ 7 คลื่นสนามแม่เหล็กไฟฟ้าความถี่ในย่านต่ำมาก ๆ ตรวจสอบโดยวิธี Schumann Resonance

ที่มา: Price (2008)

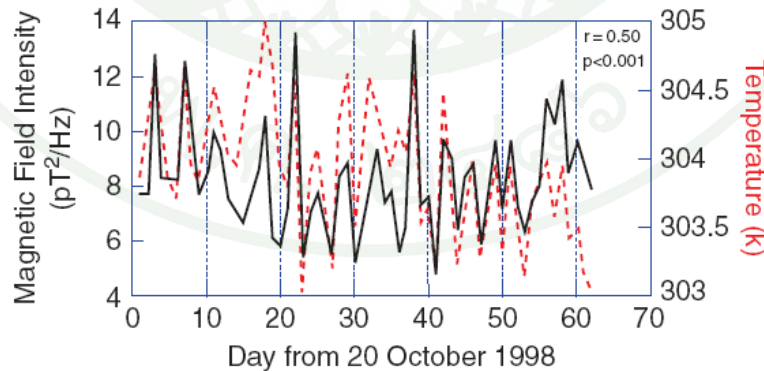


ภาพที่ 8 ภาพอุปกรณ์ต่าง ๆ ที่นำมาใช้ในวิธี Schumann Resonance

ที่มา: Williams and Mushtak (2009)

อุณหภูมิ ความชื้น ปริมาณฝน ความเร็วลม จำนวนเมฆ และ ก้าช ไอโซน เป็นตัวแปรที่ถูกนำมาใช้เป็นกัญแจสำคัญในศึกษาถึงความสัมพันธ์กับปรากฏการณ์ฟ้าผ่า ตัวอย่างเช่นการศึกษาความสัมพันธ์ของอุณหภูมิและ ไอน้ำ มีอิทธิพลต่อกิจกรรมฟ้าผ่านแต่ละวัน ณ ทวีปแอฟริกา นานกว่า 2 เดือน จากวันที่ 20 ตุลาคมถึง 20 ธันวาคม 2541 โดยใช้วัดค่าด้วยวิธี Schumann Resonance (Price and Asfur, 2006) ดังภาพที่ 9 และภาพที่ 10 ตามลำดับ

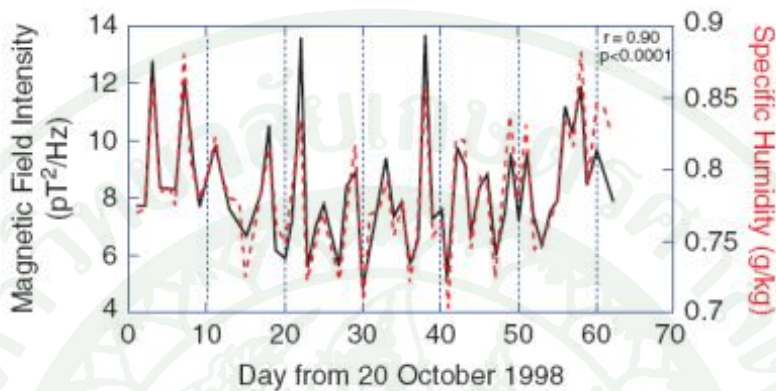
1. อุณหภูมิ (Temperature) อุณหภูมิผิวพื้น (Surface Temperature) มีความสัมพันธ์กับกิจกรรมฟ้าผ่า (Lightning Activity) อย่างชัดเจน ดังภาพที่ 9 จากการทดลองของ Price (2009) พบว่า ทุกๆ ครั้งที่โลกมีอุณหภูมิสูงขึ้น 1°C จะมีจำนวนฟ้าผ่าเพิ่มมากขึ้นทุก ๆ 10%



ภาพที่ 9 ในแต่ละวันที่มีกิจกรรมฟ้าผ่า (สีดำ) และอุณหภูมิพื้นผิว (สีแดง) ณ ทวีปแอฟริกา

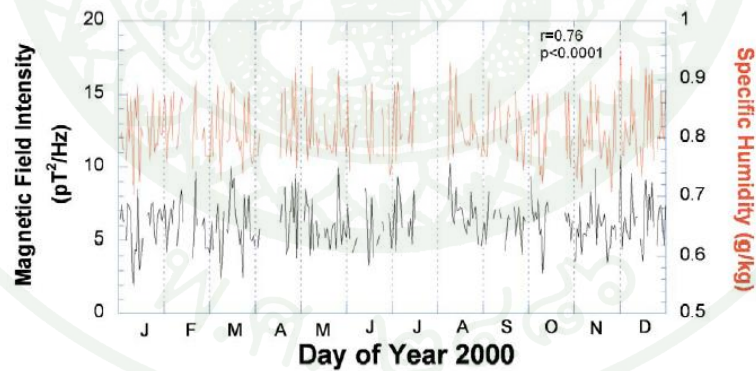
ที่มา: Price (2009)

2. ไอน้ำ (Water Vapor) ซึ่งอัตราส่วนระหว่างมวลของไอน้ำในอากาศชื้นต่อมวลอากาศทั้งหมดคือ ความชื้นจำเพาะ (Specific Humidity) ซึ่งมีความสัมพันธ์กับกิจกรรมฟ้าผ่า โดยสังเกตได้ว่าความชื้นจำเพาะจะถ้าหลังกับกิจกรรมฟ้าผ่าอยู่ 24 ชม. ดังภาพที่ 10



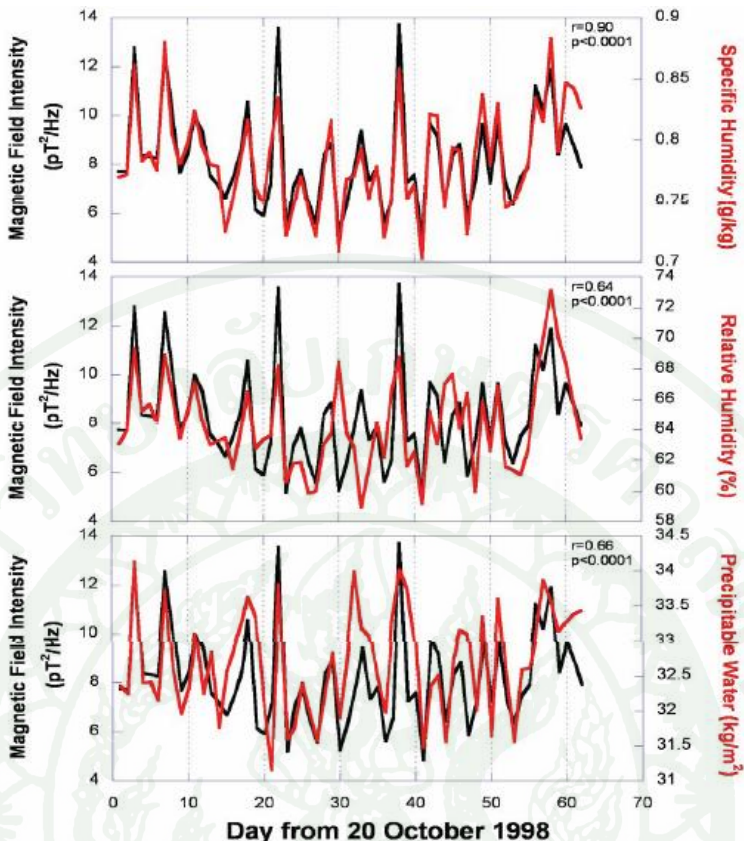
ภาพที่ 10 ในแต่ละวันที่มีกิจกรรมฟ้าผ่า (สีดำ) กับความชื้นจำเพาะ (สีแดง) ณ ทวีปแอฟริกา

ที่มา: Price (2009)



ภาพที่ 11 ในแต่ละวันที่มีกิจกรรมฟ้าผ่า (สีดำ) กับความชื้นจำเพาะ (สีแดง) เป็นรายเดือน ในปี ค.ศ. 2000 ณ ทวีปแอฟริกา (ซึ่งว่างหมายถึงไม่มีข้อมูล Schumann Resonance)

ที่มา: Price and Asfur (2006)



ภาพที่ 12 ความชื้นจำเพาะ (Specific Humidity) ความชื้นสัมพันธ์ (Relative Humidity) และหยาดน้ำฝน (Precipitation Water) กับกิจกรรมฟ้าผ่าในแต่ละวัน ณ ทวีปแอฟริกา

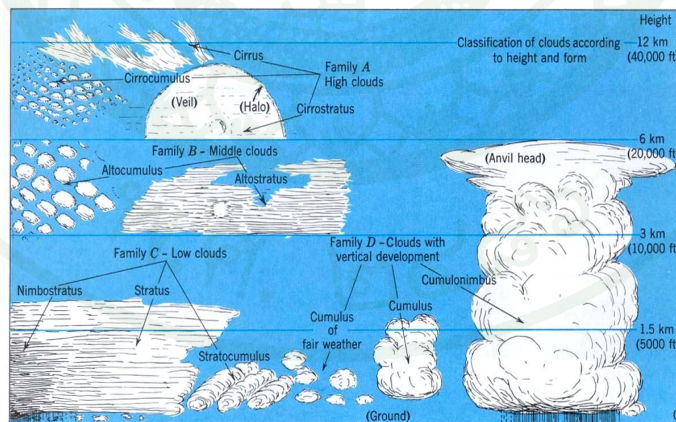
ที่มา: Price and Asfur (2006)

ความชื้นสัมพันธ์ (Relative Humidity) และหยาดน้ำฝน (Precipitation Water) กับกิจกรรมฟ้าผ่าในแต่ละวัน มีความสัมพันธ์กับกิจกรรมฟ้าผ่า เช่นเดียวกันกับความชื้นจำเพาะ (Specific Humidity) ดังภาพที่ 12 (Price and Asfur, 2006)

3. หยาดน้ำฝน (Precipitation Water) คือปริมาณความชื้นทั้งหมดที่มีอยู่ในชั้นบรรยากาศ ในธรรมชาติเป็นการเรียกรวมของ หยดน้ำและน้ำแข็ง ที่เกิดจากการควบแน่นของไอน้ำแล้วตกลงมา สู่พื้น มีประโยชน์ในการนำไปหาปริมาณน้ำสูงสุดจากอากาศที่ตกลงสู่พื้นโลก สามารถแบ่งชนิดหยาดน้ำฝนในประเทศไทยได้แบบต่างๆ เช่น หิมะ (Snow) ลูกเห็บ (Hail) ละอองหมอก (Mist) ฝนละออง (Drizzle) และฝน (Rain) (พิสิกส์ราชมงคล, 2550)

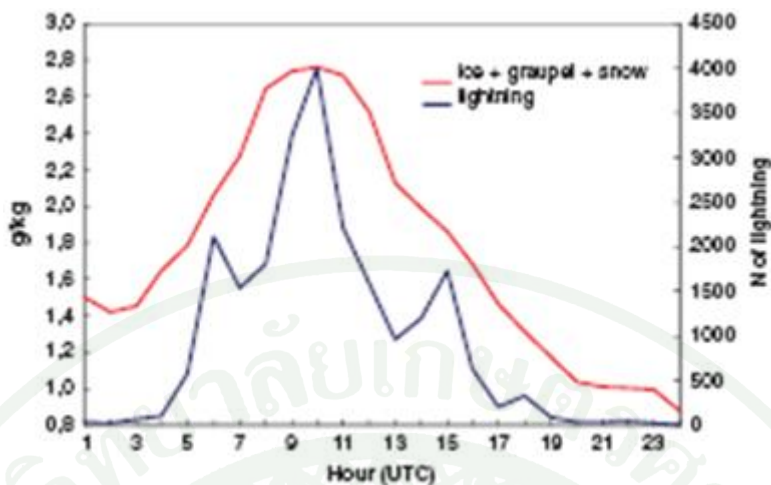
ฝน (Rain) เป็นหยดน้ำมีขนาดประมาณ 0.5 – 5 มิลลิเมตร ส่วนใหญ่ตกลงมาจากเมฆนิ่ม โนบสเตรตัสและเมฆคิวมูลูนิมบัส ความสัมพันธ์ระหว่างฝนกับอุณหภูมิพื้นผิวโลก ศึกษาจากงานวิจัยของ พอล ไอ กอร์แมน (Paul O' Gorman) ผู้ช่วยศาสตราจารย์จากภาควิชาโลกร บรรยายกาศและดวงดาว แห่งสถาบันเทคโนโลยีแมสซาชู塞ตต์หรือเอ็ม.ไอ.ที. (MIT) และทาพิโอ ชไนเดอร์ (Tapió Schneider) ศาสตราจารย์ด้านสิ่งแวดล้อมและวิศวกรรมแห่งสถาบันเทคโนโลยีแห่งแคลิฟอร์เนีย หรือคัลเทค (Caltech) สำหรัฐอเมริกา ได้ร่วมกันสร้างแบบจำลองและทำการศึกษาพบว่า พายุฝนจะมีความรุนแรงเพิ่มขึ้นประมาณ 6 % เมื่ออุณหภูมิพื้นผิวโลกเฉลี่ยเพิ่มขึ้นทุก 1 องศาเซลเซียส โดยนายพอล ไอ กอร์แมน กล่าวว่า “พื้นฐานของเหตุผลที่ศึกษาการเพิ่มขึ้นของฝนที่มีความรุนแรงขึ้น คืออากาศที่ร้อนขึ้น ทำให้มีไอน้ำมากขึ้นด้วย ดังนั้นภูมิอากาศที่ร้อนขึ้นจะมีไอน้ำในชั้นบรรยากาศมากขึ้น ซึ่งนำไปสู่ปริมาณพายุฝนที่มีความรุนแรงเพิ่มมากขึ้น” (ศูนย์ภูมิอากาศ, 2552)

4. เมฆ (Cloud) ที่เรามองเห็น คือละอองน้ำและเกล็ดน้ำแข็งที่รวมตัวกันเป็นกลุ่มก้อนลอยตัวอยู่ในชั้นบรรยากาศ ซึ่งเกิดขึ้นเมื่อละอองน้ำเกิดการควบแน่นและมีการยกตัวของกลุ่มอากาศ (Air Parcel) ผ่านความสูงเหนือระดับควบแน่นและมีอุณหภูมิลดต่ำกว่าจุดน้ำค้าง ในเมื่อเมฆเป็นหยดน้ำในสถานะของเหลวหรือเกล็ดน้ำแข็งในสถานะของแข็ง จะส่งผลต่อระบบการหมุนเวียนของน้ำบนพื้นโลก เราจึงมีศึกษาการเปลี่ยนแปลงสภาพอากาศจากข้อมูลเมฆและโครงสร้างของเมฆ ด้วย (ฟิสิกส์ราชมงคล, 2550)



ภาพที่ 13 ลักษณะของเมฆชนิดต่าง ๆ

ที่มา: ฟิสิกส์ราชมงคล (2550)

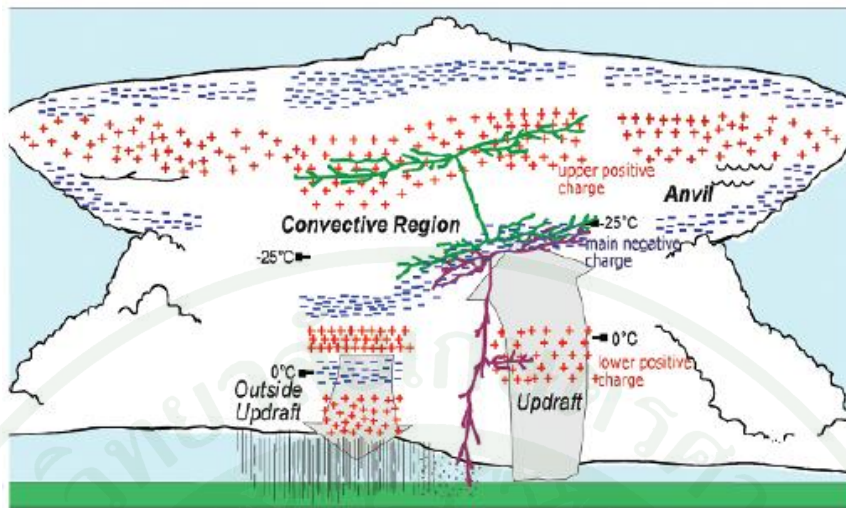


ภาพที่ 14 ความสัมพันธ์ระหว่างส่วนประกอบของอนุภาคเมฆ (สีแดง) กับจำนวนครั้งที่ฟ้าผ่า (สีน้ำเงิน)

ที่มา: Kotroni and Kostas (2009)

จากการทดลอง Kotroni and Kostas (2009) คาดคะเนวันออกทะเลเมดิเตอร์เรเนียน วันที่ 13 ธันวาคม 2005 ได้วิเคราะห์ฟ้าผ่าจะเป็นไปตามข้อมูลที่ได้มาจากเครื่องข่าย Zeus (คลื่นเสียงวิทยุถูกปล่อยออกมานะเกิดฟ้าผ่าซึ่งเป็นคลื่นความถี่ที่ต่ำมากแต่ละสถานีที่ได้รับจะการบันทึกในรูปคลื่นและการลงเวลารวมถึงระบุตำแหน่งที่ตรวจพบด้วย) และแบบจำลอง MM5 ซึ่งเป็นแบบจำลองสภาพอากาศท้องถิ่นที่ใช้วิเคราะห์สภาพการเปลี่ยนแปลงสภาพอากาศ ดังแต่ 3 กิโลเมตร ถึงหลายร้อยกิโลเมตร โดยพิจารณาภูมิประเทศ การพากลางร้อนที่เกิดในบริเวณพื้นที่ทำการวิเคราะห์และได้รวม Land surface model ที่สามารถวิเคราะห์หาปริมาณน้ำฝนอุณหภูมิความเร็วลมทิศทางลมที่สัมพันธ์กับทรัพยากรแหล่งน้ำในบริเวณพื้นที่ศึกษาแต่ในการทดลองนี้ถูกนำมาหาส่วนประกอบของอนุภาคเมฆ ได้แก่ ลูกเห็บที่มีความเย็นคล้ายน้ำแข็งแห้ง (Graupel) และน้ำแข็งหรือผลึกน้ำแข็ง (Ice-crystal clouds) กับความสัมพันธ์จำนวนครั้งที่ฟ้าผ่า ดังภาพที่ 14

5. ความเร็วลม (Wind speed) มีอิทธิพลต่อประจุบวกและประจุลบในก้อนเมฆซึ่งหมายถึงสนามไฟฟ้าที่เกิดขึ้นจะทำให้เกิดไออกอโนเซชั่นเกิดเป็นฟ้าผ่าได้ ลมจะประกอบด้วยโมเลกุลของแก๊สชนิดต่างๆ เมื่อล้มพัดด้วยความเร็วสูงจะทำให้เกิดการขัดสีกับผิวน้ำโลกและทำให้ไม่เลกุลของลมได้รับอิเลคตรอนและถ่ายเทอิเลคตรอน ไปให้กับด้านฐานของก้อนเมฆตามทฤษฎีของ Simpson



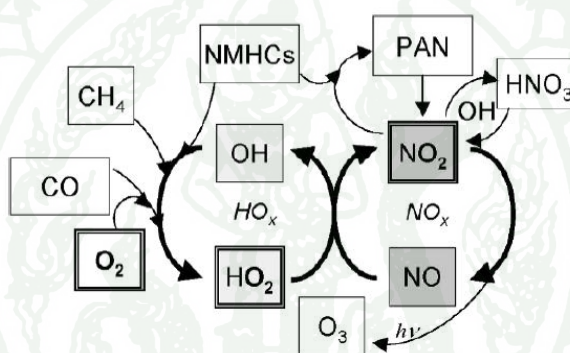
ภาพที่ 15 ประจุบวกและประจุลบที่เกิดขึ้นในก้อนเมฆ

ที่มา: Stolzenburg and Marshall (2009)

Simpson ได้เสนอทฤษฎีที่เกิดประจุบวกและลบในก้อนเมฆ โดยอธิบายถึงความสำคัญของความเร็วลมต่อการเกิดปรากฏการณ์ฟ้าผ่าว่า มีประจุบวกเข้มข้นรวมอยู่กลุ่มหนึ่งที่ฐานและส่วนบนของก้อนเมฆ ส่วนประจุลบกระจายไปทั่ว ก้อนเมฆ ในส่วนของ ก้อนเมฆ ที่มีอุณหภูมิต่ำกว่าจุดเยือกแข็ง (-10°C) ไม่มียอดน้ำเด่นลับมีเกล็ดน้ำแข็งและเมื่อโคนอากาศเกล็ดเหล่านี้จะเก็บประจุลบไว้ ส่วนอากาศที่คลอยขึ้นไปมีประจุบวก ทำให้ประจุบวกและประจุลบแยกออกจากกันในบริเวณที่มีอุณหภูมิต่ำกว่าจุดเยือกแข็ง ส่วนบริเวณที่มีอุณหภูมิสูงกว่าจุดเยือกแข็งนั้นยอดน้ำที่มีรักมีมากกว่า 2.5 มน. ไม่เตี๊ยรากพังนั้นจึงแตกออกและหยดน้ำเล็กๆ เหล่านี้มีประจุบวก ส่วนอากาศมีประจุลบเนื่องจากความเร็วของหยดน้ำ 0.25 ม.ม./วินาที ดังนั้นถ้ามีความเร็วมากกว่า 8 เมตร/วินาที ไม่มียอดน้ำตกลงมาบนพื้นโลก อากาศพัดผ่านเข้าไปใน ก้อนเมฆ จำกัดด้านล่างมีความเร็วมากกว่า 8 เมตร/วินาที ดังนั้นหยดน้ำที่มีขนาดใหญ่ที่ตกลงมาบริเวณด้านล่าง ได้แตกตัวออกและทุกครั้งที่แตกตัวจะมีประจุบวกเกิดขึ้น ส่วนประจุลบถูกลมพัดพาขึ้นทางด้านบน หยดน้ำเล็กๆ ที่มีประจุบวกถูกพัดพาไปชั่วขณะและรวมตัวกันและตกลงมาอีกเป็นชั่วขณะนี้เรียกว่า ดังนั้นหยดน้ำจึงมีประจุบวกเพิ่มมากขึ้นเรื่อยๆ และประจุลบก็ถูกอากาศพัดพาไปทั่ว ก้อนเมฆ (ชำนาญ, 2522)

6. ไอโอดีน (O_3) ปฏิกิริยาเคมีในชั้นโตรโพสฟีย์ (Tropospheric Chemistry) พบว่าการเกิดฟ้าฝ่ามือที่ผลต่อการเปลี่ยนแปลงสภาพภูมิอากาศ เนื่องจากปรากฏการณ์ฟ้าฝ่าที่เกิดขึ้นในชั้นบรรยากาศจะเป็นแหล่งกำเนิดที่สำคัญในการผลิตไนโตรเจนออกไซด์ (NO_x) ซึ่งเป็นก้าวทำให้เกิดไอโอดีน (O_3) ตามอุปกรณ์ ซึ่งถือว่าเป็นก้าวเรือนกระจุกที่สำคัญชนิดหนึ่ง (Price, 2009)

Grewie (2009) พบว่าในช่วงปี 1990 - 1999 ในไนโตรเจนออกไซด์ (NO_x) หนึ่งโมเลกุลที่จะถูกปล่อยออกจากฟ้าฝ่ามีประสิทธิภาพถึง 90 % ที่จะทำให้เกิดไอโอดีน (O_3) หนึ่งโมเลกุล ในขณะที่พื้นดินจะมีประสิทธิภาพเพียง 20 % เท่านั้น ค่าเฉลี่ยของประสิทธิภาพในการผลิตไอโอดีน (O_3) ขณะเกิดฟ้าฝ่าจึงมีมากกว่าบนพื้นดิน



ภาพที่ 16 ปฏิกิริยาเคมีที่ผลิตไอโอดีน (O_3) ในชั้นโตรโพสฟีย์

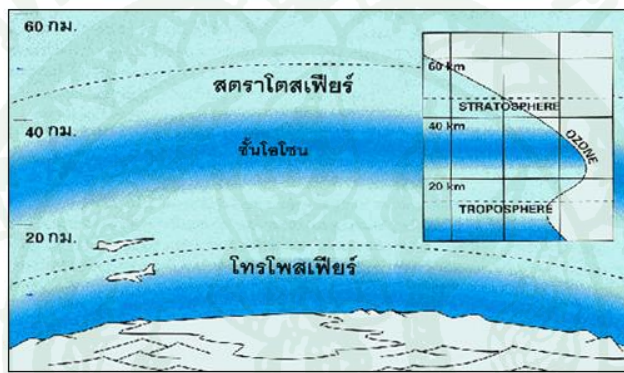
ที่มา: Price (2009)

ในกระบวนการเกิดปฏิกิริยานี้ขั้นแรก NO_2 จะเกิดปฏิกิริยาโฟโตลิซิส ดังแสดงสมการ



Stephen (1968) พบว่า หากมีไนโตรเจนไนโตรเจนออกไซด์ 0.1 ส่วนในล้านส่วน จะทำให้เกิดไอโอดีนประมาณ 0.027 ส่วนในล้านส่วน แต่ในสภาพความเป็นจริงระดับของไอโอดีนอาจขึ้นไปสูงถึง 0.5 ส่วนในล้านส่วนก็เป็นได้ (Grewie, 2009)

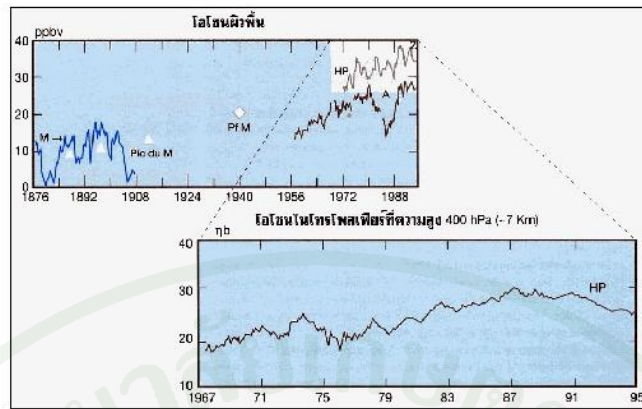
ในขณะที่โอโซนในชั้นสตราโตสเฟียร์กำลังลดลง โอโซนในชั้นโตรโพสเฟียร์กำลังเพิ่มขึ้นถึงร้อยละ 10 ต่อ 10 ปี ในซีกโลกเหนือ โอโซนที่เพิ่มขึ้นตรวจสอบในบริเวณไฟไหม้ในหุ่งหญ้าสะวันนา (*Savannah*) ในเขตต้อน การที่โอโซนเพิ่มขึ้นในบริเวณโตรโพสเฟียร์ เพราะมีรังสีดวงอาทิตย์กระทบกับมลพิษบางชนิด โดยเฉพาะออกไซด์ของไนโตรเจน (NO_x) รวมทั้งการเพิ่มขึ้นของสารกระตุ้นหรือสารเริ่มต้นของปฏิกิริยา (*Precursors*) เช่น มีเทน (CH_4) และคาร์บอนมอนออกไซด์ (CO) คิดเป็น 2 เท่าตัว เทียบกับเมื่อ 50 ปีที่ผ่านมาหรือบางแห่ง โอโซนเพิ่มขึ้นมากกว่าร้อยละ 1 ต่อปี นับจากปลายศตวรรษที่ 19 (กรมอุตุนิยมวิทยา, 2552)



ภาพที่ 17 โอโซน (สีน้ำเงิน) ชั้นสตราโตสเฟียร์และชั้นโตรโพสเฟียร์ในชั้นบรรยากาศ

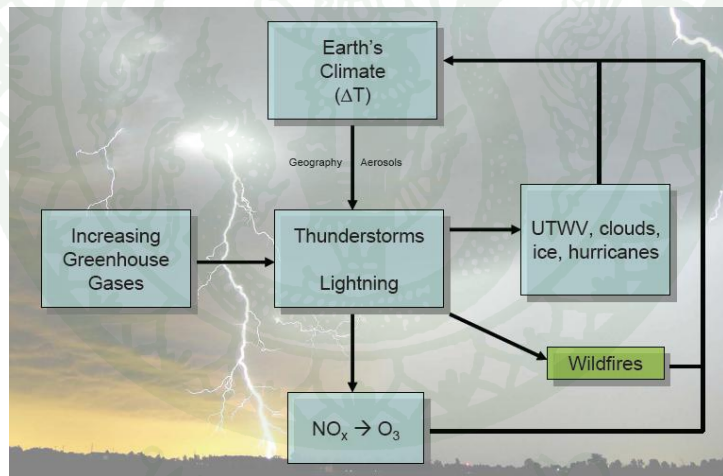
ที่มา: กรมอุตุนิยมวิทยา (2552)

การตรวจวัดโอโซนเชิงเคมีที่ Montsouris (Paris) และเครือข่ายที่ใช้วิธีของ Schenbein (ผู้ค้นพบโอโซน) การตรวจวัดเป็นครั้งคราวจากเครื่องบินในต้นทศวรรษที่ 1940 และติดตามต่อเนื่องมาในประเทศฝรั่งเศสและเยอรมันตอนใต้ ดังภาพที่ 18 บริเวณเหนือพิวพื้นในโตรโพสเฟียร์ ตอนกลางและตอนบน ก็พบโอโซนเพิ่มขึ้นมากเข่นกัน แต่อย่างไรก็ตาม โอโซนที่เพิ่มขึ้นนี้ไม่สามารถเชย์โอโซนที่ลดลงในสตราโตสเฟียร์ได้ โอโซนที่เพิ่มขึ้นบริเวณพิวพื้นมีผลกระทบต่อสุขภาพมนุษย์ เช่น การแสบตาและหายใจลำบาก นอกจากนั้น เพราะว่าโอโซนทำปฏิกิริยากับโนมเลกูลอื่น ๆ ได้อย่างง่ายดาย การออกแบบชิ่ง โอโซนใกล้พิวพื้นเป็นส่วนประกอบที่สำคัญของหมอกที่เกิดขึ้น (กรมอุตุนิยมวิทยา, 2552)



ภาพที่ 18 ໄອໂჽັນຜົວື້ນຈາກສຕານີ Montsouris (Paris) ສໍາຫັນ 50 ປີທັງຂອງຄຕວຮຽນທີ 19
ນ້ຳຍກວ່າຄຣຶ່ງໜຶ່ງຂອງປລາຍຄຕວຮຽນທີ 20

ทີມາ: ກຣມອຸດຸນິຍມວິທະຍາ (2552)



ภาพที่ 19 การຜລິດໄອໂჽັນ (O_3) ໃນຂັ້ນໂທຣໂພສເຟີຣມີອິທີພລດ່ອກາຮົາເປົ້າເປົ້າການແປ່ງສະພຸນມີອາກາສ

ທີມາ: Price (2009)

7. ຈຳນວນວັນທີເກີດພາຍຸຝັນຝຳຄະນອງ (Thunderstorm day, Td) ການປະເມີນປະສິທິກາພຂອງຮະບນປຶ້ອງກັນຝຳຜ່ານມີຄວາມຈຳເປັນທີ່ຕ້ອງໃຊ້ຂໍ້ມູນຖາງສຄືຕິຂອງຝຳຜ່ານໃນບຣິເວນພື້ນທີ່ນັ້ນໆ ຜຶ່ງເຮົາສາມາດທຽບໄດ້ຈາກຂໍ້ມູນພຸດຕິກຣມຂອງພາຍຸຝັນຝຳຄະນອງຈາກຫລາຍທາງ ໄດ້ແກ່

1. จากเครือข่ายของเครื่องนับฟ้าผ่า
2. จากสถิติข้อมูลของสายส่งและสายป้อนที่มีไฟดับเนื่องมาจากการฟ้าผ่า
3. จากข้อมูลของกรมอุตุนิยมวิทยาซึ่งได้มีการติดตาม
4. บันทึกค่าจำนวนวันที่เกิดพายุฝนฟ้าคะนอง Td (Thunderstorm day)

ข้อมูลที่ใช้ระยะเวลาในการเก็บสัมผัส ๆ ไม่กี่ปีย่อมเกิดความคลาดเคลื่อนได้สูง ข้อมูลที่มีความน่าเชื่อถือสูง ย่อมมีความจำเป็นที่จะต้องอาศัยระยะเวลาที่ยาวนานพอในการเก็บข้อมูล จากการวิเคราะห์พบว่าข้อมูลที่ใช้เวลาในการเก็บ 1 ปีจะมีความคลาดเคลื่อน 35 % - 40 % ข้อมูลที่ใช้เวลาในการเก็บ 5 ปีจะมีความคลาดเคลื่อน 30 % ข้อมูลที่ใช้เวลาในการเก็บ 10 ปีจะมีความคลาดเคลื่อน 25 % (Shiyu et al., 2006)

ความหนาแน่นของฟ้าผ่าลงดิน (Ground flash density, Ng) อธิบายได้ว่าคือ จำนวนครั้งที่ฟ้าผ่าลงสู่พื้นดิน (จากก้อนเมฆลงสู่พื้นโลก, Cloud to ground) ต่อตารางกิโลเมตรต่อปี ซึ่งเป็นข้อมูลสำคัญที่ถูกนำมาใช้ในคำนวณเพื่อหาความเสี่ยงของฟ้าผ่าแต่ถ้าไม่มีข้อมูลค่า Ng ก็อาจจะประมาณจากจำนวนวันที่เกิดพายุฝนฟ้าคะนอง Td (Thunderstorm day)

สำหรับสมการความหนาแน่นของฟ้าผ่าลงดิน (Ng) และจำนวนวันที่เกิดพายุฝนฟ้าคะนอง (Td) จะอยู่ในรูปของ (Hileman, 1999)

$$Ng = aTd^b \quad (4)$$

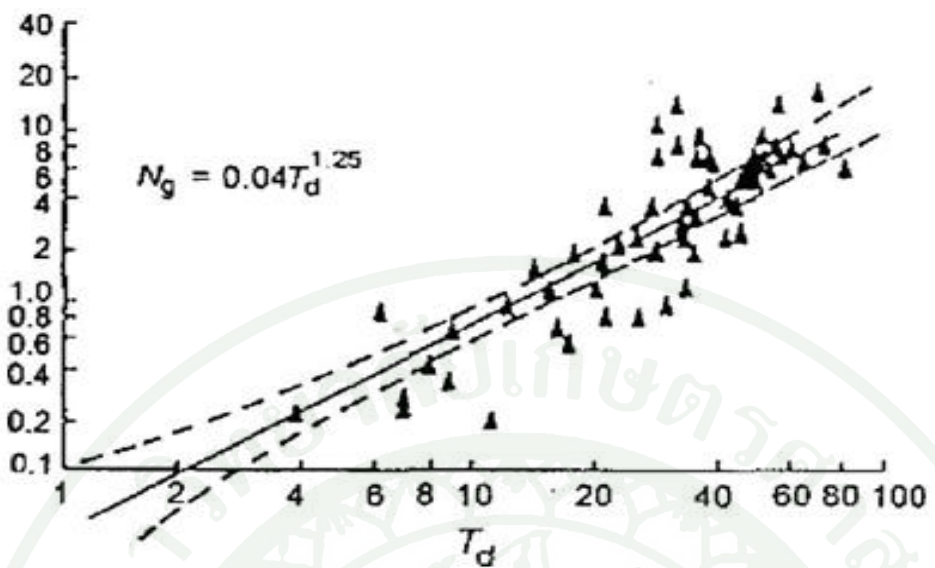
เมื่อค่าคงที่ a และ b จะค่าแตกต่างกันเป็นตามปัจจัยทางด้านพฤติกรรมของฟ้าผ่า ของประเทศนั้นๆ

$$Ng = 0.04Td^{1.25} \text{ (IEEE)} \quad (5)$$

$$Ng = 0.023Td^{1.3} \text{ (CIGRE)} \quad (6)$$

$$Ng = 0.01Td^{1.4} \text{ (D. Macherras)} \quad (7)$$

$$Ng = 6.5 \times 10^{-5} Td^{2.277} \text{ (Egat)} \quad (8)$$



ภาพที่ 20 ความสัมพันธ์ระหว่างค่า Ng และ T_d

ที่มา: Rakov and Uman (2003)

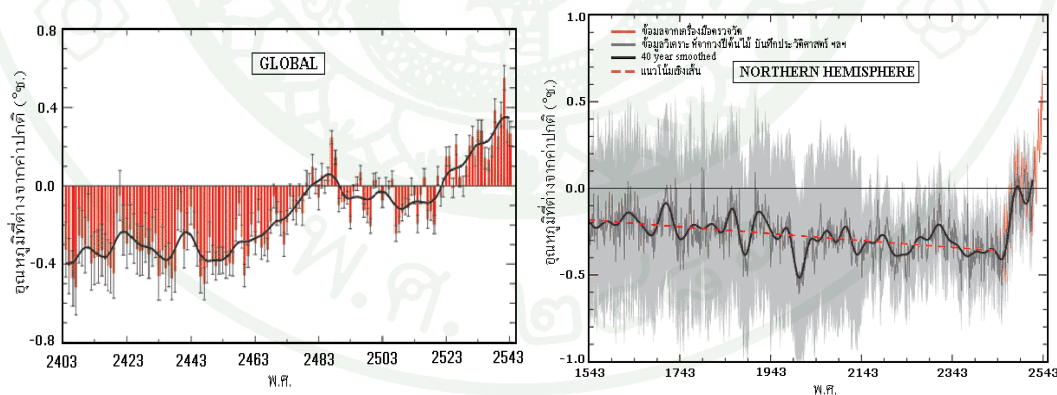
อุปกรณ์และวิธีการ

อุปกรณ์

1. เครื่องคอมพิวเตอร์ส่วนบุคคล (PC)
2. เว็บไซต์กรมอุตุนิยมวิทยาและเว็บไซด์อื่นๆที่เกี่ยวข้อง
3. โปรแกรม Microsoft Office
4. โปรแกรม MATLAB

วิธีการ

ตั้งแต่มีหลักฐานการเก็บข้อมูลอุณหภูมิเฉลี่ยของโลกในปี ค.ศ. 1850 (พ.ศ. 2393) พบว่าในศตวรรษที่ 20 ตั้งแต่ปี ค.ศ. 1861 (พ.ศ. 2404) อุณหภูมิเฉลี่ยของโลกสูงขึ้นและสูงขึ้นประมาณ 0.6 องศาเซลเซียส ผลจากการวิเคราะห์ข้อมูลในชีกโลกหนึ่ง ย้อนหลังไป 1,000 ปี พบว่า ในทศวรรษที่ 1990 อุณหภูมิเฉลี่ยโลกสูงขึ้นมากที่สุดและในปี ค.ศ. 1998 (พ.ศ. 2541) เป็นปีที่ร้อนมากที่สุดในรอบ 1,000 ปี (กรมอุตุนิยมวิทยา, 2551) ดังภาพที่ 21



ภาพที่ 21 ความผันแปรอุณหภูมิเฉลี่ยของโลกในรอบ 100 ปีและในชีกโลกหนึ่งในรอบ 1,000 ปี

ที่มา: กรมอุตุนิยมวิทยา (2551)

การเปลี่ยนแปลงสภาพภูมิอากาศมีได้เกิดมาจากสาเหตุทางธรรมชาติเท่านั้น มนุษย์ก็เป็นอีกตัวการหนึ่งที่สำคัญ เนื่องมาจากสาเหตุทางธรรมชาติต้องใช้เวลาที่ยาวนาน นับเป็นยุคทางธรณีวิทยาที่การเปลี่ยนแปลงแบบค่อยเป็นค่อยไปอย่างช้าๆ จนเกือบมองไม่เห็นหรือไม่สามารถรู้สึกได้ เช่น การเคลื่อนที่ของเปลือกโลก การเปลี่ยนแปลงแนววงโคจรของโลกรอบดวงอาทิตย์ การเปลี่ยนแปลงการเอียงของแกนโลกจากเส้นตั้งฉากกับระบบ การหมุนของโลกรอบดวงอาทิตย์ การแก่งไปมาของแกนโลกขณะหมุนรอบตัวเอง ตลอดถึงการเกิดจุดดับบนดวงอาทิตย์ แต่การเปลี่ยนแปลงภูมิอากาศที่เกิดจากการกระทำของมนุษย์นั้นเห็นผลได้ภายในระยะเวลาที่สั้นกว่าเพียงศตวรรษเท่านั้นก็สามารถรู้สึกและเห็นการเปลี่ยนแปลงนั้นได้ (จำนวน, 2548)

ตารางที่ 1 อันดับปี อุณหภูมิเฉลี่ยของโลกสูงสุด 20 อันดับ ตั้งแต่มีการจดบันทึกไว้เมื่อปี ค.ศ. 1880 (พ.ศ. 2423)

Top 20 warmest years on record					
Ranking (1-10)	Year	Temperature difference (°C)	Ranking (11-20)	Year	Temperature difference (°C)
1	1998	0.515	11	1995	0.276
2	2005	0.479	12	1999	0.262
3	2003	0.457	13	1990	0.248
4	2002	0.455	14	2000	0.238
5	2004	0.432	15	1991	0.197
6	2006	0.422	16	1983	0.187
7	2007	0.403	17	1987	0.167
8	2001	0.400	18	1994	0.163
9	1997	0.355	19	1988	0.163
10	2008	0.314	20	1981	0.130

หมายเหตุ เปรียบเทียบกับค่าเฉลี่ยอุณหภูมิของโลกที่ 14.0°C , (ค่าเฉลี่ย 30 ปี ค.ศ. 1961- ค.ศ. 1990)

ที่มา: Met Office (2008)

จากการจัดอันดับของ Met Office (2008) พบว่าในช่วงปี พ.ศ. 2540 (ค.ศ. 1997) ถึงปี พ.ศ. 2551 (ค.ศ. 2008) เป็นช่วงที่อุณหภูมิเฉลี่ยของโลกสูงสุดเป็น 10 อันดับแรกตั้งแต่มีการจดบันทึก จากตารางที่ 1 งานวิจัยนี้จึงอาศัยช่วงเวลาดังกล่าวที่โลกร้อนที่สุด ศึกษาและวิเคราะห์หาความผันแปรของกิจกรรมฟ้าผ่าในประเทศไทยเนื่องจากอิทธิพลของการโลกร้อน

การศึกษาความถี่ของการเกิดฟ้าผ่าจะช่วยทำให้เราทราบได้ว่าบริเวณใดที่มีโอกาสการเกิดฟ้าผ่า ดังนั้นการป้องกันระบบไฟฟ้ากำลัง ณ บริเวณที่มีการเกิดฟ้าผ่ามากจึงต้องมีความระมัดระวังมากขึ้น จำนวนฟ้าผ่าที่เกิดขึ้น ณ บริเวณนั้นเป็นเรื่องที่รักได้ลำบาก ดังนั้นวิธีการศึกษาความถี่ของการเกิดฟ้าผ่าก็อาจพิจารณาได้จากจำนวนวันที่เกิดพายุฝนฟ้าคะนองในหนึ่งปีซึ่งแม้ว่าวิธีการนี้ไม่ได้บอกถึงจำนวนฟ้าผ่าที่เกิดขึ้นแต่ก็เป็นวิธีที่ทำได้ไม่ยากนัก (จำนาญ, 2522)

ความสัมพันธ์ระหว่างตัวแปรที่ได้รับผลกระทบต่อภาวะโลกร้อนกับตัวแปรต่าง ๆ ที่เกิดขึ้นขณะเกิดปฏิกิริยาฟ้าผ่าขึ้นในประเทศไทย เช่น อุณหภูมิ ความชื้น ก๊าซไอโอดีน ฯลฯ ซึ่งเป็นตัวแปรที่ถูกนำมาใช้เป็นคุณสมบัติในการศึกษารั้งนี้

1. การดำเนินงานวิจัย

1.1 รวบรวมและเก็บข้อมูล

ข้อมูลที่ใช้ในการศึกษาและการวิเคราะห์ในงานวิจัยครั้งนี้เป็นข้อมูลที่ได้จากการเก็บบันทึกของสถานีอุตุนิยมวิทยา กรมอุตุนิยมวิทยา ซึ่งแบ่งชนิดสถานีเป็น 3 ประเภท คือ สถานีตรวจอากาศ สถานีอุตุนิยมวิทยาอุทก (สอท.) และสถานีอุตุนิยมวิทยาการเกษตร (สกย.) ซึ่งตั้งอยู่ทั่วประเทศไทยมีจำนวน 124 สถานี ได้เก็บข้อมูล เช่น อุณหภูมิ ความชื้น ฝน ความเร็วลม จำนวนเมฆ จำนวนวันที่เกิดพายุฝนฟ้าคะนอง ส่วนข้อมูลของก๊าซไอโอดีนจะได้จากการเก็บบันทึกของสถานีตรวจคุณภาพอากาศ กรมควบคุมมลพิษ ตั้งอยู่ทั่วประเทศไทยจำนวน 59 สถานี โดยการคัดเลือกสถานีจะคัดเฉพาะสถานีที่มีการเก็บข้อมูลต่อเนื่อง ครบถ้วน ในช่วงปี พ.ศ. 2540 – 2551 เพื่อนำมาใช้ในวิเคราะห์

1.2 ตรวจสอบและเรียบเรียงข้อมูล

ข้อมูลได้รับตรวจสอบพบว่า มีการเก็บข้อมูลต่อเนื่องในช่วงเวลาดังกล่าว โดยจากการควบคุมมลพิษ จำนวน 26 สถานี และจากกรมอุตุนิยมวิทยา จำนวน 71 สถานี จึงได้นำมาเรียบเรียง และจัดระบบข้อมูลต่อไป

1.3 ประมาณผล

ข้อมูลจากการควบคุมมลพิษ ได้ถูกนำมาหาค่าเฉลี่ยเลขคณิตเป็นรายปี และข้อมูลจากการอุตุนิยมวิทยา ได้ถูกนำมาหาค่าเฉลี่ยเลขคณิตเป็นทั้ง รายเดือน รายปี และหาค่าเฉลี่ยในช่วงเวลาทุก ๆ 4 ปี คือ ในช่วงปี พ.ศ.2540 ถึง พ.ศ.2543 ในช่วงปี พ.ศ.2544 ถึง พ.ศ.2547 และในช่วงปี พ.ศ. 2548 ถึง พ.ศ.2551 เพื่อวิเคราะห์และหาแนวโน้มของข้อมูล

2. การหาอุณหภูมิที่ผันแปรและเปลี่ยนแปลงของประเทศไทย

2.1 คัพท์อุตุนิยมวิทยา

1. อุณหภูมิสูงสุดรายเดือน (**Monthly Maximum Temperature**) คือ อุณหภูมิสูงสุดที่บันทึกได้ในแต่ละเดือนของปีใดปีหนึ่ง
2. อุณหภูมิต่ำสุดรายเดือน (**Monthly Minimum Temperature**) คือ อุณหภูมิต่ำสุดที่บันทึกได้ในแต่ละเดือนของปีใดปีหนึ่ง
3. อุณหภูมิสูงสุดเฉลี่ยประจำเดือน (**Mean Monthly Maximum Temperature**) คือ ค่าเฉลี่ยของอุณหภูมิสูงสุดรายเดือนที่ตรวจได้ในเดือนใดเดือนหนึ่งในระยะเวลาหนึ่ง
4. อุณหภูมิต่ำสุดเฉลี่ยประจำเดือน (**Mean Monthly Minimum Temperature**) คือ ค่าเฉลี่ยของอุณหภูมิต่ำสุดรายเดือนที่ตรวจได้ในเดือนใดเดือนหนึ่งในระยะเวลาหนึ่ง
5. อุณหภูมิเฉลี่ยรายเดือน (**Mean Monthly Temperature**) คือ ค่าเฉลี่ยของอุณหภูมิที่ตรวจได้ทุกครั้งในช่วงเวลา 1 เดือน (กรมอุตุนิยมวิทยา, 2550)

2.2 การวัดค่าของอุณหภูมิ

การวัดค่าของอุณหภูมิทางอุตุนิยมวิทยามีอยู่ 3 อย่าง คือ

1. การวัดอุณหภูมิของอากาศ (Air)
2. การวัดอุณหภูมิของพื้นดิน (Soil)
3. การวัดอุณหภูมิของน้ำ (Sea) (กรมอุตุนิยมวิทยา, 2550)

2.3 เครื่องมือวัดอุณหภูมิ (Thermometers) มี 2 ชนิด คือ

1. เทอร์โมมิเตอร์ใช้ปีรอก (Mercury thermometers)
 - เทอร์โมมิเตอร์ธรรมดา
 - เทอร์โมมิเตอร์วัดอุณหภูมิสูงสุด
2. เทอร์โมมิเตอร์ใช้แอลกอฮอล์ (Spirit thermometers)
 - เทอร์โมมิเตอร์ธรรมดา
 - เทอร์โมมิเตอร์วัดอุณหภูมิต่ำสุด (กรมอุตุนิยมวิทยา, 2550)

2.4 ข้อกำหนดของการติดตั้งเครื่องมือวัดอุณหภูมิโดยทั่วไป

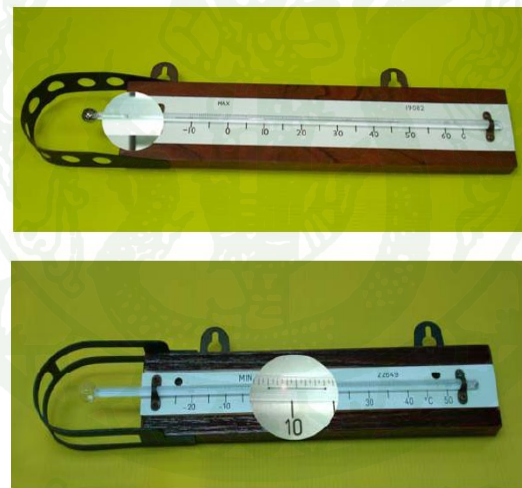
การวัดค่าอุณหภูมิอากาศตัวเทอร์โมมิเตอร์ที่ใช้วัดต้องไม่ได้รับความระเหบ กระเทือนจากแสงแดดจากท้องฟ้า จากโลกและสิ่งอื่น ๆ โดยรอบแต่ในขณะเดียวกันต้องมีการถ่ายเทของอากาศที่ดีพอ วิธีป้องกันที่ดีที่สุดที่นิยมใช้กันมี 2 วิธี คือ (ประพกติ, 2552)

1. ใช้เรือนเทอร์โมมิเตอร์แบบเป็นบานเกล็ด 2 ชั้น ซึ่งเป็นมาตรฐานขององค์การอุตุนิยมวิทยาโลก World Meteorological Organization (WMO)
2. ใช้ซองโลหะขดมันเหมือนกับที่ให้กับเทอร์โมมิเตอร์แบบถ่ายอากาศ



ภาพที่ 22 เรือนเทอร์โมมิเตอร์ (ซ้าย) และเทอร์โมมิเตอร์ชั้นรามดา (ขวา)

ที่มา: ประพุติ (2552)



ภาพที่ 23 เทอร์โมมิเตอร์วัดอุณหภูมิสูงสุด (บน) และเทอร์โมมิเตอร์วัดอุณหภูมิต่ำสุด (ล่าง)

ที่มา: ประพุติ (2552)

3. การหาความชื้นที่ผันแปรและเปลี่ยนแปลงของประเทศไทย

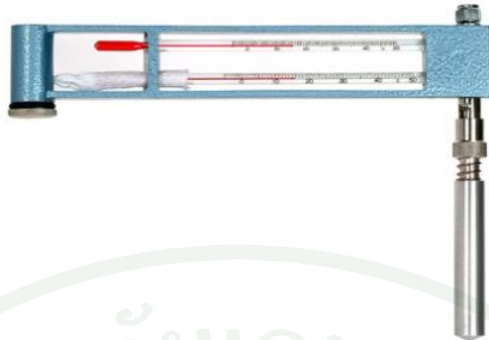
3.1 ศัพท์อุตุนิยมวิทยา

ความชื้นของอากาศ (**Humidity**) คือ ไอน้ำที่ผสมอยู่กับอากาศแห้งในอุณหภูมิจำจัด หนึ่งอากาศสามารถรับไอน้ำไว้ได้ในปริมาณสูงสุดอันหนึ่งเท่านั้น ถ้าเกินขีดสูงสุดอันนี้แล้วอากาศจะไม่สามารถรับอากาศได้อีก เรียกว่าอากาศ อิ่มตัว (**Saturated**) แต่ถ้าเพิ่มอุณหภูมิให้สูงขึ้น อากาศก็จะสามารถรับไอน้ำเพิ่มขึ้นอีกได้ การแสดงปริมาณไอน้ำในอากาศเพื่อให้ทราบว่า อากาศมีความแห้งและความชื้นมากน้อยเพียงใด กำหนดได้หลายวิธีด้วยกัน ดังนี้

1. ความชื้นแท้ (**Absolute Humidity**) เป็นน้ำหนักของไอน้ำในปริมาตรของอากาศ อันหนึ่งเป็นการแสดงน้ำหนักของไอน้ำใน 1 หน่วย
2. ความชื้นสัมพัทธ์ (**Relative Humidity**) เป็นอัตราส่วนของความชื้นแท้ที่มีอยู่ใน ขณะนั้นต่อปริมาณไอน้ำมากที่สุดที่อากาศจะรับไว้ได้ ในอุณหภูมิเดียวกันและแสดงออกเป็นส่วน ร้อยละ
3. ความชื้นจำเพาะ (**Specific Humidity**) เป็นอัตราส่วนของน้ำหนักของไอน้ำที่มีอยู่ ในอากาศนั้นเป็นกรัมต่อน้ำหนักอากาศ 1 กิโลกรัม
4. จุดน้ำค้าง (**Dew Point**) เป็นอุณหภูมิที่อากาศในขณะนั้นจะอิ่มตัวด้วยไอน้ำเมื่อยืน ลง โดยความกดอากาศไม่เปลี่ยนแปลง
5. อัตราส่วนผสม (**Mixing ratio**) เป็นอัตราส่วนน้ำหนักของไอน้ำเป็นกรัมต่อน้ำหนัก ของอากาศแห้งแท้ๆ (ไม่มีไอน้ำอยู่ด้วยเลย) 1 กิโลกรัม (ประพุติ, 2552)

3.2 วิธีการตรวจวัด (**Methods of measurement**)

ในการวัดความชื้นสัมพัทธ์ เราใช้สling ไซโครมิเตอร์ (**Sling Psychrometer**) ประกอบ ด้วยเทอร์โมมิเตอร์จำนวน 2 อัน อันหนึ่งมีฝ้าชุบน้ำหุ้มกระเบาะไว้ เรียกว่า “กระเบาะเปียก” (**Wet bulb**) ส่วนอีกอันหนึ่งไม่ได้หุ้มอะไรไว้ เรียกว่า “กระเบาะแห้ง” (**Dry bulb**) เมื่อหมุนสลิงไซโคร มิเตอร์จับเวลา 3 นาที แล้วอ่านค่าแตกต่างของอุณหภูมิกระเบาะแห้งทั้งสองบันทาร่างเปรียบเทียบ ก็จะ ได้ค่าความชื้นสัมพัทธ์ มีหน่วยเป็นเปอร์เซ็นต์ (ประพุติ, 2552)



ภาพที่ 24 สลิงไซโตรมิเตอร์ (Sling Psychrometer)

ที่มา: ประพุติ (2552)

4. การหาปริมาณฝนที่ผ่านแพรและเปลี่ยนแปลงของประเทศไทย

4.1 ศัพท์อุตุนิยมวิทยา

1. ฝน (Rain) หมายถึง ลักษณะของหยดน้ำซึ่งมีขนาดเส้นผ่าศูนย์กลาง ตั้งแต่ 0.5 มิลลิเมตร (0.02 นิ้ว) ขึ้นไป

2. ปริมาณฝน (Rainfall Amount) หมายถึง ปริมาณฝนที่ตกสะสมในช่วงเวลาที่กำหนด วัดเป็นความสูง มีหน่วยเป็นมิลลิเมตร

3. วันที่มีฝนตก (Rainy Day) หมายถึง วันที่มีปริมาณฝนตกลงมาไม่ต่ำกว่า 0.1 มิลลิเมตร (กรมอุตุนิยมวิทยา, 2550)

4.2 อุปกรณ์หรือเครื่องมือที่ใช้วัดฝน

เครื่องมือที่ใช้วัดฝน จะใช้ถังวัดฝนซึ่งบนปากกระบอกมีกรวยรองรับน้ำฝนให้ตกลงสู่ กระบอกตัวซึ่งอยู่ภายในมีเส้นผ่านศูนย์กลาง (2 ซม.) ขนาดเล็กกว่ากระบอกนอกถึง 10 เท่า ดัง ภาพที่ 25 ในการวัดปริมาณน้ำฝน เราใช้หน่วยวัดเป็นมิลลิเมตร เช่น ถ้าฝนตกลงมาทำให้ระดับ น้ำฝนในภาชนะที่รองรับสูงขึ้น 10 มิลลิเมตร หมายความว่า ฝนตกวัดได้ 10 มิลลิเมตร (ประพุติ, 2552)



ภาพที่ 25 ถังวัดฝนบนและกรวยรองรับน้ำฝน

ที่มา: ประพฤติ (2552)

5. การหาปริมาณลมที่ผันแปรและเปลี่ยนแปลงของประเทศไทย

5.1 ศัพท์อุตุนิยมวิทยา

1. ลม (**Wind**) หมายถึง อากาศที่เคลื่อนที่ไปบนผิวโลกตามแนวโน้มในทุกทิศทุกทาง และด้วยความเร็วต่าง ๆ กัน ทิศทางของลมทรายได้จากทิศซึ่งลมพัดเข้าหาตัว
2. ความเร็วลม (**Wind speed**) หมายถึง ระยะทางที่มวลอากาศเคลื่อนที่ไป ในหนึ่ง หน่วยเวลา
3. ทิศทางลม (**Wind direction**) หมายถึง ทิศซึ่งลมพัดเข้า (กรมอุตุนิยมวิทยา, 2550)

5.2 หน่วยที่ใช้ในการวัดความเร็ว (Units) มีใช้อยู่หลายหน่วย ดังนี้

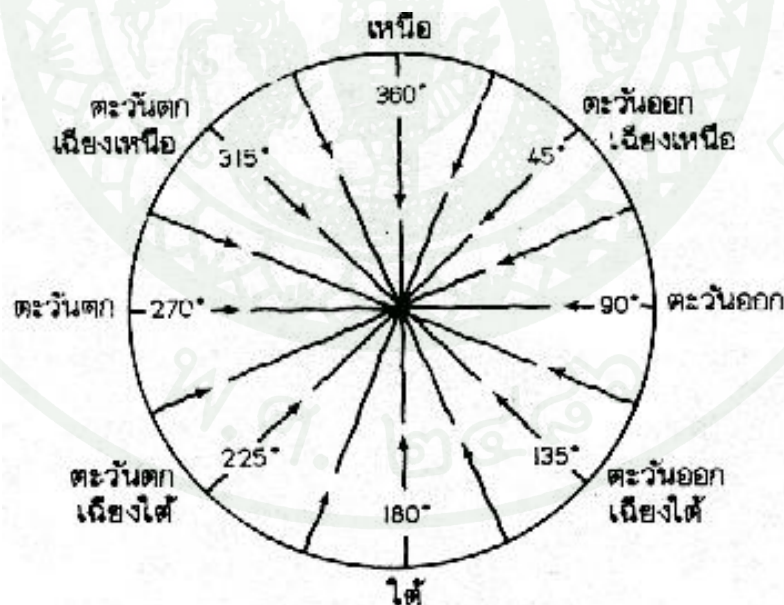
1. นอต
2. เมตรต่อวินาที
3. กิโลเมตรต่อชั่วโมง
4. ไมล์ต่อชั่วโมง
5. ฟุตต่อวินาที

หน่วยที่ใช้แพร่หลายในอุตุนิยมวิทยา มี 2 หน่วย คือ นอต และ เมตร/วินาที ซึ่งมี ความสัมพันธ์กันดังนี้ 1 เมตร / วินาที = 1.943 นอต, 1 นอต = 0.515 เมตร/วินาที (ประพุทธิ, 2552)

5.3 การตรวจวัดลม

การวัดลมมีวิธีการวัด 2 วิธี คือวัดทิศลมและวัดความเร็วลม

1. ทิศลม อาจเรียกชื่อตามทิศต่าง ๆ ของเข็มทิศหรือเรียกเป็นองศาจากทิศจริง ซึ่ง ปัจจุบัน การวัดทิศลมนิยมวัดทิศลมตามเข็มทิศ ซึ่งถ้าวัดทิศลมด้วยเข็มทิศ เข็มทิศจะลูกละบับ ออกเป็นทิศไหลุ่ ๆ 4 ทิศ คือ ทิศเหนือ ทิศใต้ ทิศตะวันออกและทิศตะวันตก ซึ่งทิศทั้ง 4 ทิศ เมื่อ แบ่งย่อยอีกจะเป็น 8 ทิศ โดยจะเพิ่มทิศตะวันออกเฉียงเหนือ ทิศตะวันออกเฉียงใต้ ทิศตะวันตกเฉียงเหนือและทิศตะวันตกเฉียงใต้ นอกจากนี้ยังสามารถแบ่งจาก 8 ทิศให้ย่อยเป็น 16 ทิศ หรือ 32 ทิศ ได้อีกแต่การรายงานทิศนั้นมักนิยมรายงานจำนวนทิศเพียง 8 หรือ 16 ทิศ เท่านั้น (ประพุทธิ, 2552)



ภาพที่ 26 ทิศลม

ที่มา: ประพุทธิ (2552)

2. ความเร็วลม คือ การเคลื่อนที่ของอากาศที่ทำให้เกิดแรงหรือความกดที่ผ่านจุดที่กำหนดให้ บนพื้นผิวโลก และแรงหรือความกดเป็นสัดส่วนกับกำลัง 2 ของความเร็วลม อธิบายดังในรูปของสมการ (ประพุติ, 2552)

$$P = KV^2 \quad (9)$$

เมื่อ

P คือ ความกดที่เกิดจากการกระทำของลม (ปอนด์ต่อตารางฟุต)

V คือ ความเร็วลม (นอต)

K คือ ค่าคงที่ของหน่วยที่ใช้

คำยเหตุนี้แรงที่เกิดขึ้นเนื่องจากการกระทำของลมทำให้สามารถหาความเร็วลมได้ โดยที่ไม่ต้องอาศัยเครื่องมือใด ๆ (ประพุติ, 2552)

5.4 เครื่องวัดลม

1. เครื่องวัดทิศลม เรียกว่า วินด์เวน (Wind Vane) จะมีลักษณะเป็นลูกศรยาว ซึ่งมีความยาวเป็นแผ่น ทางตั้งเห็นตัวบังคับ ให้ปลายครลอมซึ่งในทิศทางที่ลมพัดเข้ามา โดยมีแกนของครลอมหมุนไปโดยรอบและต่อเข้ากับวงจรไฟฟ้า อ่านทิศทางลมตามที่ปลายครลอมซึ่งไปที่หน้าปัดของเครื่องวัดลมที่พัดเข้ามาสถานีตรวจเป็นเกณฑ์โดยมีหน่วยเป็นองศา ใช้ทิศเหนือจริงเป็นหลักจาก 0 - 360 องศาตามเข็มนาฬิกา (ประพุติ, 2552)



ภาพที่ 27 เครื่องวัดทิศลม วินด์เวน (Wind Vane)

ที่มา: ประพุติ (2552)

2. เครื่องวัดความเร็วลม เรียกว่า อะโนมิเตอร์ (**Anemometer**) ปัจจุบันแบบที่นิยมใช้ กันมากที่สุด คือ แบบลูกกลิ้วย (**Cup Anemometer**) ประกอบด้วยลูกกลิ้วย รูปครึ่งทรงกลม 3 หรือ 4 ใบ ติดอยู่กับเพลาในแนวตั้ง ความกดที่แตกต่างกันจากด้านหนึ่งของลูกกลิ้วยในหนึ่งไปยังลูกกลิ้วยอีก ใบหนึ่ง เป็นเหตุให้ลูกกลิ้วยหมุนรอบๆ เพลา อัตราที่ลูกกลิ้วยหมุนจะเป็นสัดส่วนตรงต่อความเร็วลม การหมุนของลูกกลิ้วยปกติจะถูกเปลี่ยนกลับเป็นความเร็วลมผ่านระบบเกียร์และสามารถอ่าน ความเร็วลมได้จากหน้าปัดหรือส่งไปยังเครื่องบันทึกเวลา (ประพุติ, 2552)



ภาพที่ 28 เครื่องวัดความเร็วลม อะโนมิเตอร์ (**Anemometer**)

ที่มา: ประพุติ (2552)

6. การหาจำนวนเมฆที่พันแปรและเปลี่ยนแปลงของประเทศไทย

6.1 หัวข้ออุตุนิยมวิทยา

1. เมฆ (**Cloud**) หมายถึง คือ ไอน้ำที่กลั่นตัวรวมกันเข้าเป็นกลุ่มก้อน อาจมีสภาพเป็น อนุภาคเล็ก ๆ ของน้ำหรือน้ำแข็งหรือทั้งสองอย่างปนกันลอยอยู่ในอากาศ สามารถมองเห็นได้ด้วยตาเปล่า ในกลุ่มนี้จะมีอนุภาคใหญ่ ๆ ของน้ำแข็งปนอยู่ด้วย หรืออนุภาคที่ไม่มีน้ำ หรืออนุภาคที่เป็นของแข็งตัวอย่าง เช่น ก้าช ผงฟุน หรือควัน ฯลฯ

2. จำนวนเมฆ (**Cloud Amount**) มาจากคำว่า "Partial cloud amount" ซึ่งเป็นคำที่ใช้แสดงส่วนของเมฆที่ปกคลุมท้องฟ้าและบอกทั้งตระกูล (**Genus**) ประเภท (**Species**) ชนิด (**Varieties**) ระดับชั้น (**Layer**) หรือเมฆที่รวมกัน (**Combination**) อยู่ด้วย (กรมอุตุนิยมวิทยา, 2550)

6.2 เกณฑ์จำนวนเมฆในท้องฟ้า โดยแบ่งท้องฟ้าเป็น 10 ส่วน

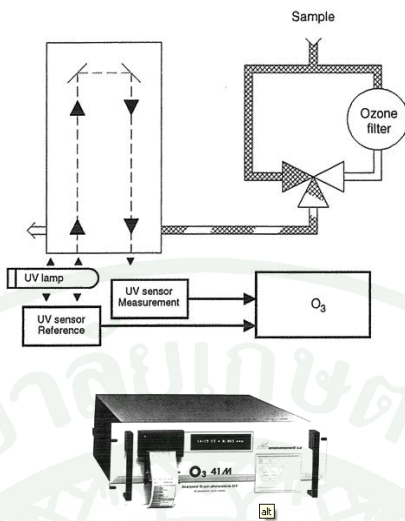
1. ท้องฟ้าแจ่มใส (Fine) ท้องฟ้าไม่มีเมฆหรือมีแต่น้อยกว่า 1 ส่วนของท้องฟ้า
 2. ท้องฟ้าโปร่ง (Fair) ท้องฟ้ามีเมฆตั้งแต่ 1 ส่วน ถึง 3 ส่วนของท้องฟ้า
 3. ท้องฟ้ามีเมฆบางส่วน (Partly Cloudy Sky) ท้องฟ้ามีเมฆเกินกว่า 3 ส่วน ถึง 5 ส่วน ของท้องฟ้า
 4. ท้องฟ้ามีเมฆเป็นส่วนมาก (Cloudy Sky) ท้องฟ้ามีเมฆเกินกว่า 5 ส่วน ถึง 8 ส่วน ของท้องฟ้า
 5. ท้องฟ้ามีเมฆมาก (Very Cloudy Sky) ท้องฟ้ามีเมฆเกินกว่า 8 ส่วน ถึง 9 ส่วนของ ท้องฟ้า
 6. ท้องฟ้ามีเมฆเต็มท้องฟ้า (Overcast Sky) ท้องฟ้ามีเมฆเกินกว่า 9 ส่วน ถึง 10 ส่วน ของท้องฟ้า (กรมอุตุนิยมวิทยา, 2550)
7. การหาโอโซนที่ผันแปรและเปลี่ยนแปลงของประเทศไทย

7.1 คัพท์อุตุนิยมวิทยา

1. โอโซน คือ สารชนิดหนึ่งที่ถูกผลิตขึ้นจากซึ่งมีอยู่ทั่วไปในอากาศ โดยใช้พลังงาน ไฟฟ้าเรียกว่า Corona Discharge หรือแสงอัลตราไวโอลেต (Ultraviolet) เปลี่ยนโครงสร้างทางเคมี ของออกซิเจนจาก 2 อะตอม (O_2) ให้เป็น 3 อะตอม (O_3) ใน 1 โมเลกุล หรือพูดง่ายๆ ว่า โอโซนคือ ออกซิเจนที่มีพลังงาน (Active Oxygen) (อภิสิทธิ์, 2535)

7.2 การตรวจวัดโอโซนในบรรยากาศ

โดยทั่วไปใช้หลักการของ UV - Fluorescence Method แสงอัลตราไวโอลেตในอากาศ จะถูกดูดเข้าไปในเครื่อง ซึ่งแสงอัลตราไวโอลे�ตจะไปกระตุ้นเฉพาะ โอโซน (O_3) เท่านั้น และคลาย แสงออกมาระบุวัดโดย Photomultiplier Tube (อภิสิทธิ์, 2535)



ภาพที่ 29 หลักการของ UV - Fluorescence Method (บน) และภาพเครื่อง Analyzer (ล่าง)

ที่มา: อภิสิทธิ์ (2535)

1. เลือกจุดเก็บตัวอย่างที่เหมาะสมตามที่กำหนดไว้
2. ต่อหัวเก็บตัวอย่างอากาศ (Probe) ดูดตัวอย่างอากาศที่อยู่สูงจากพื้นดินไม่น้อยกว่า 3 เมตร (3-5) เมตร
3. ทำการตรวจวัดโอโซน เป็นเวลา 24 ชั่วโมง ซึ่งจะทราบได้ว่ามีปริมาณโอโซนในบรรยากาศกี่ ppm (อภิสิทธิ์, 2535)

8. การหาจำนวนวันที่เกิดพายุฝนฟ้าคะนองที่ผันแปรและเปลี่ยนแปลงของประเทศไทย

8.1 คัพท์อุตุนิยมวิทยา

จำนวนวันที่เกิดพายุฝนฟ้าคะนอง (Thunderstorm days, Td) คือ จำนวนวันที่ได้ยินเสียงพายุฝนฟ้าคะนอง ณ ตำแหน่งหนึ่ง ๆ (ณ สถานีกรมอุตุนิยมวิทยา) ในเวลาหนึ่งปี

8.2 การเก็บข้อมูล

ประเทศไทยมีการเก็บบันทึกข้อมูลจำนวนวันที่เกิดพายุฝนฟ้าคะนองมานานกว่า 50 ปี โดยใช้วิธีการนับจำนวนครั้งของเสียงฟ้าร้องที่ได้ยินของบุคคลที่จะประจำอยู่ณ สถานีอุตุนิยมวิทยา แห่งนั้น ๆ ซึ่งมีการสับเปลี่ยนเวρกันเพื่อสังเกตการณ์และบันทึกข้อมูลตลอด 24 ชั่วโมง

9. ระเบียบวิธีการประดิษฐ์ฟังก์ชันสำหรับชุดข้อมูล

การประดิษฐ์ฟังก์ชันจากสมการเส้นตรง จะเป็นระเบียบวิธีที่ใช้ฟิตเส้นโค้งที่ง่ายที่สุด จะฟิตดูดต่าง ๆ ให้ใกล้เคียงเส้นตรง เรียกว่าการถดถอยแบบเสิงเสัน (**Linear Regression**) ดังสมการ

$$y = a_0 + a_1 x \text{ (Linear)} \quad (10)$$

จากข้อมูลบางครั้งจะฟิตด้วยเส้นตรงไม่ได้ จะต้องฟิตด้วยเส้นโค้งและสมการของเส้นโค้งแทนด้วยสมการของ多项式เมียล เรียกว่าวิธีถดถอยแบบ多项式โนเมียล (**Polynomial Regression**) ในที่นี่สมมุติว่าเป็น多项式โนเมียลลั๊นดับ 1 จะมีรูปแบบทั่วไป ดังสมการ

$$y = a_0 + a_1 x + a_2 x^2 + \dots + a_n x^n \quad (11)$$

วิธีการถดถอยแบบ多项式โนเมียลลั๊นดับสอง ($n = 2$) โดยการประดิษฐ์ฟังก์ชัน多项式โนเมียล จากชุดข้อมูลจะมีรูปแบบ ดังสมการ

$$y = a_0 + a_1 x + a_2 x^2 \text{ (Quadratic)} \quad (12)$$

วิธีการถดถอยแบบ多项式โนเมียลลั๊นดับสาม ($n = 3$) โดยการประดิษฐ์ฟังก์ชัน多项式โนเมียล จากชุดข้อมูลจะมีรูปแบบ ดังสมการ

$$y = a_0 + a_1 x + a_2 x^2 + a_3 x^3 \text{ (Cubic)} \quad (13)$$

การสร้างฟังก์ชันอย่างประมาณด้วยวิธีการฟิตเส้นโค้ง โดยวิธีการเพิ่มข่ายอันดับโพลีโนเมียลอันดับให้สูงขึ้นเพื่อการประมาณค่าที่ถูกต้องมากยิ่งขึ้น มักจะพบปัญหาเมื่อข้อมูลที่มีการเปลี่ยนแปลงกระจายตัวไม่แน่นอน เส้นกราฟที่ได้จะแกว่งไปมาในระหว่างจุดต่าง ๆ ซึ่งสภาพเป็นจริงข้อมูลที่ได้มาอาจเกิดจากความคลาดเคลื่อน เนื่องจากการอ่านค่าหรือการจดรายงานมาก่อนจึงทำให้การฟิตเส้นโค้งด้วยโพลีโนเมียลอันดับสูง ยังไม่ใช้วิธีที่ดีนัก

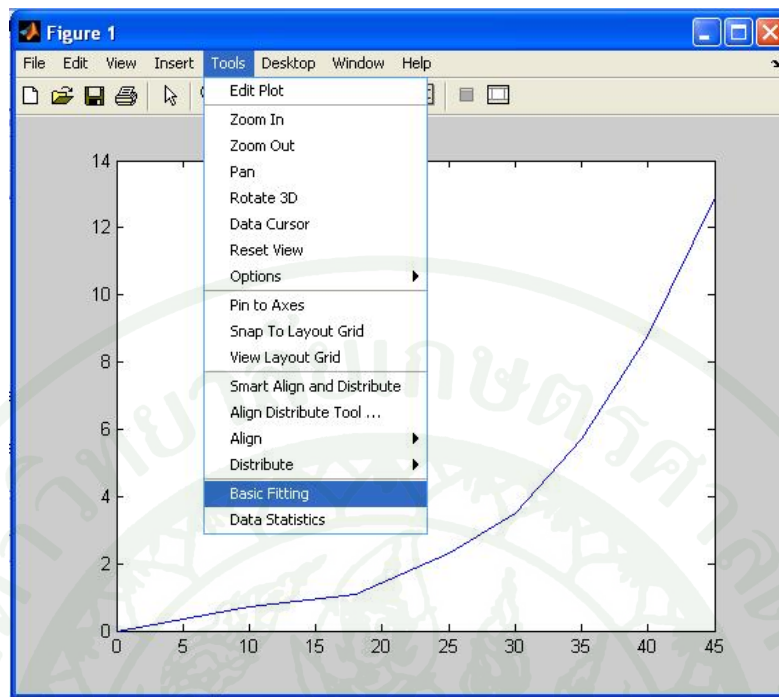
การพิตรูปร่างหรือแนวโน้มจุดต่าง ๆ โดยไม่จำเป็นต้องผ่านทุกจุด เช่นการฟิตเป็นเส้นตรง น่าจะเป็นวิธีที่ดีกว่าทั้งนี้ขึ้นอยู่กับแนวโน้มของชุดข้อมูล แต่ในบางกรณีอาจฟิตเป็นเอกโพเนนเชียล หรือฟิตเป็นพาราโบลา ก็ได้

การฟิตข้อมูลด้วยเส้นโค้งนั้นจึงต้องมีกฎเกณฑ์หรือวิธีการเพื่อให้ความเขื่อมั่นใกล้เคียง หรือถูกต้อง หลักเกณฑ์ที่นิยมใช้กันคือการหาค่าอนุอยที่สุดของผลรวมความคลาดเคลื่อนยกกำลังสอง (Least Square) (ชัยยงค์, 2540)

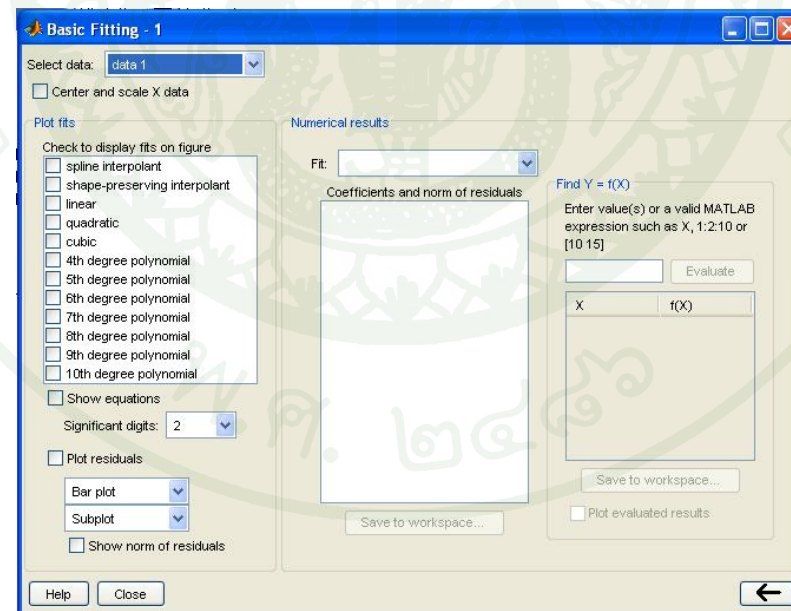
$$S = \sum_{i=1}^n E_i^2 = \sum_{i=1}^n (y_i - a_0 - a_1 x_i - \dots - a_n x_n)^2 \quad (14)$$

เมื่อ E_i คือความคลาดเคลื่อนระหว่างค่าจริง y_i กับค่าประมาณ y
และค่า S คือ Norm of Residuals (MATLAB)

การสร้างฟังก์ชันอย่างประมาณด้วยวิธีการฟิตเส้นโค้ง (Curve Fitting) ด้วยโปรแกรม MATLAB



ภาพที่ 30 วิธีการเข้าใช้งาน การสร้างฟังก์ชันอย่างประมาณด้วยวิธีการฟิตเส้นโค้ง (Curve Fitting)



ภาพที่ 31 การให้เลือกฟังก์ชันฟิตในการฟิตเส้นโค้ง หากค่าความคลาดเคลื่อนและการคาดคะเน

10. ความสัมพันธ์ระหว่างข้อมูลตัวแปรกับจำนวนวันที่เกิดพายุฝนฟ้าคะนองในประเทศไทย

การหาความสัมพันธ์ระหว่างตัวแปรข้อมูลต่าง ๆ กับจำนวนวันที่เกิดพายุฝนฟ้าคะนองมีรูปแบบสมการทั่วไป ดังนี้

$$Td = M_1 x_1 + M_2 x_2 + \dots + M_n x_N \quad (15)$$

เมื่อ

Td คือ จำนวนวันที่เกิดพายุฝนฟ้าคะนอง (วัน)

M_n คือ ข้อมูลตัวแปรต่าง ๆ ที่ต้องการศึกษาความสัมพันธ์

xN คือ ค่าคงที่ของตัวแปรข้อมูล

การศึกษาถึงตัวแปรใดมีอิทธิพลต่อจำนวนวันที่เกิดวันที่เกิดพายุฝนฟ้าคะนอง โดยอาศัยข้อมูลจำนวนวันที่เกิดพายุฝนฟ้าคะนอง รายเดือนในปีที่ทำการศึกษากับข้อมูลตัวแปร รายเดือนในปีเดียวกัน มีรูปแบบสมการดังนี้

$$Td = M_1 x_1 + M_2 x_2 + M_3 x_3 + M_4 x_4 + M_5 x_5 \\ + M_6 x_6 + M_7 x_7 + M_8 x_8 \quad (16)$$

เมื่อ

Td คือ จำนวนวันที่เกิดพายุฝนฟ้าคะนอง (วัน)

M_1 คือ อุณหภูมิสูงสุดเฉลี่ย ($^{\circ}\text{C}$)

M_2 คือ อุณหภูมิต่ำสุดเฉลี่ย ($^{\circ}\text{C}$)

M_3 คือ ความชื้นสัมพัทธ์ (%)

M_4 คือ ปริมาณฝนรวม (มม.)

M_5 คือ ปริมาณฝนสูงสุดในรอบ 24 ชม. (มม.)

M_6 คือ จำนวนวันที่มีฝนตก (วัน)

M_7 คือ ความเร็วลม (นอต)

M_8 คือ จำนวนเมฆ (เดกะ)

ผลและวิจารณ์

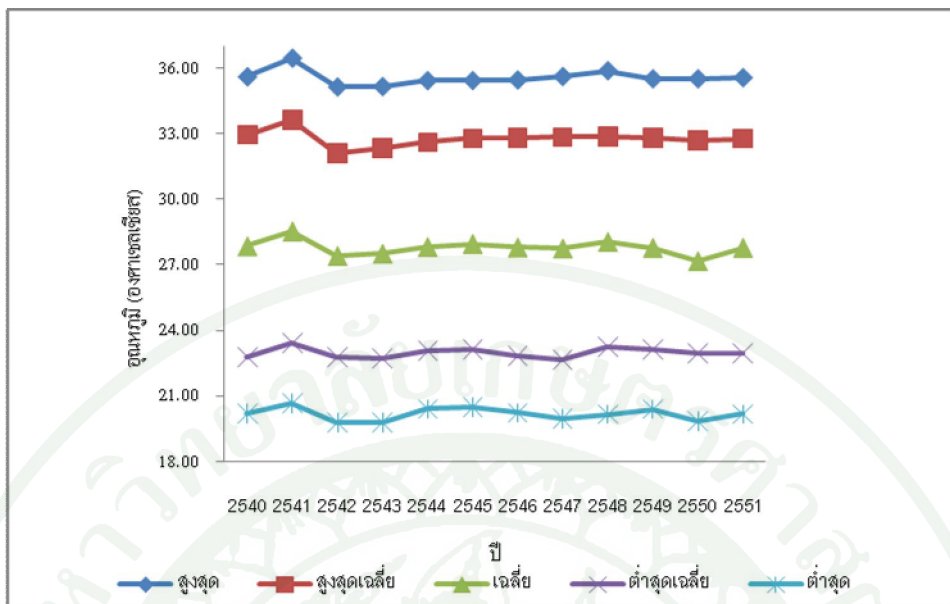
ผล

1. การหาอุณหภูมิที่ผันแปรและเปลี่ยนแปลงของประเทศไทย

ข้อมูลอุณหภูมิที่ตรวจวัด ได้คำนวณหาค่าเฉลี่ยเลขคณิต ได้แก่ อุณหภูมิสูงสุด อุณหภูมิ สูงสุดเฉลี่ย อุณหภูมิเฉลี่ย อุณหภูมิต่ำสุดเฉลี่ย อุณหภูมิต่ำสุด จากสถานีอุตุนิยมวิทยาทั่วประเทศ ไทย จำนวน 71 สถานี รายปีในช่วงปี พ.ศ. 2540 – 2551 รวมถึงอุณหภูมิสูงสุดเฉลี่ย อุณหภูมิต่ำสุด เฉลี่ย รายเดือนในช่วงปี พ.ศ. 2540 – 2551 โดยเฉลี่ย ทุก ๆ 4 ปี เพื่อวิเคราะห์หาอุณหภูมิที่ผันแปร และเปลี่ยนแปลงของประเทศไทย

ตารางที่ 2 อุณหภูมิที่ตรวจวัด จากการเฝ้าติดตามและจดบันทึกของสถานีอุตุนิยมวิทยา 71 สถานี ที่ตั้งอยู่ทั่วประเทศไทย ในช่วงปี พ.ศ. 2540 – 2551

ปี	อุณหภูมิ (°C)				
	สูงสุด	สูงสุดเฉลี่ย	เฉลี่ย	ต่ำสุดเฉลี่ย	ต่ำสุด
2540	35.61	32.96	27.85	22.78	20.18
2541	36.46	33.65	28.52	23.43	20.67
2542	35.15	32.10	27.42	22.79	19.79
2543	35.17	32.35	27.51	22.72	19.77
2544	35.44	32.61	27.81	23.07	20.41
2545	35.44	32.79	27.95	23.16	20.50
2546	35.47	32.81	27.79	22.84	20.23
2547	35.63	32.85	27.74	22.67	19.95
2548	35.89	32.88	28.04	23.25	20.15
2549	35.52	32.82	27.78	23.12	20.40
2550	35.52	32.71	27.18	22.98	19.85
2551	35.57	32.78	27.78	22.98	20.17



ภาพที่ 32 อุณหภูมิที่ตรวจวัด รายปีเฉลี่ยในช่วงปี พ.ศ. 2540 – 2551

ตารางที่ 3 อุณหภูมิสูงสุดเฉลี่ย รายเดือนเฉลี่ยในช่วงปี พ.ศ. 2540 – 2543

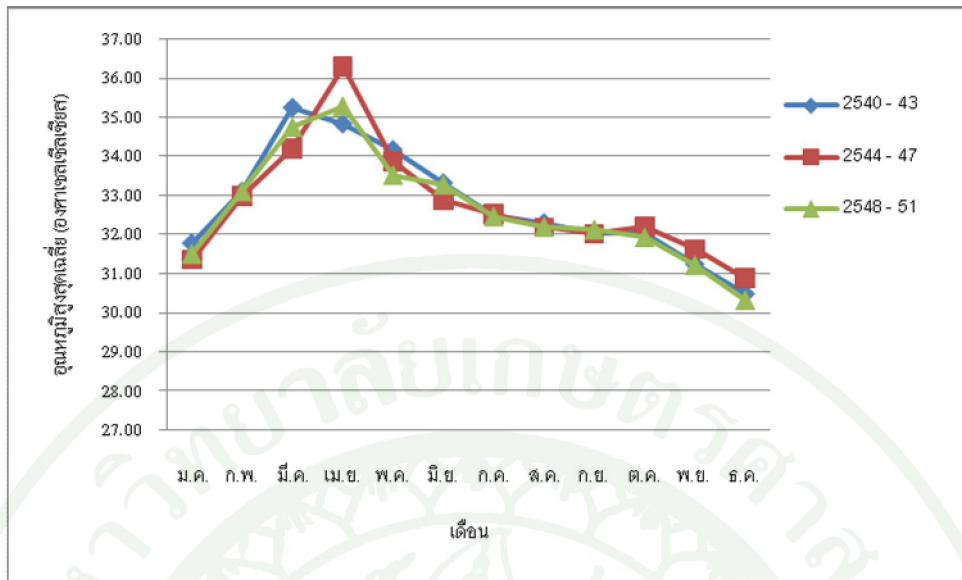
ปี เดือน	2540	2541	2542	2543	เฉลี่ย 2540-43
	อุณหภูมิสูงสุดเฉลี่ย (°C)				
ม.ค.	30.84	33.21	31.42	31.72	31.80
ก.พ.	32.76	34.55	32.88	32.29	33.12
มี.ค.	34.64	36.55	35.45	34.37	35.25
เม.ย.	34.54	36.89	33.89	34.03	34.84
พ.ค.	35.20	35.97	32.42	33.12	34.18
มิ.ย.	34.36	34.29	32.44	32.24	33.33
ก.ค.	32.15	33.22	32.51	32.14	32.50
ส.ค.	32.15	32.94	31.97	32.18	32.31
ก.ย.	32.04	32.28	32.14	31.78	32.06
ต.ค.	32.47	32.30	31.48	31.93	32.04
พ.ย.	32.05	31.25	30.76	31.00	31.26
ธ.ค.	32.36	30.41	27.85	31.43	30.51

ตารางที่ 4 อุณหภูมิสูงสุดเฉลี่ย รายเดือนเฉลี่ยในช่วงปี พ.ศ. 2544 - 2547

ปี เดือน	2544	2545	2546	2547	เฉลี่ย 2544 - 47
ม.ค.	32.15	31.00	30.76	31.59	31.38
ก.พ.	33.51	33.29	33.19	32.02	33.00
มี.ค.	32.95	34.62	33.88	35.37	34.21
เม.ย.	36.68	36.16	35.96	36.38	36.30
พ.ค.	33.18	33.76	34.75	33.84	33.88
มิ.ย.	32.78	33.34	33.00	32.50	32.90
ก.ค.	32.44	32.64	32.64	32.43	32.54
ส.ค.	32.19	31.88	32.49	32.25	32.20
ก.ย.	32.56	31.62	31.92	32.05	32.04
ต.ค.	32.03	32.35	32.05	32.40	32.21
พ.ย.	30.15	31.33	32.62	32.47	31.64
ธ.ค.	30.72	31.52	30.42	30.95	30.90

ตารางที่ 5 อุณหภูมิสูงสุดเฉลี่ย รายเดือนเฉลี่ยในช่วงปี พ.ศ. 2548 - 2551

ปี เดือน	2548	2549	2550	2551	เฉลี่ย 2548 - 51
ม.ค.	31.53	31.86	31.21	31.46	31.52
ก.พ.	34.72	33.18	33.27	31.27	33.11
มี.ค.	34.54	34.96	35.39	34.15	34.76
เม.ย.	35.78	35.00	35.51	34.90	35.29
พ.ค.	35.14	33.28	32.93	32.79	33.53
มิ.ย.	33.21	33.30	33.83	32.79	33.28
ก.ค.	32.69	32.15	32.75	32.30	32.47
ส.ค.	32.16	32.04	32.30	32.32	32.20
ก.ย.	32.01	32.14	32.31	32.11	32.14
ต.ค.	32.15	32.16	31.19	32.26	31.94
พ.ย.	31.39	32.91	30.26	30.35	31.23
ธ.ค.	29.28	30.91	31.61	29.53	30.33



ภาพที่ 33 อุณหภูมิสูงสุดเฉลี่ย รายเดือนเฉลี่ย ทุก ๆ 4 ปี ในช่วงปี พ.ศ. 2540 – 2551

ตารางที่ 6 อุณหภูมิต่ำสุดเฉลี่ย รายเดือนเฉลี่ยในช่วงปี พ.ศ. 2540 – 2543

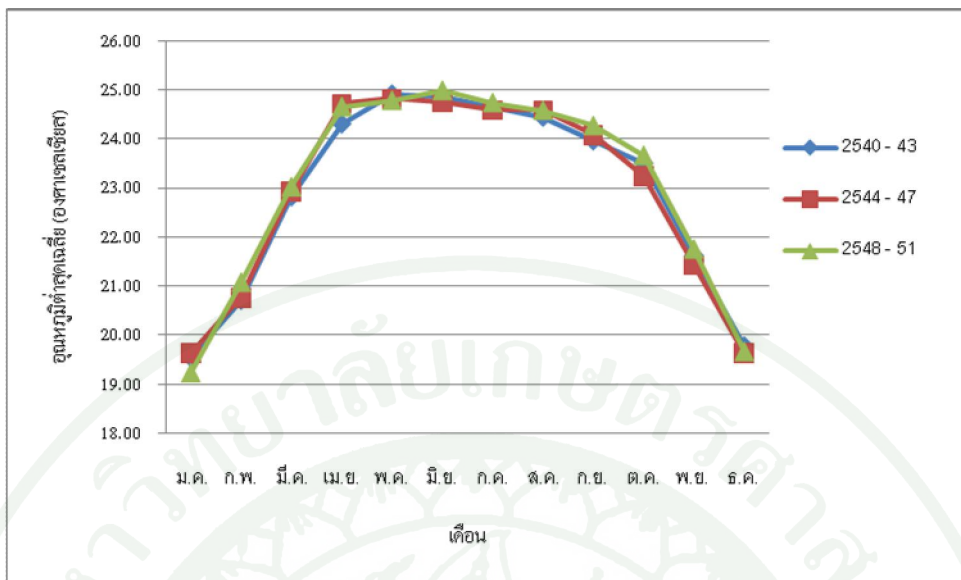
ปี เดือน	2540	2541	2542	2543	เฉลี่ย 2540 - 43
ม.ค.	18.04	20.43	20.02	19.76	19.56
ก.พ.	20.15	21.61	21.10	20.02	20.72
มี.ค.	22.24	23.66	23.13	22.27	22.82
เม.ย.	23.24	25.18	24.55	24.25	24.31
พ.ค.	25.08	25.78	24.22	24.55	24.91
มิ.ย.	24.98	25.42	24.54	24.47	24.85
ก.ค.	24.75	24.83	24.70	24.32	24.65
ส.ค.	24.62	24.55	24.22	24.39	24.44
ก.ย.	23.96	24.17	23.95	23.76	23.96
ต.ค.	23.65	23.46	23.28	23.64	23.51
พ.ย.	21.99	21.88	21.97	20.69	21.63
ธ.ค.	20.67	20.21	17.75	20.54	19.79

ตารางที่ 7 อุณหภูมิต่ำสุดเฉลี่ย รายเดือนเฉลี่ยในช่วงปี พ.ศ. 2544 – 2547

ปี เดือน	2544	2545	2546	2547	เฉลี่ย 2544 - 47
ม.ค.	20.82	19.14	19.11	19.43	19.63
ก.พ.	20.82	21.17	20.97	20.10	20.77
มี.ค.	23.10	22.93	22.65	23.04	22.93
เม.ย.	25.26	24.30	24.65	24.72	24.73
พ.ค.	24.64	24.68	25.13	24.85	24.83
มิ.ย.	24.69	24.94	24.76	24.61	24.75
ก.ค.	24.77	24.97	24.42	24.25	24.60
ส.ค.	24.72	24.37	24.67	24.65	24.60
ก.ย.	24.18	24.12	24.14	23.93	24.09
ต.ค.	23.74	23.20	23.37	22.66	23.24
พ.ย.	20.07	22.31	21.57	21.74	21.42
ธ.ค.	20.09	21.74	18.62	18.07	19.63

ตารางที่ 8 อุณหภูมิต่ำสุดเฉลี่ย รายเดือนเฉลี่ยในช่วงปี พ.ศ. 2548 – 2551

ปี เดือน	2548	2549	2550	2551	เฉลี่ย 2548 - 51
ม.ค.	19.08	19.14	19.25	19.50	19.24
ก.พ.	21.73	21.75	20.35	20.52	21.09
มี.ค.	22.66	23.46	23.23	22.80	23.04
เม.ย.	24.80	24.59	24.61	24.68	24.67
พ.ค.	25.42	24.52	24.69	24.57	24.80
มิ.ย.	25.25	24.87	25.18	24.72	25.00
ก.ค.	24.85	24.95	24.78	24.42	24.75
ส.ค.	24.69	24.55	24.72	24.42	24.60
ก.ย.	24.35	24.15	24.38	24.26	24.28
ต.ค.	23.62	23.65	23.46	23.99	23.68
พ.ย.	22.52	22.19	20.74	21.63	21.77
ธ.ค.	20.05	19.57	20.33	18.75	19.68



ภาพที่ 34 อุณหภูมิต่ำสุดเฉลี่ย รายเดือนเฉลี่ย ทุก ๆ 4 ปี ในช่วงปี พ.ศ. 2540 – 2551

จากการวิเคราะห์ข้อมูลอุณหภูมิที่ตรวจจากสถานีอุตุนิยมวิทยา 71 สถานีทั่วประเทศไทย พบว่าอุณหภูมิของประเทศไทยมีแนวโน้มสูงขึ้นในทุก ๆ ปี ทั้ง อุณหภูมิเฉลี่ย อุณหภูมิต่ำสุดเฉลี่ย และอุณหภูมิต่ำสุด โดยเฉพาะอุณหภูมิสูงสุด อุณหภูมิสูงสุดเฉลี่ย ที่สามารถสังเกตได้ชัดเจน ดัง ภาพที่ 32 อุณหภูมิเฉลี่ยในช่วงปี พ.ศ. 2540 – 2551 ที่ตรวจวัดได้มีค่ามากกว่าค่าปกติของอุณหภูมิเฉลี่ยของประเทศไทยทุกปี ดังตารางที่ 2 เมื่อค่าอุณหภูมิเฉลี่ยของประเทศไทยจะใช้ค่าปกติ 20 ปี ในช่วงปี พ.ศ. 2524 – 2543 อยู่ที่ 27°C (กรรวี, 2550)

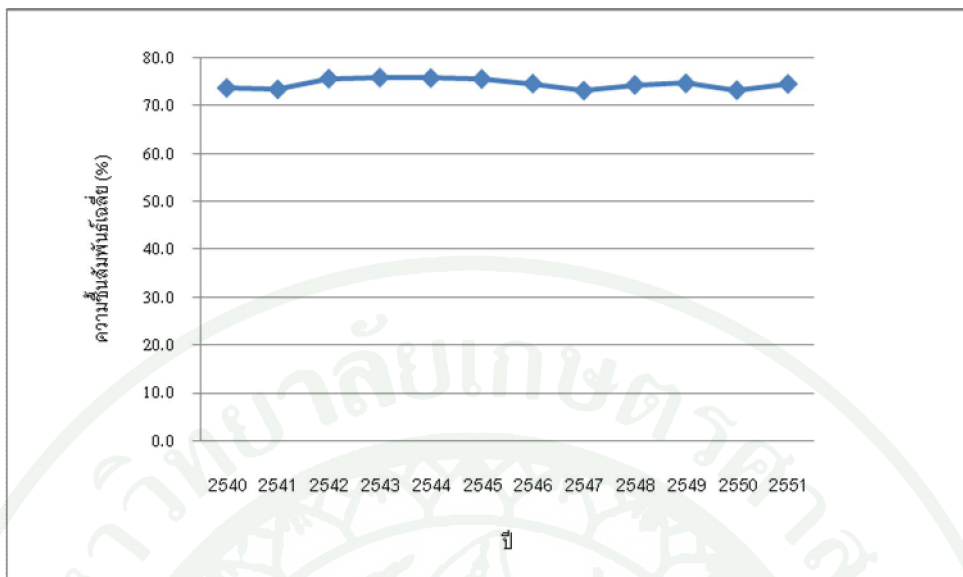
จากปรากฏการณ์เออนีโอลูรุนแรง ในปี พ.ศ. 2541 ทำให้อุณหภูมิเฉลี่ยของโลกสูงที่สุด ตั้งแต่มีการเก็บข้อมูล ส่งผลกระทบให้ประเทศไทยมีอากาศร้อนที่สุด อุณหภูมิทุก ๆ ค่าที่ตรวจวัด ได้ในปีดังกล่าว มีสถิติสูงที่สุดเป็นอันดับหนึ่ง แต่ช่วงในปี พ.ศ. 2550 – 2551, พ.ศ. 2542 – 2543 จะ มีอุณหภูมิต่ำกว่าปีอื่น ๆ ในช่วงที่นำมารวบรวม เนื่องจากได้รับผลกระทบจากปรากฏการณ์ล้านีลู รุนแรง อุณหภูมิสูงสุดเฉลี่ย รายเดือนเฉลี่ย ทุก ๆ 4 ปี พบว่ามีค่าสูงสุดในเดือนเมษายน และ อุณหภูมิต่ำสุดเฉลี่ย รายเดือนเฉลี่ย ทุก ๆ 4 ปี จะมีค่าที่เริ่มสูงขึ้น ในเดือนเมษายน เช่นกัน พบว่าโดย ภาพรวมในปี พ.ศ. 2548 – 2551 (สีเขียว) อุณหภูมิสูงสุดเฉลี่ยและอุณหภูมิต่ำสุดเฉลี่ย จะมีค่าสูงสุด กว่าทุกเดือนที่วัด ดังภาพที่ 33 และภาพที่ 34 ตามลำดับ

2. การหาระดับความชื้นที่ผ่านแปรและเปลี่ยนแปลงของประเทศไทย

ข้อมูลระดับความชื้นในอากาศที่ตรวจวัด จะนิยมใช้ค่าความชื้นสัมพัทธ์มาเป็นหน่วยในวัด และนำมาหาค่าความชื้นเฉลี่ยเลขคณิต โดยอาศัยข้อมูลจากสถานีอุตุนิยมวิทยาที่ตั้งอยู่ทั่วประเทศไทย จำนวน 71 สถานี รายปีในช่วงปี พ.ศ. 2540 – 2551 และรายเดือนในช่วงปี พ.ศ. 2540 – 2551 โดยเฉลี่ย ทุก ๆ 4 ปี เพื่อวิเคราะห์หาระดับความชื้นที่ผ่านแปรและเปลี่ยนแปลงของประเทศไทย

ตารางที่ 9 ความชื้นสัมพัทธ์จากการเฝ้าติดตามและจดบันทึกของสถานีอุตุนิยมวิทยา 71 สถานี ที่ตั้งอยู่ทั่วประเทศไทย ในช่วงปี พ.ศ. 2540 – 2551

ปี	ความชื้นสัมพัทธ์ (%)
2540	73.81
2541	73.52
2542	75.72
2543	75.92
2544	75.83
2545	75.66
2546	74.70
2547	73.26
2548	74.43
2549	74.75
2550	73.36
2551	74.63



ภาพที่ 35 ความชื้นสัมพัทธ์รายปีเฉลี่ยในช่วงปี พ.ศ. 2540 – 2551

ตารางที่ 10 ความชื้นสัมพัทธ์รายเดือนเฉลี่ยในช่วงปี พ.ศ. 2540 – 2543

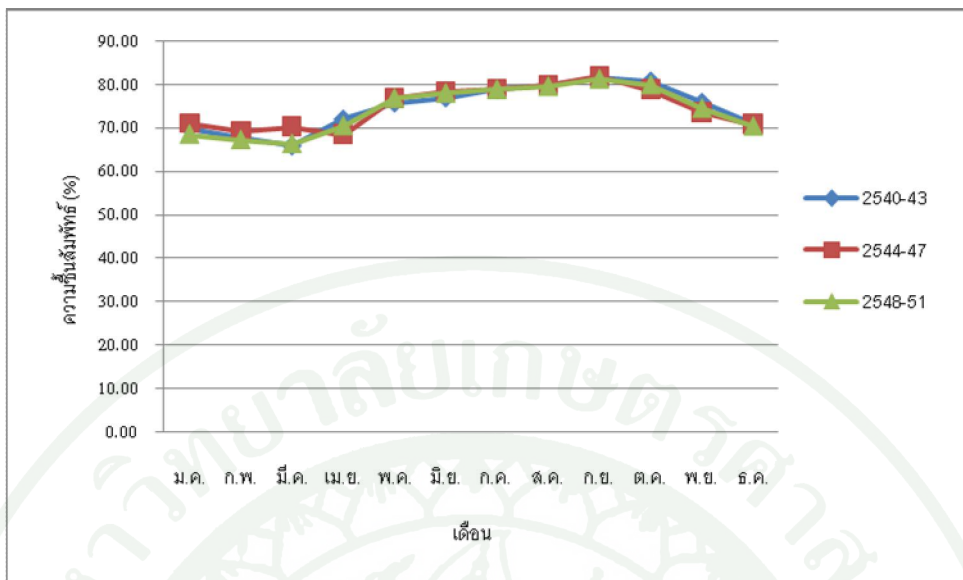
เดือน	2540	2541	2542	2543	เฉลี่ย 2540-43
	ความชื้นสัมพัทธ์ (%)				
ม.ค.	69.48	69.68	69.97	70.76	69.97
ก.พ.	67.69	66.89	67.32	69.54	67.86
มี.ค.	67.35	62.44	66.48	67.65	65.98
เม.ย.	70.34	66.11	76.01	75.80	72.07
พ.ค.	71.03	72.54	80.77	79.08	75.86
มิ.ย.	72.42	76.23	78.77	80.68	77.02
ก.ค.	78.70	78.92	78.23	79.65	78.87
ส.ค.	79.76	80.42	80.20	79.59	79.99
ก.ย.	81.55	82.03	81.48	81.59	81.66
ต.ค.	80.41	79.28	82.15	81.28	80.78
พ.ย.	75.48	76.23	78.44	73.55	75.92
ธ.ค.	71.54	71.45	68.86	71.92	70.94

ตารางที่ 11 ความชื้นสัมพัทธ์ รายเดือนเฉลี่ยในช่วงปี พ.ศ. 2544 – 2547

ปี เดือน	2544	2545	2546	2547	เฉลี่ย 2544-47
ม.ค.	72.54	70.75	70.79	70.08	71.04
ก.พ.	67.61	69.63	70.20	69.42	69.21
มี.ค.	75.01	68.94	72.07	65.07	70.27
เม.ย.	68.89	67.99	69.90	67.17	68.49
พ.ค.	79.25	77.68	73.89	76.59	76.85
มิ.ย.	78.44	78.32	77.90	78.54	78.30
ก.ค.	79.07	78.21	79.87	79.06	79.05
ส.ค.	80.00	80.69	79.54	79.41	79.91
ก.ย.	81.06	82.46	82.61	81.44	81.89
ต.ค.	82.34	78.97	78.94	75.04	78.82
พ.ย.	73.59	77.63	72.82	70.41	73.61
ธ.ค.	72.18	76.61	67.86	66.94	70.90

ตารางที่ 12 ความชื้นสัมพัทธ์ รายเดือนเฉลี่ยในช่วงปี พ.ศ. 2548 – 2551

ปี เดือน	2548	2549	2550	2551	เฉลี่ย 2548-51
ม.ค.	69.01	69.50	66.65	69.06	68.55
ก.พ.	66.35	68.97	65.11	68.69	67.28
มี.ค.	65.49	68.14	65.72	66.14	66.37
เม.ย.	69.37	72.52	68.30	71.75	70.48
พ.ค.	73.85	76.92	78.68	77.80	76.81
มิ.ย.	78.27	78.15	77.20	78.24	77.96
ก.ค.	78.73	79.96	77.92	78.62	78.81
ส.ค.	80.20	80.19	78.63	79.00	79.51
ก.ย.	82.56	81.27	80.49	80.58	81.23
ต.ค.	79.37	79.90	79.51	80.70	79.87
พ.ย.	78.04	73.35	71.48	75.06	74.48
ธ.ค.	71.90	68.08	70.63	70.80	70.36



ภาพที่ 36 ความชื้นสัมพัทธ์รายเดือนเฉลี่ย ทุก ๆ 4 ปี ในช่วงปี พ.ศ. 2540 – 2551

อุณหภูมิมีผลต่อปริมาณไอน้ำในอากาศ ถ้าร้อนมีปริมาณไอน้ำในอากาศมาก อากาศจะมีความชื้นสัมพัทธ์สูง ถ้าหนาวมีปริมาณไอน้ำในอากาศน้อย อากาศมีความชื้นสัมพันธ์ต่ำ อากาศจะแห้ง (ฟิลิกส์ราชมงคล, 2550) ประเทศไทยตั้งอยู่ในเขตร้อนโภคโลหะสูตร จึงมีอากาศร้อนชื้น ทำให้มีความชื้นสัมพัทธ์เฉลี่ยตลอดปี 72 เปอร์เซ็นต์ (กรมอุตุนิยมวิทยา, 2551) จากวิเคราะห์ข้อมูลความชื้นสัมพัทธ์จากสถานีอุตุนิยมวิทยา 71 สถานีทั่วประเทศไทย พบว่าความชื้นสัมพัทธ์ ในช่วงปี พ.ศ. 2540 – 2551 แม้ว่าจะไม่ได้มีแนวโน้มเพิ่มขึ้นในทุก ๆ ปี ดังภาพที่ 35 แต่มีค่าความชื้นสัมพัทธ์สูงกว่าค่าต่ำสุดของความชื้นสัมพัทธ์เฉลี่ยตลอดปีของประเทศไทยในทุก ๆ ปี ดังตารางที่ 9 ในช่วงปี พ.ศ. 2540 – 2541 จากปรากฏการณ์อ่อนนีโญรุนแรงและในช่วงปี พ.ศ. 2546 – 2547 ฝนหนาเร็วกว่าปกติ ทำให้ปริมาณฝนจึงต่ำกว่าปกติมาก (กลุ่มภูมิอากาศ, 2548) และในช่วงปี พ.ศ. 2549 – 2550 ช่วงปลายปี (พ.ย. – ธ.ค.) ทุกภาคของมีปริมาณฝนต่ำกว่าปกติ (กลุ่มภูมิอากาศ, 2549) ทำให้มีค่าความชื้นสัมพัทธ์ต่ำกว่าปกติและเนื่องจากปรากฏการณ์ล้านีโญรุนแรงส่งผลให้ปี พ.ศ. 2542 – 2543 ค่าความชื้นสัมพัทธ์สูงที่สุดในช่วงปี พ.ศ. 2540 – 2551

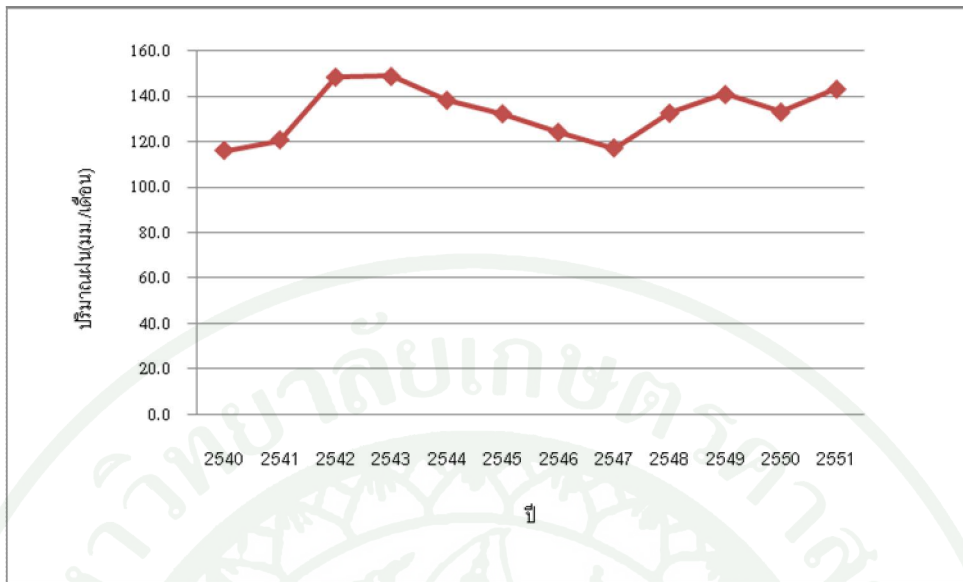
โดยภาพรวมความชื้นสัมพัทธ์รายเดือนเฉลี่ย ทุก ๆ 4 ปี ดังภาพที่ 36 ในช่วงปี พ.ศ. 2548 – 2551 (สีเขียว) และในช่วงปี พ.ศ. 2544 – 2547 (สีแดง) มีค่าสูงกว่าในช่วงปี พ.ศ. 2540 – 2543 (สีฟ้า) และพบว่าความชื้นสัมพัทธ์มีค่าสูงสุดในเดือนกันยายน

3. การหาปริมาณฝนที่ผันแปรและเปลี่ยนแปลงของประเทศไทย

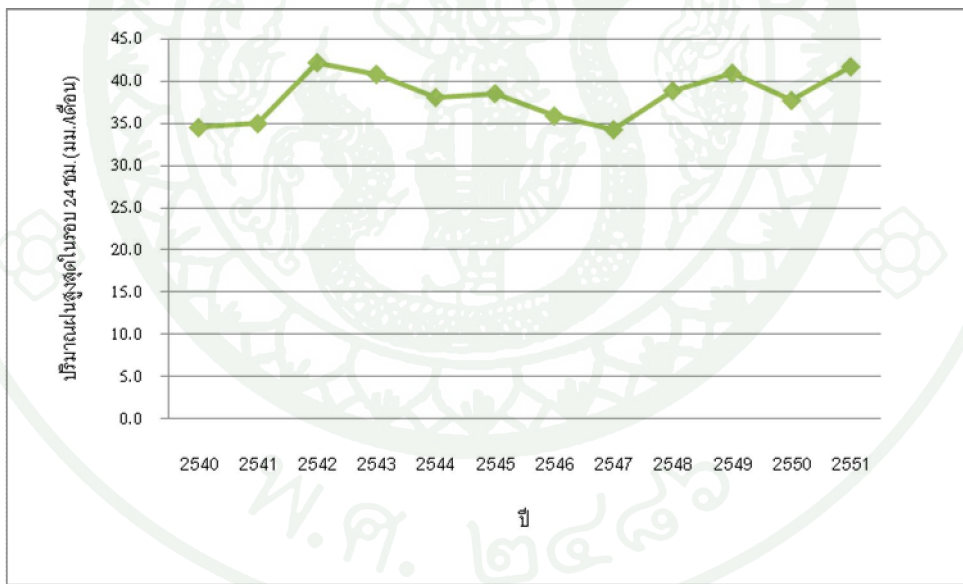
ข้อมูลปริมาณฝนรวม ปริมาณฝนสูงสุดในรอบ 24 ช.ม. และจำนวนวันที่มีฝนตก ถูกนำมาคำนวณหาค่าเฉลี่ยเลขคณิต โดยอาศัยการเก็บข้อมูลจากสถานีอุตุนิยมวิทยาที่ตั้งอยู่ทั่วประเทศไทย จำนวน 71 สถานี รายปีในช่วงปี พ.ศ. 2540 – 2551 และรายเดือนในช่วงปี พ.ศ. 2540 – 2551 โดยเฉลี่ยทุก ๆ 4 ปี เพื่อวิเคราะห์หาปริมาณฝนที่ผันแปรและเปลี่ยนแปลงของประเทศไทย

ตารางที่ 13 ปริมาณฝนที่ตรวจวัดและจำนวนวันที่มีฝนตก จากการเฝ้าติดตามและจดบันทึกของสถานีอุตุนิยมวิทยา 71 สถานีที่ตั้งอยู่ทั่วประเทศไทย ในช่วงปี พ.ศ. 2540 – 2551

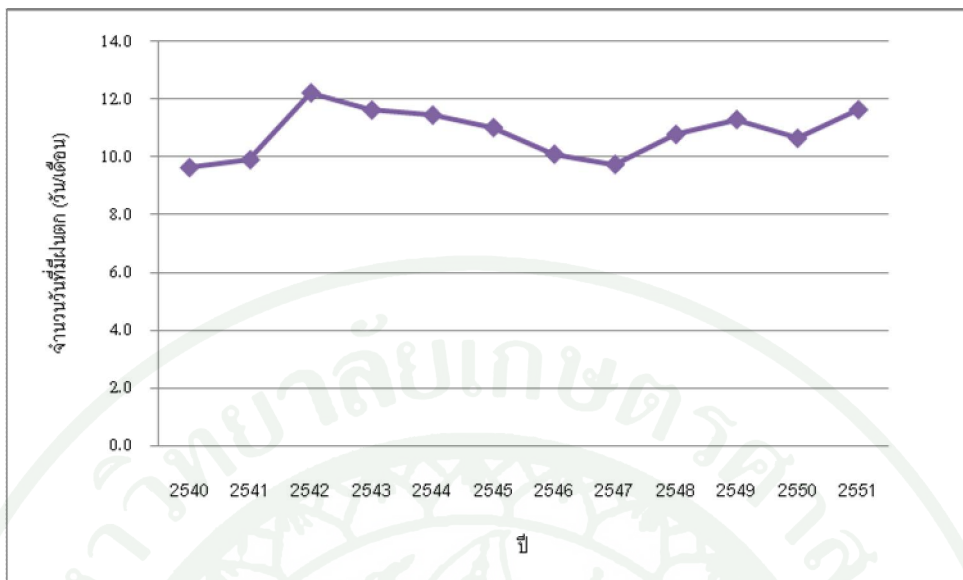
ปี	ปริมาณฝนรวม (มิลิเมตร/เดือน)	ปริมาณฝนสูงสุด ในรอบ 24 ชม. (มิลิเมตร/เดือน)	จำนวนวันที่มีฝนตก (วัน/เดือน)
2540	116.1	34.4	9.6
2541	120.8	34.9	9.9
2542	148.6	42.1	12.2
2543	148.9	40.7	11.6
2544	138.3	38.0	11.4
2545	132.3	38.5	11.0
2546	124.2	35.8	10.1
2547	117.2	34.2	9.7
2548	132.6	38.8	10.8
2549	140.9	40.9	11.3
2550	133.1	37.6	10.6
2551	143.2	41.6	11.6



ภาพที่ 37 ปริมาณฝน รายปีเฉลี่ยในช่วงปี พ.ศ. 2540 – 2551



ภาพที่ 38 ปริมาณฝนสูงสุดในรอบ 24 ช.ม. รายปีเฉลี่ยในช่วงปี พ.ศ. 2540 – 2551



ภาพที่ 39 จำนวนวันที่มีฝนตก รายปีเฉลี่ยในช่วงปี พ.ศ. 2540 – 2551

ตารางที่ 14 ปริมาณฝน รายเดือนเฉลี่ยในช่วงปี พ.ศ. 2540 – 2543

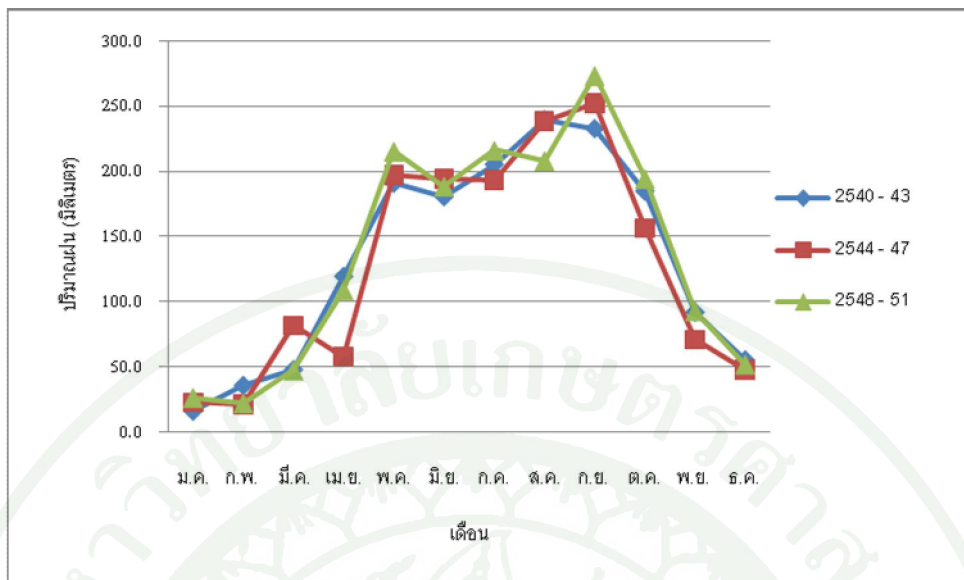
ปี เดือน	2540	2541	2542	2543	เฉลี่ย 2540-43
ม.ค.	4.7	10.3	34.4	17.2	16.7
ก.พ.	24.6	20.6	52.5	47.6	36.3
มี.ค.	48.1	17.0	68.6	60.0	48.4
เม.ย.	80.7	45.2	174.2	178.9	119.7
พ.ค.	120.9	167.4	255.1	220.6	191.0
มิ.ย.	120.7	195.8	166.0	240.0	180.6
ก.ค.	232.5	187.2	200.6	201.1	205.4
ส.ค.	265.8	238.4	201.6	252.1	239.5
ก.ย.	230.1	242.0	237.3	221.2	232.7
ต.ค.	149.4	174.4	230.3	185.4	184.9
พ.ย.	65.7	100.2	96.8	106.6	92.3
ธ.ค.	50.4	51.7	65.6	55.5	55.8

ตารางที่ 15 ปริมาณฝน รายเดือนเฉลี่ยในช่วงปี พ.ศ. 2544 - 2547

ปี เดือน	2544	2545	2546	2547	เฉลี่ย 2544-47
	ปริมาณฝน (มม.)				
ม.ค.	46.4	7.3	12.2	24.7	22.6
ก.พ.	8.8	14.1	22.4	39.0	21.1
มี.ค.	159.6	47.7	101.8	18.8	82.0
เม.ย.	50.3	68.7	50.4	62.6	58.0
พ.ค.	228.0	214.8	141.4	204.7	197.2
มิ.ย.	191.3	174.1	190.2	222.7	194.6
ก.ค.	175.7	159.5	204.9	234.9	193.7
ส.ค.	252.0	276.1	223.5	202.9	238.6
ก.ย.	216.7	277.2	275.0	242.5	252.8
ต.ค.	223.9	136.4	176.4	90.7	156.8
พ.ย.	57.6	128.6	51.2	46.6	71.0
ธ.ค.	49.6	83.6	40.8	16.7	47.7

ตารางที่ 16 ปริมาณฝน รายเดือนเฉลี่ยในช่วงปี พ.ศ. 2548 - 2551

ปี เดือน	2548	2549	2550	2551	เฉลี่ย 2548-51
	ปริมาณฝน (มม.)				
ม.ค.	12.6	46.0	22.1	26.6	26.8
ก.พ.	3.4	38.1	10.4	38.0	22.5
มี.ค.	39.3	69.6	37.4	44.3	47.7
เม.ย.	73.6	117.0	113.3	133.2	109.3
พ.ค.	158.2	215.1	276.4	212.9	215.6
มิ.ย.	192.4	183.9	181.8	197.1	188.8
ก.ค.	216.3	248.0	196.2	204.8	216.3
ส.ค.	192.7	241.0	207.1	192.7	208.4
ก.ย.	306.0	253.2	247.7	287.7	273.7
ต.ค.	155.2	205.0	218.5	200.2	194.7
พ.ย.	132.3	45.4	60.1	134.7	93.1
ธ.ค.	109.2	28.1	25.7	46.4	52.3



ภาพที่ 40 ปริมาณฝน รายเดือนเฉลี่ย ทุก ๆ 4 ปี ในช่วงปี พ.ศ. 2540 – 2551

ตารางที่ 17 ปริมาณฝนสูงสุดในรอบ 24 ชม. รายเดือนเฉลี่ยในช่วงปี พ.ศ. 2540 – 2543

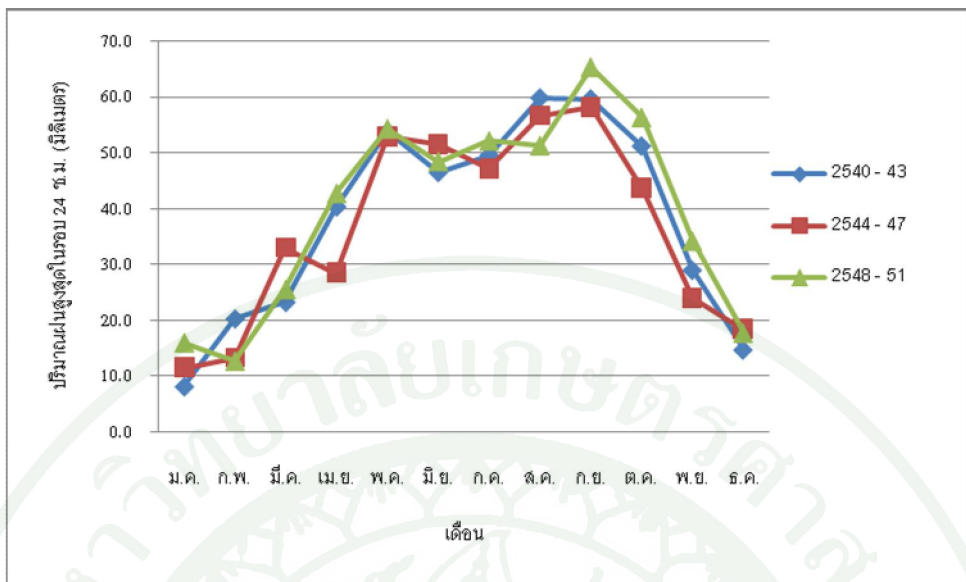
ปี เดือน	2540	2541	2542	2543	เฉลี่ย 2540-43
	ปริมาณฝนสูงสุดในรอบ 24 ชม. (มม.)				
ม.ค.	3.7	6.9	15.2	7.1	8.2
ก.พ.	12.5	12.1	31.0	25.8	20.3
มี.ค.	25.2	11.4	31.9	24.8	23.3
เม.ย.	34.7	22.4	49.8	54.5	40.4
พ.ค.	41.2	50.2	64.4	59.4	53.8
มิ.ย.	33.0	53.1	41.3	58.6	46.5
ก.ค.	49.2	48.7	49.9	50.4	49.5
ส.ค.	65.4	59.7	52.7	61.4	59.8
ก.ย.	64.2	57.1	58.5	58.7	59.6
ต.ค.	46.3	50.8	60.5	47.1	51.2
พ.ย.	26.5	31.8	30.1	27.6	29.0
ธ.ค.	11.1	14.8	19.9	13.3	14.8

ตารางที่ 18 ปริมาณฝนสูงสุดในรอบ 24 ชม. รายเดือนเฉลี่ยในช่วงปี พ.ศ. 2544 – 2547

ปี เดือน	2544	2545	2546	2547	เฉลี่ย 2544-47
	ปริมาณฝนสูงสุดในรอบ 24 ชม. (มม.)				
ม.ค.	18.2	4.7	7.1	16.1	11.5
ก.พ.	6.1	8.7	14.0	24.4	13.3
มี.ค.	51.9	29.8	39.3	11.0	33.0
เม.ย.	23.9	32.9	26.8	30.7	28.6
พ.ค.	52.4	55.4	46.6	57.6	53.0
มิ.ย.	49.3	43.9	53.3	59.8	51.6
ก.ค.	42.9	39.8	52.1	54.0	47.2
ส.ค.	66.5	61.3	53.8	45.5	56.7
ก.ย.	53.7	62.3	57.2	59.8	58.3
ต.ค.	50.5	45.4	50.4	28.4	43.7
พ.ย.	21.9	42.0	14.5	17.8	24.0
ธ.ค.	18.7	35.3	14.6	5.2	18.5

ตารางที่ 19 ปริมาณฝนสูงสุดในรอบ 24 ชม. รายเดือนเฉลี่ยในช่วงปี พ.ศ. 2548 – 2551

ปี เดือน	2548	2549	2550	2551	เฉลี่ย 2548-51
	ปริมาณฝนสูงสุดในรอบ 24 ชม. (มม.)				
ม.ค.	9.5	23.3	12.9	18.5	16.0
ก.พ.	2.8	20.1	7.0	21.0	12.7
มี.ค.	22.6	34.6	21.6	23.3	25.5
เม.ย.	35.6	45.6	40.7	49.1	42.7
พ.ค.	44.8	56.0	65.6	50.8	54.3
มิ.ย.	47.0	48.4	49.4	48.9	48.4
ก.ค.	53.5	58.0	50.8	46.1	52.1
ส.ค.	47.6	56.8	50.5	50.3	51.3
ก.ย.	74.2	59.7	57.3	70.0	65.3
ต.ค.	44.5	60.9	65.4	54.4	56.3
พ.ย.	55.1	16.9	23.7	41.1	34.2
ธ.ค.	28.4	10.0	6.7	25.7	17.7



ภาพที่ 41 ปริมาณฝนสูงสุดในรอบ 24 ช.ม. รายเดือนเฉลี่ย ทุก ๆ 4 ปี ในช่วงปี พ.ศ. 2540 – 2551

ตารางที่ 20 จำนวนวันที่มีฝนตก รายเดือนเฉลี่ยในช่วงปี พ.ศ. 2540 – 2543

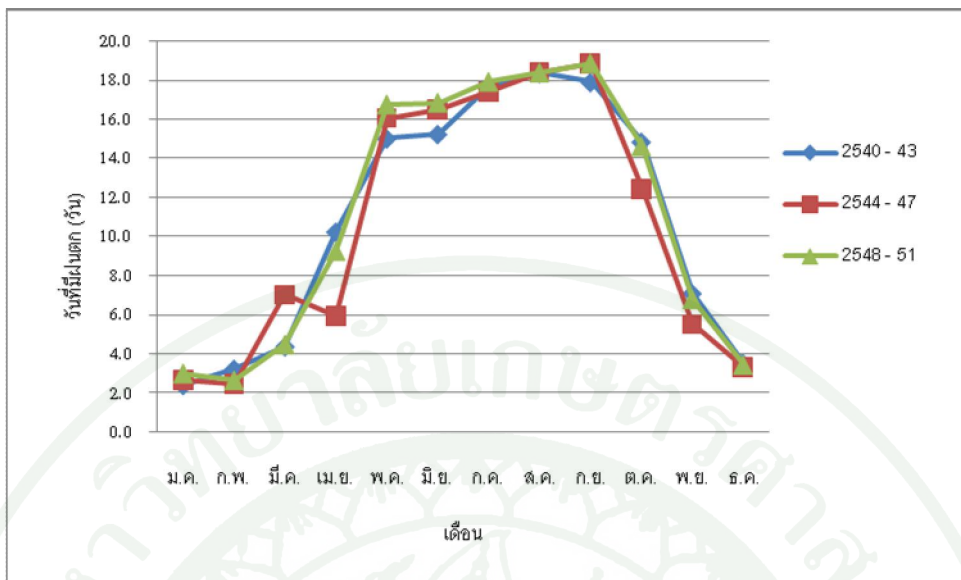
ปี เดือน	2540	2541	2542	2543	เฉลี่ย 2540-43
	วันที่มีฝนตก (วัน)				
ม.ค.	0.9	1.7	4.4	2.7	2.4
ก.พ.	2.8	2.4	2.9	5.0	3.3
มี.ค.	4.6	2.4	5.7	4.9	4.4
เม.ย.	9.1	4.4	14.2	13.3	10.3
พ.ค.	10.5	13.7	19.2	16.7	15.0
มิ.ย.	12.2	14.7	14.9	19.3	15.3
ก.ค.	18.5	16.5	17.4	18.4	17.7
ส.ค.	18.9	18.8	18.0	17.7	18.4
ก.ย.	17.1	18.3	18.6	17.6	17.9
ต.ค.	12.7	12.6	17.9	16.2	14.9
พ.ย.	5.4	9.2	9.6	4.3	7.1
ธ.ค.	2.9	4.2	3.9	3.2	3.5

ตารางที่ 21 จำนวนวันที่มีฝนตก รายเดือนเฉลี่ยในช่วงปี พ.ศ. 2544 – 2547

ปี เดือน	2544	2545	2546	2547	เฉลี่ย 2544-47
	วันที่มีฝนตก (วัน)				
ม.ค.	3.9	1.7	1.9	3.3	2.7
ก.พ.	1.5	1.9	3.2	3.5	2.5
มี.ค.	11.4	4.7	9.3	2.7	7.1
เม.ย.	5.3	6.8	5.2	6.6	6.0
พ.ค.	18.6	16.3	13.2	16.1	16.1
มิ.ย.	16.8	16.3	16.0	16.9	16.5
ก.ค.	16.5	17.1	17.6	18.5	17.4
ส.ค.	18.4	20.7	16.7	18.0	18.4
ก.ย.	17.3	19.7	20.5	17.9	18.9
ต.ค.	19.0	11.7	11.7	7.4	12.5
พ.ย.	5.2	8.9	3.5	4.6	5.5
ธ.ค.	3.4	6.3	2.4	1.4	3.4

ตารางที่ 22 จำนวนวันที่มีฝนตก รายเดือนเฉลี่ยในช่วงปี พ.ศ. 2548 – 2551

ปี เดือน	2548	2549	2550	2551	เฉลี่ย 2548-51
	วันที่มีฝนตก (วัน)				
ม.ค.	1.7	5.7	2.1	2.6	3.0
ก.พ.	0.6	4.0	1.6	4.4	2.7
มี.ค.	4.4	5.0	3.7	4.8	4.5
เม.ย.	6.9	10.0	9.6	10.5	9.3
พ.ค.	14.1	16.6	19.1	17.1	16.7
มิ.ย.	17.8	16.8	16.0	16.7	16.8
ก.ค.	17.3	19.0	16.7	18.5	17.9
ส.ค.	18.5	18.7	18.0	18.3	18.4
ก.ย.	19.8	18.6	17.7	19.3	18.8
ต.ค.	13.5	13.3	15.0	16.6	14.6
พ.ย.	9.1	4.6	5.8	7.8	6.8
ธ.ค.	5.6	3.1	2.3	2.8	3.5



ภาพที่ 42 จำนวนวันที่มีฝนตก รายเดือนเฉลี่ย ทุก ๆ 4 ปี ในช่วงปี พ.ศ. 2540 – 2551

ปรากฏการณ์อ่อนนิโญและลานีนา ทำให้สภาพอากาศทั่วโลกมีการเปลี่ยนแปลงโดยเนพะ อุณหภูมิและปริมาณน้ำฝน ซึ่งจะส่งผลกระทบต่อปริมาณฝนและจำนวนวันที่มีฝนตกในประเทศไทย จากการวิเคราะห์ข้อมูล จากสถานีอุตุนิยมวิทยาจำนวนทั้งหมด 71 สถานีทั่วประเทศไทย พบว่า ปริมาณน้ำฝน รายปีในช่วงปี พ.ศ. 2540 – 2551 มีปริมาณน้ำฝนต่ำกว่าค่าปกติซึ่งสอดคล้องกับปีที่เกิดปรากฏการณ์อ่อนนิโญรุนแรง คือช่วงปี พ.ศ. 2540 – 2541 และปีที่ปริมาณน้ำฝนสูงกว่าค่าปกติ สอดคล้องกับปีที่เกิดปรากฏการณ์ลานีนารุนแรง คือช่วงปี พ.ศ. 2542 – 2543, พ.ศ. 2550 – 2551 ดังภาพที่ 37 ลักษณะกราฟความคล้ายคลึงกับกราฟของความชื้นสัมพัทธ์ ดังภาพที่ 35 โดยเฉพาะปี พ.ศ. 2543 มีค่าสูงสุดเมื่อนอกน้ำฝน ให้เห็นว่าปริมาณน้ำฝนและความชื้นสัมพัทธ์มีความสัมพันธ์ กัน ปริมาณฝนสูงสุดในรอบ 24 ชม. รายปี ดังภาพที่ 38 ลักษณะกราฟคล้ายคลึงกับจำนวนวันที่มีฝนตก รายปี ดังภาพที่ 39 มีค่าสูงสุดเท่ากันในปี พ.ศ. 2542 และมีแนวโน้มค่าสูงขึ้นในทุก ๆ ปี

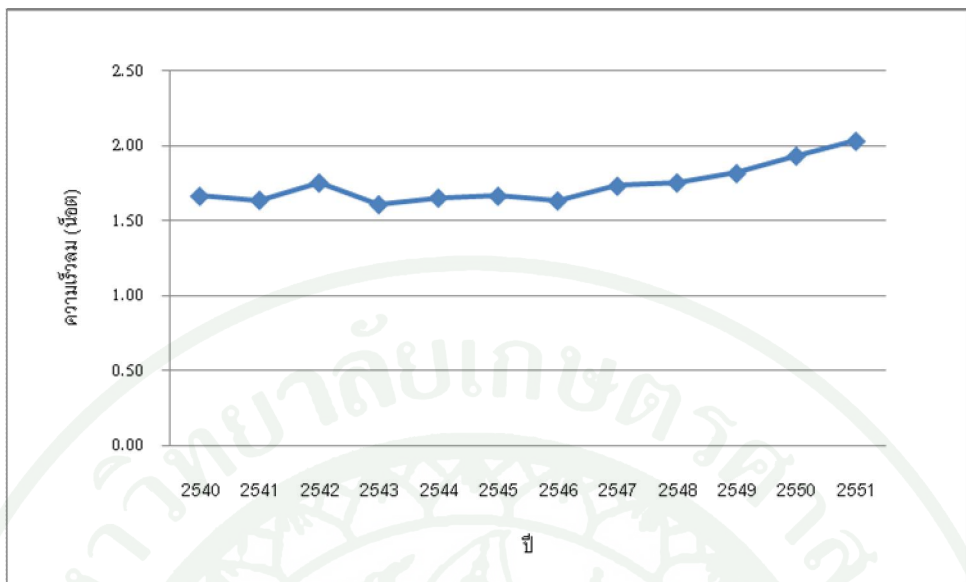
เมื่อพิจารณา ปริมาณฝน ดังภาพที่ 40 ปริมาณฝนสูงสุดในรอบ 24 ชม. ดังภาพที่ 41 และ จำนวนวันที่มีฝนตก ดังภาพที่ 42 รายเดือนเฉลี่ย ทุก ๆ 4 ปี พบว่าในช่วงปี พ.ศ. 2548 – 2551 (สีเขียว) และในช่วงปี พ.ศ. 2544 – 2547 (สีแดง) มีค่าสูงกว่าในช่วงปี พ.ศ. 2540 – 2543 (สีฟ้า) แสดงผลอย่างชัดเจนว่า ฝนมีแนวโน้มเพิ่มขึ้นเรื่อย ๆ ในอนาคต และพบว่า ปริมาณฝนและจำนวนที่มีฝนตกมีค่ามากที่สุดในกันยายน

4. การหาความเร็วломที่ผันแปรและเปลี่ยนแปลงของประเทศไทย

ข้อมูลความเร็วломที่ตรวจวัด จากสถานีอุตุนิยมวิทยาทั่วประเทศไทย จำนวน 71 สถานี มาคำนวณหาค่าเฉลี่ยเลขคณิตเป็นรายปีในช่วงปี พ.ศ. 2540 – 2551 และรายเดือนในช่วงปี พ.ศ. 2540 – 2551 โดยเฉลี่ย ทุก ๆ 4 ปี เพื่อวิเคราะห์ความเร็วломที่ผันแปรและเปลี่ยนแปลงของประเทศไทย

ตารางที่ 23 ความเร็วломที่ตรวจวัด จากการเฝ้าติดตามและจดบันทึกของสถานีอุตุนิยมวิทยา 71 สถานีที่ตั้งอยู่ทั่วประเทศไทย ในช่วงปี พ.ศ. 2540 – 2551

ปี	ความเร็วлом (นีอต)
2540	1.66
2541	1.64
2542	1.75
2543	1.61
2544	1.65
2545	1.66
2546	1.63
2547	1.73
2548	1.75
2549	1.82
2550	1.93
2551	2.03



ภาพที่ 43 ความเร็วลม รายปีเฉลี่ยในช่วงปี พ.ศ. 2540 – 2551

ตารางที่ 24 ความเร็วลม รายเดือนเฉลี่ยในช่วงปี พ.ศ. 2540 – 2543

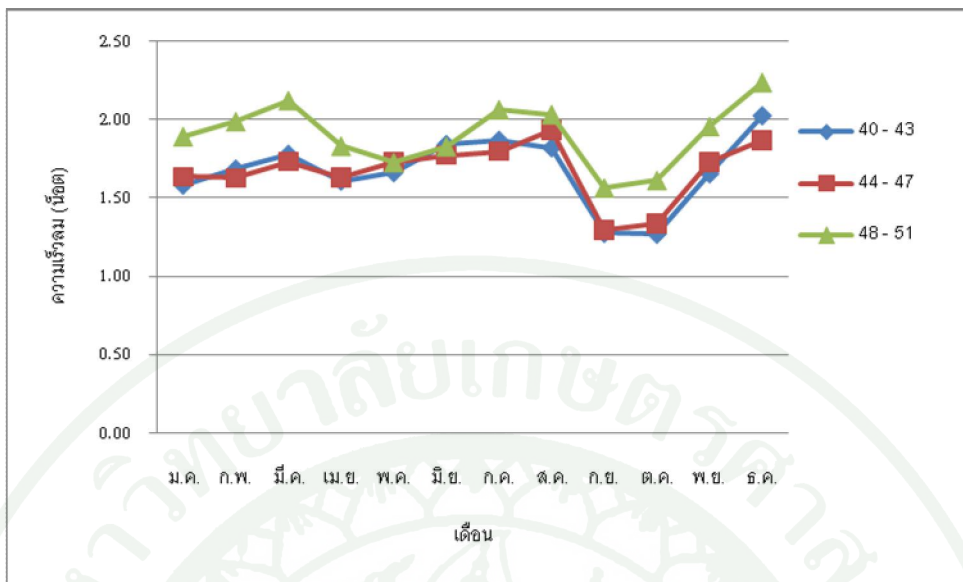
เดือน	2540	2541	2542	2543	เฉลี่ย 2540-43
	ความเร็วลม (เมตร)				
ม.ค.	1.52	1.46	1.61	1.74	1.58
ก.พ.	1.60	1.74	1.78	1.61	1.68
มี.ค.	1.89	2.02	1.67	1.54	1.78
เม.ย.	1.57	1.97	1.51	1.38	1.61
พ.ค.	2.00	1.70	1.34	1.61	1.66
มิ.ย.	2.06	1.79	1.91	1.61	1.84
ก.ค.	1.93	1.50	2.23	1.83	1.87
ส.ค.	2.22	1.32	1.84	1.90	1.82
ก.ย.	1.17	1.26	1.35	1.31	1.27
ต.ค.	1.09	1.29	1.38	1.32	1.27
พ.ย.	1.41	1.62	1.67	1.92	1.66
ธ.ค.	1.58	2.02	2.81	1.69	2.03

ตารางที่ 25 ความเร็วลม รายเดือนเฉลี่ยในช่วงปี พ.ศ. 2544 – 2547

ปี เดือน	2544	2545	2546	2547	เฉลี่ย 2544-47
	ความเร็วลม (นิอต)				
ม.ค.	1.43	1.82	1.72	1.57	1.63
ก.พ.	1.52	1.60	1.63	1.76	1.63
มี.ค.	1.50	1.80	1.63	1.99	1.73
เม.ย.	1.61	1.64	1.50	1.76	1.63
พ.ค.	1.71	1.72	1.72	1.76	1.73
มิ.ย.	1.89	1.66	1.59	1.94	1.77
ก.ค.	2.01	2.23	1.49	1.45	1.80
ส.ค.	2.16	1.85	1.83	1.88	1.93
ก.ย.	1.19	1.49	1.41	1.09	1.29
ต.ค.	1.17	1.19	1.53	1.47	1.34
พ.ย.	2.02	1.52	1.50	1.86	1.73
ธ.ค.	1.93	1.41	2.29	1.82	1.86

ตารางที่ 26 ความเร็วลม รายเดือนเฉลี่ยในช่วงปี พ.ศ. 2548 – 2551

ปี เดือน	2548	2549	2550	2551	เฉลี่ย 2548-51
	ความเร็วลม (นิอต)				
ม.ค.	1.63	1.64	2.29	2.01	1.89
ก.พ.	1.63	2.00	2.00	2.32	1.99
มี.ค.	2.17	2.05	2.06	2.20	2.12
เม.ย.	1.80	1.69	2.03	1.79	1.83
พ.ค.	1.63	1.60	1.67	2.01	1.72
มิ.ย.	1.97	1.73	1.67	1.93	1.83
ก.ค.	1.83	2.42	1.99	2.01	2.06
ส.ค.	1.85	2.22	2.13	1.93	2.03
ก.ย.	1.43	1.38	1.54	1.89	1.56
ต.ค.	1.41	1.54	1.94	1.55	1.61
พ.ย.	1.53	1.46	2.32	2.52	1.96
ธ.ค.	2.26	2.40	1.89	2.40	2.24



ภาพที่ 44 ความเร็วลง รายเดือนเฉลี่ย ทุก ๆ 4 ปี ในช่วงปี พ.ศ. 2540 – 2551

จากการวิเคราะห์ความเร็วลงที่ตรวจจัดได้ จากข้อมูลสถานีอุตุนิยมวิทยาจำนวน 71 สถานี ทั่วประเทศไทย รายปีในช่วงปี พ.ศ. 2540 – 2551 พบว่า ความเร็วลงมีค่าเพิ่มขึ้นตั้งแต่ปี พ.ศ. 2540 และเพิ่มขึ้นในทุก ๆ ปี จนสูงสุดในปี พ.ศ. 2551 ดังภาพที่ 43

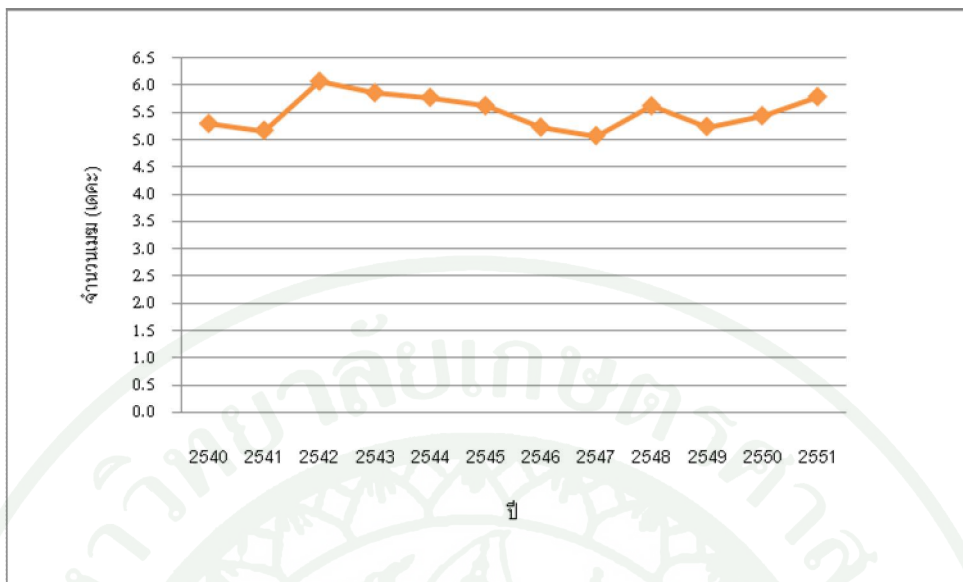
ความเร็วลง รายเดือนเฉลี่ย ทุก ๆ 4 ปี ในช่วงปี พ.ศ. 2540 – 2551 พบว่าในช่วงปี พ.ศ. 2548 – 2551 (สีเขียว) มีค่าสูงกว่าในช่วงปี พ.ศ. 2540 – 2543 (สีฟ้า) และในช่วงปี พ.ศ. 2544 – 2547 (สีแดง) ในทุก ๆ เดือน ดังภาพที่ 44 และเมื่อพิจารณาในอนาคต ความเร็วลงเฉลี่ยของประเทศไทย จะยังคงมีแนวโน้มที่จะมีค่าเพิ่มขึ้นเรื่อย ๆ ต่อไปในอนาคต

5. การทำจำนวนเมมที่ผันแปรและเปลี่ยนแปลงของประเทศไทย

ข้อมูลปริมาณเมมหรือจำนวนเมมที่ตรวจวัด จากข้อมูลสถานีอุตุนิยมวิทยาทั่วประเทศไทย
จำนวน 71 สถานี มาคำนวณหาค่าเฉลี่ยเลขคณิต รายปีในช่วงปี พ.ศ. 2540 – 2551 และรายเดือน
ในช่วงปี พ.ศ. 2540 – 2551 โดยเฉลี่ย ทุก ๆ 4 ปี เพื่อวิเคราะห์หาจำนวนเมมที่ผันแปรและ
เปลี่ยนแปลงของประเทศไทย

ตารางที่ 27 จำนวนเมม จากการเฝ้าติดตามและจดบันทึกของสถานีอุตุนิยมวิทยา 71 สถานี
ที่ตั้งอยู่ทั่วประเทศไทย ในช่วงปี พ.ศ. 2540 – 2551

ปี	จำนวนเมม (เดกะ)
2540	5.3
2541	5.2
2542	6.1
2543	5.9
2544	5.8
2545	5.6
2546	5.2
2547	5.1
2548	5.6
2549	5.2
2550	5.4
2551	5.8



ภาพที่ 45 จำนวนเมฆ รายปีเฉลี่ยในช่วงปี พ.ศ. 2540 – 2551

ตารางที่ 28 จำนวนเมฆ รายเดือนเฉลี่ยในช่วงปี พ.ศ. 2540 – 2543

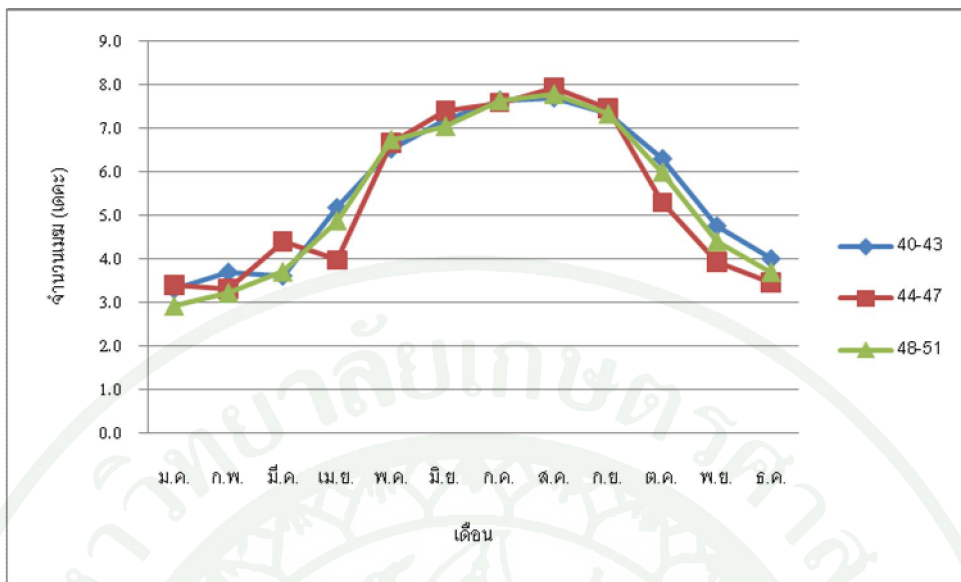
ปี เดือน	2540	2541	2542	2543	เฉลี่ย 2540-43
	จำนวนเมฆ (เดcombe)				
ม.ค.	2.9	2.5	4.3	3.5	3.3
ก.พ.	4.5	2.8	3.4	4.1	3.7
มี.ค.	3.5	3.0	3.7	4.3	3.6
เม.ย.	4.5	3.5	6.6	6.1	5.2
พ.ค.	5.7	5.9	7.5	7.0	6.5
มิ.ย.	6.3	7.0	7.6	8.0	7.2
ก.ค.	8.2	7.0	7.6	7.7	7.6
ส.ค.	7.7	7.4	7.9	7.8	7.7
ก.ย.	7.4	7.3	7.3	7.4	7.4
ต.ค.	5.8	5.9	6.8	6.7	6.3
พ.ย.	4.4	5.3	5.5	3.9	4.8
ธ.ค.	3.3	4.5	4.4	3.8	4.0

ตารางที่ 29 จำนวนเมฆ รายเดือนเฉลี่ยในช่วงปี พ.ศ. 2544 - 2547

ปี เดือน	2544	2545	2546	2547	เฉลี่ย 2544-47
	จำนวนเมฆ (เดือน)				
ม.ค.	4.1	3.1	3.2	3.3	3.4
ก.พ.	3.1	3.3	3.4	3.5	3.3
มี.ค.	5.7	3.9	4.8	3.2	4.4
เม.ย.	4.0	4.3	3.6	4.1	4.0
พ.ค.	7.1	6.6	6.1	6.8	6.7
มิ.ย.	7.7	7.4	7.1	7.3	7.4
ก.ค.	7.6	7.8	7.2	7.8	7.6
ส.ค.	8.0	8.3	7.5	7.9	7.9
ก.ย.	7.1	7.8	7.6	7.3	7.5
ต.ค.	6.6	5.2	5.4	4.0	5.3
พ.ย.	4.1	5.0	3.1	3.5	3.9
ธ.ค.	3.8	4.4	3.2	2.5	3.5

ตารางที่ 30 จำนวนเมฆ รายเดือนเฉลี่ยในช่วงปี พ.ศ. 2548 - 2551

ปี เดือน	2548	2549	2550	2551	เฉลี่ย 2548-51
	จำนวนเมฆ (เดือน)				
ม.ค.	3.2	2.4	3.2	3.0	2.9
ก.พ.	2.5	3.6	2.5	4.4	3.2
มี.ค.	3.9	3.8	3.4	3.8	3.7
เม.ย.	4.5	5.0	4.6	5.4	4.9
พ.ค.	6.4	6.5	6.9	7.1	6.7
มิ.ย.	7.7	6.8	6.5	7.2	7.1
ก.ค.	7.5	8.1	7.3	7.7	7.6
ส.ค.	8.1	7.9	7.8	7.4	7.8
ก.ย.	7.7	6.8	7.3	7.5	7.3
ต.ค.	5.9	5.2	6.6	6.3	6.0
พ.ย.	5.3	2.7	4.6	5.1	4.4
ธ.ค.	5.1	2.9	3.2	3.7	3.7



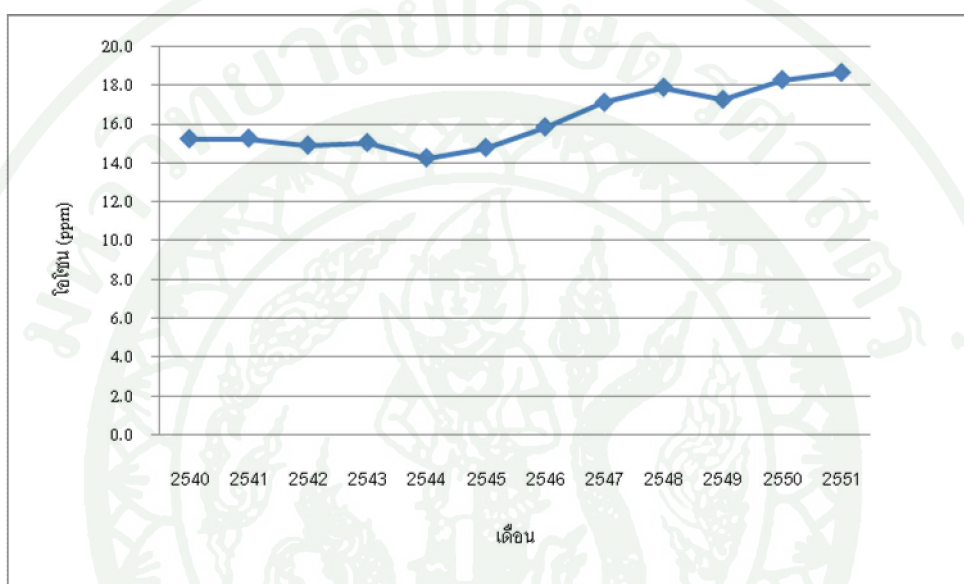
ภาพที่ 46 จำนวนเมมรายเดือนเฉลี่ย ทุก ๆ 4 ปี ในช่วงปี พ.ศ. 2540 – 2551

จากการวิเคราะห์ข้อมูลจำนวนเมมที่ตรวจวัดได้ จากสถานีอุตุนิยมวิทยาจำนวน 71 สถานี ทั่วประเทศไทย พบว่าจำนวนเมมรายปีเฉลี่ยในช่วงปี พ.ศ. 2540 – 2551 ดังภาพที่ 45 กราฟมีการเปลี่ยนแปลงความคล้ายคลึงกับความชื้นสัมพัทธ์รายปี ดังภาพที่ 35 และปริมาณฝนรายปี ดังภาพที่ 37 โดยเฉพาะปริมาณฝนสูงสุดในรอบ 24 ชม. รายปี ดังภาพที่ 38 และจำนวนวันที่มีฝนตกรายปี ดังภาพที่ 39 มีความใกล้เคียงมากซึ่งมีค่าสูงที่สุดเท่ากันคือในปี พ.ศ. 2542 จำนวนเมมของประเทศไทยมีค่าเพิ่มขึ้น ตั้งแต่ปี พ.ศ. 2540 อาจจะมีช่วงที่ลดลงจนต่ำสุดในปี พ.ศ. 2547 แต่มีค่าเฉลี่ยเพิ่มขึ้นอีกรึ่งจนถึงปี พ.ศ. 2551 ดังภาพที่ 45

จำนวนเมมรายเดือนเฉลี่ย ทุก ๆ 4 ปี ในช่วงปี พ.ศ. 2540 – 2551 พบว่า โดยภาพรวม ในช่วงปี พ.ศ. 2540 – 2543 (สีฟ้า) มีค่าต่ำกว่าในช่วงปี พ.ศ. 2544 – 2547 (สีแดง) และในช่วงปี พ.ศ. 2548 – 2551 (สีเขียว) แสดงให้เห็นว่าจำนวนเมมมีแนวโน้มเพิ่มขึ้นเรื่อย ๆ และพบว่ามีจำนวนเมมค่ามากที่สุดในสิงหาคม ดังภาพที่ 46 ทั้งนี้อาจเนื่องมาจากการสะสมปริมาณละอองน้ำในบรรยากาศของเดือนสิงหาคมมีจำนวนมากจึงส่งผลทำให้ฝนที่ตกในเดือนกันยายนมีปริมาณมาก

6. การหาปริมาณก๊าซโอดีโซนที่ผันแปรและเปลี่ยนแปลงของประเทศไทย

ข้อมูลปริมาณก๊าซโอดีโซนที่ตรวจวัด จากสถานีตรวจวัดคุณภาพอากาศ กรมควบคุมมลพิษ ตั้งอยู่ทั่วประเทศไทย จำนวน 26 สถานี มาคำนวณหาค่าเฉลี่ยแล้วกันต์เป็น รายปีในช่วงปี พ.ศ. 2540 - 2551 เพื่อวิเคราะห์หาปริมาณก๊าซโอดีโซนที่ผันแปรและเปลี่ยนแปลงของประเทศไทย



ภาพที่ 47 ปริมาณก๊าซโอดีโซน รายปีเฉลี่ยในช่วงปี พ.ศ. 2540 – 2551

จากการวิเคราะห์ข้อมูลปริมาณก๊าซโอดีโซน รายปีเฉลี่ยในช่วงปี พ.ศ. 2540 – 2551 ที่ตรวจวัดได้ จากร้านค้าตรวจวัดคุณภาพอากาศ กรมควบคุมมลพิษ ตั้งอยู่ทั่วประเทศไทย จำนวน 26 สถานี พบว่าปริมาณก๊าซโอดีโซนในชั้นบรรยากาศของประเทศไทยมีค่าเฉลี่ยเพิ่มขึ้นในทุก ๆ ปี ตั้งแต่ปี พ.ศ. 2540 มีค่าเฉลี่ยเพิ่มขึ้นมาเรื่อย ๆ จนปี พ.ศ. 2551 ดังภาพที่ 47

ตารางที่ 31 สถานีตรวจวัดคุณภาพอากาศ 26 สถานี วัดปริมาณก๊าซโอดิโซน ปี พ.ศ. 2540 - 2545

สถานีตรวจวัดคุณภาพอากาศ	ไอโอดีน (ppm)					
	ปี 2540	2541	2542	2543	2544	2545
ศูนย์ราชการ จ. เชียงใหม่	21.1	19.6	18.0	17.8	19.0	19.1
โรงพยาบาลจุฬารัตน์ จ. เชียงใหม่	14.6	12.5	10.7	13.8	13.1	13.8
ศาลาหลักเมือง จ. ลำปาง	17.3	16.8	10.8	10.9	11.7	16.6
สบป้าด จ. ลำปาง	17.8	16.0	17.0	14.6	13.2	15.9
อาชีวศึกษา จ. นครสวรรค์	20.0	23.1	24.4	24.9	23.2	23.0
บ้านปลัดอำเภอ จ. ขอนแก่น	17.1	19.2	18.5	17.0	13.5	16.4
บ้านพักทหาร จ.นครราชสีมา	15.8	22.5	14.2	12.8	16.2	17.9
สถาบันราชภัฏจันทรเกษม จ. กรุงเทพฯ	8.5	5.3	11.6	12.5	7.2	2.0
สนง.การเคหะชุมชนคลองจั่น จ. กรุงเทพฯ	15.7	16.6	16.7	16.7	17.0	16.2
โรงพยาบาลจุฬารัตน์ จ. กรุงเทพฯ	10.8	9.7	11.0	11.4	10.7	11.2
โรงพยาบาลสิงหาราชพิทยา จ. กรุงเทพฯ	17.3	19.3	13.6	18.6	17.8	17.5
สถานีการไฟฟ้ายื่อยชานนทบุรี จ. กรุงเทพฯ	9.1	9.4	9.3	8.4	7.6	11.6
สถานีตำรวจนครบาลโชคชัย จ. กรุงเทพฯ	8.8	9.6	8.7	10.1	8.5	9.0
เคหะชุมชนดินแดง จ. กรุงเทพฯ	5.0	5.1	3.7	4.1	4.8	5.6
ม.กรุงเทพ จ.ปทุมธานี	21.2	7.6	11.8	13.7	13.0	15.7
โรงพยาบาลหน้าพระลาน จ. สรงนารี	12.6	16.7	21.2	14.6	12.7	14.3
เบาะน้อย จ. สรงนารี	18.3	26.5	18.4	20.0	18.4	18.4
ศูนย์ช่างบำบัดที่ 1 จ. ราชบุรี	20.0	21.9	22.1	23.6	18.2	19.3
สถานีดับเพลิงอ่าวอุดม จ. ชลบุรี	19.6	20.2	16.5	12.2	17.4	16.2
ศูนย์เยาวชน อ.ศรีราชา จ.ชลบุรี	19.0	21.0	21.3	19.9	17.5	17.5
สนง. สามัญศึกษา จ. ชลบุรี	15.0	17.6	18.7	17.7	15.8	16.8
นานาตาพุด จ.ระยอง	9.1	13.1	12.1	13.7	15.1	14.8
ชุมสายโทรศัพท์ จ. ระยอง	18.4	17.6	14.6	17.7	20.1	15.8
ศูนย์วิจัยพืชไร่ จ. ระยอง	17.1	14.4	25.3	16.8	16.8	16.1
ที่ว่าการอำเภอ จ. สุราษฎร์ธานี	12.1	7.2	8.5	10.4	11.8	14.5
ศูนย์บริการสาธารณสุข จ. ภูเก็ต	15.1	8.7	9.2	17.3	10.5	9.5
ค่าเฉลี่ย	15.2	15.3	14.9	15.0	14.3	14.8

ตารางที่ 32 สถานีตรวจวัดคุณภาพอากาศ 26 สถานี วัดปริมาณก๊าซโอดิโซน ปี พ.ศ.2546 - 2551

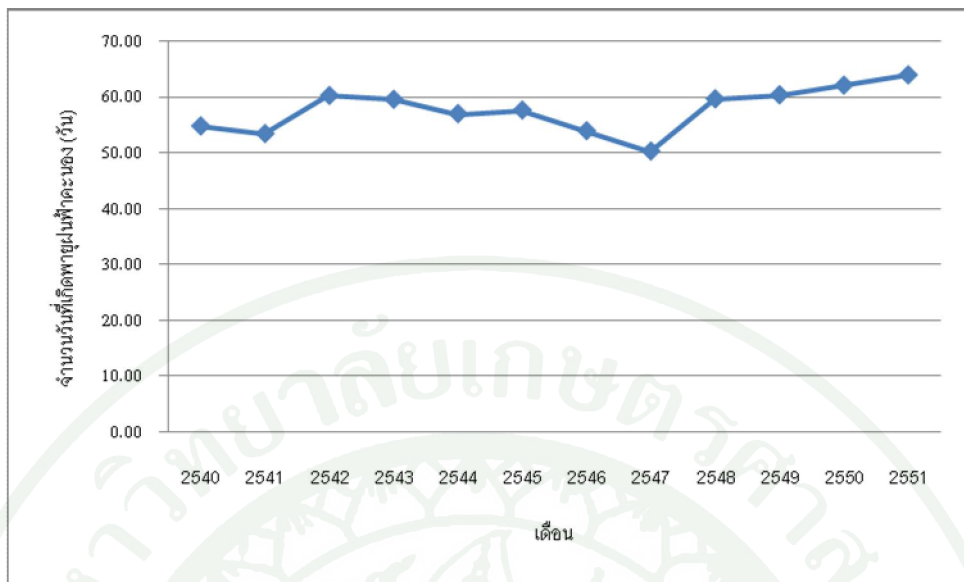
สถานีตรวจวัดคุณภาพอากาศ	ไอโอดีน (ppm)					
	ปี 2546	2547	2548	2549	2550	2551
ศูนย์ราชการ จ. เชียงใหม่	19.5	21.6	20.0	18.6	22.6	21.7
โรงพยาบาลจุฬารัตน์ จ. เชียงใหม่	13.0	16.8	17.1	15.5	16.3	17.8
ศาลาหลักเมือง จ. ลำปาง	14.3	17.9	17.9	16.3	19.3	20.2
สบป้าด จ. ลำปาง	15.1	18.1	18.5	17.6	16.6	16.0
อาชีวศึกษา จ. นครสวรรค์	23.8	24.1	24.7	27.0	28.0	26.3
บ้านปลัดอำเภอ จ. ขอนแก่น	17.5	19.2	19.0	14.0	15.2	15.3
บ้านพักทหาร จ.นครราชสีมา	21.0	21.6	23.6	17.8	22.2	21.8
สถาบันราชภัฏจันทรเกษม จ. กรุงเทพฯ	8.7	12.5	12.5	15.1	19.5	16.3
สนง.การเคหะชุมชนคลองจั่น จ. กรุงเทพฯ	19.6	21.4	22.3	19.3	18.0	19.8
โรงพยาบาลจุฬารัตน์ จ. กรุงเทพฯ	13.0	13.2	16.6	15.4	14.9	16.4
โรงพยาบาลสิงหาราชพิทยา จ. กรุงเทพฯ	18.5	17.9	18.4	17.9	17.1	19.7
สถานีการไฟฟ้ายื่อยชันบุรี จ. กรุงเทพฯ	16.1	16.1	13.0	14.8	13.2	13.4
สถานีตำรวจนครบาลโชคชัย จ. กรุงเทพฯ	12.3	15.0	20.1	15.6	15.7	13.8
เคหะชุมชนดินแดง จ. กรุงเทพฯ	7.0	6.3	7.6	6.5	6.0	5.8
ม.กรุงเทพ จ.ปทุมธานี	21.6	20.9	20.6	21.6	20.2	22.0
โรงพยาบาลหน้าพระลาน จ. สรงนารี	14.1	14.8	12.5	18.4	20.8	19.3
เบาน้อย จ. สรงนารี	18.2	19.3	23.1	21.7	22.8	21.6
ศูนย์ช่างบำบัดที่ 1 จ. ราชบุรี	18.3	20.7	21.4	20.9	24.7	22.9
สถานีดับเพลิงอ่าวอุดม จ. ชลบุรี	18.3	16.5	17.7	15.1	19.5	19.4
ศูนย์เยาวชน อ.ศรีราชา จ.ชลบุรี	17.1	20.0	21.2	20.2	20.0	22.2
สนง. สามัญศึกษา จ. ชลบุรี	16.5	16.4	17.5	17.7	18.9	20.4
นานาตาพุด จ.ระยอง	13.1	13.7	19.3	16.9	16.1	18.3
ชุมสายโทรศัพท์ จ. ระยอง	16.8	17.1	16.0	17.1	19.8	19.0
ศูนย์วิจัยพืชไร่ จ. ระยอง	19.3	19.4	17.2	18.8	19.3	20.9
ที่ว่าการอำเภอ จ. สุราษฎร์ธานี	11.0	12.3	12.5	15.0	14.2	14.8
ศูนย์บริการสาธารณสุข จ. ภูเก็ต	8.7	12.5	15.4	14.5	15.0	20.4
ค่าเฉลี่ย	15.9	17.1	17.9	17.3	18.3	18.7

7. การหาจำนวนวันที่เกิดพายุฝนฟ้าคะนองที่ผันแปรและเปลี่ยนแปลงของประเทศไทย

จำนวนวันที่เกิดพายุฝนฟ้าคะนอง จากข้อมูลสถานีอุตุนิยมวิทยาทั่วประเทศไทย จำนวน 71 สถานี นำมาคำนวณหาค่าเฉลี่ยเลขคณิตของประเทศไทย ตามภาคต่าง ๆ เป็นรายปีในช่วงปี พ.ศ. 2540 – 2551 และรายเดือนในช่วงปี พ.ศ. 2540 – 2551 โดยเฉลี่ย ทุก ๆ 4 ปี รวมตัวอย่างสถานี อุตุนิยมวิทยาในภาคนั้น ๆ และสร้างฟังก์ชันอย่างประมาณด้วยวิธีการฟิตเส้นโค้ง (Curve Fitting) ด้วยโปรแกรม MATLAB เพื่อวิเคราะห์หาจำนวนวันที่เกิดพายุฝนฟ้าคะนองที่ผันแปรและเปลี่ยนแปลงของประเทศไทย

ตารางที่ 33 จำนวนวันที่เกิดพายุฝนฟ้าคะนอง จากการเฝ้าติดตามและจดบันทึกของ สถานีอุตุนิยมวิทยา 71 สถานีที่ตั้งอยู่ทั่วประเทศไทย ในช่วงปี พ.ศ. 2540 – 2551

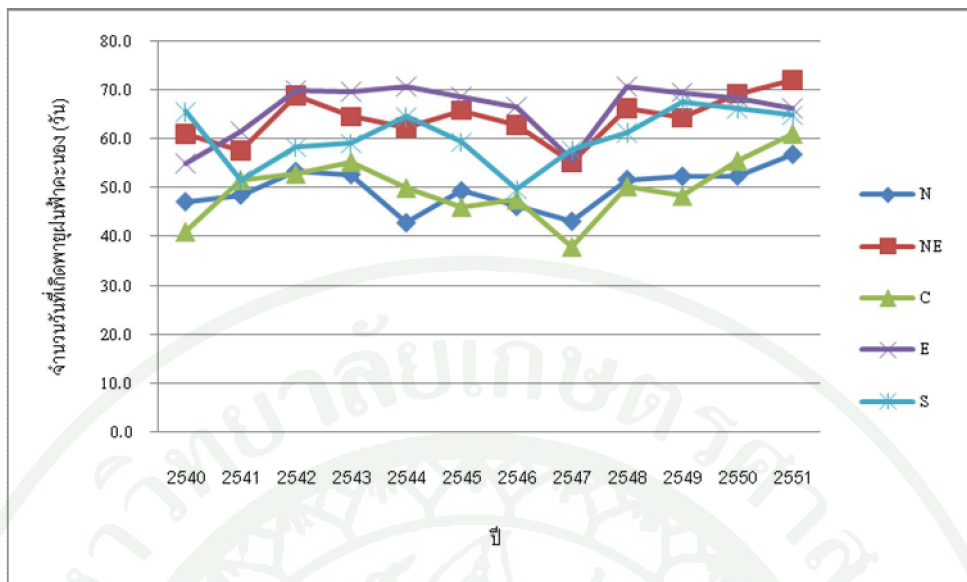
ปี	จำนวนวันที่เกิดพายุฝนฟ้าคะนอง (วัน)
2540	54.75
2541	53.38
2542	60.21
2543	59.52
2544	56.96
2545	57.61
2546	53.90
2547	50.25
2548	59.61
2549	60.34
2550	62.06
2551	63.90



ภาพที่ 48 จำนวนวันที่เกิดพายุฝนฟ้าคะนอง รายปีเฉลี่ยในช่วงปี พ.ศ. 2540 – 2551

ตารางที่ 34 จำนวนวันที่เกิดพายุฝนฟ้าคะนอง แบ่งตามภาคต่าง ๆ ในช่วงปี พ.ศ. 2540 – 2551

ปี	จำนวนวันที่เกิดพายุฝนฟ้าคะนอง (วัน)				
	ภาคเหนือ	ภาคตะวันออก	ภาคกลาง	ภาคตะวันออก	ภาคใต้
	เฉียงเหนือ				
2540	47.2	61.00	41.0	54.9	65.6
2541	48.6	57.50	51.6	61.6	51.5
2542	53.4	68.69	52.9	70.0	58.3
2543	52.7	64.50	55.3	69.6	59.1
2544	43.0	62.25	50.0	70.7	64.5
2545	49.4	65.75	46.1	68.5	59.4
2546	46.3	62.81	47.6	66.6	49.6
2547	43.3	55.19	37.9	55.7	57.6
2548	51.7	66.19	50.3	70.6	61.3
2549	52.4	64.25	48.3	69.5	67.4
2550	52.4	69.13	55.6	68.4	66.1
2551	56.8	71.94	61.1	66.2	64.9



ภาพที่ 49 จำนวนวันที่เกิดพายุฝนฟ้าคะนอง ตามภาคต่าง ๆ รายปีเฉลี่ยในช่วงปี พ.ศ. 2540 – 2551

ตารางที่ 35 จำนวนวันที่เกิดพายุฝนฟ้าคะนอง รายเดือนเฉลี่ยในช่วงปี พ.ศ. 2540 – 2543

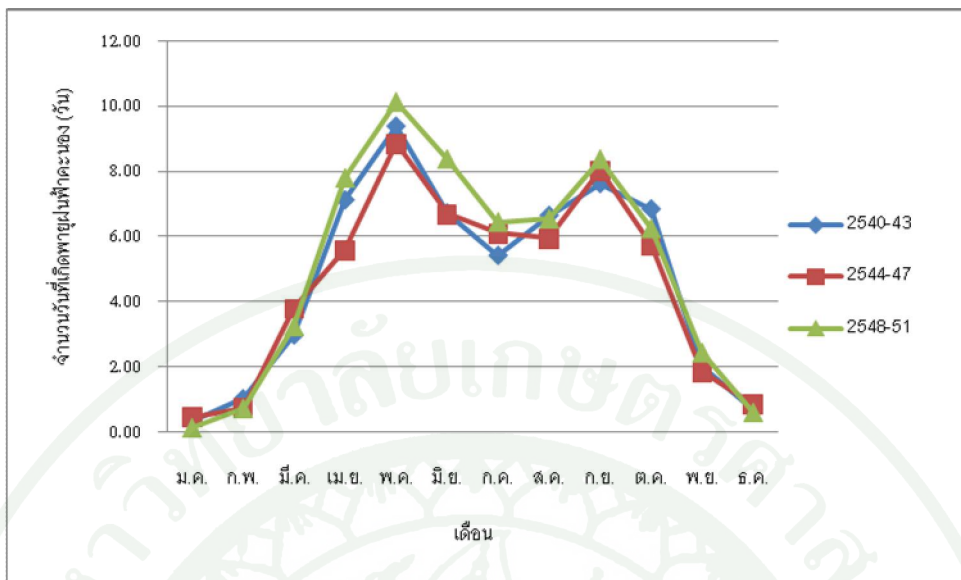
เดือน	2540	2541	2542	2543	เฉลี่ย 2540-43
	จำนวนวันที่เกิดพายุฝนฟ้าคะนอง (วัน)				
ม.ค.	0.01	0.27	0.65	0.48	0.35
ก.พ.	0.61	0.49	0.99	2.11	1.05
มี.ค.	3.70	1.90	3.54	2.86	3.00
เม.ย.	7.34	3.37	8.87	8.96	7.14
พ.ค.	7.04	9.77	10.86	9.89	9.39
มิ.ย.	5.83	7.68	5.86	7.58	6.74
ก.ค.	4.08	6.79	5.20	5.68	5.44
ส.ค.	6.39	8.86	5.14	6.24	6.66
ก.ย.	7.65	6.68	8.99	7.21	7.63
ต.ค.	8.90	5.07	6.86	6.59	6.86
พ.ย.	2.31	1.86	2.87	1.17	2.05
ธ.ค.	0.82	0.89	0.34	0.70	0.69

ตารางที่ 36 จำนวนวันที่เกิดพายุฝนฟ้าคะนอง รายเดือนเฉลี่ยในช่วงปี พ.ศ. 2544 – 2547

ปี เดือน	2544	2545	2546	2547	เฉลี่ย 2544-47
ม.ค.	0.66	0.49	0.10	0.58	0.46
ก.พ.	0.38	0.42	1.62	0.52	0.74
มี.ค.	5.42	2.82	5.58	1.34	3.79
เม.ย.	4.99	6.35	4.76	6.27	5.59
พ.ค.	9.38	9.48	7.37	9.21	8.86
มิ.ย.	6.34	8.10	6.44	5.87	6.69
ก.ค.	5.21	4.11	7.51	7.54	6.09
ส.ค.	5.23	6.70	5.92	5.93	5.94
ก.ย.	8.34	6.56	8.66	8.55	8.03
ต.ค.	8.66	6.75	4.58	2.89	5.72
พ.ย.	1.49	3.66	1.04	1.21	1.85
ธ.ค.	0.83	2.10	0.19	0.28	0.85

ตารางที่ 37 จำนวนวันที่เกิดพายุฝนฟ้าคะนอง รายเดือนเฉลี่ยในช่วงปี พ.ศ. 2548 – 2551

ปี เดือน	2548	2549	2550	2551	เฉลี่ย 2548-51
ม.ค.	0.06	0.15	0.13	0.30	0.16
ก.พ.	0.39	1.07	0.87	0.68	0.75
มี.ค.	2.82	4.00	2.77	3.45	3.26
เม.ย.	5.82	8.68	7.69	9.01	7.80
พ.ค.	10.34	9.37	11.00	9.79	10.12
มิ.ย.	6.97	8.69	9.93	7.92	8.38
ก.ค.	6.63	5.56	6.97	6.65	6.45
ส.ค.	5.89	6.34	6.68	7.31	6.55
ก.ย.	9.07	7.77	8.37	8.28	8.37
ต.ค.	6.55	5.52	5.01	7.92	6.25
พ.ย.	3.80	2.35	1.39	2.28	2.46
ธ.ค.	1.18	0.73	0.35	0.25	0.63



ภาพที่ 50 จำนวนวันที่เกิดพายุฝนฟ้าคะนอง รายเดือนเฉลี่ย ทุก ๆ 4 ปี ในช่วงปี พ.ศ. 2540 – 2551

จากการวิเคราะห์ข้อมูล จากรถานีอุตุนิยมวิทยาจำนวนทั้งหมด 71 สถานีทั่วประเทศไทย พบว่าจำนวนวันที่เกิดพายุฝนฟ้าคะนอง รายปีในช่วงปี พ.ศ. 2540 – 2551 ดังภาพที่ 48 และแบ่งตามภาคต่าง ๆ ดังภาพที่ 49 มีแนวโน้มเพิ่มขึ้นในทุก ๆ ปีและมีแนวโน้มที่จะเพิ่มขึ้นอีกเรื่อย ๆ ในอนาคต

จำนวนวันที่เกิดพายุฝนฟ้าคะนอง รายเดือนเฉลี่ย ทุก ๆ 4 ปี ในช่วงปี พ.ศ. 2540 – 2551 ดังภาพที่ 50 กราฟมีการเปลี่ยนแปลงที่คล้ายคลึงกับปริมาณฝน รายเดือน ดังภาพที่ 40 ปริมาณฝน สูงสุดในรอบ 24 ชม. รายเดือน ดังภาพที่ 41 ซึ่งจากยอดของกราฟทั้งสองยอด ช่วงเดือน มี.ค. – มิ.ย. คือช่วงฤดูร้อน ส่วนในช่วงเดือน ก.ค. – ต.ค. คือช่วงฤดูฝน ทำให้เกิดค่าที่มากในสองช่วงนี้ เนื่องจากพายุฝนฟ้าคะนองมักเกิดขึ้นในช่วงที่อากาศชื้นรวมกับอากาศที่ร้อน สร้างผลทำให้เดือน พฤษภาคม มีจำนวนวันที่เกิดพายุฝนฟ้าคะนองมากที่สุด

จำนวนวันที่เกิดพายุฝนฟ้าคะนอง รายเดือน ทุก ๆ 4 ปี พบว่าในช่วงปี พ.ศ. 2548 – 2551(สีเขียว) มีค่าสูงกว่าในช่วงปี พ.ศ. 2544 – 2547 (สีแดง) และในช่วงปี พ.ศ. 2540 – 2543 (สีฟ้า) อย่างชัดเจน ลักษณะของกราฟมีรูปคล้ายตัวเอ็มในอักษรภาษาอังกฤษ จึงถูกเรียกว่า “M – Curve” (วินัย และ โฉมชัย, 2552)

ตารางที่ 38 Thunderstorm days (Td) - ข้อมูลจากสถานีอุตุนิยมวิทยาทางภาคเหนือ

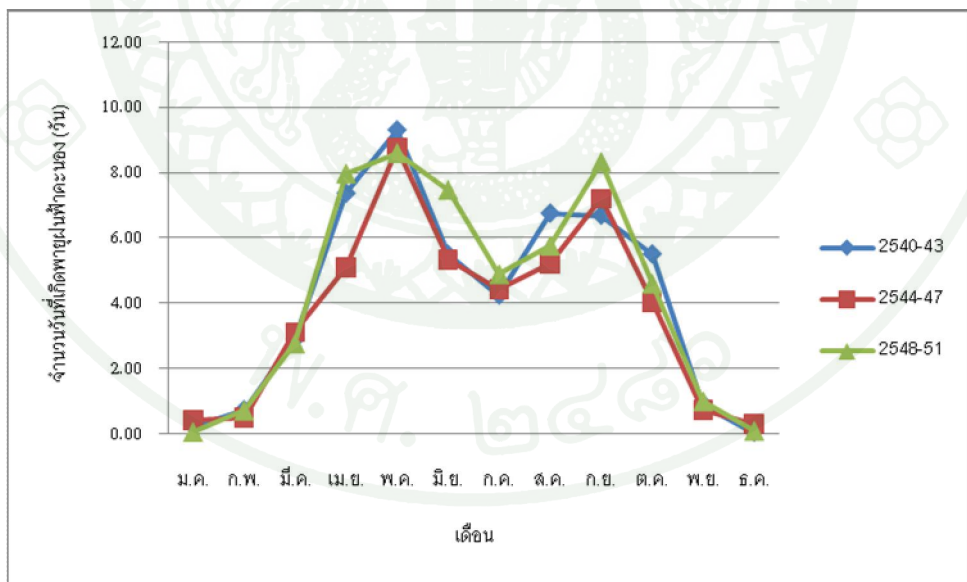
ปี เดือน	2540	2541	2542	2543	เฉลี่ย 2540-43
	Td - ภาคเหนือ				
ม.ค.	0.00	0.25	0.65	0.05	0.24
ก.พ.	0.00	0.25	0.75	1.95	0.74
มี.ค.	4.25	2.80	2.30	2.25	2.90
เม.ย.	8.10	4.60	8.50	8.30	7.38
พ.ค.	6.75	10.70	10.50	9.30	9.31
มิ.ย.	4.80	5.90	4.80	6.50	5.50
ก.ค.	3.20	4.35	4.10	5.35	4.25
ส.ค.	6.85	8.60	4.90	6.70	6.76
ก.ย.	6.05	6.40	8.25	6.10	6.70
ต.ค.	6.15	3.60	6.40	5.90	5.51
พ.ย.	0.85	0.80	2.00	0.00	0.91
ธ.ค.	0.00	0.10	0.00	0.10	0.05

ตารางที่ 39 Thunderstorm days (Td) - ข้อมูลจากสถานีอุตุนิยมวิทยาทางภาคเหนือ

ปี เดือน	2544	2545	2546	2547	เฉลี่ย 2544-47
	Td - ภาคเหนือ				
ม.ค.	0.00	1.15	0.00	0.60	0.44
ก.พ.	0.00	0.70	1.35	0.05	0.53
มี.ค.	3.45	2.25	5.85	0.95	3.13
เม.ย.	3.25	5.10	4.95	7.10	5.10
พ.ค.	8.60	9.40	6.50	10.55	8.76
มิ.ย.	4.65	6.60	4.40	5.70	5.34
ก.ค.	3.85	2.00	6.90	5.00	4.44
ส.ค.	4.70	6.75	4.50	4.90	5.21
ก.ย.	7.00	6.40	8.75	6.70	7.21
ต.ค.	6.40	5.70	2.75	1.35	4.05
พ.ย.	0.80	2.05	0.10	0.10	0.76
ธ.ค.	0.15	1.10	0.00	0.00	0.31

ตารางที่ 40 Thunderstorm days (Td) - ข้อมูลจากสถานีอุตุนิยมวิทยาทางภาคเหนือ

ปี เดือน	2548	2549	2550	2551	เฉลี่ย 2548-51
	Td - ภาคเหนือ				
ม.ค.	0.20	0.05	0.05	0.05	0.09
ก.พ.	0.75	0.75	0.85	0.60	0.74
มี.ค.	3.05	2.95	1.95	3.20	2.79
เม.ย.	6.45	9.95	7.10	8.40	7.98
พ.ค.	8.95	7.75	9.40	8.30	8.60
มิ.ย.	7.35	8.50	8.55	5.50	7.48
ก.ค.	5.80	4.60	4.15	5.05	4.90
ส.ค.	3.95	6.65	6.10	6.40	5.78
ก.ย.	8.85	6.60	7.90	9.95	8.33
ต.ค.	3.85	3.55	3.40	7.65	4.61
พ.ย.	2.00	0.45	0.25	1.40	1.03
ธ.ค.	0.20	0.20	0.05	0.05	0.13



ภาพที่ 51 จำนวนวันที่เกิดพายุฝนฟ้าคะนอง รายเดือนเฉลี่ย ทุก ๆ 4 ปี ภาคเหนือในช่วงปี พ.ศ. 2540 – 2551

ตารางที่ 41 Thunderstorm days (Td) - ข้อมูลจากสถานีอุตุนิยมวิทยาทางภาคกลาง

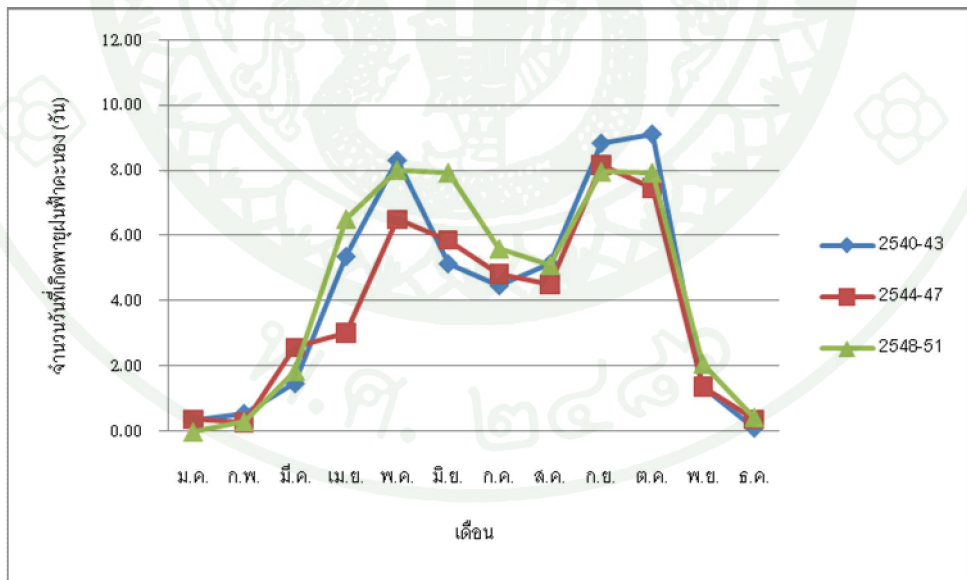
ปี เดือน	2540	2541	2542	2543	เฉลี่ย 2540-43
	Td - ภาคกลาง				
ม.ค.	0.00	0.56	0.67	0.11	0.33
ก.พ.	0.00	0.44	0.44	1.33	0.56
มี.ค.	2.00	0.44	1.78	1.67	1.47
เม.ย.	4.00	1.56	8.11	7.78	5.36
พ.ค.	4.56	9.00	10.22	9.44	8.31
มิ.ย.	2.56	7.44	3.78	6.78	5.14
ก.ค.	1.89	8.00	3.78	4.22	4.47
ส.ค.	3.56	7.11	4.22	5.67	5.14
ก.ย.	10.44	8.67	8.33	7.89	8.83
ต.ค.	10.11	6.67	9.33	10.33	9.11
พ.ย.	1.78	1.33	2.22	0.11	1.36
ธ.ค.	0.11	0.33	0.00	0.00	0.11

ตารางที่ 42 Thunderstorm days (Td) - ข้อมูลจากสถานีอุตุนิยมวิทยาทางภาคกลาง

ปี เดือน	2544	2545	2546	2547	เฉลี่ย 2544-47
	Td - ภาคกลาง				
ม.ค.	0.67	0.33	0.00	0.56	0.39
ก.พ.	0.00	0.11	0.89	0.11	0.28
มี.ค.	4.56	0.56	4.89	0.33	2.58
เม.ย.	2.67	5.11	1.89	2.44	3.03
พ.ค.	7.67	6.56	6.11	5.67	6.50
มิ.ย.	4.67	7.22	5.56	6.00	5.86
ก.ค.	3.33	2.89	6.22	6.89	4.83
ส.ค.	2.00	4.56	6.22	5.33	4.53
ก.ย.	9.67	5.11	9.00	8.89	8.17
ต.ค.	13.22	8.22	6.78	1.56	7.44
พ.ย.	1.56	3.89	0.00	0.11	1.39
ธ.ค.	0.00	1.56	0.00	0.00	0.39

ตารางที่ 43 Thunderstorm days (Td) - ข้อมูลจากสถานีอุตุนิยมวิทยาทางภาคกลาง

ปี เดือน	2548	2549	2550	2551	เฉลี่ย 2548-51
	Td - ภาคกลาง				
ม.ค.	0.00	0.00	0.00	0.00	0.00
ก.พ.	0.11	0.67	0.00	0.44	0.31
มี.ค.	2.22	2.22	1.56	1.44	1.86
เม.ย.	4.78	5.44	7.44	8.44	6.53
พ.ค.	8.67	6.56	10.67	6.22	8.03
มิ.ย.	4.11	8.56	11.11	8.00	7.94
ก.ค.	4.22	3.11	7.78	7.33	5.61
ส.ค.	4.33	3.33	6.00	6.78	5.11
ก.ย.	7.56	10.44	6.22	7.67	7.97
ต.ค.	8.78	7.00	4.22	11.78	7.94
พ.ย.	4.22	0.89	0.33	2.89	2.08
ธ.ค.	1.33	0.11	0.22	0.11	0.44



ภาพที่ 52 จำนวนวันที่เกิดพายุฝนฟ้าคะนอง รายเดือนเฉลี่ย ทุก ๆ 4 ปี ภาคกลางในช่วงปี พ.ศ. 2540 – 2551

ตารางที่ 44 Thunderstorm days (Td) - ข้อมูลจากสถานีอุตุนิยมวิทยาทางภาคตะวันออกเฉียงเหนือ

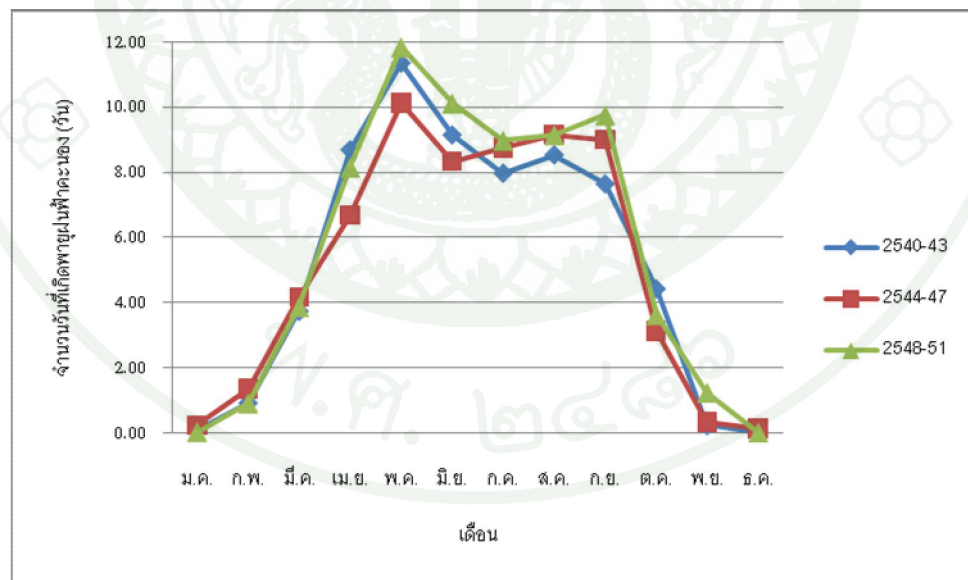
ปี เดือน	2540	2541	2542	2543	เฉลี่ย 2540-43
	Td - ภาคตะวันออกเฉียงเหนือ				
ม.ค.	0.06	0.00	0.06	0.31	0.11
ก.พ.	0.25	0.88	0.19	2.44	0.94
มี.ค.	6.38	3.19	4.13	1.31	3.75
เม.ย.	9.06	4.81	11.06	9.88	8.70
พ.ค.	8.94	11.06	12.69	12.75	11.36
มิ.ย.	8.06	9.94	8.94	9.69	9.16
ก.ค.	6.94	8.00	9.13	7.88	7.98
ส.ค.	9.13	10.25	6.31	8.50	8.55
ก.ย.	6.56	5.63	10.81	7.63	7.66
ต.ค.	5.50	3.50	4.63	4.13	4.44
พ.ย.	0.13	0.13	0.75	0.00	0.25
ธ.ค.	0.00	0.13	0.00	0.00	0.03

ตารางที่ 45 Thunderstorm days (Td) - ข้อมูลจากสถานีอุตุนิยมวิทยาทางภาคตะวันออกเฉียงเหนือ

ปี เดือน	2544	2545	2546	2547	เฉลี่ย 2544-47
	Td - ภาคตะวันออกเฉียงเหนือ				
ม.ค.	0.13	0.06	0.00	0.81	0.25
ก.พ.	0.75	0.56	3.25	0.88	1.36
มี.ค.	4.63	4.75	5.13	2.19	4.17
เม.ย.	5.63	6.31	6.63	8.19	6.69
พ.ค.	10.44	11.81	7.63	10.69	10.14
มิ.ย.	9.75	10.69	7.56	5.38	8.34
ก.ค.	7.63	5.94	9.94	11.50	8.75
ส.ค.	8.94	9.81	9.38	8.56	9.17
ก.ย.	8.88	9.00	11.25	6.94	9.02
ต.ค.	5.13	5.25	2.06	0.06	3.13
พ.ย.	0.38	1.00	0.00	0.00	0.34
ธ.ค.	0.00	0.56	0.00	0.00	0.14

ตารางที่ 46 Thunderstorm days (Td) - ข้อมูลจากสถานีอุตุนิยมวิทยาทางภาคตะวันออกเฉียงเหนือ

ปี	2548	2549	2550	2551	เฉลี่ย
เดือน	Td - ภาคตะวันออกเฉียงเหนือ				2548-51
ม.ค.	0.00	0.19	0.00	0.06	0.06
ก.พ.	0.50	1.25	1.94	0.06	0.94
มี.ค.	2.56	4.81	3.38	4.81	3.89
เม.ย.	7.75	9.56	6.69	8.63	8.16
พ.ค.	13.13	10.50	10.13	13.63	11.84
มิ.ย.	8.25	9.31	12.31	10.63	10.13
ก.ค.	10.38	7.69	8.94	8.94	8.98
ส.ค.	8.38	9.88	9.88	8.50	9.16
ก.ย.	11.00	6.19	11.56	10.31	9.77
ต.ค.	2.00	3.75	3.75	5.06	3.64
พ.ย.	2.25	1.06	0.50	1.25	1.27
ธ.ค.	0.00	0.06	0.06	0.06	0.05



ภาพที่ 53 จำนวนวันที่เกิดพายุฝนฟ้าคะนอง รายเดือนเฉลี่ย ทุก ๆ 4 ปี ภาคตะวันออกเฉียงเหนือ ในช่วงปี พ.ศ. 2540 – 2551

ตารางที่ 47 Thunderstorm days (Td) - ข้อมูลจากสถานีอุตุนิยมวิทยาทางภาคตะวันออก

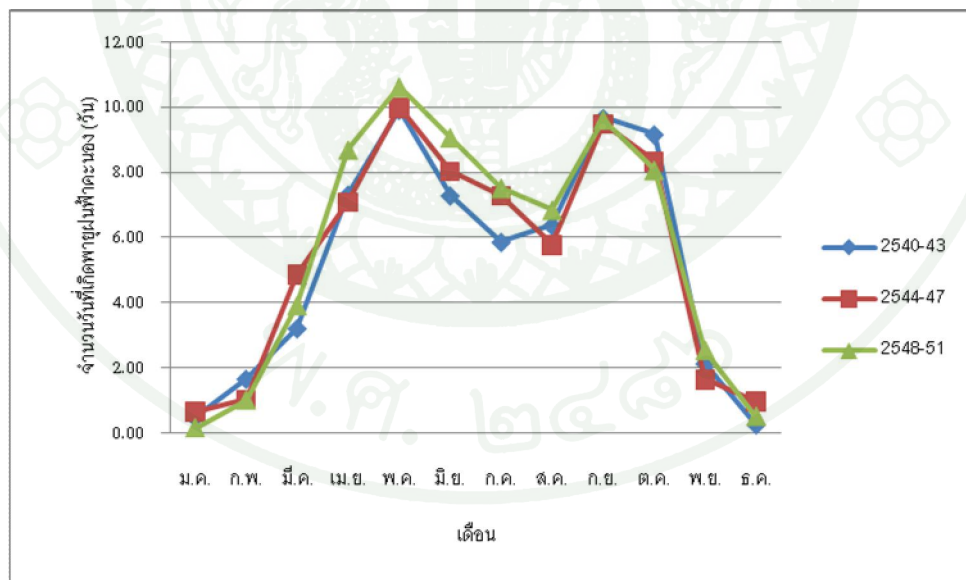
ปี เดือน	2540	2541	2542	2543	เฉลี่ย 2540-43
	Td - ภาคตะวันออก				
ม.ค.	0.00	0.40	0.50	1.10	0.50
ก.พ.	1.00	1.00	1.50	3.20	1.68
มี.ค.	3.30	1.30	3.80	4.50	3.23
เม.ย.	6.60	3.20	10.60	8.90	7.33
พ.ค.	7.90	10.70	12.40	8.70	9.93
มิ.ย.	5.40	8.40	6.50	8.90	7.30
ก.ค.	3.00	8.80	4.50	7.20	5.88
ส.ค.	4.80	8.60	5.70	6.40	6.38
ก.ย.	8.60	8.30	11.60	10.20	9.68
ต.ค.	11.90	6.20	8.60	10.00	9.18
พ.ย.	2.40	1.80	4.20	0.20	2.15
ธ.ค.	0.00	0.70	0.10	0.30	0.28

ตารางที่ 48 Thunderstorm days (Td) - ข้อมูลจากสถานีอุตุนิยมวิทยาทางภาคตะวันออก

ปี เดือน	2544	2545	2546	2547	เฉลี่ย 2544-47
	Td - ภาคตะวันออก				
ม.ค.	0.90	0.80	0.00	1.00	0.68
ก.พ.	0.50	0.60	2.60	0.50	1.05
มี.ค.	7.10	3.10	7.80	1.50	4.88
เม.ย.	8.00	9.00	5.60	5.80	7.10
พ.ค.	9.40	12.30	9.30	9.00	10.00
มิ.ย.	7.50	8.40	8.90	7.40	8.05
ก.ค.	4.50	6.70	8.20	9.80	7.30
ส.ค.	6.30	5.10	6.30	5.50	5.80
ก.ย.	10.70	7.10	10.50	9.70	9.50
ต.ค.	13.50	7.60	7.40	4.90	8.35
พ.ย.	2.00	4.10	0.00	0.60	1.68
ธ.ค.	0.30	3.70	0.00	0.00	1.00

ตารางที่ 49 Thunderstorm days (Td) - ข้อมูลจากสถานีอุตุนิยมวิทยาทางภาคตะวันออก

ปี	2548	2549	2550	2551	เฉลี่ย
เดือน	Td - ภาคตะวันออก				2548-51
ม.ค.	0.00	0.10	0.50	0.10	0.18
ก.พ.	0.00	2.20	0.90	1.00	1.03
มี.ค.	4.30	5.70	2.70	3.00	3.93
เม.ย.	6.70	7.50	8.90	11.70	8.70
พ.ค.	10.50	10.20	12.10	9.70	10.63
มิ.ย.	7.70	9.80	11.20	7.60	9.08
ก.ค.	6.80	8.00	8.30	7.00	7.53
ส.ค.	6.10	5.60	7.30	8.40	6.85
ก.ย.	11.90	9.70	9.50	7.40	9.63
ต.ค.	9.60	8.40	6.00	8.30	8.08
พ.ย.	5.10	2.10	1.00	2.00	2.55
ธ.ค.	1.90	0.20	0.00	0.00	0.53



ภาพที่ 54 จำนวนวันที่เกิดพายุฝนฟ้าคะนอง รายเดือนเฉลี่ย ทุก ๆ 4 ปี ภาคตะวันออก
ในช่วงปี พ.ศ. 2540 – 2551

ตารางที่ 50 Thunderstorm days (Td) - ข้อมูลจากสถานีอุตุนิยมวิทยาทางภาคใต้

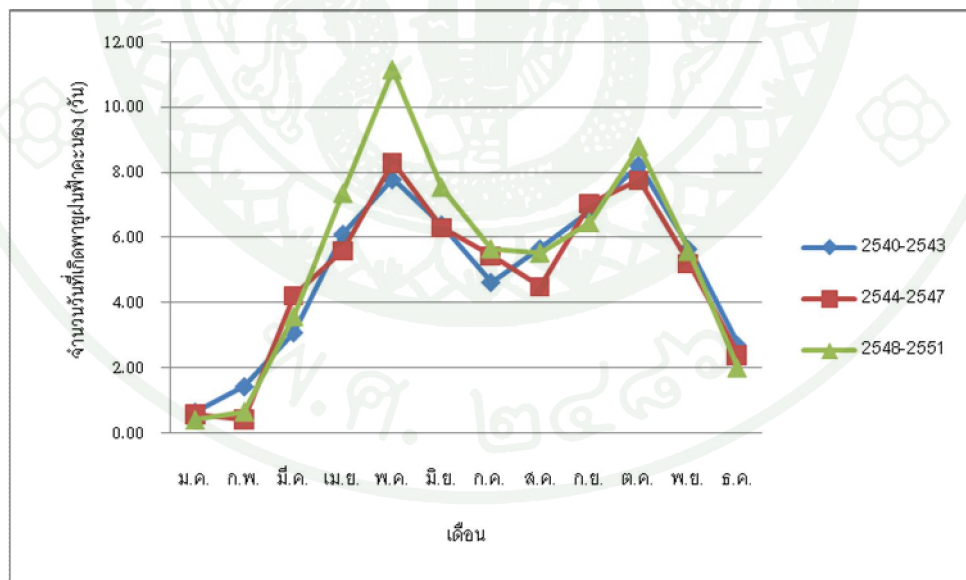
ปี เดือน	2540	2541	2542	2543	เฉลี่ย 2540-43
	Td - ภาคใต้				
ม.ค.	0.00	0.31	1.31	1.00	0.66
ก.พ.	1.81	0.13	2.06	1.75	1.44
มี.ค.	1.56	0.69	5.31	4.81	3.09
เม.ย.	7.00	1.40	6.50	9.56	6.12
พ.ค.	6.38	7.19	8.88	8.75	7.80
มิ.ย.	7.00	7.31	4.88	6.44	6.41
ก.ค.	4.25	6.69	3.88	3.75	4.64
ส.ค.	5.69	8.94	4.44	3.63	5.67
ก.ย.	8.56	5.94	6.81	5.94	6.81
ต.ค.	13.19	6.88	7.19	5.69	8.23
พ.ย.	6.56	5.47	5.63	5.00	5.66
ธ.ค.	3.56	3.06	1.44	2.81	2.72

ตารางที่ 51 Thunderstorm days (Td) - ข้อมูลจากสถานีอุตุนิยมวิทยาทางภาคใต้

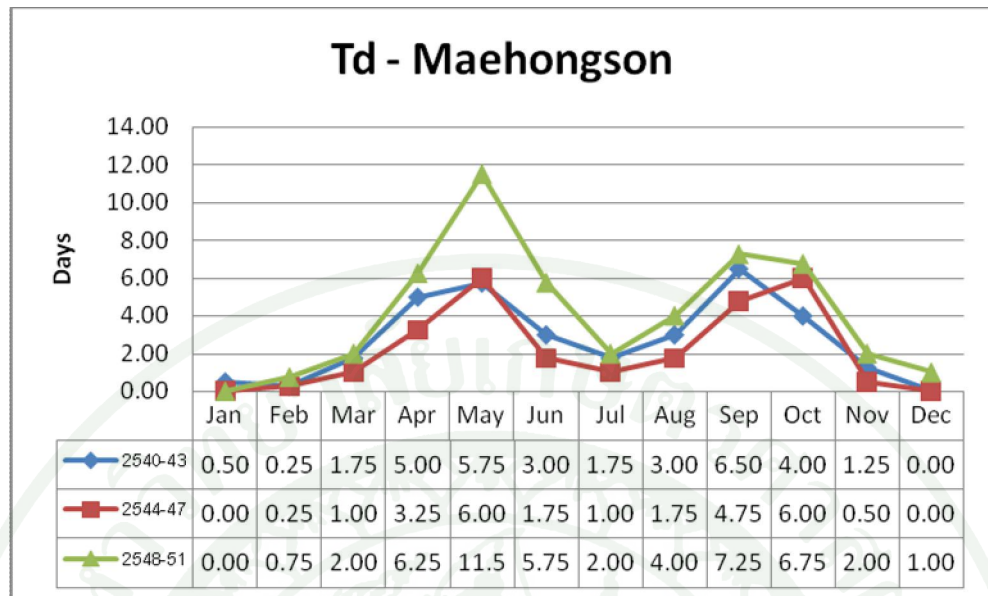
ปี เดือน	2544	2545	2546	2547	เฉลี่ย 2544-47
	Td - ภาคใต้				
ม.ค.	1.88	0.00	0.44	0.06	0.59
ก.พ.	0.63	0.00	0.13	1.00	0.44
มี.ค.	8.13	2.69	4.69	1.44	4.23
เม.ย.	5.94	7.00	3.75	5.75	5.61
พ.ค.	10.25	7.13	7.69	8.19	8.31
มิ.ย.	5.25	7.69	6.81	5.56	6.33
ก.ค.	6.00	4.00	6.13	5.69	5.45
ส.ค.	3.31	5.75	3.81	5.19	4.52
ก.ย.	7.25	4.81	4.63	11.56	7.06
ต.ค.	9.44	8.19	6.38	7.13	7.78
พ.ย.	3.13	7.94	5.00	4.81	5.22
ธ.ค.	3.31	4.19	0.93	1.25	2.42

ตารางที่ 52 Thunderstorm days (Td) - ข้อมูลจากสถานีอุตุนิยมวิทยาทางภาคใต้

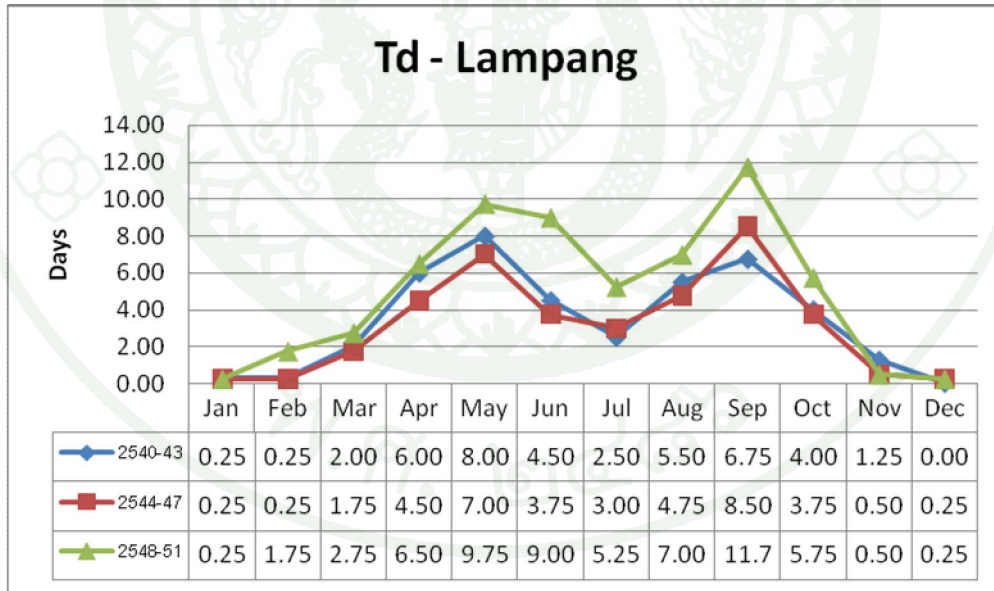
ปี	2548	2549	2550	2551	เฉลี่ย
เดือน	Td - ภาคใต้				2548-51
ม.ค.	0.00	0.38	0.19	1.13	0.42
ก.พ.	0.25	0.81	0.31	1.31	0.67
มี.ค.	2.19	4.44	3.94	3.81	3.59
เม.ย.	3.13	8.75	8.81	8.81	7.38
พ.ค.	10.13	11.31	13.38	9.88	11.17
มิ.ย.	6.38	7.69	7.81	8.38	7.56
ก.ค.	5.19	4.50	7.25	5.75	5.67
ส.ค.	6.56	4.56	4.19	6.88	5.55
ก.ย.	6.50	8.13	6.25	5.06	6.48
ต.ค.	11.31	7.13	8.13	8.69	8.81
พ.ย.	6.56	7.00	4.56	4.25	5.59
ธ.ค.	3.06	2.75	1.31	0.94	2.02



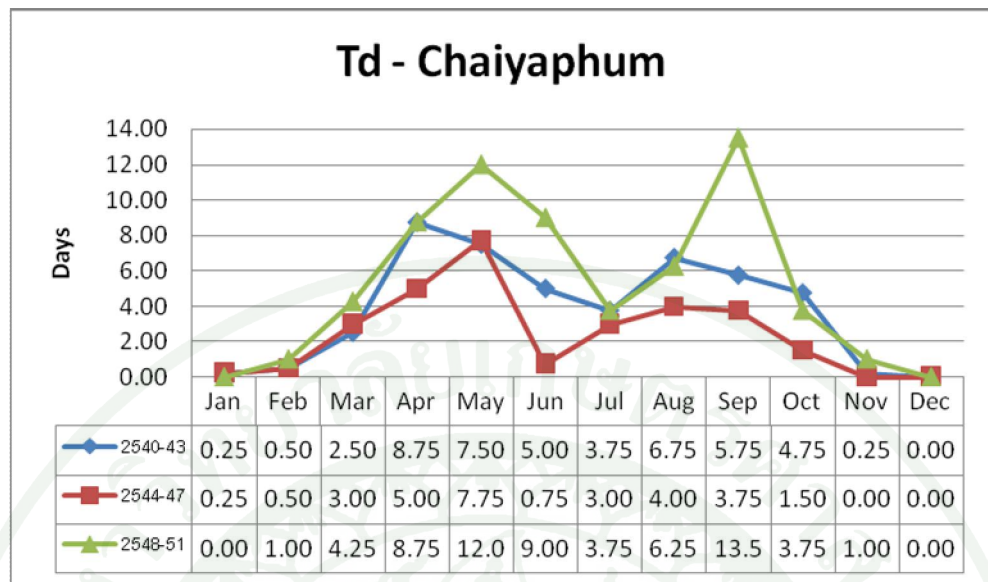
ภาพที่ 55 จำนวนวันที่เกิดพายุฝนฟ้าคะนอง รายเดือนเฉลี่ย ทุก ๆ 4 ปี ภาคใต้ ในช่วงปี พ.ศ. 2540 – 2551



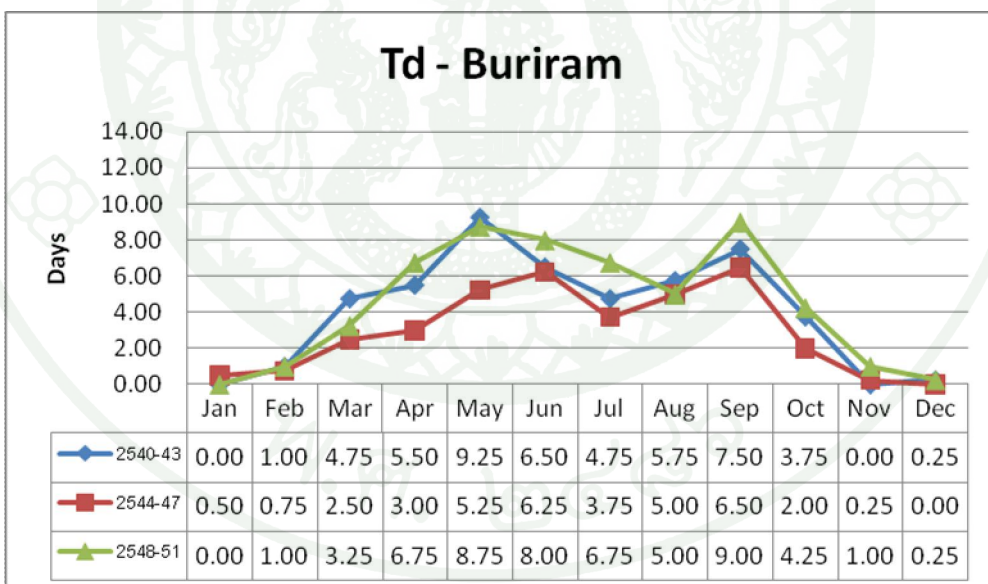
ภาพที่ 56 จำนวนวันที่เกิดพายุฝนฟ้าคะนอง รายเดือนเฉลี่ย ทุก ๆ 4 ปี ณ สถานีอุตุนิยมวิทยา
ที่ตั้งอยู่ทางภาคเหนือ ในช่วงปี พ.ศ. 2540 – 2551



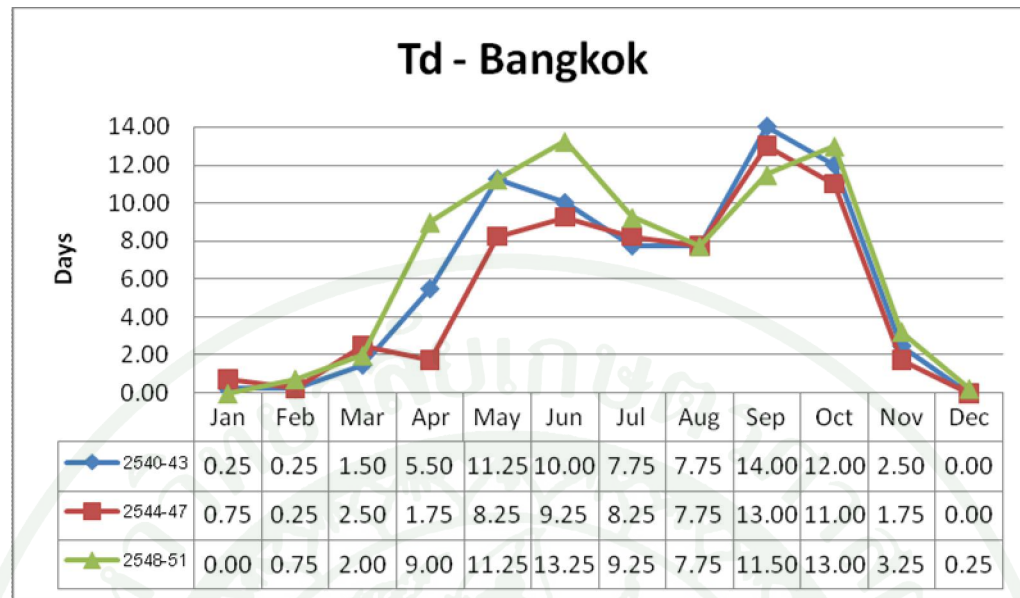
ภาพที่ 57 จำนวนวันที่เกิดพายุฝนฟ้าคะนอง รายเดือนเฉลี่ย ทุก ๆ 4 ปี ณ สถานีอุตุนิยมวิทยา
ที่ตั้งอยู่ทางภาคเหนือ ในช่วงปี พ.ศ. 2540 – 2551



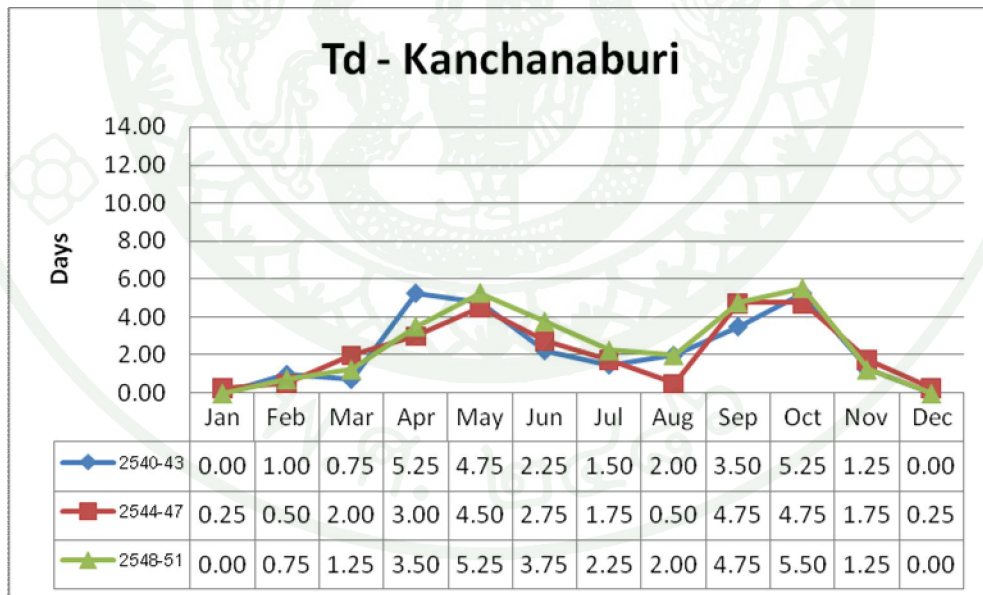
ภาพที่ 58 จำนวนวันที่เกิดพายุฝนฟ้าคะนอง รายเดือนเฉลี่ย ทุก ๆ 4 ปี ณ สถานีอุตุนิยมวิทยา
ที่ตั้งอยู่ทางภาคตะวันออกเฉียงเหนือ ในช่วงปี พ.ศ. 2540 – 2551



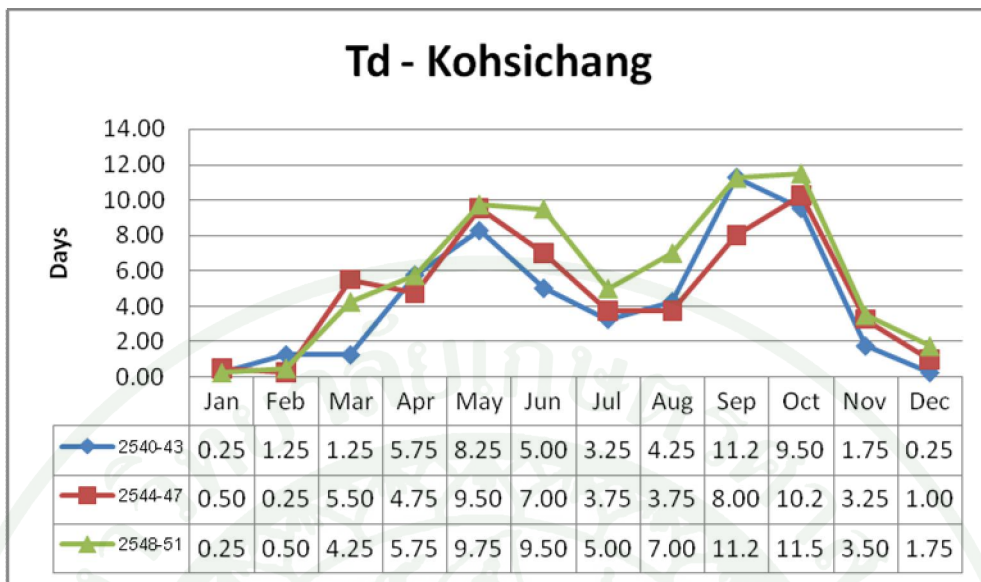
ภาพที่ 59 จำนวนวันที่เกิดพายุฝนฟ้าคะนอง รายเดือนเฉลี่ย ทุก ๆ 4 ปี ณ สถานีอุตุนิยมวิทยา
ที่ตั้งอยู่ทางภาคตะวันออกเฉียงเหนือ ในช่วงปี พ.ศ. 2540 – 2551



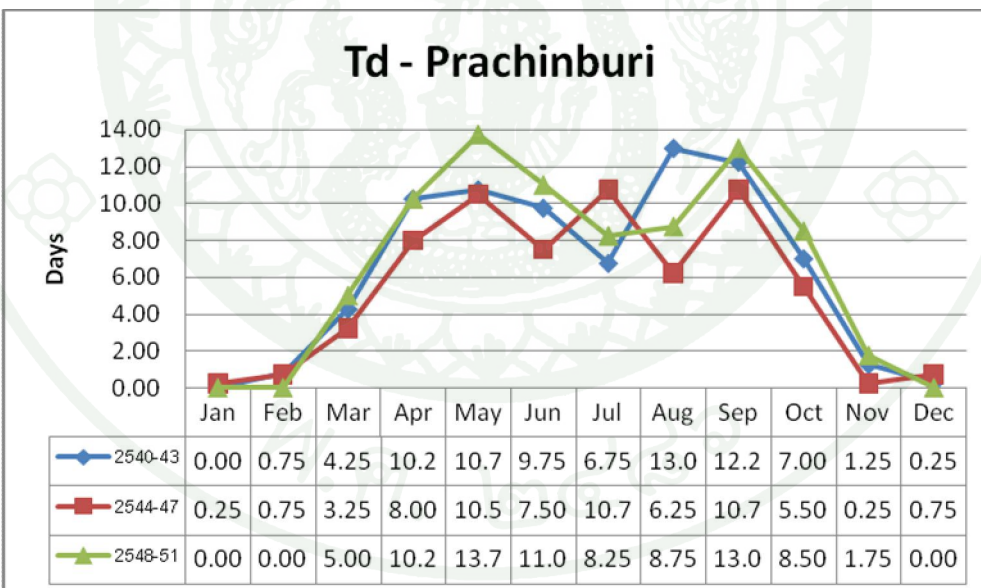
ภาพที่ 60 จำนวนวันที่เกิดพายุฝนฟ้าคะนอง รายเดือนเฉลี่ย ทุก ๆ 4 ปี ณ สถานีอุตุนิยมวิทยา
ที่ตั้งอยู่ทางภาคกลาง ในช่วงปี พ.ศ. 2540 – 2551



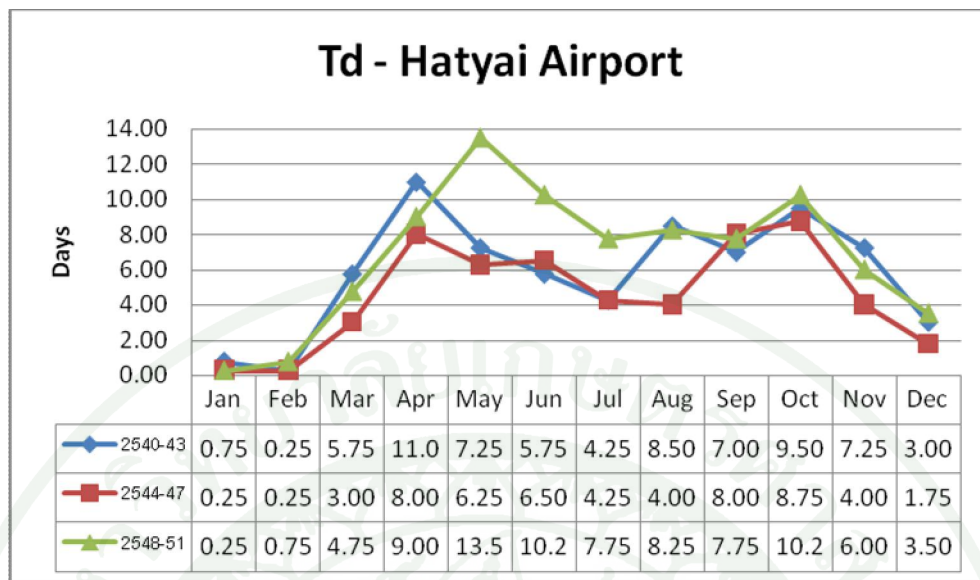
ภาพที่ 61 จำนวนวันที่เกิดพายุฝนฟ้าคะนอง รายเดือนเฉลี่ย ทุก ๆ 4 ปี ณ สถานีอุตุนิยมวิทยา
ที่ตั้งอยู่ทางภาคกลาง ในช่วงปี พ.ศ. 2540 – 2551



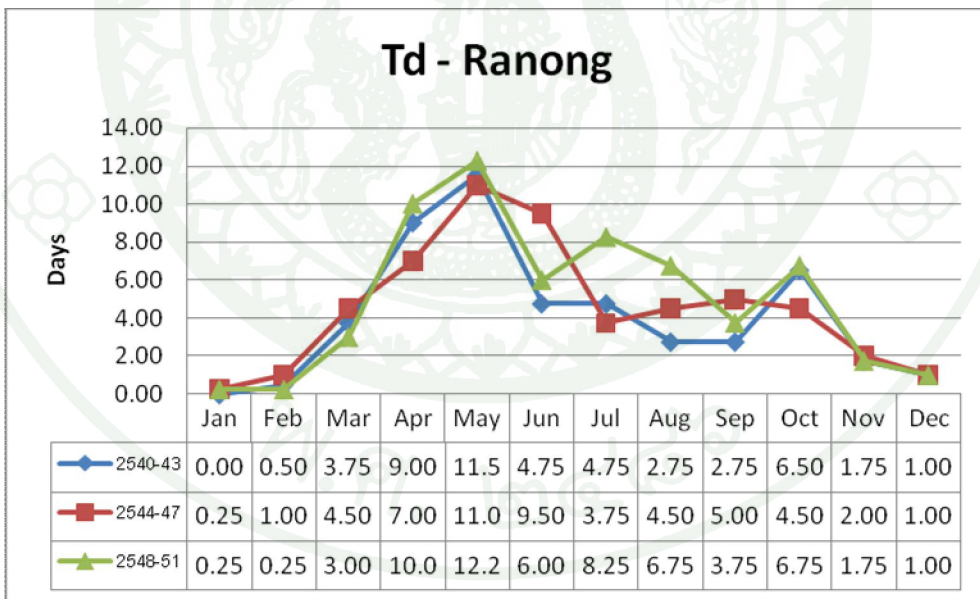
ภาพที่ 62 จำนวนวันที่เกิดพายุฝนฟ้าคะนอง รายเดือนเฉลี่ย ทุก ๆ 4 ปี ณ สถานีอุตุนิยมวิทยา
ที่ตั้งอยู่ทางภาคตะวันออก ในช่วงปี พ.ศ. 2540 – 2551



ภาพที่ 63 จำนวนวันที่เกิดพายุฝนฟ้าคะนอง รายเดือนเฉลี่ย ทุก ๆ 4 ปี ณ สถานีอุตุนิยมวิทยา
ที่ตั้งอยู่ทางภาคตะวันออก ในช่วงปี พ.ศ. 2540 – 2551



ภาพที่ 64 จำนวนวันที่เกิดพายุฝนฟ้าคะนอง รายเดือนเฉลี่ย ทุก ๆ 4 ปี ณ สถานีอุตุนิยมวิทยาที่ตั้งอยู่ท่างภาคใต้ ในช่วงปี พ.ศ. 2540 – 2551



ภาพที่ 65 จำนวนวันที่เกิดพายุฝนฟ้าคะนอง รายเดือนเฉลี่ย ทุก ๆ 4 ปี ณ สถานีอุตุนิยมวิทยาที่ตั้งอยู่ท่างภาคใต้ ในช่วงปี พ.ศ. 2540 – 2551

จำนวนวันที่เกิดพายุฝนฟ้าคะนอง รายเดือนเฉลี่ย ทุก ๆ 4 ปี ของทุกภาคในประเทศไทย พบว่า ในช่วงปี พ.ศ. 2548 – 2551 (สีเขียว) มีค่าสูงกว่าในช่วงปี พ.ศ. 2544 – 2547 (สีแดง) และในช่วงปี พ.ศ. 2540 – 2543 (สีฟ้า) เมื่อคัดเลือกจากสถานีอุตุนิยมวิทยา จำกัดจำนวน 71 สถานี ในภาคต่าง ๆ จำนวน 2 สถานี พบว่ามีค่าสูงกว่าเดิมในช่วงปี ก่อน ๆ เช่นกัน ดังภาพที่ 36 – ภาพที่ 45

ตารางที่ 53 ค่า Td ของประเทศไทยกับอุณหภูมิเฉลี่ยโลกในช่วงปี พ.ศ. 2540 – 2551

พ.ศ.	อุณหภูมิเฉลี่ยโลก (°C)	Td - เฉลี่ยประเทศไทย (วัน)
2540	14.36	54.75
2541	14.52	53.38
2542	14.26	60.21
2543	14.24	59.52
2544	14.40	56.96
2545	14.46	57.61
2546	14.46	53.90
2547	14.43	50.25
2548	14.48	59.61
2549	14.42	60.34
2550	14.40	62.06
2551	14.31	63.90

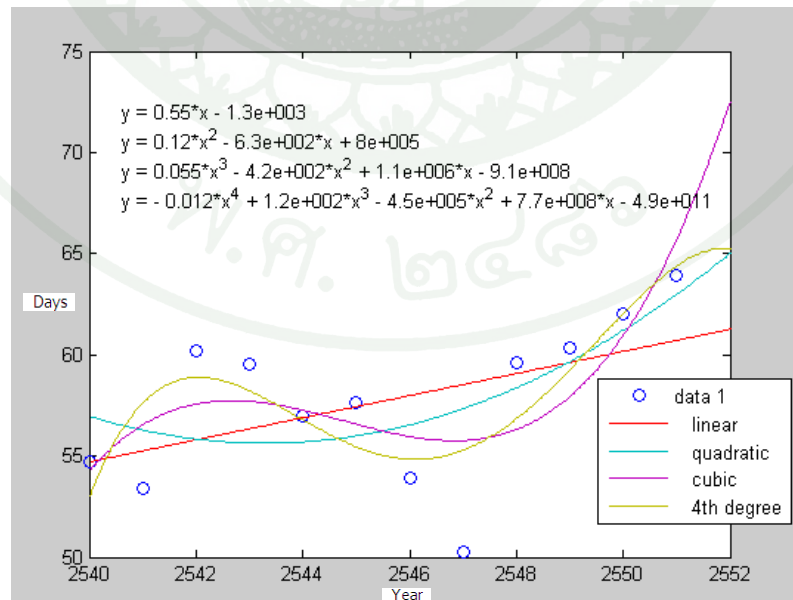
ตารางที่ 54 ช่วงปี พ.ศ. 2540 – 2551 ที่อุณหภูมิเฉลี่ยโลกมีการเพิ่มขึ้นส่งผลกระทบต่อจำนวนวันที่เกิดพายุฝนฟ้าคะนอง (Thunderstorm days – Td) ของประเทศไทย

พ.ศ.	อุณหภูมิเฉลี่ยโลก		Td เฉลี่ยประเทศไทย	
	ผลต่าง (°C)	%	ผลต่าง (วัน)	%
2540-41	0.16	1.11	-1.36	-2.48
2543-44	0.16	1.12	-2.56	-4.30
2544-45	0.06	0.42	0.65	1.14
2547-48	0.05	0.35	9.35	18.61
ค่าเฉลี่ย	0.11	0.75	1.52	3.24

จากการวิเคราะห์จำนวนวันที่เกิดพายุฝนฟ้าคะนอง (**Thunderstorm days - Td**) ของประเทศไทยกับอุณหภูมิเฉลี่ยโลก ในช่วงปี พ.ศ. 2540 – 2551 เรียงตามลำดับปี ดังตารางที่ 53 โดยสังเกตการผันแปรของทั้งสองตัวแปรค่า โดยวิเคราะห์การเพิ่มของอุณหภูมิเฉลี่ยของโลกเป็นลักษณะผลต่าง ปีต่อปี แล้วเฉลี่ยอุณหภูมิเป็นค่าเบอร์เซ็นต์ (%) ซึ่งมีอยู่ทั้งหมด 4 ช่วง ที่มีอุณหภูมิเพิ่มขึ้น จึงนำมาหาความสัมพันธ์ของผลกระทบต่อจำนวนวันที่เกิดพายุฝนฟ้าคะนองในประเทศไทย

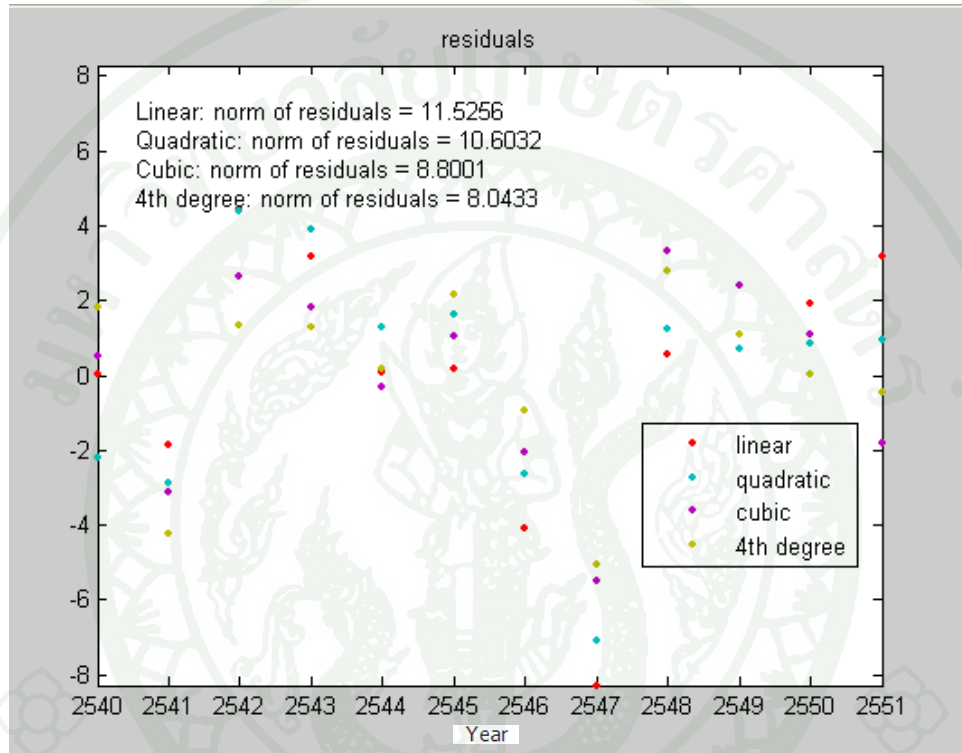
เมื่อนำมาหาค่าเฉลี่ย พบว่าทุก ๆ ครั้งที่อุณหภูมิเฉลี่ยของโลกเพิ่มขึ้นทุก ๆ 0.75 % ทำให้มีจำนวนวันที่เกิดพายุฝนฟ้าคะนองเพิ่มขึ้นในประเทศไทยทุก ๆ 3.24 % หรือทุก ๆ ครั้งที่อุณหภูมิเฉลี่ยของโลกสูงขึ้น ทุก ๆ 1% ส่งผลให้มีจำนวนฟ้าผ่าในประเทศไทยเพิ่มมากขึ้น 4 % ดังตารางที่ 54 ตามทฤษฎีความสัมพันธ์ระหว่างฟ้าผ่ากับอุณหภูมิ (Price, 2009)

เมื่อทดลองนำข้อมูลของจำนวนวันที่เกิดพายุฝนฟ้าคะนอง (**Thunderstorm days - Td**) ของประเทศไทย ดังตารางที่ 53 มาทดลองหาแนวโน้มการเปลี่ยนแปลงในอนาคตโดยการสร้างฟังก์ชันอย่างประมาณ โดยใช้วิธีการฟิตเส้นโค้ง (**Curve Fitting**) ด้วยโปรแกรม **MATLAB** โดยการฟิตจุดต่าง ๆ ของข้อมูลให้ใกล้เคียงเป็นเส้นตรง (**Linear**) และเป็นเส้นโค้งแทนด้วยสมการของ多项式 ในเมียก้อนดับ 1 โดยวิธีการเพิ่มอันดับ多项式 ในเมียก้อนดับ 1 ให้สูงขึ้นเพื่อการประมาณค่าให้ถูกต้องมากยิ่งขึ้น ดังภาพที่ 66



ภาพที่ 66 การเพิ่มอันดับ多项式 ให้อันดับสูงขึ้นเพื่อการประมาณค่าที่ถูกต้องมากขึ้น

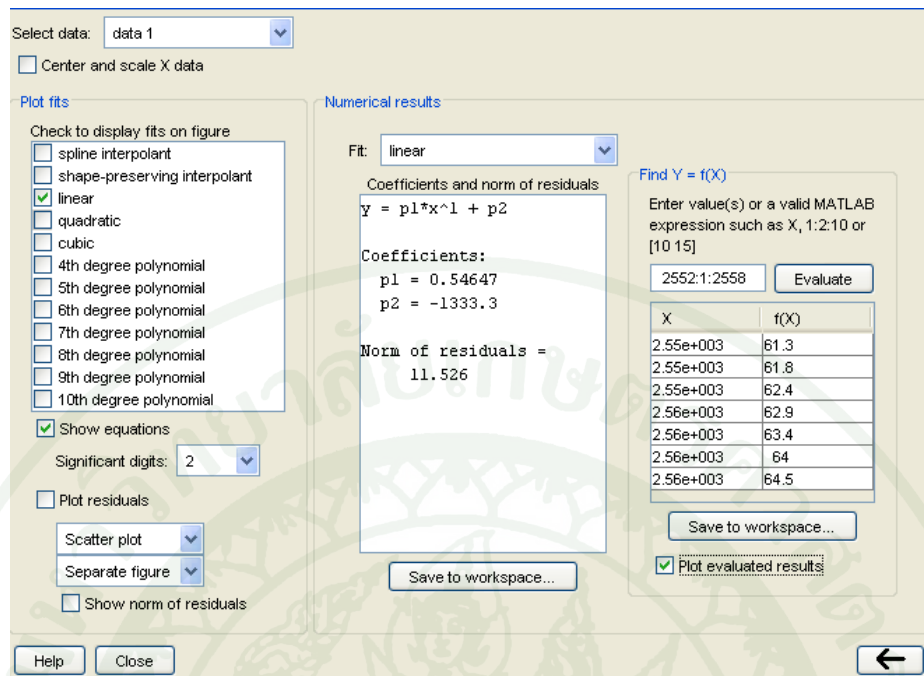
เส้นกราฟที่ได้จะแก่วงไปมาในระหว่างชุดต่าง ๆ ซึ่งอาจเกิดข้อผิดพลาดในการฟิตข้อมูลด้วยเส้นโค้ง จึงต้องใช้วิธีที่เรียกว่า **Norm of Residuals** คือการหาค่าน้อยที่สุดของผลรวมความคลาดเคลื่อนยกกำลังสอง เลือกสมการในการฟิตข้อมูลด้วยเพื่อให้ความเชื่อมั่นว่าใกล้เคียงหรือถูกต้อง ซึ่งเป็นหลักเกณฑ์ที่นิยมใช้กัน



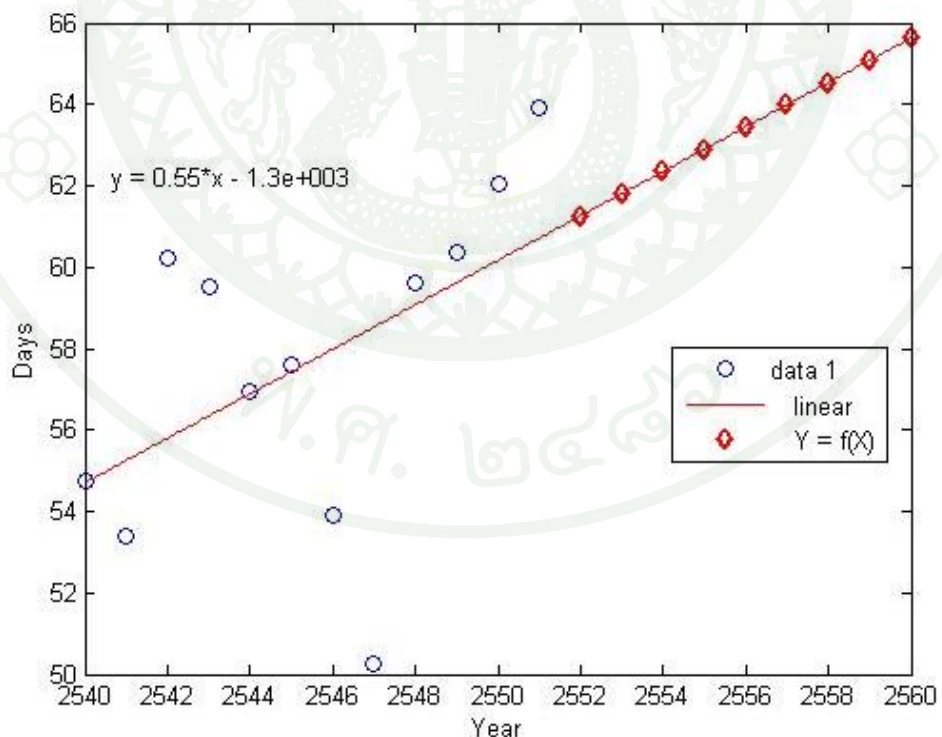
ภาพที่ 67 การหาค่าน้อยที่สุดของผลรวมความคลาดเคลื่อนยกกำลังสอง (Norm of Residuals)

จากการหาความคลาดเคลื่อนโดยการเพิ่มอันดับโพลิโนเมียลอันดับ n ให้มากขึ้น ทำให้พบว่า มีความถูกต้องเพิ่มขึ้น ลังเกต ได้จาก **Norm of Residuals** ที่มีค่าลดลงเรื่อยๆ หลังจากที่ทดลองเพิ่มอันดับ n ให้มากขึ้น ดังภาพที่ 67 แต่การเพิ่มอันดับอันดับ n ให้สูงขึ้น ก็ใช้ว่าจะถูกต้องจริง เพราะว่า อันดับ $n = 4$ ค่า **Norm of Residuals** น้อยที่สุดแต่มีอนาคตคะแนนในอนาคตจะพบว่าเพิ่มค่า X มากขึ้นจะทำให้ได้ค่า y ที่ติดลบ หมายถึงได้ค่าข้อมูลที่ลดลงเรื่อยๆ จนถึงค่าข้อมูลติดลบซึ่งถือว่าไม่ตรงตามหลักความเป็นจริง

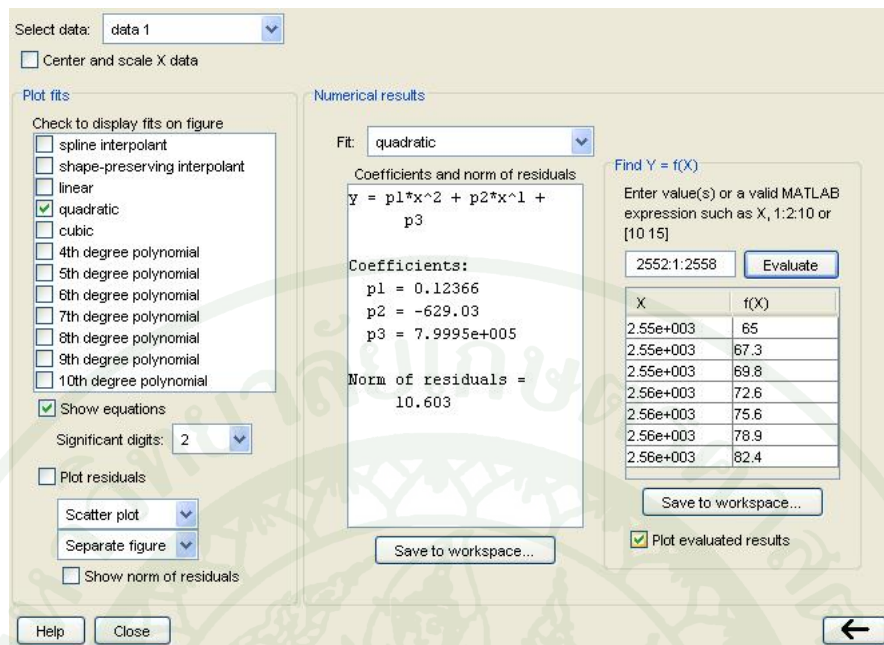
จึงได้เลือกการเพิ่มอันดับโพลิโนเมียลไม่เกินอันดับ $n = 3$ ในการสร้างสร้างฟังก์ชันอย่างประมาณเพื่อที่จะคาดคะเนเหตุการณ์ในอนาคต



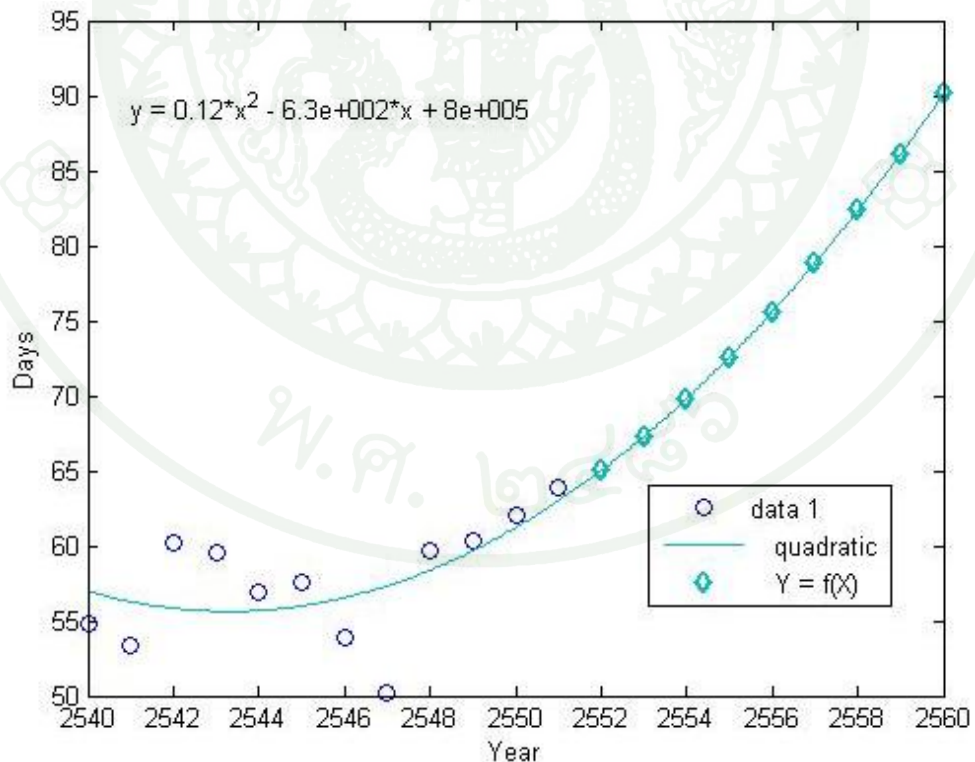
ภาพที่ 68 เลือกฟิตจุดต่าง ๆ ของข้อมูลและคาดคะเนค่าด้วยวิธีการเลือกใช้ฟังก์ชัน Linear



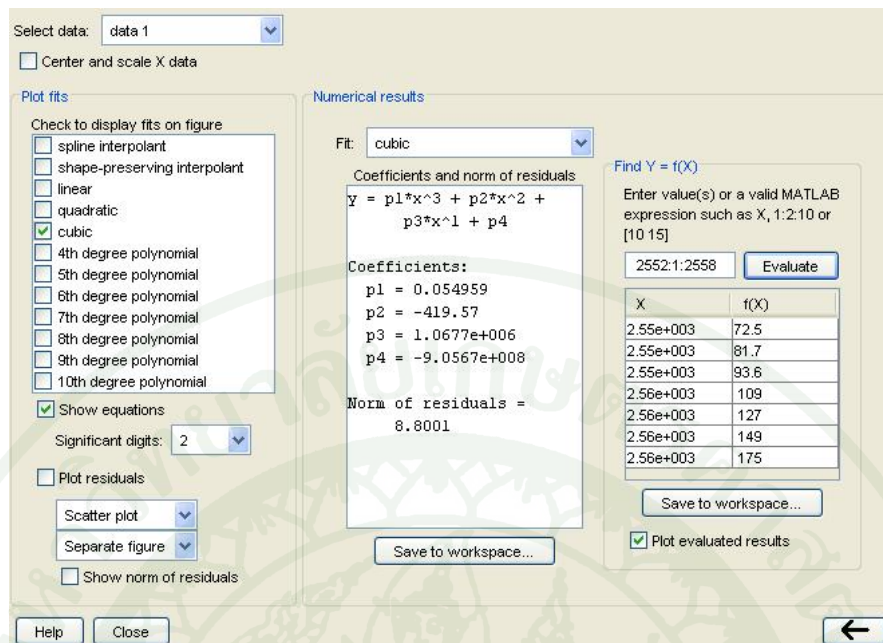
ภาพที่ 69 รูปแบบจำลองแสดงแนวโน้มการเปลี่ยนแปลง Thunderstorm days ในอนาคตของประเทศไทยด้วยวิธีการเลือกใช้ฟังก์ชัน Linear โดยการคาดคะเนไว้ถึง พ.ศ. 2560



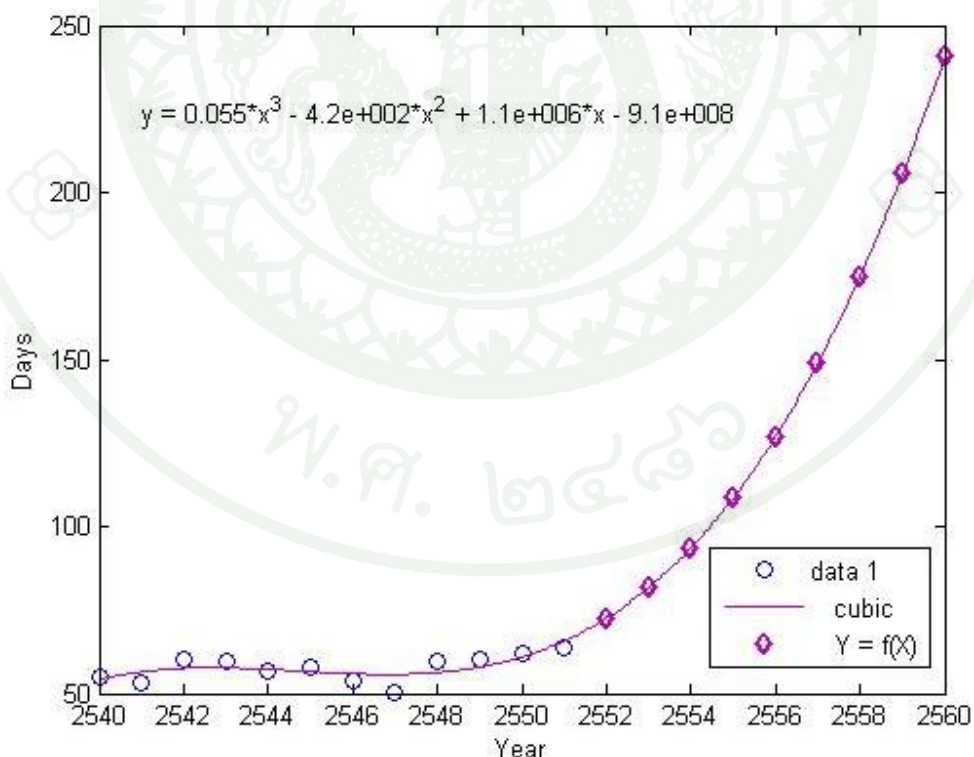
ภาพที่ 70 เลือกฟิตขุดต่าง ๆ ของข้อมูลและการคาดคะเนค่าด้วยวิธีการเลือกใช้ฟังก์ชัน Quadratic



ภาพที่ 71 รูปแบบจำลองแสดงแนวโน้มการเปลี่ยนแปลง Thunderstorm days ในอนาคตของประเทศไทยด้วยวิธีการเลือกใช้ฟังก์ชัน Quadratic โดยการคาดคะเนไว้ถึง พ.ศ. 2560



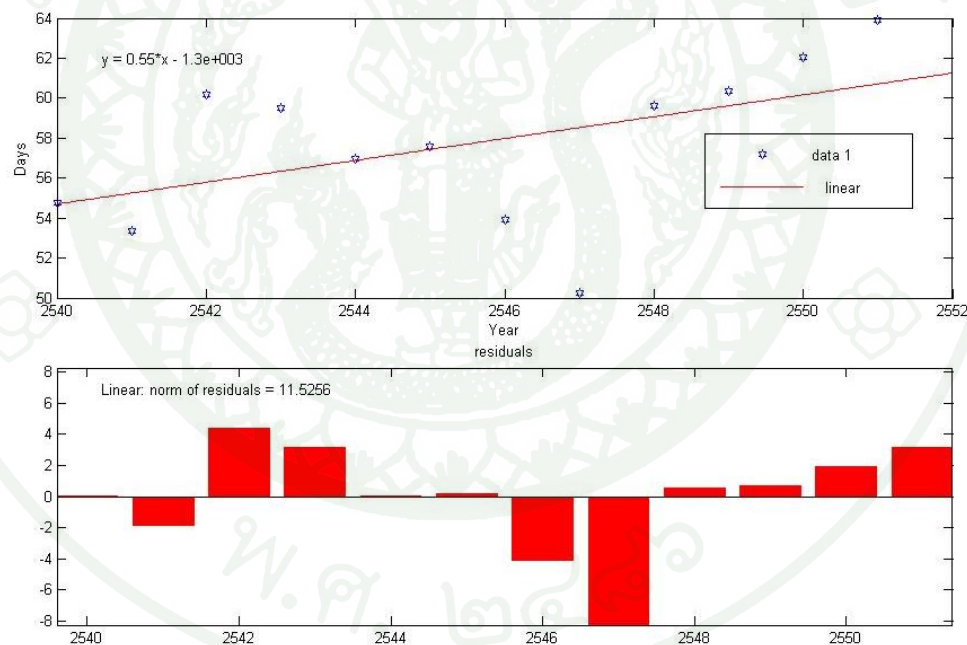
ภาพที่ 72 เลือกฟิตตุณต่าง ๆ ของข้อมูลและคาดคะเนค่าด้วยวิธีการเลือกใช้ฟังก์ชัน Cubic



ภาพที่ 73 รูปแบบจำลองแสดงแนวโน้มการเปลี่ยนแปลง Thunderstorm days ในอนาคตของประเทศไทยด้วยวิธีการเลือกใช้ฟังก์ชัน Cubic โดยการคาดคะเนไว้ถึง พ.ศ. 2560

จากการรูปแบบจำลองประเภทต่าง ๆ การเลือกใช้วิธีการฟิตเส้นโค้ง (Curve Fitting) ด้วยโปรแกรม MATLAB ซึ่งเป็นเครื่องมือที่ช่วยการในพิจารณา จำนวนวันที่เกิดพายุฝนฟ้าคะนอง ในอนาคตของประเทศไทย เลือกฟังก์ชัน Linear ดังภาพที่ 69 เลือกฟังก์ชัน Quadratic ดังภาพที่ 71 และเลือกฟังก์ชัน Cubic ดังภาพที่ 73 แสดงให้เห็นแนวโน้มการเปลี่ยนแปลงจำนวนวันที่เกิดพายุฝนฟ้าคะนอง (Thunderstorm days - Td) พบว่ามีแนวโน้มเพิ่มมากขึ้นในอนาคต

การฟิตเส้นเป็นโค้งด้วยโพลิโนเมียลล้อนดับสูงขึ้นไม่ใช้วิธีที่ดี การสร้างฟังก์ชันอย่างประมานที่มีการฟิตรูปร่างหรือแนวโค้งของจุดต่าง ๆ โดยไม่จำเป็นต้องผ่านทุก ๆ จุด สำหรับการหาแนวโน้มจำนวนวันที่เกิดพายุฝนฟ้าคะนองในอนาคตของประเทศไทย โดยเลือกฟังก์ชัน Linear จึงเป็นวิธีที่ดีที่สุด เพราะเมื่อเส้นตรงผ่านจุดกึ่งกลางระหว่างจุด จะทำให้ค่าความคาดเคลื่อนหักล้างพอดีดังสมการที่ 14 ที่ค่า X หนึ่ง ๆ ก็จะมีการคาดเคลื่อนเกิดขึ้น ดังภาพที่ 74



ภาพที่ 74 ค่า Norm of Residuals ในแต่ละปี จากการคาดคะเนค่าด้วยวิธีการเลือกใช้ฟังก์ชัน Linear

8. ความสัมพันธ์ระหว่างข้อมูลตัวแปรกับจำนวนวันที่เกิดพายุฝนฟ้าคะนองในประเทศไทย

การศึกษาถึงตัวแปรใดที่มีอิทธิพลต่อจำนวนวันที่เกิดวันที่เกิดพายุฝนฟ้าคะนองของประเทศไทย โดยอาศัยข้อมูลอุณหภูมิสูงสุดเฉลี่ย จากตารางที่ 3 ถึงตารางที่ 5 ข้อมูลอุณหภูมิต่ำสุดเฉลี่ย จากตารางที่ 6 ถึงตารางที่ 8 ข้อมูลความชื้นสัมพันธ์ จากตารางที่ 10 ถึงตารางที่ 12 ข้อมูลปริมาณฝนรวม จากตารางที่ 14 ถึงตารางที่ 16 ข้อมูลปริมาณฝนสูงสุดในรอบ 24 ชม. จากตารางที่ 17 ถึงตารางที่ 19 ข้อมูลจำนวนวันที่มีฝนตก จากตารางที่ 20 ถึงตารางที่ 22 ข้อมูลความเร็วลม จากตารางที่ 24 ถึงตารางที่ 26 ข้อมูลจำนวนเมฆ จากตารางที่ จากตารางที่ 28 ถึงตารางที่ 30 และข้อมูลจำนวนวันที่เกิดวันที่เกิดพายุฝนฟ้าคะนอง จากตารางที่ 35 ถึงตารางที่ 37 ซึ่งข้อมูลทั้งหมด เป็นข้อมูลรายเดือนเฉลี่ย ในช่วงปี พ.ศ. 2540 – พ.ศ. 2551 นำข้อมูลตัวแปรต่าง ๆ เหล่านี้มาแทนค่าในสมการที่ 16 เพื่อหาค่าคงที่ของตัวแปรต่างๆ (X) ในโปรแกรม MATLAB ใช้คำสั่ง

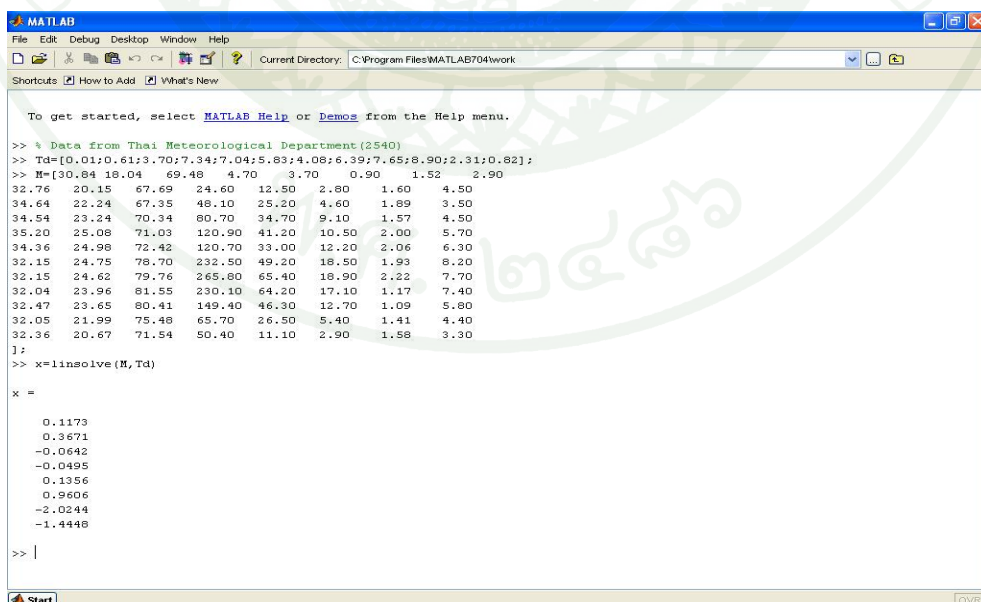
$$X = \text{linsolve}(M, Td) \quad (17)$$

เมื่อ

Td คือ จำนวนวันที่เกิดพายุฝนฟ้าคะนอง รายเดือนต่อปี

M คือ ข้อมูลตัวแปรต่าง ๆ ที่ต้องการศึกษาความสัมพันธ์ รายเดือนต่อปี

x คือ ค่าคงที่ของตัวแปรต่าง ๆ ที่ต้องการศึกษาความสัมพันธ์ รายเดือนต่อปี



```

MATLAB
File Edit Debug Desktop Window Help
Current Directory: C:\Program Files\MATLAB704\work
Shortcuts How to Add What's New

To get started, select MATLAB Help or Demos from the Help menu.

>> % Data from Thai Meteorological Department (2540)
>> Td=[0,01;0.61;3.70;7.34;7.04;5.83;4.08;6.39;7.65;8.90;2.31;0.82];
>> M=[30.84 18.04 69.48 4.70 3.70 0.90 1.52 2.90
32.76 20.15 67.69 24.60 12.50 2.80 1.60 4.50
34.64 22.24 67.35 48.10 25.20 4.60 1.89 3.50
34.54 23.24 70.34 60.70 34.70 9.10 1.57 4.50
35.20 25.08 71.03 120.90 41.20 10.50 2.00 5.70
34.36 24.98 72.42 120.70 33.00 12.20 2.06 6.30
32.15 24.75 78.70 232.50 49.20 18.50 1.93 8.20
32.15 24.62 79.76 265.60 65.40 18.90 2.22 7.70
32.04 23.96 81.55 230.10 64.20 17.10 1.17 7.40
32.47 23.65 80.41 149.40 46.30 12.70 1.09 5.80
32.05 21.99 75.48 65.70 26.50 5.40 1.41 4.40
32.36 20.67 71.54 50.40 11.10 2.90 1.58 3.30
];
>> x=linsolve(M, Td)

x =

```

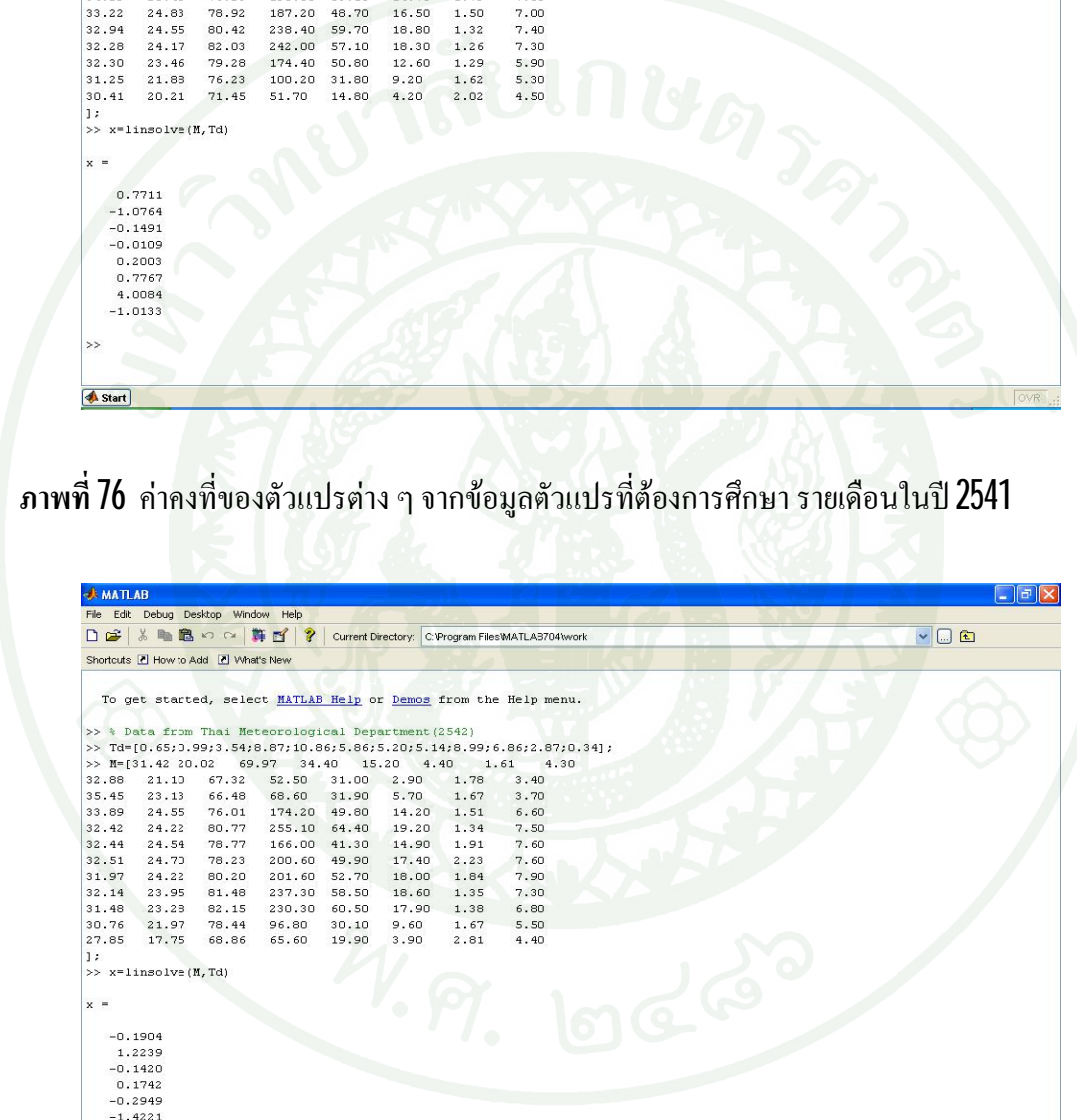
0.1173
0.3671
-0.0642
-0.0495
0.1356
0.9606
-2.0244
-1.4446

```

>> |

```

ภาพที่ 75 ค่าคงที่ของตัวแปรต่าง ๆ จากข้อมูลตัวแปรที่ต้องการศึกษา รายเดือนในปี 2540



MATLAB

To get started, select MATLAB Help or Demos from the Help menu.

```
>> % Data from Thai Meteorological Department(2541)
>> Td=[0.27;0.49;1.90;3.37;9.77;7.68;6.79;8.86;6.68;5.07;1.86;0.89];
>> M=[33.21 20.43 69.68 10.30 6.90 1.70 1.46 2.50
34.55 21.61 66.89 20.60 12.10 2.40 1.74 2.80
36.55 23.66 62.44 17.00 11.40 2.40 2.02 3.00
36.89 25.18 66.11 45.20 22.40 4.40 1.97 3.50
35.97 25.78 72.54 167.40 50.20 13.70 1.70 5.90
34.29 25.42 76.23 195.80 53.10 14.70 1.79 7.00
33.22 24.83 78.92 187.20 48.70 16.50 1.50 7.00
32.94 24.55 80.42 238.40 59.70 18.80 1.32 7.40
32.28 24.17 82.03 242.00 57.10 18.30 1.26 7.30
32.30 23.46 79.28 174.40 50.80 12.60 1.29 5.90
31.25 21.88 76.23 100.20 31.80 9.20 1.62 5.30
30.41 20.21 71.45 51.70 14.80 4.20 2.02 4.50
];
>> x=linsolve(M,Td)

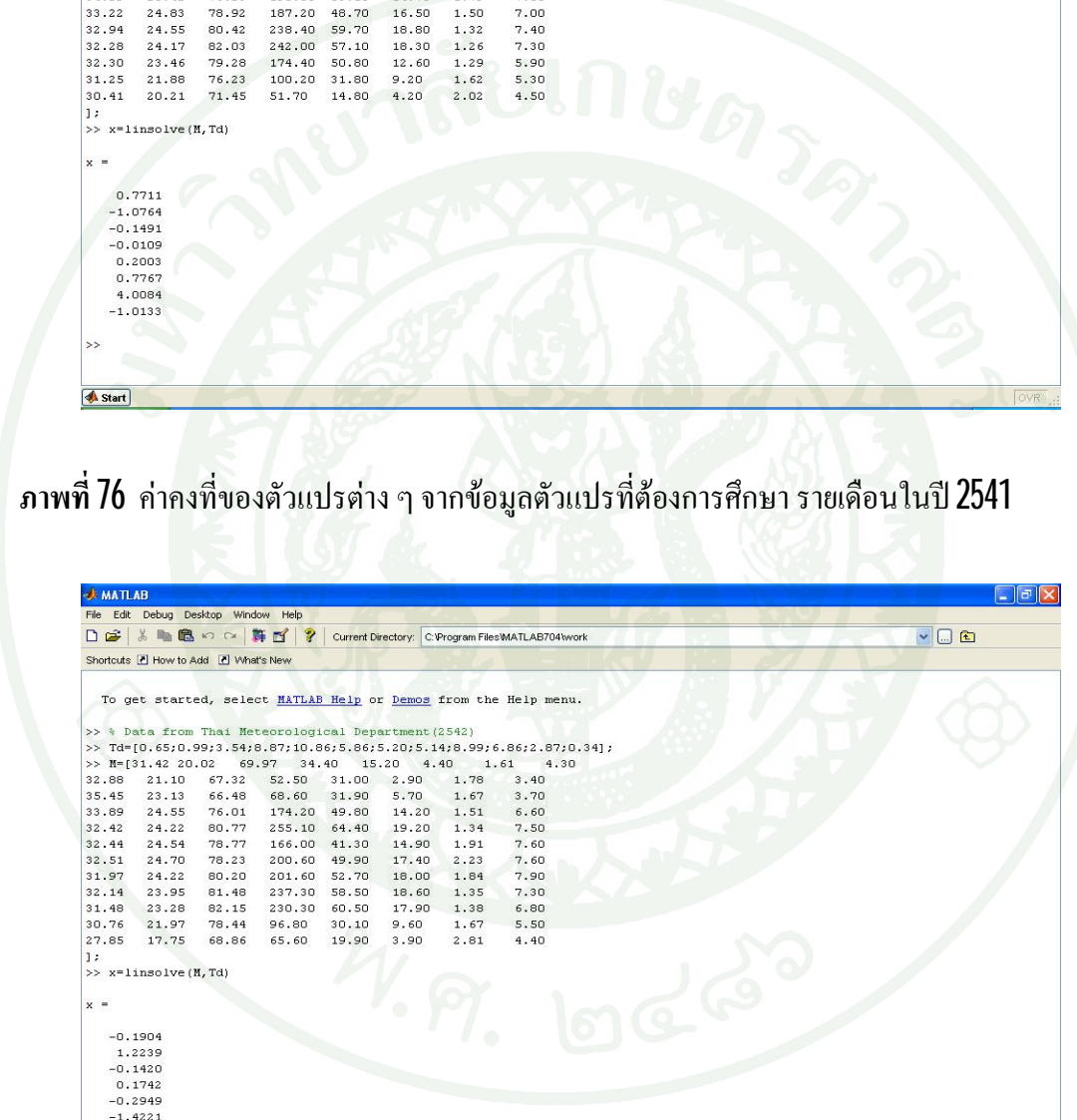
x =

```

0.7711
-1.0764
-0.1491
-0.0109
0.2003
0.7767
4.0084
-1.0133

>>

ภาพที่ 76 ค่าคงที่ของตัวแปรต่าง ๆ จากข้อมูลตัวแปรที่ต้องการศึกษา รายเดือนในปี 2541



MATLAB

To get started, select MATLAB Help or Demos from the Help menu.

```
>> % Data from Thai Meteorological Department(2542)
>> Td=[0.65;0.99;3.54;8.87;10.86;5.86;5.20;5.14;8.99;6.86;2.87;0.34];
>> M=[31.42 20.02 69.97 34.40 15.20 4.40 1.61 4.30
32.88 21.10 67.32 52.50 31.00 2.90 1.78 3.40
35.45 23.13 66.48 68.60 31.90 5.70 1.67 3.70
33.89 24.55 76.01 174.20 49.80 14.20 1.51 6.60
32.42 24.22 80.77 255.10 64.40 19.20 1.34 7.50
32.44 24.54 78.77 166.00 41.30 14.90 1.91 7.60
32.51 24.70 78.23 200.60 49.90 17.40 2.23 7.60
31.97 24.22 80.20 201.60 52.70 18.00 1.84 7.90
32.14 23.95 81.48 237.30 58.50 18.60 1.35 7.30
31.48 23.28 82.15 230.30 60.50 17.90 1.38 6.80
30.76 21.97 78.44 96.80 30.10 9.60 1.67 5.50
27.85 17.75 68.86 65.60 19.90 3.90 2.81 4.40
];
>> x=linsolve(M,Td)

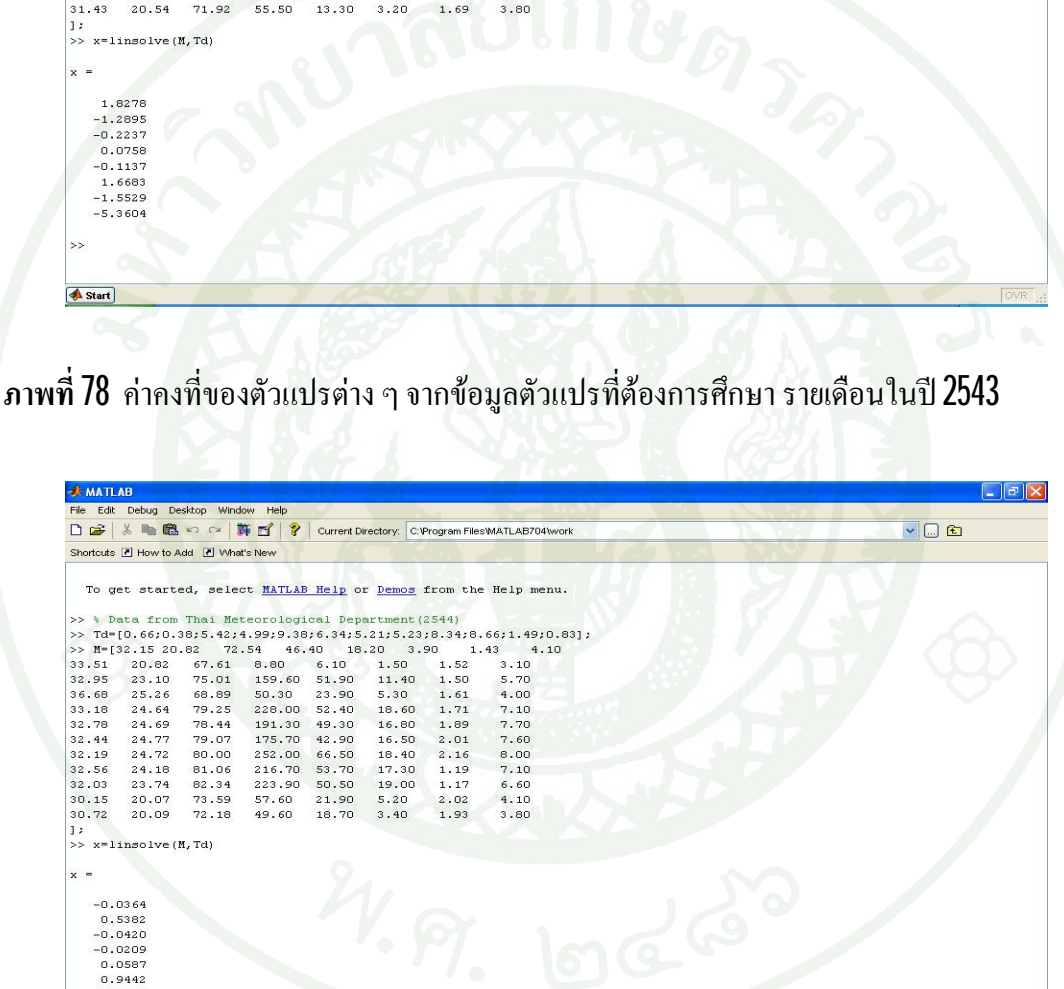
x =

```

-0.1904
1.2239
-0.1420
0.1742
-0.2949
-1.4221
-3.4779
0.6654

>>

ภาพที่ 77 ค่าคงที่ของตัวแปรต่าง ๆ จากข้อมูลตัวแปรที่ต้องการศึกษา รายเดือนในปี 2542



A screenshot of a MATLAB command window. The title bar says "MATLAB". The menu bar includes File, Edit, Debug, Desktop, Window, Help. The toolbar has icons for New, Open, Save, Print, etc. The current directory is set to C:\Program Files\MATLAB704\work. The command window contains the following code and output:

```

To get started, select MATLAB Help or Demos from the Help menu.

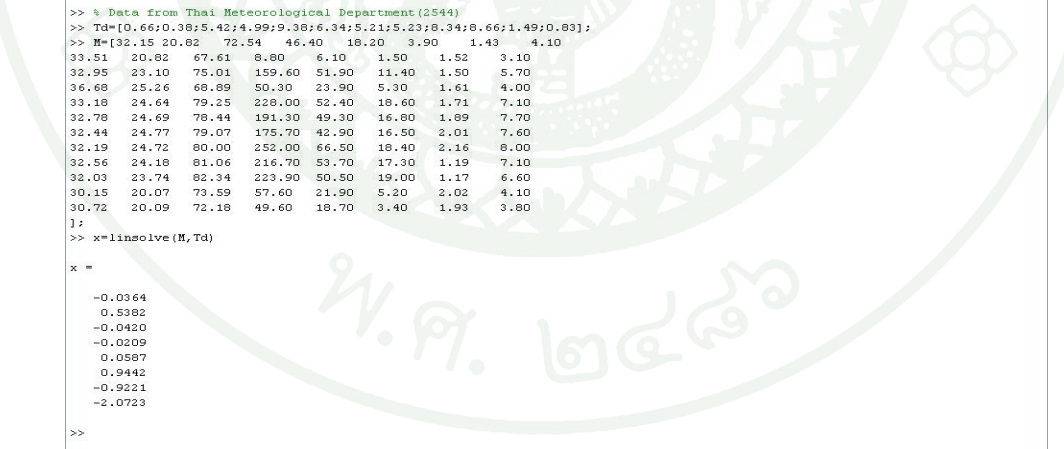
>> % Data from Thai Meteorological Department (2543)
>> Td=[0,48;2,11;2,86;8,96;9,89;7,58;5,68;6,24;7,21;6,59;1,17;0,70];
>> M=[31.72 19.76 70.76 17.20 7.10 2.70 1.74 3.50
32.29 20.02 69.54 47.60 25.80 5.00 1.61 4.10
34.37 22.27 67.65 60.00 24.80 4.90 1.54 4.30
34.03 24.25 75.80 178.90 54.50 13.30 1.38 6.10
33.12 24.55 79.08 220.60 59.40 16.70 1.61 7.00
32.24 24.47 80.68 240.00 58.60 19.30 1.61 8.00
32.14 24.32 79.65 201.10 50.40 18.40 1.83 7.70
32.18 24.39 79.59 252.10 61.40 17.70 1.90 7.80
31.78 23.76 81.59 221.20 58.70 17.60 1.31 7.40
31.93 23.64 81.28 185.40 47.10 16.20 1.32 6.70
31.00 20.69 73.55 106.60 27.60 4.30 1.92 3.90
31.43 20.54 71.92 55.50 13.30 3.20 1.69 3.80
];
>> x=linsolve(M,Td)

x =

```

1.8278
-1.2895
-0.2237
0.0758
-0.1137
1.6683
-1.5529
-5.3604

ภาพที่ 78 ค่าคงที่ของตัวแปรต่าง ๆ จากข้อมูลตัวแปรที่ต้องการศึกษา รายเดือนในปี 2543



A screenshot of a MATLAB command window. The title bar says "MATLAB". The menu bar includes File, Edit, Debug, Desktop, Window, Help. The toolbar has icons for New, Open, Save, Print, etc. The current directory is set to C:\Program Files\MATLAB704\work. The command window contains the following code and output:

```

To get started, select MATLAB Help or Demos from the Help menu.

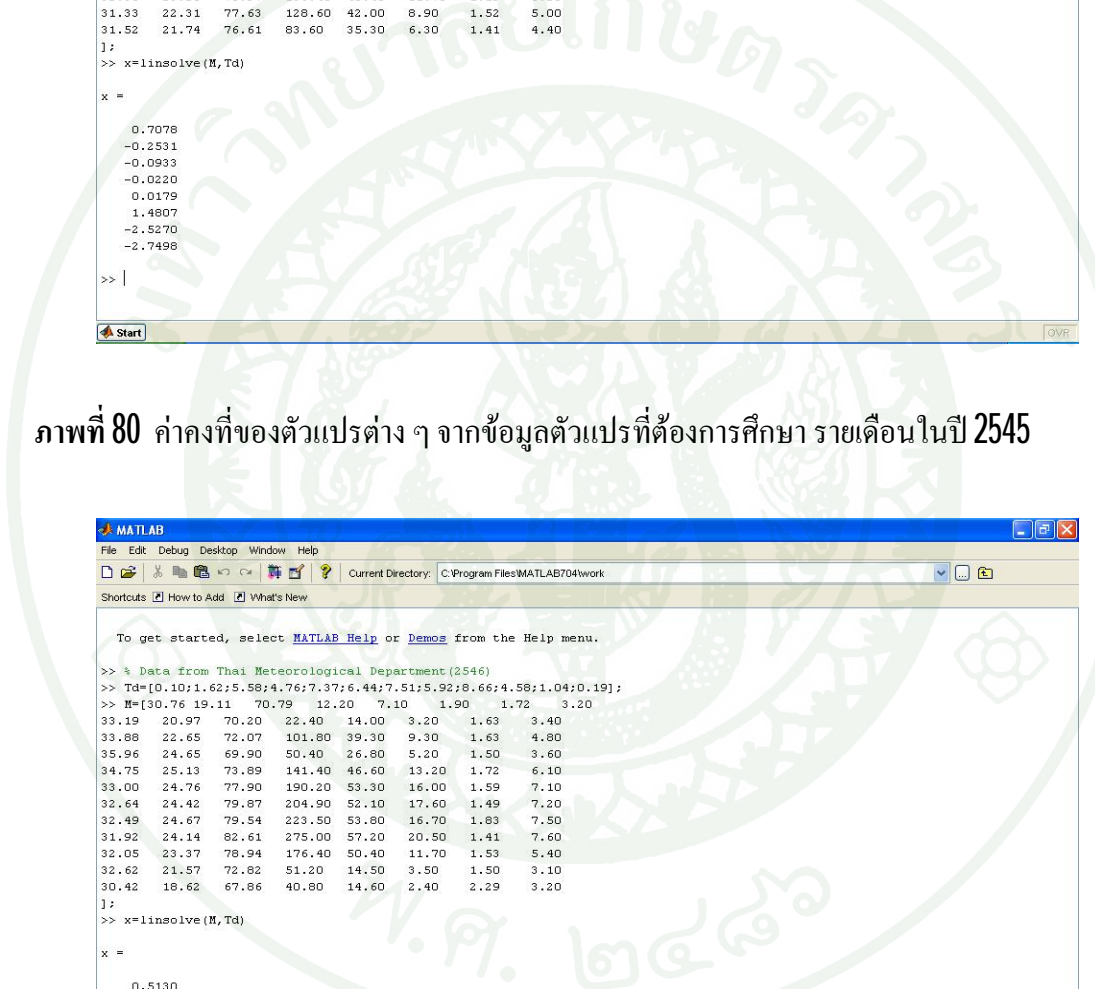
>> % Data from Thai Meteorological Department (2544)
>> Td=[0,.66;0,38;5,42;4,99;9,38;6,34;5,21;5,23;8,34;8,66;1,49;0,83];
>> M=[32.15 20.82 -72.54 46.40 18.20 3.90 1.43 4.10
33.51 20.82 67.61 8.80 6.10 1.50 1.52 3.10
32.95 23.10 75.01 159.60 51.90 11.40 1.50 5.70
36.68 25.26 68.69 50.30 23.90 5.30 1.61 4.00
33.18 24.64 79.25 228.00 52.40 18.60 1.71 7.10
32.78 24.69 78.44 191.30 49.30 16.80 1.89 7.70
32.44 24.77 79.07 175.70 42.90 16.50 2.01 7.60
32.19 24.72 80.00 252.00 66.50 18.40 2.16 8.00
32.56 24.18 81.06 216.70 53.70 17.30 1.19 7.10
32.03 23.74 82.34 223.90 50.50 19.00 1.17 6.60
30.15 20.07 73.59 57.60 21.90 5.20 2.02 4.10
30.72 20.09 72.18 49.60 18.70 3.40 1.93 3.80
];
>> x=linsolve(M,Td)

x =

```

-0.0364
0.5382
-0.0420
-0.0209
0.0587
0.9442
-0.9221
-2.0723

ภาพที่ 79 ค่าคงที่ของตัวแปรต่าง ๆ จากข้อมูลตัวแปรที่ต้องการศึกษา รายเดือนในปี 2544



MATLAB

To get started, select MATLAB Help or Demos from the Help menu.

```
>> % Data from Thai Meteorological Department (2545)
>> Td=[0.49;0.42;2.82;6.35;9.48;8.10;4.11;6.70;6.56;6.75;3.66;2.10];
>> M=[31.00 19.14 70.75 7.30 4.70 1.70 1.82 3.10
33.29 21.17 69.63 14.10 8.70 1.90 1.60 3.30
34.62 22.93 68.94 47.70 29.80 4.70 1.80 3.90
36.16 24.30 67.99 68.70 32.90 6.80 1.64 4.30
33.76 24.68 77.68 214.80 55.40 16.30 1.72 6.60
33.34 24.94 78.32 174.10 43.90 16.30 1.66 7.40
32.64 24.97 78.21 159.50 39.80 17.10 2.23 7.80
31.88 24.37 80.69 276.10 61.30 20.70 1.85 8.30
31.62 24.12 82.46 277.20 62.30 19.70 1.49 7.80
32.35 23.20 78.97 136.40 45.40 11.70 1.19 5.20
31.33 22.31 77.63 128.60 42.00 8.90 1.52 5.00
31.52 21.74 76.61 83.60 35.30 6.30 1.41 4.40
];
>> x=linsolve(M,Td)

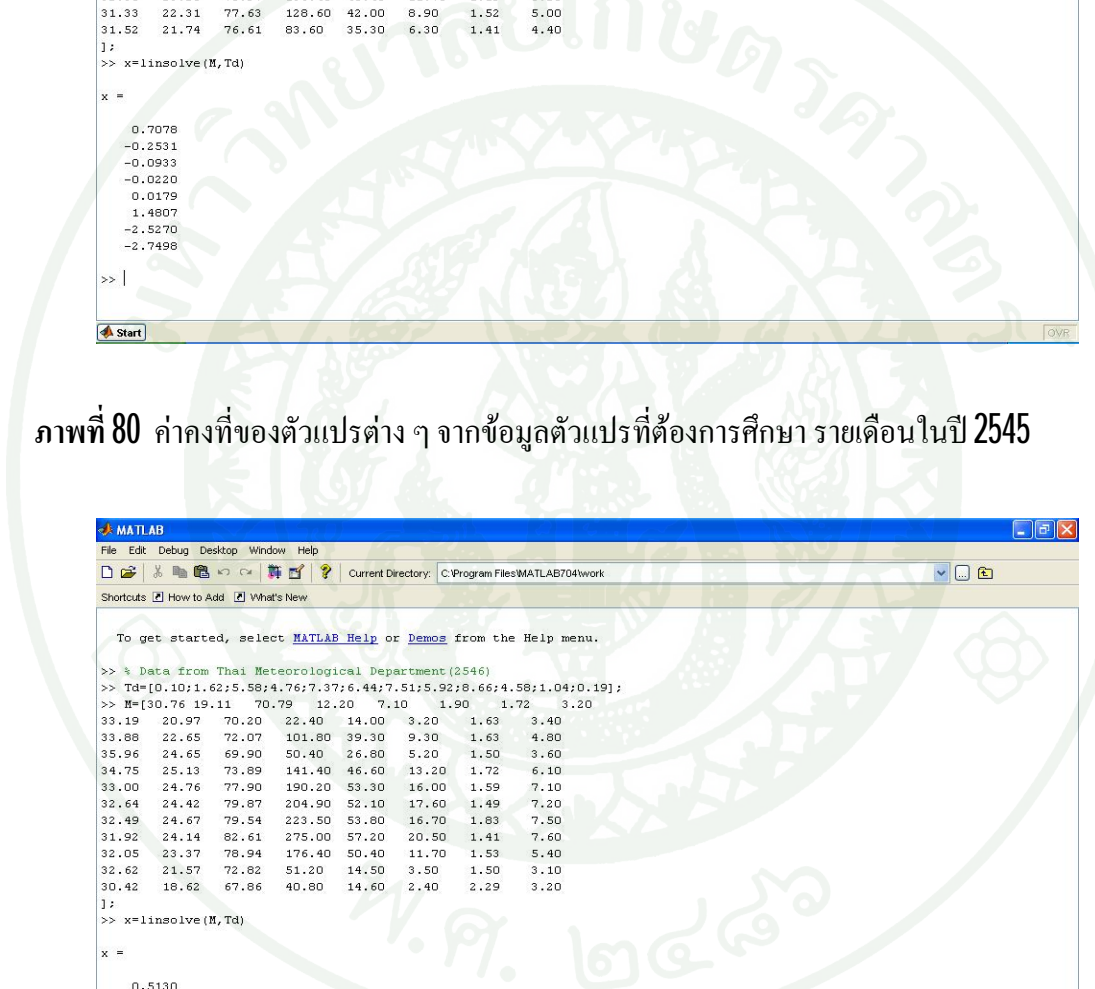
x =

```

0.7078
-0.2531
-0.0933
-0.0220
0.0179
1.4807
-2.5270
-2.7498

>> |

ภาพที่ 80 ค่าคงที่ของตัวแปรต่าง ๆ จากข้อมูลตัวแปรที่ต้องการศึกษา รายเดือนในปี 2545



MATLAB

To get started, select MATLAB Help or Demos from the Help menu.

```
>> % Data from Thai Meteorological Department (2546)
>> Td=[0.10;1.62;5.58;4.76;7.37;6.44;7.51;5.92;8.66;4.58;1.04;0.19];
>> M=[30.76 19.11 70.79 12.20 7.10 1.90 1.72 3.20
33.19 20.97 70.20 22.40 14.00 3.20 1.63 3.40
33.88 22.65 72.07 101.80 39.30 9.30 1.63 4.80
35.96 24.65 69.90 50.40 26.80 5.20 1.50 3.60
34.75 25.13 73.89 141.40 46.60 13.20 1.72 6.10
33.00 24.76 77.90 190.20 53.30 16.00 1.59 7.10
32.64 24.42 79.87 204.90 52.10 17.60 1.49 7.20
32.49 24.57 79.54 223.50 53.80 16.70 1.63 7.50
31.92 24.14 82.61 275.00 57.20 20.50 1.41 7.60
32.05 23.37 78.94 176.40 50.40 11.70 1.53 5.40
32.62 21.57 72.82 51.20 14.50 3.50 1.50 3.10
30.42 18.62 67.86 40.80 14.60 2.40 2.29 3.20
];
>> x=linsolve(M,Td)

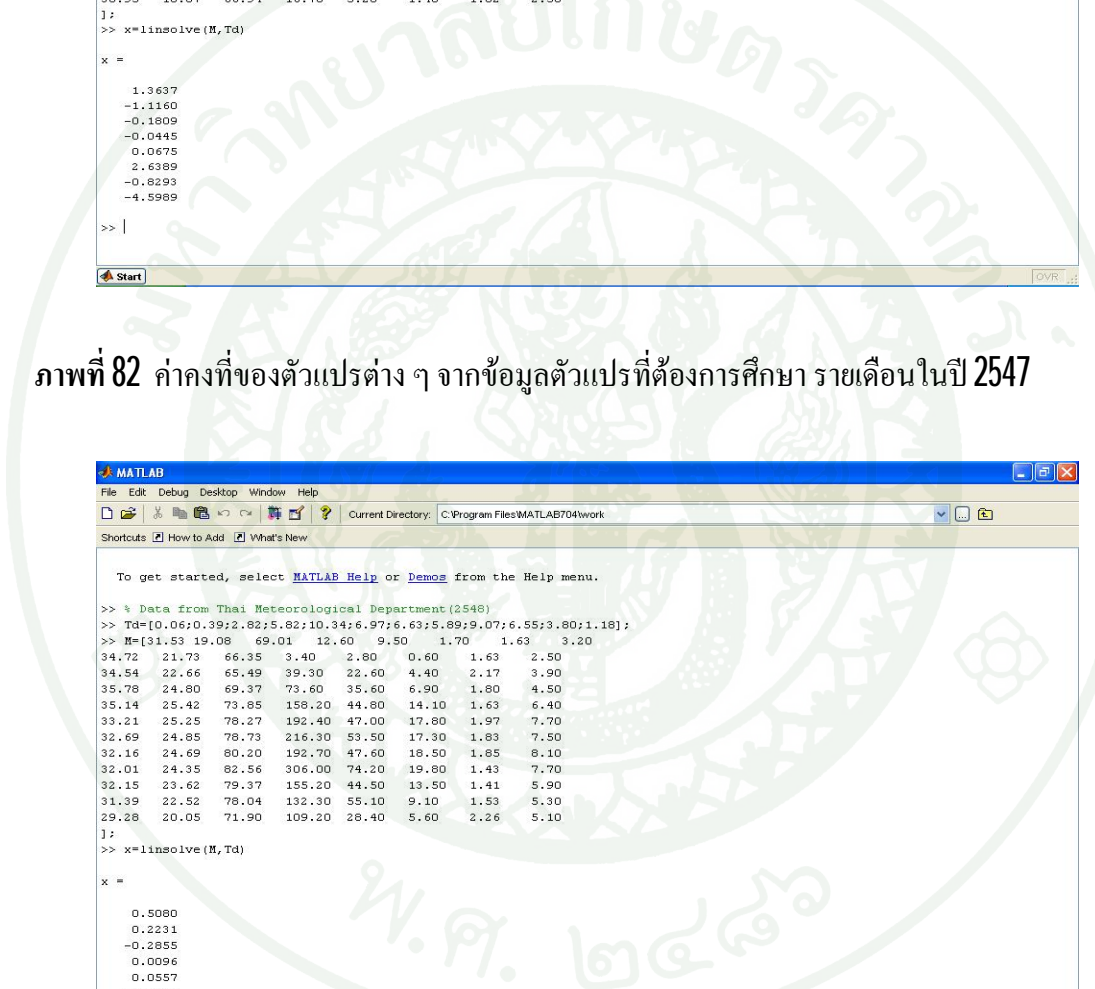
x =

```

0.5130
-0.1657
-0.1417
-0.0157
0.0343
1.0749
-0.0355
-1.5562

>> |

ภาพที่ 81 ค่าคงที่ของตัวแปรต่าง ๆ จากข้อมูลตัวแปรที่ต้องการศึกษา รายเดือนในปี 2546



MATLAB

To get started, select [MATLAB Help](#) or [Demos](#) from the Help menu.

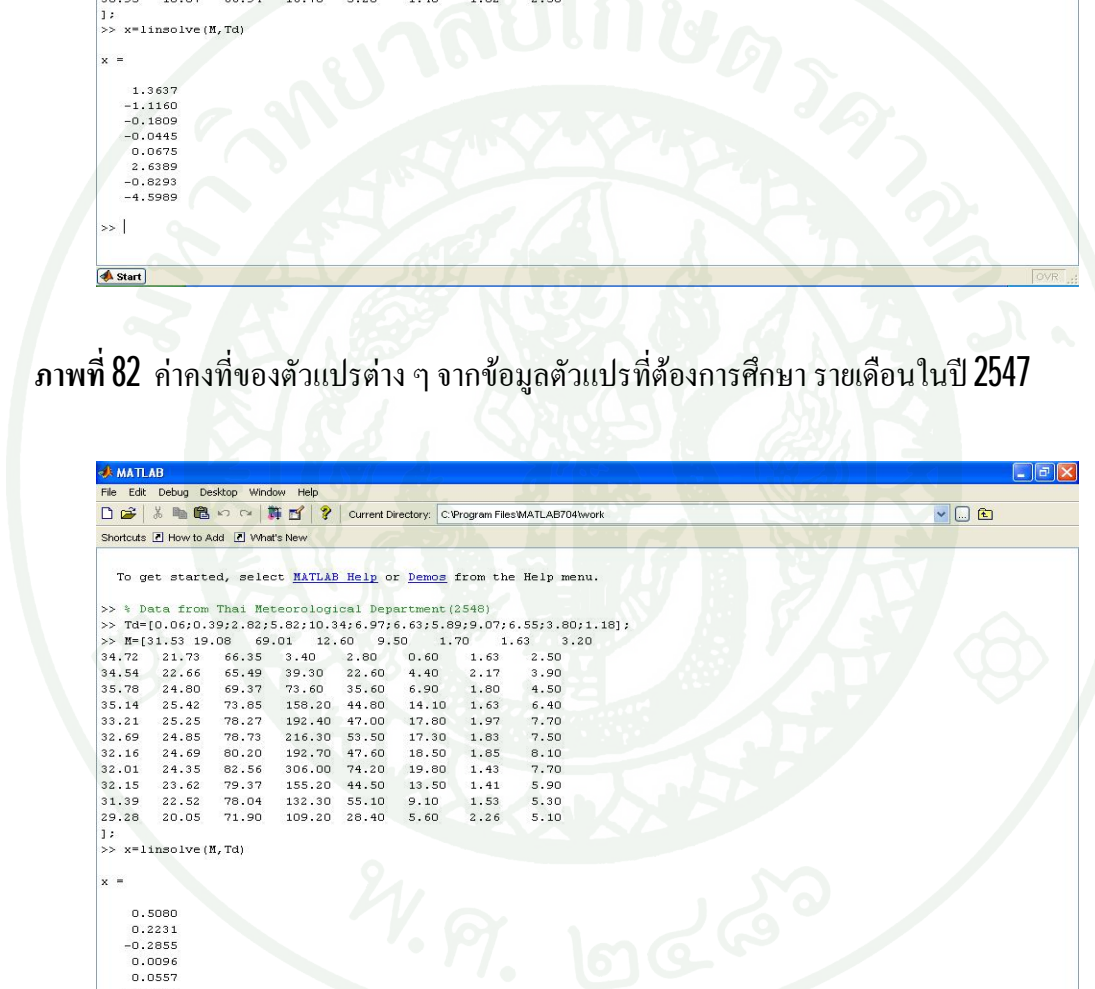
```
>> % Data from Thai Meteorological Department (2547)
>> Td=[0.58;0.52;1.34;6.27;9.21;5.87;7.54;5.93;8.55;2.89;1.21;0.28];
>> M=[31.59 19.43 70.08 24.70 16.10 3.30 1.57 3.30
32.02 20.10 69.42 39.00 24.40 3.50 1.76 3.50
35.37 23.04 65.07 18.80 11.00 2.70 1.99 3.20
36.38 24.72 67.17 62.60 30.70 6.60 1.76 4.10
33.84 24.85 76.59 204.70 57.60 16.10 1.76 6.80
32.50 24.61 78.54 222.70 59.80 16.90 1.94 7.30
32.43 24.25 79.06 234.90 54.00 18.50 1.45 7.80
32.25 24.65 79.41 202.90 45.50 18.00 1.88 7.90
32.05 23.93 81.44 242.50 59.80 17.90 1.09 7.30
32.40 22.66 75.04 90.70 28.40 7.40 1.47 4.00
32.47 21.74 70.41 46.60 17.80 4.60 1.86 3.50
30.95 18.07 66.94 16.70 5.20 1.40 1.82 2.50
];
>> x=linsolve(M,Td)
```

x =

```
1.3637
-1.1160
-0.1809
-0.0445
0.0675
2.6389
-0.8293
-4.5989
```

>> |

ภาพที่ 82 ค่าคงที่ของตัวแปรต่าง ๆ จากข้อมูลตัวแปรที่ต้องการศึกษา รายเดือนในปี 2547



MATLAB

To get started, select [MATLAB Help](#) or [Demos](#) from the Help menu.

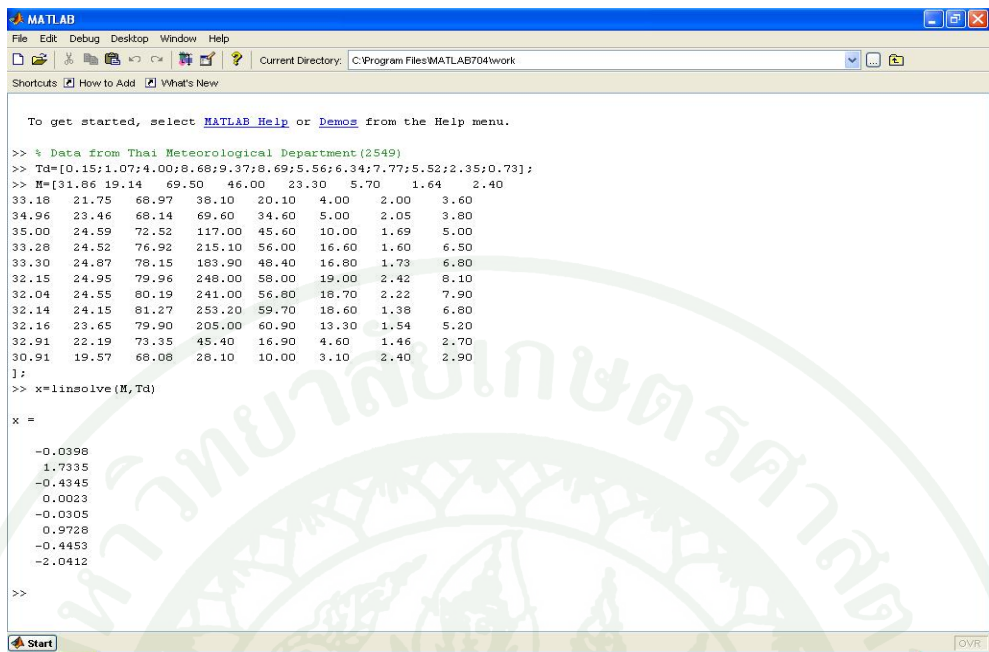
```
>> % Data from Thai Meteorological Department (2548)
>> Td=[0.06;0.39;2.82;5.82;10.34;6.97;6.63;5.89;9.07;6.55;3.80;1.18];
>> M=[31.53 19.08 69.01 12.60 9.50 1.70 1.63 3.20
34.72 21.73 66.35 3.40 2.80 0.60 1.63 2.50
34.54 22.66 65.49 39.30 22.60 4.40 2.17 3.90
35.78 24.80 69.37 73.60 35.60 6.90 1.80 4.50
35.14 25.42 73.85 158.20 44.80 14.10 1.63 6.40
33.21 25.25 78.27 192.40 47.00 17.80 1.97 7.70
32.69 24.85 78.73 216.30 53.50 17.30 1.83 7.50
32.18 24.69 80.20 192.70 47.60 18.50 1.85 8.10
32.01 24.35 82.56 306.00 74.20 19.80 1.43 7.70
32.15 23.62 79.37 155.20 44.50 13.50 1.41 5.90
31.39 22.52 78.04 132.30 55.10 9.10 1.53 5.30
29.28 20.05 71.90 109.20 28.40 5.60 2.26 5.10
];
>> x=linsolve(M,Td)
```

x =

```
0.5080
0.2231
-0.2855
0.0096
0.0557
-0.1480
-3.8908
1.6496
```

>> |

ภาพที่ 83 ค่าคงที่ของตัวแปรต่าง ๆ จากข้อมูลตัวแปรที่ต้องการศึกษา รายเดือนในปี 2548



A screenshot of a MATLAB interface showing a command window. The code entered is:

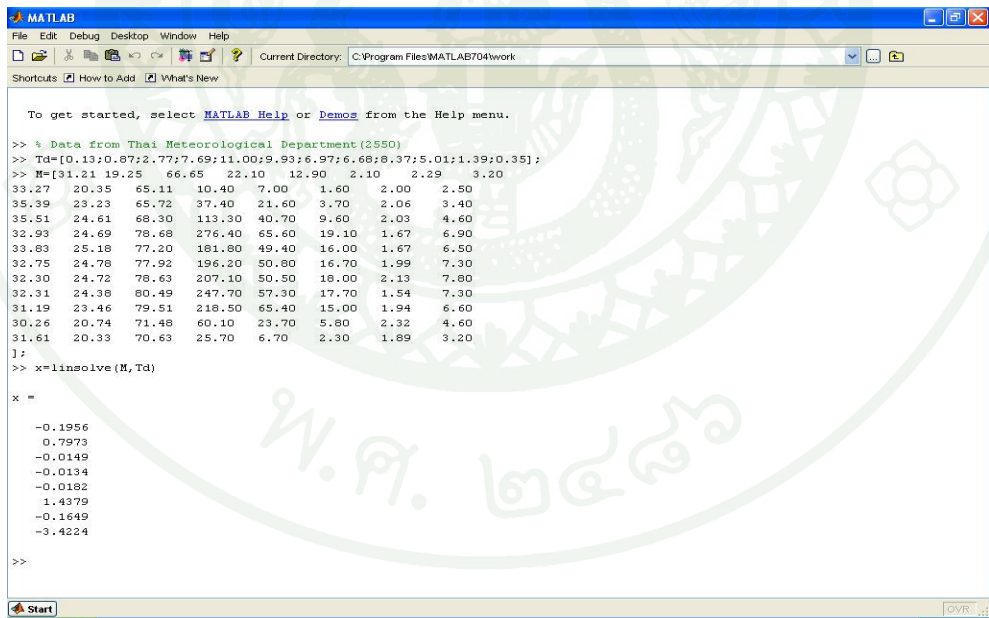
```

% Data from Thai Meteorological Department (2549)
>> Td=[0.15;1.07;4.00;8.68;9.37;8.69;5.56;6.34;7.77;5.52;2.35;0.73];
>> M=[31.86 19.14 69.50 46.00 23.30 8.70 1.64 2.40
33.18 21.75 68.97 38.10 20.10 4.00 2.00 3.60
34.96 23.46 68.14 69.60 34.60 5.00 2.05 3.80
35.00 24.59 72.52 117.00 45.60 10.00 1.69 5.00
33.28 24.52 76.92 215.10 56.00 16.60 1.60 6.50
33.30 24.87 78.15 183.90 48.40 16.80 1.73 6.80
32.15 24.95 79.96 248.00 58.00 19.00 2.42 8.10
32.04 24.55 80.19 241.00 56.80 18.70 2.22 7.90
32.14 24.15 81.27 253.20 59.70 18.60 1.38 6.80
32.16 23.65 79.90 205.00 60.90 13.30 1.54 5.20
32.91 22.19 73.35 45.40 16.90 4.60 1.46 2.70
30.91 19.57 68.08 28.10 10.00 3.10 2.40 2.90
];
>> x=linsolve(M,Td)

x =

```

ภาพที่ 84 ค่าคงที่ของตัวแปรต่าง ๆ จากข้อมูลตัวแปรที่ต้องการศึกษา รายเดือนในปี 2549



A screenshot of a MATLAB interface showing a command window. The code entered is:

```

% Data from Thai Meteorological Department (2550)
>> Td=[0.13;0.87;2.77;7.69;11.00;9.93;6.97;6.68;8.37;5.01;1.39;0.35];
>> M=[31.21 19.25 66.65 22.10 12.90 2.10 2.29 3.20
33.27 20.35 65.11 10.40 7.00 1.60 2.00 2.50
35.39 23.23 65.72 37.40 21.60 3.70 2.06 3.40
35.51 24.61 68.30 113.30 40.70 9.60 2.03 4.60
32.93 24.69 78.68 276.40 65.60 19.10 1.67 6.90
33.03 25.18 77.20 181.60 49.40 16.00 1.67 6.50
32.75 24.78 77.92 196.20 50.80 16.70 1.99 7.30
32.30 24.72 78.63 207.10 50.50 18.00 2.13 7.80
32.31 24.38 80.49 247.70 57.30 17.70 1.54 7.30
31.19 23.46 79.51 218.50 65.40 15.00 1.94 6.60
30.26 20.74 71.48 60.10 23.70 5.80 2.32 4.60
31.61 20.33 70.63 25.70 6.70 2.30 1.89 3.20
];
>> x=linsolve(M,Td)

x =

```

ภาพที่ 85 ค่าคงที่ของตัวแปรต่าง ๆ จากข้อมูลตัวแปรที่ต้องการศึกษา รายเดือนในปี 2550

```

MATLAB
File Edit Debug Desktop Window Help
Current Directory: C:\Program Files\MATLAB\7.0\work
Shortcuts How to Add What's New

To get started, select MATLAB Help or Demos from the Help menu.

>> % Data from Thai Meteorological Department (2551)
>> Td=[0.30;0.68;3.45;9.01;9.79;7.92;6.65;7.31;8.28;7.92;2.28;0.25];
>> M=[31.46 19.50 69.06 26.60 18.50 2.60 2.01 3.00;
31.27 20.52 68.69 38.00 21.00 4.40 2.32 4.40
34.15 22.80 66.14 44.30 23.30 4.80 2.20 3.80
34.90 24.68 71.75 133.20 49.10 10.50 1.79 5.40
32.79 24.57 77.80 212.90 50.80 17.10 2.01 7.10
32.79 24.72 78.24 197.10 48.90 16.70 1.93 7.20
32.30 24.42 78.62 204.80 46.10 18.50 2.01 7.70
32.32 24.42 79.00 192.70 50.30 18.30 1.93 7.40
32.11 24.26 80.58 287.70 70.00 19.30 1.89 7.50
32.26 23.99 80.70 200.20 54.40 16.60 1.55 6.30
30.35 21.63 75.06 134.70 41.10 7.80 2.52 5.10
29.53 18.75 70.80 46.40 25.70 2.80 2.40 3.70
];
>> x=linsolve(M, Td)

x =

```

ภาพที่ 86 ค่าคงที่ของตัวแปรต่าง ๆ จากข้อมูลตัวแปรที่ต้องการศึกษา รายเดือนในปี 2551

เมื่อได้ค่าคงที่ตัวแปรต่าง ๆ จากข้อมูลตัวแปรที่ต้องการศึกษาความสัมพันธ์เรียบร้อย ทำให้สามารถหาสมการทั่วไปของจำนวนวันที่เกิดพายุฝนฟ้าคะนองในปีนั้น ๆ ได้ ยกตัวอย่างเช่นปี 2551

$$Td(2551) = M_1(-0.1072) + M_2(0.9763) + M_3(-0.1672) + M_4(0.0021) + M_5(0.0817) + M_6(-0.0623) + M_7(-3.1643) + M_8(0.4292) \quad (18)$$

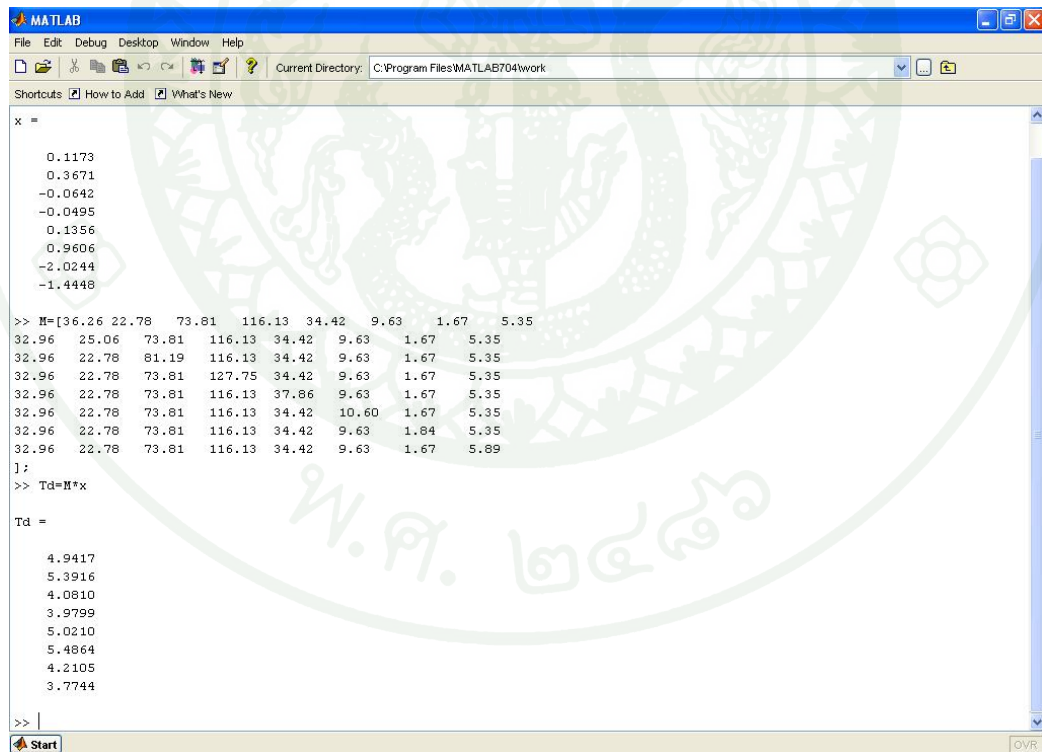
เมื่อต้องการหาตัวแปรใดมีอิทธิพลต่อจำนวนวันที่เกิดพายุฝนฟ้าคะนอง โดยการเพิ่มค่าตัวแปรต่าง ๆ ที่ต้องการศึกษาความสัมพันธ์ จากเดิม 10% ของค่าเฉลี่ยรายเดือนของตัวแปร ดังกล่าว

ตารางที่ 55 ข้อมูลเฉลี่ยของตัวแปรต่าง ๆ (บน) และข้อมูลตัวแปรที่เพิ่มขึ้น 10% (ล่าง) ในปี 2540

M1	M2	M3	M4	M5	M6	M7	M8
อุณหภูมิ สูงสุด (°C)	อุณหภูมิ ต่ำสุด (°C)	ความชื้น (%)	ฝนรวม (มม.)	ฝน 24 ชม (มม.)	วันฝนตก (วัน)	ความเร็วลม (นีอต)	จำนวนเมฆ
32.96	22.78	73.81	116.13	34.42	9.63	1.67	5.35
36.26	25.06	81.19	127.75	37.86	10.60	1.84	5.89

ตารางที่ 56 ข้อมูลเฉลี่ยของตัวแปรต่าง ๆ และข้อมูลตัวแปรที่เพิ่มขึ้น 10% ในปี 2540 (สมการ)

M1 อุณหภูมิ สูงสุด(°C)	M2 อุณหภูมิ ต่ำสุด(°C)	M3 ความชื้น (%)	M4 ฝนรวม (มม.)	M5 ฝน 24 ชม (มม.)	M6 วันฝนตก (วัน)	M7 ความเร็ว ลม (นีอต)	M8 จำนวนเมฆ
36.26	22.78	73.81	116.13	34.42	9.63	1.67	5.35
32.96	25.06	73.81	116.13	34.42	9.63	1.67	5.35
32.96	22.78	81.19	116.13	34.42	9.63	1.67	5.35
32.96	22.78	73.81	127.75	34.42	9.63	1.67	5.35
32.96	22.78	73.81	116.13	37.86	9.63	1.67	5.35
32.96	22.78	73.81	116.13	34.42	10.60	1.67	5.35
32.96	22.78	73.81	116.13	34.42	9.63	1.84	5.35
32.96	22.78	73.81	116.13	34.42	9.63	1.67	5.89



```

MATLAB
File Edit Debug Desktop Window Help
Current Directory: C:\Program Files\MATLAB704\work
Shortcuts How to Add What's New
x =
0.1173
0.3671
-0.0642
-0.0495
0.1356
0.9606
-2.0244
-1.4448

>> M=[36.26 22.78 73.81 116.13 34.42 9.63 1.67 5.35
32.96 25.06 73.81 116.13 34.42 9.63 1.67 5.35
32.96 22.78 81.19 116.13 34.42 9.63 1.67 5.35
32.96 22.78 73.81 127.75 34.42 9.63 1.67 5.35
32.96 22.78 73.81 116.13 37.86 9.63 1.67 5.35
32.96 22.78 73.81 116.13 34.42 10.60 1.67 5.35
32.96 22.78 73.81 116.13 34.42 9.63 1.84 5.35
32.96 22.78 73.81 116.13 34.42 9.63 1.67 5.89
];
>> Td=M*x

Td =
4.9417
5.3916
4.0810
3.9799
5.0210
5.4864
4.2105
3.7744

>> |
Start

```

ภาพที่ 87 ตัวอย่างการหาค่า T_d จากการคำนวณของข้อมูลตัวแปรต่าง ๆ ที่เพิ่มขึ้น 10% ในปี 2540

ตารางที่ 57 ค่า Td ที่ได้จากการคำนวณของข้อมูลตัวแปรต่าง ๆ ที่เพิ่มขึ้น 10% ในปี 2540 - 2543

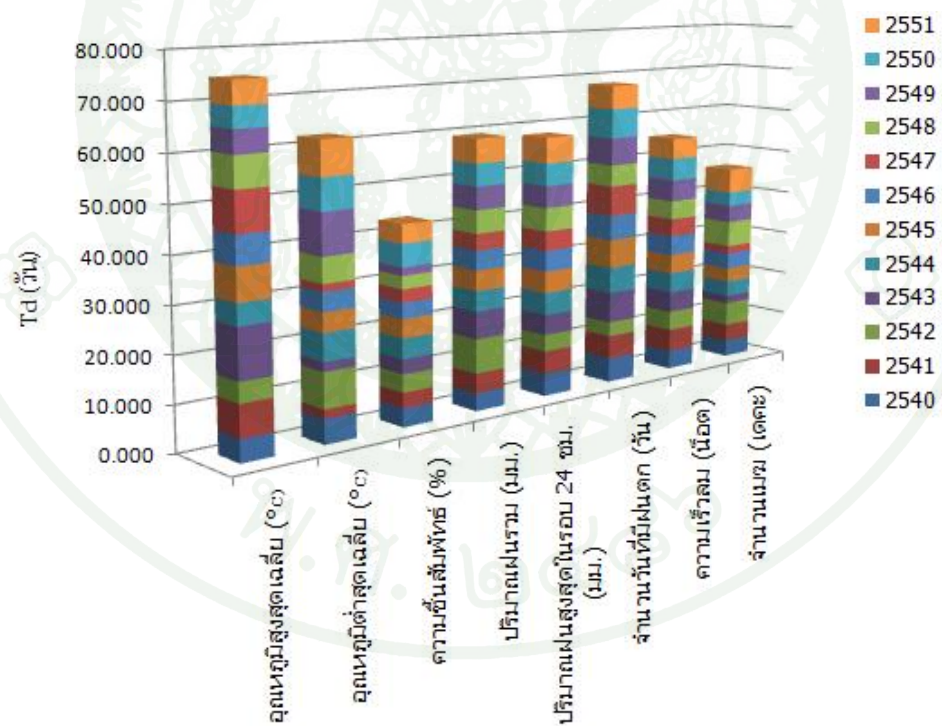
ตัวแปร(M) ลำดับที่	ปี พ.ศ. ชนิดตัวแปร (หน่วย)	2540	2541	2542	2543
		จำนวนวันที่เกิดพายุฝนฟ้าคะนอง(วัน)			
1	อุณหภูมิสูงสุดเฉลี่ย ($^{\circ}\text{C}$)	4.942	7.059	4.395	10.873
2	อุณหภูมิต่ำสุดเฉลี่ย ($^{\circ}\text{C}$)	5.392	1.950	7.785	2.024
3	ความชื้นสัมพัทธ์ (%)	4.081	3.373	3.930	3.251
4	ปริมาณฝนรวม (มม.)	3.980	4.336	7.594	6.080
5	ปริมาณฝนสูงสุดในรอบ 24 ชม. (มม.)	5.021	5.167	3.765	4.488
6	จำนวนวันที่มีฝนตก (วัน)	5.486	5.237	3.271	6.886
7	ความเร็วลม (นือด)	4.211	5.110	4.415	4.702
8	จำนวนเมฆ (เดկะ)	3.774	3.952	5.412	1.842

ตารางที่ 58 ค่า Td ที่ได้จากการคำนวณของข้อมูลตัวแปรต่าง ๆ ที่เพิ่มขึ้น 10% ในปี 2544 - 2547

ตัวแปร(M) ลำดับที่	ปี พ.ศ. ชนิดตัวแปร (หน่วย)	2544	2545	2546	2547
		จำนวนวันที่เกิดพายุฝนฟ้าคะนอง(วัน)			
1	อุณหภูมิสูงสุดเฉลี่ย ($^{\circ}\text{C}$)	4.629	7.123	6.170	8.657
2	อุณหภูมิต่ำสุดเฉลี่ย ($^{\circ}\text{C}$)	5.985	4.217	4.110	1.637
3	ความชื้นสัมพัทธ์ (%)	4.429	4.096	3.429	2.845
4	ปริมาณฝนรวม (มม.)	4.457	4.511	4.293	3.648
5	ปริมาณฝนสูงสุดในรอบ 24 ชม. (มม.)	4.970	4.870	4.610	4.401
6	จำนวนวันที่มีฝนตก (วัน)	5.833	6.430	5.573	6.757
7	ความเร็วลม (นือด)	4.590	4.372	4.482	4.030
8	จำนวนเมฆ (เดคະ)	3.545	3.262	3.678	1.825

ตารางที่ 59 ค่า Td ที่ได้จากการคำนวณของข้อมูลตัวแปรต่าง ๆ ที่เพิ่มขึ้น 10% ในปี 2548 - 2551

(M) ลำดับที่	ตัวแปร ชนิดตัวแปร (หน่วย)	ปี พ.ศ.	จำนวนวันที่เกิดพายุฝนฟ้าคะนอง(วัน)			
			2548	2549	2550	2551
1	อุณหภูมิสูงสุดเฉลี่ย ($^{\circ}\text{C}$)		6.632	4.893	4.437	4.972
2	อุณหภูมิต่ำสุดเฉลี่ย ($^{\circ}\text{C}$)		5.481	9.028	6.902	7.542
3	ความชื้นสัมพัทธ์ (%)		2.837	1.778	4.967	4.067
4	ปริมาณฝนรวม (มม.)		5.089	5.056	4.898	5.346
5	ปริมาณฝนสูงสุดในรอบ 24 ชม. (มม.)		5.177	4.899	5.008	5.656
6	จำนวนวันที่มีฝนตก (วัน)		4.802	6.123	6.615	5.244
7	ความเร็วลม (น็อต)		4.260	4.939	5.044	4.683
8	จำนวนเมฆ (เดกะ)		5.901	3.963	3.263	5.561



ภาพที่ 88 ค่า Td สะสม ในปี 2540 - 2551 จากการคำนวณของข้อมูลตัวแปรต่าง ๆ ที่เพิ่มขึ้น 10%

การหาตัวแปรชนิดใดมีอิทธิพลต่อจำนวนวันที่เกิดพายุฝนฟ้าคะนอง โดยการเพิ่มค่าตัวแปรต่าง ๆ ที่ต้องการศึกษาความสัมพันธ์ จากเดิม 10 % ของค่าเฉลี่ยรายเดือนของตัวแปรดังกล่าว โดยเพิ่มค่าที่ละตัวแปร ส่วนค่าตัวแปรอื่น ๆ จะให้เป็นค่าเฉลี่ยรายเดือนของตัวแปรนั้น ดังตารางที่ 56 (ยกตัวอย่าง ปี พ.ศ. 2540) โดยคำนวณหาตัวแปรชนิดใดที่มีค่าเพิ่มขึ้นจากเดิม 10 % จะส่งผลกระทบต่อจำนวนวันที่เกิดพายุฝนฟ้าคะนอง ในปี พ.ศ. 2540 – พ.ศ. 2551 ดังตารางที่ 57 ถึงตารางที่ 59 และเพื่อให้แสดงถึงความชัดเจนของตัวแปรใดที่มีอิทธิพลต่อจำนวนวันที่เกิดพายุฝนฟ้าคะนอง จึงได้วาดกราฟเป็นค่าจำนวนวันที่เกิดพายุฝนฟ้าคะนองสะสม ในปี พ.ศ. 2540 – พ.ศ. 2551 โดยแบ่งให้เห็นในแต่ละตัวแปร

ผลปรากฏว่าอุณหภูมิสูงสุดเฉลี่ย จำนวนวันที่มีฝนตก มีอิทธิพลต่อจำนวนวันที่เกิดพายุฝนฟ้าคะนองมากที่สุด ตามลำดับ และความชื้นสัมพัทธ์มีอิทธิพลต่อจำนวนวันที่เกิดพายุฝนฟ้าคะนองน้อยที่สุด ดังภาพที่ 88

วิจารณ์

- ข้อมูลที่ได้จากการตรวจโดยใช้อวัยวะมนุษย์ เช่น จำนวนวันที่เกิดพายุฝนฟ้าคะนอง ใช้การได้ยินเสียงฟ้าคะนอง หรือการหาจำนวนเมฆ โดยวิธีการใช้การมองเห็น บางครั้งอาจจะมีข้อจำกัดที่ระบบประสาทสัมผัสและอวัยวะรับสัมผัสของแต่ละคนที่匪่ำสังเกตการณ์
- ข้อมูลจากกรมอุตุนิยมวิทยาและข้อมูลจากการควบคุมมลพิษ สามารถนำไปใช้ในการวิเคราะห์ได้จำนวน 71 สถานี จากทั้งหมด 124 สถานี และจำนวน 26 สถานี จากทั้งหมด 59 สถานี ตามลำดับ เนื่องจากบางสถานีเป็นสถานีใหม่ และบางสถานีไม่ได้เก็บข้อมูลในช่วงเวลาที่ทำการวิเคราะห์ หากสามารถใช้ข้อมูลจากสถานีได้มากกว่า อาจจะทำให้เห็นการเปลี่ยนแปลงของข้อมูลที่ชัดเจนมากขึ้น

- ปรากฏการณ์อ่อนนิโญและลานีญา มีผลกระทบต่อแนวโน้มข้อมูลอุณหภูมิและปริมาณน้ำฝนของประเทศไทยอย่างมาก เช่น ในปี พ.ศ. 2551 ที่คาดว่าอุณหภูมิเฉลี่ยของโลกจะเพิ่มขึ้นแต่อุณหภูมิเฉลี่ยของโลกกลับลดลงซึ่งเป็นผลเนื่องมาจากการณ์ลานีญาในมหาสมุทรแปซิฟิก

สรุปและข้อเสนอแนะ

สรุป

วิทยานิพนธ์ฉบับนี้ได้ทำการศึกษาและวิเคราะห์ผลกระทบของภาวะโลกร้อนต่อกิจกรรมฟ้าผ่าในประเทศไทย โดยอาศัยความสัมพันธ์ระหว่างตัวแปรที่ได้รับผลกระทบต่อภาวะโลกร้อนกับตัวแปรที่มีปฏิกริยาและเกิดปรากฏการณ์ฟ้าผ่านประเทศไทยซึ่งได้แก่ ความชื้น ก้าชโซโซน ปริมาณฝน จำนวนเมฆ ความเร็วลม และจำนวนวันที่เกิดพายุฝนฟ้าคะนอง พบร่วมตัวแปรต่าง ๆ เหล่านี้จะมีแนวโน้มค่าเฉลี่ยที่เพิ่มขึ้นเรื่อย ๆ ในทุก ๆ ปี แสดงให้เห็นว่า การสะสมอุณหภูมิที่เพิ่มขึ้นบนพื้นผิวดินโลกเนื่องจากภาวะโลกร้อน มีผลทำให้อุณหภูมิพื้นผิวน้ำเปลี่ยนแปลงของโลกเพิ่มสูงขึ้นทุก ๆ 1% ซึ่งจะส่งผลทำให้มีจำนวนฟ้าผ่าเพิ่มมากขึ้นในประเทศไทย 4 % และแนวโน้มของ การเปลี่ยนแปลงของจำนวนวันที่เกิดพายุฝนฟ้าคะนองจากการทดลองสร้างรูปแบบจำลอง พบร่วมกับ จำนวนวันที่เกิดพายุฝนฟ้าคะนองของประเทศไทยจะมีแนวโน้มเพิ่มขึ้นเรื่อย ๆ ในอนาคต ขณะนี้จึง หมายถึง หากในอนาคตอุณหภูมิของโลกนั้นยังคงเพิ่มขึ้นเรื่อย ๆ ก็จะส่งผลทำให้มีจำนวนฟ้าผ่าเพิ่มมากขึ้นในประเทศไทย

ข้อเสนอแนะ

ตัวแปรหนึ่งซึ่งไม่ได้นำมาวิเคราะห์ คือ บทบาทของละอองอากาศ (Aerosols) ทำหน้าที่ เป็นแกนให้ละอองน้ำจับตัวกัน (ในอากาศบริสุทธิ์ ละอองน้ำไม่สามารถจับตัวได้ เนื่องจากไม่มี แกนนิวเคลียต) ละอองอากาศสามารถดูดกลืนและสะท้อนแสงอาทิตย์ จึงมีอิทธิพลในการควบคุม อุณหภูมิของพื้นผิวโลก การศึกษาการเปลี่ยนแปลงของละอองอากาศซึ่งเป็นตัวแปรที่เริ่มมีผู้ให้ ความสนใจและจะเป็นหัวหนึ่งข้อสำหรับการศึกษาในอนาคต

เอกสารและสิ่งอ้างอิง

กรมอุตุนิยมวิทยา. 2550. ศัพท์อุตุนิยมวิทยา. แหล่งที่มา: <http://www.tmd.go.th>,
9 กุมภาพันธ์ 2553.

กรมอุตุนิยมวิทยา. 2551. การเปลี่ยนแปลงภูมิอากาศ. แหล่งที่มา: <http://www.tmd.go.th>,
14 กุมภาพันธ์ 2553.

กรมอุตุนิยมวิทยา. 2552. ความรู้ทั่วไปเกี่ยวกับโอมोโซน. แหล่งที่มา: <http://www.tmd.go.th>,
17 มีนาคม 2553.

กรรวี สิทธิชีวาก. 2550. ความผันแปรและการเปลี่ยนแปลงสภาพภูมิอากาศ พ.ศ. 2550.
ศูนย์ภูมิอากาศ กรมอุตุนิยมวิทยา, กรุงเทพฯ.

กลุ่มวิชาการภูมิอาณาฯ สำนักพัฒนาอุตุนิยมวิทยา กรมอุตุนิยมวิทยา 2550. ภาวะโลกร้อน.
แหล่งที่มา: <http://www.tmd.go.th>, 17 ตุลาคม 2552.

ก. กลุ่มภูมิอากาศ 2548. สภาวะอากาศประเทศไทยรายเดือน (มกราคมถึงธันวาคม). สำนักพัฒนา
อุตสาหกรรมวิทยา กรมอุตสาหกรรมวิทยา, กรุงเทพฯ.

กลุ่มภูมิอากาศ 2549. สภาพอากาศประเทศไทยรายเดือน (มกราคมถึงธันวาคม). สำนักพัฒนา
อุตสาหกรรมวิทยา กรมอุตสาหกรรมวิทยา, กรุงเทพฯ.

จำนวน แก้วะฉฎา. 2548. ความผันแปรและแนวโน้มของฝนและอุณหภูมิในประเทศไทย, น.51-55.
ใน รายงานการประชุมวิชาการการเปลี่ยนแปลงสภาพภูมิอากาศทางด้านป่าไม้ " ศักยภาพ
ของป่าไม้ในการสนับสนุนพืชีสารเกียวโต ". โรงแรมมารวย การ์เด้น, กรุงเทพฯ.

สำนักงาน กองทุนฯ ได้จัดทำแบบฟอร์มขอรับการสนับสนุนงบประมาณประจำปี พ.ศ. 2522 ไว้ให้แก่ ผู้สนใจ สามารถดาวน์โหลดได้ที่เว็บไซต์ของ กองทุนฯ หรือ สอบถามรายละเอียดเพิ่มเติมได้ที่ สำนักงาน กองทุนฯ โทร. ๐๘๑-๒๔๓๗๖๙๙๙

ชัยยงค์ วงศ์ชัยสุวัฒน์. 2540. การแก้ปัญหาทางวิศวกรรมด้วยโปรแกรม MATLAB. ภาควิชา
วิศวกรรมคอมพิวเตอร์ คณะวิศวกรรมศาสตร์ มหาวิทยาลัยเกษตรศาสตร์, กรุงเทพฯ.

ประพุติ ยอดไพบูลย์. 2552. วิชาอุตุนิยมวิทยาเพื่อการเกษตร. ภาควิชาวิทยาศาสตร์การเกษตร
คณะเกษตรศาสตร์ มหาวิทยาลัยนเรศวร, พิษณุโลก.

พงษ์ศักดิ์ อุยู่หุ่น. 2550. อุตุนิยมวิทยาเบื้องต้น. ภาควิชาวิทยาศาสตร์การเกษตร
คณะเกษตรศาสตร์ มหาวิทยาลัยนเรศวร, พิษณุโลก.

พิสิกส์ราชมงคล. 2550. โครงการการเรียนรู้เรื่องวิทยาศาสตร์โลกและอวกาศ. ภาควิชาฟิสิกส์
คณะวิทยาศาสตร์ มหาวิทยาลัยเทคโนโลยีราชมงคล, ปทุมธานี.

วินัย พฤกษะวัน และ โชคชัย เดช โยธิน. 2552. สรุปจำนวนวันที่เกิดพายุฝนฟ้าคะนองในประเทศไทย
ตั้งแต่ปี 2494-2551. ใน การประชาพิจารณ์มาตรฐานการป้องกันไฟฟ้า กรกฎาคม
2552. วสท, กรุงเทพฯ.

ศูนย์ภูมิอากาศ สำนักพัฒนาอุตุนิยมวิทยากรมอุตุนิยมวิทยา. 2552. อุณหภูมิโลกร้อนขึ้นทุก ๆ 1°C .
พายุฝนจะมีความรุนแรงขึ้น 6 %. แหล่งที่มา: <http://www.tmd.go.th>, 24 ธันวาคม 2552.

อภิสิทธิ์ เนตรวงษ์. 2535. การวิเคราะห์โอโซน. แหล่งที่มา: <http://etc1992.co.th/index.php/2010-12-09-12-49-49/204-ozone.html>, 4 สิงหาคม 2553.

Grawe, V. 2009. Impact of lightning on air chemistry and climate, pp. 537-549. In H.D. Betz,
U. Schumann and P. Laroche, eds. Lightning: Principles, Instruments and
Applications. Springer Science, Florida.

Hileman, A.R. 1999. Insulation Coordination for PowerSystem. Marcel Dekker Inc.,
New York, USA.

- Kotroni, V. and L. Kostas. 2009. Lightning in the mediterranean in relation with cloud microphysical parameters, pp. 433-446. *In* H.D. Betz, U. Schumann and P. Laroche, eds. *Lightning: Principles, Instruments and Applications*. Springer Science, Florida.
- Stolzenburg , M. and T.C. Marshall. 2009. Electric field and charge structure in lightning producing clouds, pp. 55-82. *In* H.D. Betz , U. Schumann and P. Laroche, eds. *Lightning: Principles, Instruments and Applications*. Springer Science, Florida.
- Met Office. 2008. Global Temperature. Available Source: <http://www.metoffice.gov.uk>, December 18, 2010.
- Price, C. 2008. Low frequency electromagnetic radiation from lightning, pp. 121-135. *In* H.D. Betz, U. Schumann and P. Laroche, eds. *Lightning: Principles, Instruments and Applications*. Springer Science, Florida.
- Price, C. 2009. Thunderstorms, lightning and climate change, pp. 521-535. *In* H.D. Betz, U. Schumann and P. Laroche, eds. *Lightning: Principles, Instruments and Applications*. Springer Science, Florida.
- Price, C. and M. Asfur. 2006. Can lightning observations be used as an indicator of uppertropospheric water vapor variability, pp. 11-35. *In* H.D. Betz, U. Schumann and P. Laroche, eds. *Lightning: Principles, Instruments and Applications*. Springer Science, Florida.
- Williams, E and V. Mushtak. 2009. Schumann resonance signatures of global lightning activity, pp. 347-381. *In* H.D. Betz, U. Schumann and P. Laroche , eds. *Lightning: Principles, Instruments and Applications*. Springer Science, Florida.
- Shiyu, T., W. Gaolin and Y. Hua. 2006. Study of Ground Flash Density. International Conference on Power System Technology, New York, USA.

Rakov, V. and M. Uman. 2003. Lightning: Physics and Effects, Cambridge University Press, England.







ตารางผนวกที่ ก1 สถานีอุตุนิยมวิทยา

ที่	รหัสสถานี/WMO Index	ชื่อสถานี	ละติจูด	ลองติจูด	จังหวัด
1	300201/48300	แม่ส่องสอน	19.18.0	97.50.0	แม่ส่องสอน
2	300202/48325	แม่สะเรียง	18.10.0	97.56.0	แม่ส่องสอน
3	303201/48303	เชียงราย	19.57.41	99.52.53	เชียงราย
4	303301/48304	เชียงราย สกย.	19.52.15	99.46.58	เชียงราย
5	310201/48310	พะ夷า	19.8.0	99.54.0	พะ夷า
6	327202/48302	ดอยอ่างขาง	19.55.53	99.2.54	เชียงใหม่
7	327301/48326	แม่โข่ สกย.	18.55.0	99.0.0	เชียงใหม่
8	327501/48327	เชียงใหม่	18.47.24	98.58.37	เชียงใหม่
9	328201/48328	ลำปาง	18.17.0	99.31.0	ลำปาง
10	328202/48324	เฉิน	17.38.6	99.14.5	ลำปาง
11	328301/48334	ลำปาง สกย.	18.19.0	99.17.0	ลำปาง
12	329201/48329	ลำพูน	18.34.0	99.2.0	ลำพูน
13	330201/48330	แพร่	18.10.0	100.10.0	แพร่
14	331201/48331	น่าน	18.46.47	100.46.40	น่าน
15	331301/48333	น่าน สกย.	18.52.0	100.45.0	น่าน
16	331401/48315	ท่าวังผา	19.6.38	100.48.9	น่าน
17	331402/48307	ทุ่งช้าง	19.24.43	100.53.7	น่าน
18	351201/48351	อุตรดิตถ์	17.37.0	100.6.0	อุตรดิตถ์
19	352201/48352	หนองคาย	17.52.0	102.43.0	หนองคาย
20	353201/48353	เลย	17.27.0	101.44.0	เลย
21	353301/48350	เลย สกย.	17.24.0	101.44.0	เลย
22	354201/48354	อุดรธานี	17.23.0	102.48.0	อุดรธานี
23	356201/48356	สกลนคร	17.9.0	104.8.0	สกลนคร
24	356301/48355	สกลนคร สกย.	17.7.0	104.3.0	สกลนคร
25	357201/48357	นครพนม	17.25.0	104.47.0	นครพนม
26	357301/48358	นครพนม สกย.	17.26.0	104.47.0	นครพนม
27	373201/48372	สุโขทัย	17.6.22	99.48.0	สุโขทัย
28	373301/48373	ศรีลักษณ์ สกย.	17.10.0	99.52.0	สุโขทัย
29	376201/48376	ตาก	16.52.42	99.8.36	ตาก
30	376202/48375	แม่สอด	16.39.33	98.33.3	ตาก

ตารางผนวกที่ ก1 (ต่อ)

ที่	รหัสสถานี/WMO Index	ชื่อสถานี	ละติจูด	ลองจิจูด	จังหวัด
31	376203/48377	เขื่อนภูมิพล	17.14.0	99.3.0	ตาก
32	376301/48387	ดอยมุเซอร์ สกย.	16.45.0	98.56.0	ตาก
33	376401/48385	อุ้มพาง	16.057	98.51.56	ตาก
34	378201/48378	พิมบุ๊ลอก	16.47.0	100.16.0	พิมบุ๊ลอก
35	379201/48379	เพชรบูรณ์	16.26.0	101.9.0	เพชรบูรณ์
36	379401/48374	หล่มสัก	16.46.25	101.14.58	เพชรบูรณ์
37	379402/48413	วิเชียรบุรี	15.39.25	101.6.30	เพชรบูรณ์
38	380201/48380	กำแพงเพชร	16.29.0	99.32.0	กำแพงเพชร
39	381201/48381	ขอนแก่น	16.27.48	102.47.12	ขอนแก่น
40	381301/48384	ท่าพระ สกย.	16.20.0	102.49.0	ขอนแก่น
41	383201/48383	มุกดาหาร	16.32.0	104.43.0	มุกดาหาร
42	386301/48386	พิจิตร สกย.	16.26.17	100.17.33	พิจิตร
43	387401/48382	มหาสารคาม	16.14.50	103.4.5	มหาสารคาม
44	388401/48390	กาฬสินธุ์	16.19.57	103.35.18	กาฬสินธุ์
45	400201/48400	นครสวรรค์	15.48.0	100.10.0	นครสวรรค์
46	400301/48401	ตากฟ้า สกย.	15.21.0	100.30.0	นครสวรรค์
47	402301/48402	ชัยนาท สกย.	15.9.0	100.11.0	ชัยนาท
48	403201/48403	ชัยภูมิ	15.48.0	102.2.0	ชัยภูมิ
49	405201/48405	ร้อยเอ็ด	16.3.0	103.41.0	ร้อยเอ็ด
50	405301/48404	ร้อยเอ็ด สกย.	16.4.0	103.37.0	ร้อยเอ็ด
51	407301/48408	อุบลราชธานี สกย.	15.23.33	105.3.33	อุบลราชธานี
52	407501/48407	อุบลราชธานี (สูนย์ฯ)	15.15.0	104.52.0	อุบลราชธานี
53	409301/48409	ศรีสะเกษ	15.2.0	104.15.0	ศรีสะเกษ
54	415301/48415	พระนครศรีอยุธยา	14.31.0	100.43.0	พระนครศรีอยุธยา
55	419301/48419	ปทุมธานี สกย. (คลองหลวง)	14.6.0	100.37.0	ปทุมธานี
56	423301/48458	ฉะเชิงเทรา	13.30.56	101.27.30	ฉะเชิงเทรา
57	424301/48464	ราชบุรี	13.29.23	99.47.32	ราชบุรี
58	425201/48425	สุพรรณบุรี	14.28.28	100.8.20	สุพรรณบุรี
59	425301/48427	อุ่ทอง สกย.	14.18.0	99.52.0	สุพรรณบุรี
60	426201/48426	ลพบุรี	14.48.0	100.37.0	ลพบุรี

ตารางผนวกที่ ก1 (ต่อ)

ที่	รหัสสถานี/WMO Index	ชื่อสถานี	ละติจูด	ลองติจูด	จังหวัด
61	426401/48418	บัวชุม	15.15.50	101.11.30	ลพบุรี
62	429201/48457	นำร่อง	13.22.38	100.35.58	สมุทรปราการ
63	429601/48429	สนามบินสุวรรณภูมิ	13.41.11	100.46.3	สมุทรปราการ
64	430201/48430	ปราจีนบุรี	14.3.0	101.22.0	ปราจีนบุรี
65	430401/48439	กบินทร์บุรี	13.59.0	101.42.26	ปราจีนบุรี
66	431201/48431	นครราชสีมา	14.57.46	102.4.36	นครราชสีมา
67	431301/48435	ปากช่อง ศกย.	14.38.38	101.19.15	นครราชสีมา
68	431401/48434	โขชัย	14.43.8	102.10.7	นครราชสีมา
69	432201/48432	สุรินทร์	14.53.0	103.30.0	สุรินทร์
70	432301/48433	สุรินทร์ ศกย.	14.53.0	103.27.0	สุรินทร์
71	432401/48416	ท่าคูม	15.19.0	103.41.0	สุรินทร์
72	436201/48437	บุรีรัมย์	15.13.0	103.14.0	บุรีรัมย์
73	436401/48436	นางรอง	14.35.0	102.48.0	บุรีรัมย์
74	440201/48462	อรัญประเทศ	13.42.0	102.35.0	สระแก้ว
75	440401/48440	สระแก้ว	13.47.20	102.2.5	สระแก้ว
76	450201/48450	กาญจนบุรี	14.1.21	99.32.9	กาญจนบุรี
77	450401/48421	ทองถม	14.44.32	98.38.11	กาญจนบุรี
78	451301/48451	นครปฐม	14.1.0	99.58.0	นครปฐม
79	455201/48455	กรุงเทพมหานคร	13.43.35	100.33.36	กรุงเทพมหานคร
80	455203/48454	กรุงเทพฯ ท่าเรือคลองเตย	13.42.25	100.34.5	กรุงเทพมหานคร
81	455301/48453	กรุงเทพฯ บางนา ศกย.	13.40.0	100.37.0	กรุงเทพมหานคร
82	455302/48452	กรุงเทพฯ บาง奔 ศกย.	13.51.0	100.35.0	กรุงเทพมหานคร
83	455601/48456	สนามบินดอนเมือง	13.55.9	100.36.18	กรุงเทพมหานคร
84	459201/48459	ชลบุรี	13.22.0	100.59.0	ชลบุรี
85	459202/48460	เกาะสีชัง	13.9.42	100.48.7	ชลบุรี
86	459203/48461	พัทยา	12.55.12	100.52.10	ชลบุรี
87	459204/48477	สัตหีบ	12.41.0	100.59.0	ชลบุรี
88	459205/48463	แหลมฉบัง	13.4.37	100.52.33	ชลบุรี
89	465201/48465	เพชรบุรี	12.59.58	100.3.38	เพชรบุรี
90	478201/48478	ระยอง	12.37.56	101.20.37	ระยอง

ตารางผนวกที่ ก1 (ต่อ)

ที่	รหัสสถานี/WMO Index	ชื่อสถานี	ละติจูด	ลองติจูด	จังหวัด
91	478301/48479	ห้วยโป่ง สกย.	12.44.0	101.8.0	ราชบุรี
92	480201/48480	จันทบุรี	12.37.0	102.6.48	จันทบุรี
93	480301/48481	พลว สกย.	12.30.31	102.10.23	จันทบุรี
94	500201/48500	ประจวบคีรีขันธ์	11.50.0	99.50.0	ประจวบคีรีขันธ์
95	500202/48475	หัวหิน	12.35.10	99.57.45	ประจวบคีรีขันธ์
96	500301/48474	หนองพลับ สกย.	12.35.0	99.44.0	ประจวบคีรีขันธ์
97	501201/48501	ตราด	11.46.0	102.53.0	ตราด
98	517201/48517	ชุมพร	10.29.0	99.11.0	ชุมพร
99	517301/48520	สีวิ สกย.	10.20.0	99.6.0	ชุมพร
100	532201/48532	ระนอง	9.59.0	98.37.0	ระนอง
101	551201/48551	สุราษฎร์ธานี	9.8.8	99.9.7	สุราษฎร์ธานี
102	551202/-	สุราษฎร์ธานี (2)	9.8.8	99.9.7	สุราษฎร์ธานี
103	551203/48550	เกาะสมุย	9.28.0	100.3.0	สุราษฎร์ธานี
104	551301/48555	สุราษฎร์ธานี สกย.	9.6.0	99.38.0	สุราษฎร์ธานี
105	551401/48556	พระแสง สอท.	8.34.0	99.16.0	สุราษฎร์ธานี
106	552201/48552	นครศรีธรรมราช	8.32.16	99.56.50	นครศรีธรรมราช
107	552202/48553	บ่อนом	9.14.35	99.51.27	นครศรีธรรมราช
108	552301/48554	นครศรีธรรมราช สกย.	8.3.0	100.0.0	นครศรีธรรมราช
109	552401/48557	ฉวาง	8.25.55	99.30.43	นครศรีธรรมราช
110	560301/48560	พัทลุง สกย.	7.35.0	100.10.0	พัทลุง
111	561201/48561	ตะกั่วป่า	8.41.3	98.15.8	พังงา
112	564201/48564	ภูเก็ต	7.53.0	98.24.0	ภูเก็ต
113	564202/48565	ภูเก็ต (สูนย์)	8.8.42	98.18.52	ภูเก็ต
114	566201/48566	เกาะลันตา	7.32.0	99.3.0	กระบี่
115	566202/48563	กระบี่	8.3.0	98.54.0	กระบี่
116	567201/48567	ตรัง	7.31.0	99.37.0	ตรัง
117	568301/48571	คอหงส์ สกย.	7.0.0	100.30.0	สงขลา
118	568401/48574	สะเดา	6.47.53	100.23.26	สงขลา
119	568501/48568	สงขลา	7.12.14	100.36.17	สงขลา
120	568502/48569	หาดใหญ่	6.55.0	100.26.0	สงขลา

ตารางผนวกที่ ก1 (ต่อ)

ที่	รหัสสถานี/WMO Index	ชื่อสถานี	ละติจูด	ลองติจูด	จังหวัด
121	570201/48570	สตูล	6.390	100.50	สตูล
122	580201/48580	ปัตตานี	6.470	101.90	ปัตตานี
123	581301/48581	ยะลา ศกย.	6.310	101.170	ยะลา
124	583201/48583	นราธิวาส	6.250	101.490	นราธิวาส

ที่มา: กรมอุตุนิยมวิทยา (2550)





สถิติจำนวนวันที่เกิดพายุฝนฟ้าคะนองของประเทศไทย ระหว่างปี พ.ศ. 2494 - 2553

ตารางผนวกที่ ๑ ค่าสูงสุดและค่าต่ำสุดของจำนวนวันที่พายุกีดฝนฟ้าคะนองของสถานีต่าง ๆ

ที่	ชื่อสถานี	Min	พ.ศ.	Max	พ.ศ.	ตั้งแต่ พ.ศ.
1	แม่ร่องสอน	18	2547	94	2511	2494
2	แม่สะเรียง	16	2549	72	2520	2494
3	เชียงราย	52	2539	149	2498	2494
4	เชียงราย สกย.	73	2549	115	2553	2549
5	พะ夷า	29	2549	88	2526	2523
6	ดอยอ่างขาง	53	2549	69	2550/53	2549
7	แม่โ洁 สกย.	27	2549	30	2550	2549 - 2550
8	เชียงใหม่	29	2540	134	2501	2494
9	ลำปาง	31	2544	121	2499	2494
10	เดิน	11	2548	39	2547	2547
11	ลำปาง สกย.	47	2553	66	2549	2549
12	ลำพูน	30	2547	83	2526	2525
13	แพร่	37	2536	117	2511	2495
14	น่าน	36	2547	84	2526	2525
15	น่าน สกย.	25	2550	63	2549	2549
16	ท่าวังผา	46	2529/30	106	2532	2529
17	ทุ่งช้าง	7	2551/53	66	2542	2541
18	อุตรดิตถ์	17	2529	92	2496	2494
19	หนองคาย	55	2549	138	2518	2507
20	เลย	51	2535	142	2500	2497
21	เลย สกย.	78	2549	110	2553	2549
22	อุดรธานี	40	2510	139	2503	2494
23	สกลนคร	63	2510	126	2494	2494
24	สกลนคร สกย.	52	2549	75	2551	2549
25	นครพนม	60	2539	149	2496	2495

ตารางผนวกที่ ๑ (ต่อ)

ที่	ชื่อสถานี	Min	พ.ศ.	Max	พ.ศ.	ตั้งแต่ พ.ศ.
26	นครพนม สกย.	100	2553	126	2551	2549
27	สุโขทัย	57	2547	80	2545	2543
28	ศรีสะเกษ สกย.	38	2553	65	2549	2549
29	ตาก	9	2535	114	2499	2497
30	แม่สอด	10	2540	92	2496	2494
31	เชื่อมภูมิพล	15	2543/44	82	2505	2502
32	ดอยมูเซอร์ สกย.	43	2553	54	2550	2549
33	อุ้มผาง	11	2553	97	2531	2529
34	พิษณุโลก	40	2536	136	2496	2494
35	เพชรบูรณ์	39	2553	119	2496	2494
36	หล่มสัก	38	2547	93	2532	2529
37	วิเชียรบุรี	14	2537	100	2530	2529
38	กำแพงเพชร	18	2545	100	2526	2524
39	ขอนแก่น	43	2540	136	2496	2494
40	ท่าพระ สกย.	48	2552	77	2549	2549
41	มุกดาหาร	15	2528	125	2499	2494
42	พิจิตร สกย.	57	2552	77	2551	2549
43	มหาสารคาม	18	2529	73	2549	2529
44	กาฬสินธุ์	27	2550	51	2548/49	2541
45	นครสวรรค์	36	2498	108	2518	2494
46	ตากพื้้า สกย.	67	2549	106	2551	2549
47	ขันนาท สกย.	59	2552	84	2551	2549
48	ชัยภูมิ	13	2528	108	2505	2499
49	ร้อยเอ็ด	39	2541	116	2503	2494
50	ร้อยเอ็ด สกย.	44	2553	56	2550	2549

ตารางผนวกที่ ๑ (ต่อ)

ที่	ชื่อสถานี	Min	พ.ศ.	Max	พ.ศ.	ตั้งแต่ พ.ศ.
51	อุบลราชธานี สะญ.	53	2539	139	2494	2494
52	อุบลราชธานี (สูนย์ฯ)	90	2553	106	2550	2549
53	ศรีสะเกษ	51	2551	77	2549	2549
54	พระนครศรีอยุธยา	66	2550	83	2552	2549
55	ปทุมธานี สะญ. (คลองหลวง)	53	2550	66	2551	2549
56	ฉะเชิงเทรา	87	2549	112	2553	2549
57	ราชบุรี	44	2549	99	2553	2549
58	สุพรรณบุรี	26	2547	132	2496	2494
59	อุทกง สะญ.	13	2550	21	2553	2549
60	ลพบุรี	40	2549	101	2498/2511	2494
61	บัวชุม	55	2537	93	2534	2529
62	นำร่อง	29	2547	68	2531	2529
63	สนามบินสุวรรณภูมิ	94	2552	117	2553	2551
64	ปราจีนบุรี	50	2544	164	2508	2494
65	กบินทร์บุรี	23	2538	130	2548	2529
66	นครราชสีมา	39	2540	145	2496	2494
67	ปากช่อง สะญ.	40	2549	73	2553	2549
68	โขคชัย	26	2531	91	2536	2529
69	สุรินทร์	52	2541	174	2496	2494
70	สุรินทร์ สะญ.	59	2550	80	2552	2549
71	ท่าตูม	38	2553	88	2545	2529
72	บุรีรัมย์	53	2546	72	2551	2546
73	นางรอง	30	2534	62	2539	2529
74	อรัญประเทศ	45	2515	127	2518	2494
75	สารแก้ว	78	2547	112	2552	2541

ตารางผนวกที่ ๑ (ต่อ)

ที่	ชื่อสถานี	Min	พ.ศ.	Max	พ.ศ.	ตั้งแต่ พ.ศ.
76	กาญจนบุรี	8	2533	109	2508	2494
77	ทองพญาภิ	8	2553	70	2530	2529
78	นครปฐม	42	2550	61	2551	2549
79	กรุงเทพมหานคร	50	2540	126	2518	2494
80	กรุงเทพฯ ท่าเรือคลองเตย	31	2542	83	2541	2537
81	กรุงเทพฯ บางนา สกย.	82	2549	122	2553	2549
82	กรุงเทพฯ บางเขน สกย.	-	-	-	-	-
83	สนามบินดอนเมือง	31	2534	113	2499	2494
84	ชลบุรี	31	2536	185	2496	2494
85	เชียงใหม่	38	2540	163	2509	2502
86	พัทยา	33	2550	97	2526	2525
87	สัตหีบ	34	2535	125	2496	2494 - 2548
88	แหลมฉบัง	36	2537	73	2552	2536
89	เพชรบุรี	18	2540	123	2528	2520
90	ระยอง	17	2529	86	2553	2525
91	ห้วยโป่ง สกย.	45	2551	99	2553	2549
92	จันทบุรี	48	2533	181	2496	2494
93	พัลวี สกย.	76	2553	114	2551	2549
94	ประจำบกธีร์ขันธ์	21	2547	134	2496	2494
95	หัวหิน	18	2540	148	2496	2494
96	หนองพลับ สกย.	42	2549	61	2550	2549
97	ตราด	55	2535/37/47	229	2496	2494
98	ชุมพร	51	2546	142	2497	2494
99	สตูล สกย.	91	2549	122	2552	2549
100	ระนอง	36	2535	115	2500	2494

ตารางผนวกที่ ๑ (ต่อ)

ที่	ชื่อสถานี	Min พ.ศ.	Max พ.ศ.	ตั้งแต่ พ.ศ.
101	สุราษฎร์ธานี	53	2538/51	193 2497 2549 2494 - 2539,
102	สถานีตรวจอากาศสุราษฎร์ธานี	36	2539	97 2528 2528
103	เกาะสมุย	54	2548	139 2513 2511
104	สุราษฎร์ธานี ศกม.	54	2553	118 2550 2549
105	พระแสง สอท.	18	2542	156 2544 2541
106	นครศรีธรรมราช	54	2538	167 2496 2494
107	ขอนом	38	2543	65 2544 2537 - 2544
108	นครศรีธรรมราช ศกม.	67	2552	141 2549 2549
109	ฉะเชิงเทรา	37	2546/53	94 2542 2541
110	พัทลุง ศกม.	39	2549	112 2552 2549
111	ตะกั่วป่า	35	2529	141 2520 2518
112	ภูเก็ต	19	2507	80 2540 2494
113	ภูเก็ต (ศูนย์ฯ)	10	2532	118 2512 2494
114	เกาะลันตา	8	2548	88 2526 2525
115	กระนี่	21	2550	74 2540 2537
116	ตรัง	57	2546	177 2509 2494
117	คอหงส์ ศกม.	57	2552	80 2550 2549
118	สะเดา	12	2549	64 2542 2541
119	สงขลา	57	2539	169 2509 2494
120	หาดใหญ่	26	2528	148 2518 2516
121	สตูล	58	2546	151 2525 2520
122	ปัตตานี	52	2553	144 2512 2507
123	ยะลา ศกม.	76	2552	96 2551 2549
124	นราธิวาส	49	2535	140 2508 2494

ตารางผนวกที่ ข2 จำนวนวันที่เกิดพายุฝนฟ้าคะนองของประเทศไทย ระหว่างปี พ.ศ. 2494-2553

ที่	ชื่อสถานี	Average				ปี เก็บ ข้อมูล	ปี (ป.)	ปี พ.ศ.	จำนวน
		All yrs.	30 yrs.	10 yrs.	คาน				ตั้งแต่
1	แม่ร่องสอน	58.6	43.8	39.3	54	60	2494		
2	แม่สะเรียง	45.6	38.0	34.7	54	60	2494		
3	เชียงราย	90.3	76.8	77.4	57	60	2494		
4	เชียงราย สกย.	88.4	88.4	88.4	5	5	2549		
5	พะเยา	60.9	60.9	52.6	27	31	2523		
6	ดอยอ่างขาง	63.4	63.4	63.4	5	5	2549		
7	แม่โขจ. สกย.	28.5	28.5	28.5	2	2	2549 - 2550		
8	เชียงใหม่	67.0	43.2	41.8	57	60	2494		
9	ลำปาง	75.8	56.4	50.6	55	60	2494		
10	เดิน	25.3	25.3	25.3	7	7	2547		
11	ลำปาง สกย.	56.0	56.0	56.0	3	3	2549		
12	ลำพูน	47.8	47.8	36.1	26	29	2525		
13	แพร่	76.5	59.4	64.4	55	59	2495		
14	น่าน	54.4	54.4	46.7	26	29	2525		
15	น่าน สกย.	36.8	36.8	36.8	5	5	2549		
16	ท่าวังผา	81.8	81.8	80.6	25	25	2529		
17	ทุ่งช้าง	18.9	18.9	12.5	12	13	2541		
18	อุตรดิตถ์	56.5	44.8	48.5	57	60	2494		
19	หนองคาย	87.9	80.4	72.9	42	47	2507		
20	เลย	95.5	72.4	72.8	54	57	2497		
21	เลย สกย.	94.0	94.0	94.0	5	5	2549		
22	อุดรธานี	83.2	72.4	71.8	57	60	2494		
23	สกลนคร	89.3	83.9	80.6	57	60	2494		

ตารางผนวกที่ ข2 (ต่อ)

ที่	ชื่อสถานี	จำนวน						ตั้งแต่ปี พ.ศ.
		Average			ปี	คาน		
		All yrs.	30 yrs.	10 yrs.	เก็บข้อมูล	(ปี)		
24	สกลนคร สกย.	62.8	62.8	62.8	5	5	2549	
25	นครพนม	96.9	78.6	80.0	53	59	2495	
26	นครพนม สกย.	110.2	110.2	110.2	5	5	2549	
27	สุโขทัย	68.5	68.5	68.7	11	11	2543	
28	ศรีสำโรง สกย.	53.0	53.0	53.0	3	3	2549	
29	ตาก	57.1	37.4	45.9	53	57	2497	
30	แม่สอด	38.8	24.9	18.5	57	60	2494	
31	เชื่อนภูมิพล	46.3	34.9	23.9	46	52	2502	
32	ดอยขุนยวัอร์ สกย.	49.3	49.3	49.3	3	3	2549	
33	อุ้มผาง	49.8	49.8	33.9	25	25	2529	
34	พิษณุโลก	75.2	65.4	71.4	57	60	2494	
35	เพชรบูรณ์	83.4	64.5	54.2	56	60	2494	
36	หล่มสัก	70.8	70.8	59.8	25	25	2529	
37	วิเชียรบุรี	62.3	62.3	63.8	24	25	2529	
38	กำแพงเพชร	53.7	53.7	51.1	27	29	2524	
39	ขอนแก่น	83.3	57.5	54.9	57	60	2494	
40	ท่าพระ สกย.	66.2	66.2	66.2	5	5	2549	
41	มุกดาหาร	76.8	60.8	61.3	56	60	2494	
42	พิจิตร สกย.	70.0	70.0	70.0	5	5	2549	
43	มหาสารคาม	53.0	53.0	57.6	25	25	2529	
44	กาฬสินธุ์	41.6	41.6	42.3	13	13	2541	
45	นครสวรรค์	76.0	73.6	76.3	57	60	2494	
46	ตากฟ้า สกย.	87.2	87.2	87.2	5	5	2549	

ตารางผนวกที่ ข2 (ต่อ)

ที่	ชื่อสถานี	จำนวน					
		Average			ปี	คบ	ตั้งแต่
		All	30 yrs.	10 yrs.	เก็บ ข้อมูล	(ปี)	ปี พ.ศ.
47	ชัยนาท สกม.	73.4	73.4	73.4	5	5	2549
48	ชัยภูมิ	69.4	54.3	51.5	52	55	2499
49	ร้อยเอ็ด	74.1	54.3	57.8	57	60	2494
50	ร้อยเอ็ด สกม.	49.2	49.2	49.2	5	5	2549
51	อุบลราชธานี สกม.	82.9	74.3	74.5	56	60	2494
52	อุบลราชธานี (สูนย์ฯ)	99.0	99.0	99.0	5	5	2549
53	ศรีสะเกษ	67.7	67.7	67.7	3	3	2549
54	พระนครศรีอยุธยา	75.6	75.6	75.6	5	5	2549
55	ปทุมธานี สกม. (คลองหลวง)	57.2	57.2	57.2	5	5	2549
56	ฉะเชิงเทรา	98.6	98.6	98.6	5	5	2549
57	ราชบุรี	77.0	77.0	77.0	5	5	2549
58	สุพรรณบุรี	61.6	46.3	42.8	57	60	2494
59	อุทong สกม.	16.5	16.5	16.5	4	4	2549
60	ลพบุรี	66.6	58.9	54.8	57	60	2494
61	บัวชุม	75.0	75.0	73.6	23	25	2529
62	น้ำร่อง	48.6	48.6	48.6	25	25	2529
63	สنانมบินสุวรรณภูมิ	105.3	105.3	105.3	3	3	2551
64	ปราจีนบุรี	94.4	78.9	76.5	57	60	2494
65	กบินทร์บุรี	65.7	65.7	81.0	24	25	2529
66	นครราชสีมา	78.2	60.0	62.7	57	60	2494
67	ปากช่อง สกม.	60.0	60.0	60.0	5	5	2549
68	โขคชัย	59.8	59.8	66.8	25	25	2529
69	สุรินทร์	98.3	70.3	67.8	57	60	2494

ตารางผนวกที่ ข2 (ต่อ)

ที่	ชื่อสถานี	จำนวน					
		Average			ปี	คบ	ตั้งแต่
		All yrs.	30 yrs.	10 yrs.	เก็บข้อมูล	(ปี)	ปี พ.ศ.
70	สุรินทร์ ศกย.	66.4	66.4	66.4	5	5	2549
71	ท่าตูม	67.8	67.8	65.3	25	25	2529
72	บุรีรัมย์	64.0	64.0	64.0	8	8	2546
73	นางรอง	46.4	46.4	47.4	25	25	2529
74	อรัญประเทศ	77.9	72.5	59.8	55	60	2494
75	สารแก้ว	99.1	99.1	99.1	12	13	2541
76	กาญจนบุรี	49.8	30.9	26.9	57	60	2494
77	ทองพากumi	21.8	21.8	15.4	23	25	2529
78	นครปฐม	51.8	51.8	51.8	5	5	2549
79	กรุงเทพมหานคร	85.8	76.8	75.2	57	60	2494
80	กรุงเทพฯ ท่าเรือคลองเตย	57.2	57.2	56.7	17	17	2537
81	กรุงเทพฯ บางนา ศกย.	106.8	106.8	106.8	5	5	2549
82	กรุงเทพฯ บางเขน ศกย.	-	-	-	-	-	-
83	สำนักวิบัติคอนเน็คชัน	73.1	60.3	67.9	56	60	2494
84	ชลบุรี	79.2	51.8	53.1	58	60	2494
85	เชียงใหม่	90.7	71.2	64.9	49	52	2502
86	พัทยา	51.9	51.9	44.3	27	29	2525
87	สัตหีบ	68.3	57.6	57.6	47	55	2494 - 2548
88	แหลมฉบัง	53.6	53.6	57.3	18	18	2536
89	เพชรบุรี	56.0	55.3	51.9	30	34	2520
90	ระยอง	53.8	53.8	60.9	26	29	2525
91	ห้วยโป่ง ศกย.	64.4	64.4	64.4	5	5	2549
92	จันทบุรี	106.3	79.1	89.3	57	60	2494

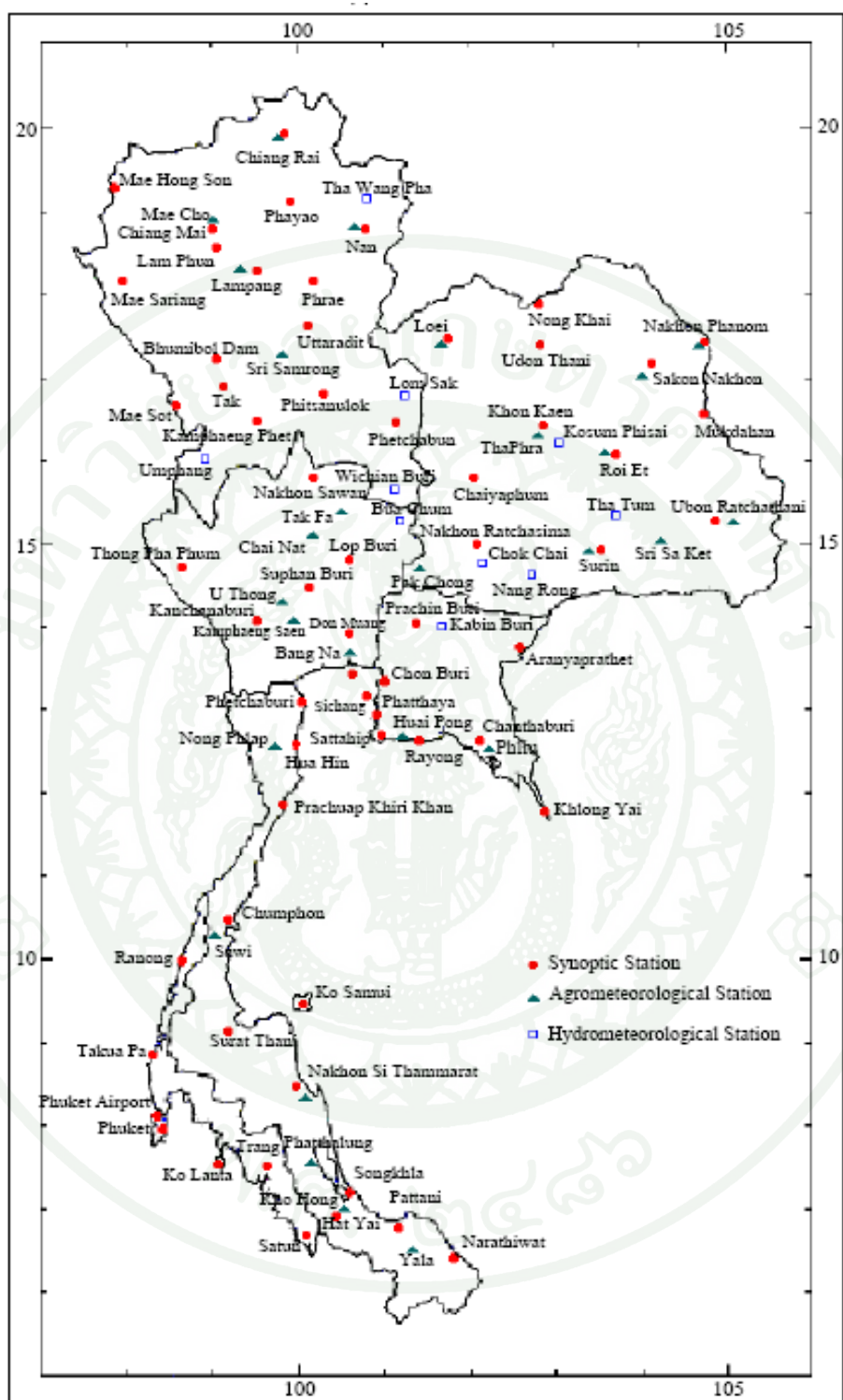
ตารางผนวกที่ ข2 (ต่อ)

ที่	ชื่อสถานี	จำนวน						
		Average			ปี	คาน	ตั้งแต่	
		All yrs.	30 yrs.	10 yrs.	เก็บ ข้อมูล	(ปี)	ปี พ.ศ.	
93	พลิว สกย.	99.4	99.4	99.4	5	5	2549	
94	ประจำวันคีรีขันธ์	62.8	36.6	34.9	57	60	2494	
95	หัวหิน	63.0	31.8	29.1	57	60	2494	
96	หนองพลับ สกย.	48.4	48.4	48.4	5	5	2549	
97	ตราด	113.6	79.2	87.2	55	60	2494	
98	ชุมพร	94.6	69.2	62.5	56	60	2494	
99	สีวิ สกย.	106.8	106.8	106.8	5	5	2549	
100	ระนอง	65.2	54.0	57.9	57	60	2494	
							2494 - 2539,	
101	สุราษฎร์ธานี	112.9	112.9	112.9	48	51	2549	
102	สถานีตรวจอากาศสุราษฎร์ธานี	57.1	57.1	57.1	18	24	2528	
103	เกาะสมุย	89.3	82.9	73.3	39	43	2511	
104	สุราษฎร์ธานี สกย.	78.4	78.4	78.4	5	5	2549	
105	พระแสง สอท.	91.9	91.9	97.1	13	13	2541	
106	นครศรีธรรมราช	95.8	78.7	82.7	55	60	2494	
107	ขอนม	50.0	50.0	50.0	7	8	2537 - 2544	
108	นครศรีธรรมราช สกย.	88.8	88.8	88.8	5	5	2549	
109	ฉะเชิงเทรา	60.8	60.8	56.6	12	13	2541	
110	พัทลุง สกย.	85.2	85.2	85.2	5	5	2549	
111	ตะกั่วป่า	72.7	61.8	63.5	30	36	2518	
112	ภูเก็ต	49.4	46.4	48.0	57	60	2494	
113	ภูเก็ต (สูนย์ฯ)	69.5	47.8	47.0	55	60	2494	
114	เกาะลันตา	33.3	33.3	19.9	27	29	2525	

ตารางผนวกที่ ข2 (ต่อ)

ที่	ชื่อสถานี	จำนวน					
		Average			ปี	คบ	ตั้งแต่
		All yrs.	30 yrs.	10 yrs.	เก็บข้อมูล	(ปี)	ปี พ.ศ.
115	กระเบี้ย	48.6	48.6	47.8	12	17	2537
116	ตรัง	105.6	94.4	84.4	57	60	2494
117	คอหงษ์ สกม.	70.8	70.8	70.8	5	5	2549
118	สะเดา	37.5	37.5	32.3	12	13	2541
119	สงขลา	101.9	82.4	84.6	57	60	2494
120	หาดใหญ่	80.7	67.6	73.2	35	38	2516
121	สตูล	99.4	95.3	93.6	30	34	2520
122	ปัตตานี	93.5	86.1	82.9	38	47	2507
123	ยะลา สกม.	89.8	89.8	89.8	5	5	2549
124	นราธิวาส	84.3	71.2	74.8	56	60	2494

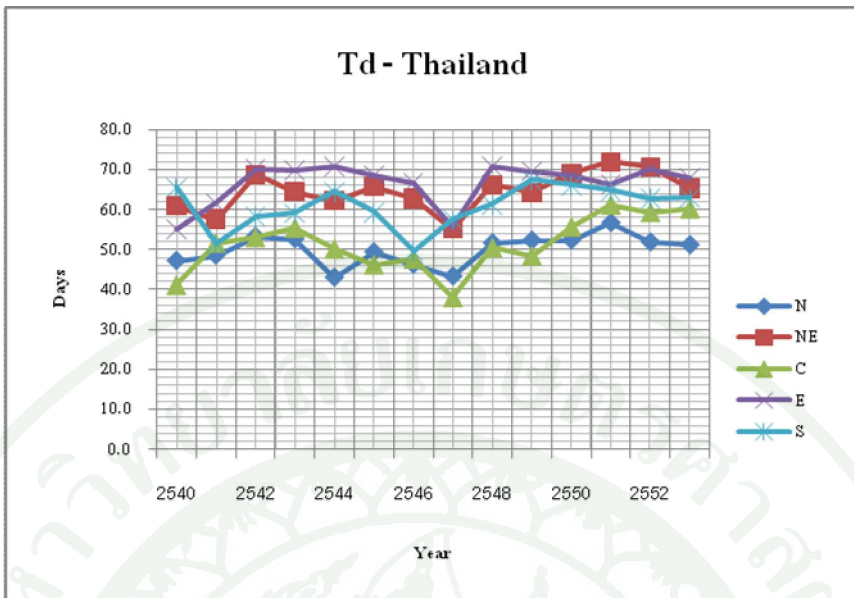




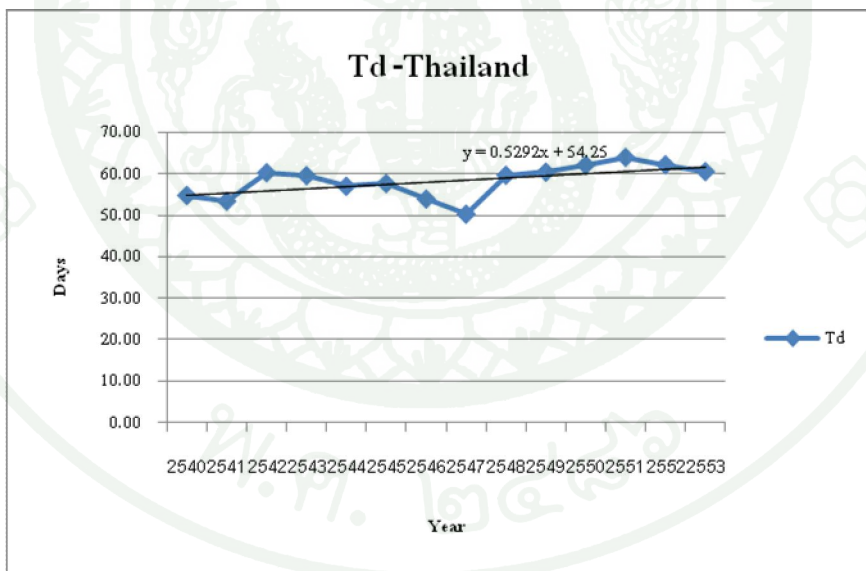
ภาพนวนภที่ ค1 แผนที่แสดงที่ตั้งสถานีอุตุนิยมวิทยา

ที่มา: กรมอุตุนิยมวิทยา (2550)





ภาพผนวกที่ ง1 จำนวนวันที่เกิดพายุฝนฟ้าคะนอง แบ่งภาคตามต่างๆ ของประเทศไทย



ภาพผนวกที่ ง2 จำนวนวันที่เกิดพายุฝนฟ้าคะนอง ของประเทศไทย

ประวัติการศึกษาและการทำงาน

ชื่อ	นายโชคชัย เดชาโยธิน
เกิดวันที่	17 ตุลาคม 2526
สถานที่เกิด	อำเภอเมือง จังหวัดร้อยเอ็ด
ประวัติการศึกษา	ว.ศ.บ. (ไฟฟ้า) มหาวิทยาลัยขอนแก่น
ตำแหน่งปัจจุบัน	วิศวกรไฟฟ้าระดับ 4
สถานที่ทำงานปัจจุบัน	ศูนย์ควบคุมระบบไฟฟ้า การไฟฟ้านครหลวง

